

1901 május 2

tanulmányok

116/1981

MTA Számítástechnikai és Automatizálási Kutató Intézet Budapest





MAGYAR TUDOMÁNYOS AKADEMIA
SZÁMITÁSTECHNIKAI ÉS AUTOMATIZÁLÁSI KUTATÓ INTÉZET

EGY 6 SZABADSÁGFOKU ANTROPOMORF MANIPULÁTOR
KINEMATIKÁJA ÉS SZÁMÍTÓGÉPES
VEZÉRLÉSE

Irta:

SIEGLER ANDRÁS

Tanulmányok 116/1980.

A kiadásért felelős:

DR VÁMOS TIBOR

ISBN 963 311 113 7

ISSN 0324 - 2951

Készült a SZÁMOK nyomdájában
80/293

TARTALOM

BEVEZETÉS	1
ELŐZMÉNYEK	2
A DOLGOZAT TÁRGYA ÉS CÉLJAI	7
A DOLGOZAT FELÉPÍTÉSE	10
FOGALMAK ÉRTELMEZÉSE	13
1. A MANIPULÁCIÓS FELADAT LEIRÁSA	18
1.1. HOMOGEN KOORDINÁTÁK	18
1.2. MUNKADARABOK MOZGATÁSA	21
1.3. RELATIV TRANSZFORMÁCIÓK A MUNKATÉRBEN	25
1.4. A MANIPULÁCIÓS PROGRAM	36
2. MANIPULÁTOROK VEZÉRLÉSI ELVEI	40
2.1. SEBESSÉGVEZÉRLÉS	41
2.1.1. Whitney módszere	41
2.1.2. A csuklók függetlenített vezérlése	46
2.2. POZICIÓVEZÉRLÉS	48
2.2.1. A manipulátor inverz problémájának megoldása általános szerelési algoritmusokkal	48
2.2.2. A javasolt pozícióvezérlés elve	50
3. A MANIPULÁTOR GEOMETRIAI MODELLJE	53
3.1. A MANIPULÁTOR SZERKEZETI FELÉPÍTÉSE	53
3.2. KOORDINÁTARENDSZEREK ÉS JELÖLÉSEK	56
3.3. MANIPULÁTOR GEOMETRIA	58
3.4. AZ EREDŐ TRANSZFORMÁCIÓ MEGHATÁROZÁSA	63
3.4.1. Transzformáció O_ϕ (ALAP) és O_3 (KÖNYÖK) között	63
3.4.2. Transzformáció O_3 (KÖNYÖK) és O_6 (KÉZ) között	64
3.4.3. Számítási megfontolások	65

4. A ROBOTKÉZ ORIENTÁCIÓJA	68
4.1. PARAMÉTERVÁLASZTÁS	68
4.2. DEFINICIÓS FORMALIZMUS	69
4.3. AZ ORIENTÁCIÓ MÁTRIXA	71
4.4. EULER SZÖGEK SZÁMITÁSA AZ ORIENTÁCIÓ MÁTRIXÁBÓL	73
5. A MANIPULÁTOR-GEOMETRIA INVERZ PROBLÉMÁJA	77
5.1. A MEGOLDÁS ELVE	77
5.2. A CSUKLÓ POZÍCIÓJÁNAK KISZÁMITÁSA	78
5.3. A q_1, q_2, q_3 CSUKLÓSZÖGEK KISZÁMITÁSA	78
5.4. A MANIPULÁTOR MUNKATERE	82
5.4.1. A megoldás létezése	82
5.4.2. q_1 értéktartománya	85
5.4.3. q_3 értéktartománya	86
5.4.4. A K mennyiség értékei	86
5.4.5. q_2 értéktartománya	87
5.5. MANIPULÁTORTERVEZÉSI MEGFONTOLÁSOK	90
5.6. q_4, q_5, q_6 KISZÁMITÁSA	91
5.7. TOVÁBBI SZEMPONTOK A CSUKLÓSZÖG-ÉRTÉKEK MEGVÁLASZTÁSÁHOZ	94
5.8. A SZÁMITÁSOK ÖSSZEGZÉSE	95
6. PÁLYAVEZÉRLÉS	97
6.1. KÉZ-ÁLLAPOT INTERPOLÁCIÓ	97
6.2. CSUKLÓKOORDINÁTÁK VEZÉRLÉSE	102
6.2.1. A pályabejárás pontossága	102
6.2.2. Feltételek a csuklók mozgására	107
6.2.3. Egy csuklószög időbeli változása	108
6.2.4. A csuklószög-idő függvény approximációja	112
6.2.5. A tranziens idő meghatározása	116
6.2.6. Indítás és megállítás	118
6.2.7. A csuklópozíció hibája	118

7. HIBAELEMZÉS	121
7.1. A CSUKLÓPOZICIONÁLÁS HIBÁJÁNAK HATÁSA A ROBOTKÉZ ÁLLAPOTÁRA	121
7.1.1. A robotkéz állapota	122
7.1.2. A kéz-állapot hibája	123
7.2. A CSUKLÓSZÖGEKRE MEGENGEDETT BEÁLLÍTÁSI PONTATLANSÁG SZÁRMAZTATÁSA A SZERELÉSI "TÜRÉSEKBŐL"	127
8. SZÁMITÓGÉPES IMPLEMENTÁCIÓ	129
8.1. A PÁLYATERVEZÉS INFORMÁCIÓFORRÁSAI	129
8.2. MANIPULÁTORVEZÉRLŐ ÉS PÁLYAMÁMITÓ SOFTWARE	132
8.2.1. Ember-gép kapcsolat	132
8.2.2. Adatbázis	139
8.2.3. Pályaszámítás	140
8.3. SZÁMITÓGÉPES MOZGÁSSZIMULÁCIÓ	144
8.3.1. A grafikus mozgásszimulátor	144
8.3.2. A manipulátor megoldó program	147
9. CSUKLÓNYOMATÉKOK SZÁMITÁSA	151
9.1. MANIPULÁTOR-KINEMATIKA	151
9.2. A ROBOTKÉZ KINEMATIKÁJA	155
9.3. MANIPULÁTOR-DINAMIKA	157
9.3.1. A dinamikai feladat tárgyalása az Euler- -Lagrange egyenletek alapján	158
9.3.2. A dinamikai modell származtatása az impulzus és impulzusmomentum tételből	161
10. SZABÁLYOZÁS	171
10.1. A SZABÁLYOZÁS CÉLJA ÉS MÓDSZEREI	171
10.2. CSUKLÓSZÖGEK SZABÁLYOZÁSA	176
10.3. A KÉZ POZÍCIÓJÁNAK ÉS ORIENTÁCIÓJÁNAK DIREKT SZABÁLYOZÁSA	180
11. ÖSSZEFOGLALÁS	189
11.1. A TÁRGYALT MÓDSZEREK KAPCSOLATA	189
11.2. A DOLGOZAT EREDMÉNYEI	191
<i>IRODALOM</i>	194
<i>FÜGGELÉK</i>	197

B E V E Z E T É S

A gépipari automatizálás jelen fejlődési szakaszában megfigyelhető a gépek, berendezések robotos kiszolgálásának fokozódó jelentősége. Az ipari robotok alkalmazásának kezdetén elsősorban az egyszerű felépítésű, kevés mozgásfajtaival rendelkező, általában ütközőkkel és végálláskapcsolókkal pozicionált robotokkal találkozhattunk. Az ipari gyártástechnológia és a vezérlési-irányítási módszerek fejlődése lehetővé tette, hogy a gyártási folyamat egyetlen, jelenleg még emberi közreműködést igénylő láncszemét, a gépek és berendezések kiszolgálását is automatizáljuk. A változó gyártási körülmények, adott esetben a kis gyártmánysorozatok, a változó technológiai paraméterek nem teszik lehetővé az emberi munka felváltását "kemény" automatizálással, vagyis az adott technológiára épített *kiszolgáló célberendezésekkel* vagy első generációju ipari robotokkal. Az ilyen megoldások ugyanis rendkívül tervezés- és költségigényesek. A fokozódó munkaerőhiány, a jelentős bérköltségek és az emberi munka humanizálása ugyanakkor sürgetik azoknak az olcsó, rugalmas gépkiszolgáló berendezéseknek a bevezetését, amelyeknek teljesítménye pótolja, sőt pontosságban, megbízhatóságban és tartósságban felül is mulja a betanított munkaerőtől elvárható munkateljesítményt.

A fenti cél érdekében olyan kiszolgáló berendezésre van szükség, amely

- képes bejárni a gépek kiszolgálásához, a gépek közötti anyagmozgatáshoz szükséges bonyolult mozgáspályákat;
- ezen mozgáspályák változtatásához nem szükséges a berendezés cseréje vagy átszerelése, tehát a gyártó gépeket

kiszolgáló berendezés "programozható", mégpedig a számítógépekhez hasonlóan, szöveges formában;

- a végrehajtott mozgás nagy pontossággal követi az elméletileg kiszámított pályát, adott korlátok között sebessége és gyorsulása bármely előírt értéket felvehet;
- képes érzékelők útján kapcsolatot tartani környezetével, a környezetből érkező hatásoknak megfelelően megválasztani pályáját illetve a mozgás paramétereit.

E követelmények együttesének kíván megfelelni az ipari robotoknak az az új, második nemzedéke, amelynek ipari elterjedését a legfejlettebb ipari országokban figyelhetjük meg. Tevékenységük elsősorban a megmunkálendő anyagok, a félkész vagy kész munkadarabok gépek közötti mozgatása illetve egyes technológiai műveletek (pl. festés, csiszolás, ponthegesztés) önálló elvégzése. Az amerikai, japán, Nyugat-európai kutatólaboratóriumokban pedig kifejlesztették és kísérletileg használják már azokat a még fejlettebb, harmadik generációs robotokat, amelyek az embertől finomabb manuális tevékenységet is képesek átvenni, nevezetesen bizonyos szerelési részműveleteket is elvégeznek, mégpedig oly módon, hogy a ma rendelkezésre álló legfejlettebb érzékelési, jelfeldolgozási, helyzetelemzési és döntési képességgel rendelkeznek, amit összefoglalóan gépi intelligenciának szokás nevezni.

ELŐZMÉNYEK

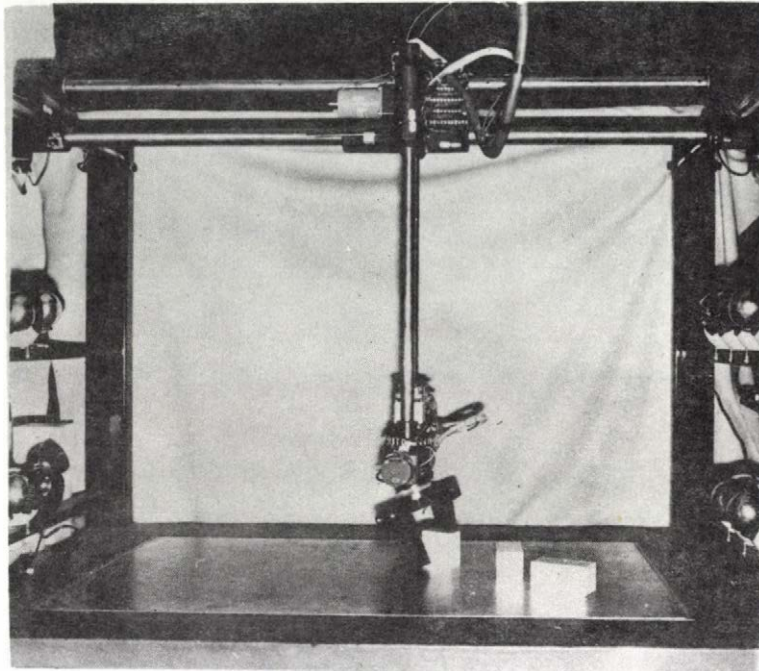
A Magyar Tudományos Akadémia Számítástechnikai és Automatizálási Kutató Intézetében Vámos Tibor akadémikus vezetésével folyó kutató munka célja, hogy Magyarországon is megszülessen az embert felváltani képes, a mesterséges intelligencia nyújtotta képességekkel felvértezett és a legkorszerűbb számítógépek nyújtotta előnyöket felhasználó új robottechnika. E kutatási tevékenység keretében elkészült egy intelligens szem-kéz rendszer, azaz egy televíziós képfeldolgozó berendezést, korszerű képi ember-gép kapcsolatot és egy 6 tengely mentén vezérelhető

kísérleti manipulátort egyesítő berendezés. [Vámos &al., 1979] A manipulátor irányításában alkalmazott megoldásokat [Siegler, 1977] ismerteti, lényegük az hogy az ortogonális alapelrendezésű robot 3 tengely mentén egyenesvonalu, 3 tengely körül pedig forgó mozgásra képes, a tengelyeket léptetőmotorok hajtják, amelyeket egy MTC típusu numerikus szerszám-gépvezérlő berendezés vezérel. A pályaszámítás és kezelői kommunikáció feladatait egy R10 típusu kisszámítógép végzi. A berendezés, amely a B.1. ábrán látható, az alábbi előnyökkel rendelkezik:

- a tengelyek hidszerű, viszonylag egyszerű geometriai elrendezése következtében egy adott kézhelyzet előállításához csak igen egyszerű geometriai számításokra van szükség: a csukló pozícióját egyértelműen meghatározza a "felső", vagyis az egyenes vonal mentén mozgatható tengelyek állása (B.2. ábra);
- a robotvezérlő (RC) a tengelyek koordinált mozgását automatikusan biztosítja;
az RC-t egyszerűen lehet programozni egy tetszőleges irányu és hosszúságu pályaszakasz előirt sebességgel történő bejárására és a mozgás elindítása után minden vezérlési és figyelési funkciót maga az RC lát el: így a mozgás ideje alatt a számítógép más feladatokkal (pl. trajektória tervezéssel) foglalkozhat;
- a vázolt elektromechanikai kialakításnak köszönhetően a kar mozgása kielégítő pontossággal követi az előirt pályát, az ismétlési pontosság $\varnothing.5$ mm;

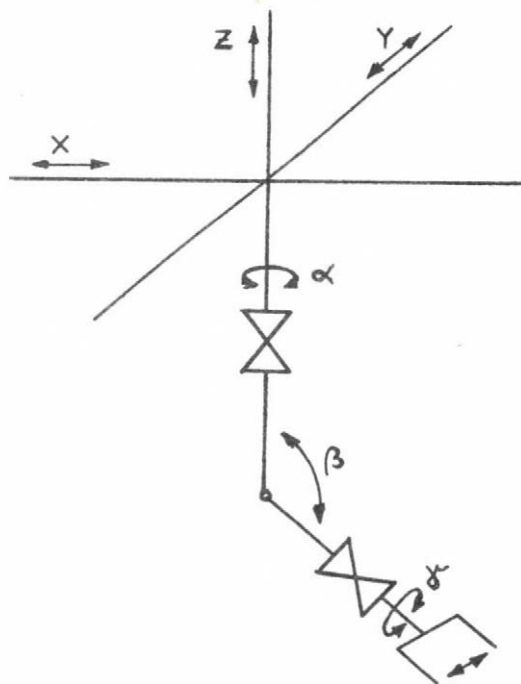
Ugyanakkor ez a robot bizonyos hátrányokkal is rendelkezik:

- a tengelymozgásokról nincs pozícióvisszacsatolás, és, bár a mozgás általában pontos, lépésvesztések (kihagyások) előfordulhatnak. Ez elsősorban ütközésekkor fordul elő, s ennek érzékelésére jelenleg nincs mód;



X - Y manipulátor

B. 1. ábra



Az X - Y manipulátor geometriája

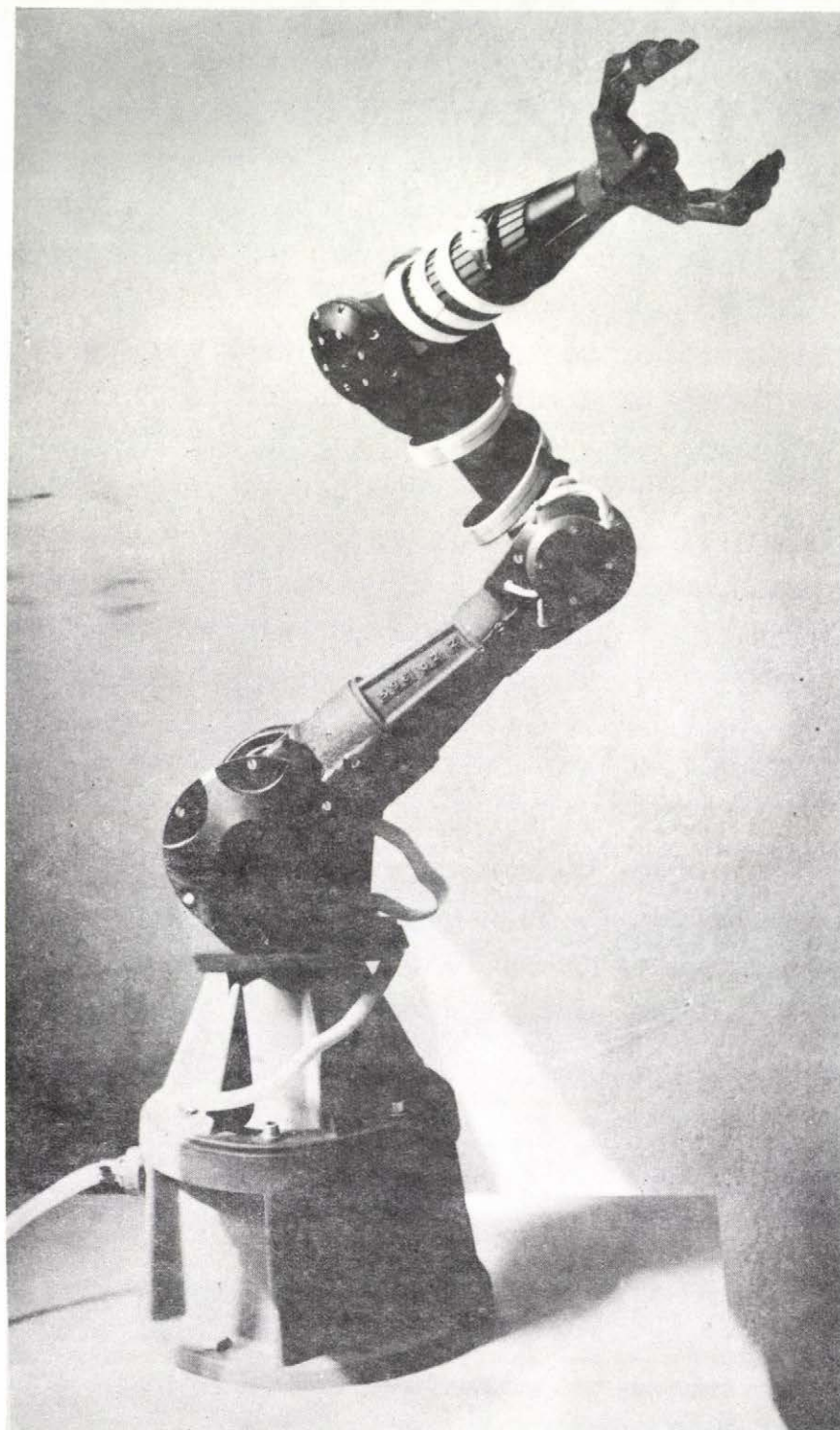
B. 2. ábra

a tengelypozíciók azonosítására csak az egyes tengelyvégeken elhelyezett mikrokapcsolók szolgálnak: a berendezés bekapcsolása vagy fatális ütközések után a rendszert újra inicializálni kell oly módon, hogy a tengelyeket az említett kapcsolókra vezérlik és onnan a lépésszámlálást újra kell kezdeni - ez igen időigényes tevékenység;

- a manipulátor megfogóiba helyezett néhány taktilis érzékelőn kívül a robot tevékenységéről nincs visszajelzés; a vizuális bemeneti adatokra támaszkodó szintér elemzések az bizonyítják, hogy míg a látványra alapuló tárgyfelismerés sok minőségi információt szolgáltat, a robotos tevékenységhez megkívánt pontosság a szintérre vonatkozó mechanikai információ hiányában nem érhető el.

Az említett hátrányok kiiktathatók volnának úgy is, hogy a hidszerű mechanikai elrendezést megtartjuk. Ugyanakkor az a fő célkitűzés, hogy egy olyan robot-berendezést tervezzünk, amely magasan automatizált gyártóvonalakon is alkalmazható és ott az embert részben helyettesíteni tudja, indokoltta tette, hogy egy teljesen új, csuklós szerkezetű robotkart építsünk. Az új, váll-könyök-csukló típusú mechanizmus a B.3.ábrán látható.

Egy ilyen, teljesen automatizált berendezés felépítésének és alkalmazásának komplex jellegénél fogva a megoldandó vezérlési-irányítási-rendszertervezési problémák is igen szerteágazóak. Számos módszer létezik a manipulátor mechanikai leírására, a robot pályájának megtervezésére, az ember és a robot kapcsolatának megszervezésére mind ipari, mind orvosbiológiai alkalmazásokban.



A COROHAND manipulátor

B. 3. ábra

A DOLGOZAT TÁRGYA ÉS CÉLJAI

A dolgozat témájának megválasztását az említett általános megfontolásokon túl a jelenleg is fejlesztés alatt álló új, hazai, kísérleti manipulátor-konstrukció (COROHAND) létrejötte indokolja. Egy korábbi értekezés e robotkar gépészeti-konstrukciós problémáival foglalkozott [Zilahi, 1979]. A jelen dolgozat célja a 6 csuklós manipulátor automatikus irányításához szükséges *algoritmikus módszerek kidolgozása*.

A dolgozatban tárgyalt alapkérdés a következő: adott a robotkar megfogójának tér-és időbeli mozgását előíró *számítógépes program - milyen nyomatékokat* kell a robotkar csuklóiba épített motoroknak kifejteniük ahhoz, hogy a megfogó a program által előírt pályán, előírt módon végighaladjon. E kérdés megválaszolásánál az alábbi problémákra kell figyelemmel lennünk:

- 1.- A robot által végrehajtandó feladatot az ember a saját maga és nem a robot számára "természetes" módon írja le: a feladateleírás egy szöveges, adott esetben *szimbólikus hivatkozások*at is tartalmazó, a számítógép-programokhoz hasonló "manipulátor program". A robotot használó ember számára az a kényelmes, ha a munkatér pontjaira számszerű koordináták helyett tetszőlegesen választott nevekkel hivatkozhat és e pontokat a 3 dimenziós *euklideszi térben* értelmezi. A robot természetes "világa" viszont az az *általánosított értelemben vett mozgástér*, amelynek koordinátái a manipulátor saját csuklózög-pozíciói.
- 2.- A manipulátorprogram nemcsak a robot megfogója által bejárandó pálya térbeli elhelyezkedését írja elő, hanem

a pályakövetés pontosságára és időbeli lefolyására (sebességére) is tartalmazhat követelményeket.

- 3.-A manipulátor, mint irányított berendezés, erősen nemlineáris jellegű, időben változó paraméterekkel rendelkezik, irányítását külső zavaró tényezők is nehezítik. A leglényegesebb probléma, hogy a manipulátor mechanikai jellemzői a kar mindenkori térbeli állásától ("konfigurációjától") függenek.

A dolgozat az említett problémák megválaszolását tűzi ki célul. Ennek érdekében *áttekinti, rendszerezi és értékeli* a soktengelyes, "antropomorf" manipulátorok irányításának elveit és módszereit; *kiválasztja* az adott irányítási feladat (COROHAND) megoldására alkalmas módszereket; a választott módszerekből kiindulva *felállítja* a manipulátor geometriai, kinematikai, dinamikai és szabályozástechnikai *modelljét*; a valós idejű számítógépes irányítás követelményeit szem előtt tartva *algoritmizálja* a modellek generálását és végül ismerteti a rendelkezésre álló hardware eszközök nyújtotta kereteken belül *számítógépen megvalósított* manipulátor irányítási programokat.

A dolgozatban tárgyalt *súlyponti kérdés* az említett modellek létrehozása, mivel ezek mindegyike szükséges a manipulátor számítógépes szabályozásához. Szabályozástechnikai szempontból a dolgozat a lehetséges, és a rendelkezésre álló hardware-től függően választható megoldásokat ismerteti. A választható technikák, illetve algoritmusok ismertetésével a dolgozat *alapot* kíván nyújtani a robottal kapcsolatos hardware és software *fejlesztés irányának* megválasztásához. Ilyen döntési kérdés például a számítógépes vezérlés koncentrált vagy részben csuklónként elosztott megvalósítása, a csuklókat

szabályozó berendezések és a visszacsatolást biztosító érzékelők megválasztása.

A dolgozat törekszik a tárgyalt problémák gyakorlati megközelítésére, a hangsúlyt a számítógépen megvalósítható algoritmusok kidolgozására helyezi. Elméleti szempontból csak a leírt eljárások megértéséhez szükséges alapösszefüggéseket közli, amelyek magyarázata kézikönyvekben megtalálható.

Az ipari robotokkal kapcsolatos *magyar szakirodalom* elsősorban alkalmazástechnikai kérdésekre korlátozódik. Manipulátorok konstrukciója és vezérlése tekintetében az eddigi kutató-fejlesztő munka az egyszerűbb, kevésbé flexibilis, elsősorban pneumatikus berendezésekhez kapcsolódott. [I. Ipari Robot Kollokvium, 1977]. A BME Gyártástechnológiai Tanszék és az MTA-SzTAKI együttműködésében egy elektrohidraulikus, 4 tengelyes ipari manipulátorhoz (IR-51) készült vezérlő hardware és software. Az MTA-SzTAKI 6 tengelyes elektromos kísérleti manipulátorához a szerszámgépekhez hasonló vezérlő berendezés és irányító program készült. [Nemes, Siegler, 1978]

A manipulátorirányítással kapcsolatos *külföldi irodalom* meglehetősen szerteágazó, bár megfigyelhető, hogy a konkrét, hardware fejlesztéssel párosuló fejlesztő munka néhány, a magas technológiai színvonalu országokban található laboratóriumban koncentrálódik. Elsősorban amerikai és japán kutatóhelyeken értek el konkrét, működő berendezések formájában realizált eredményeket.

A dolgozatban kitűzött egyik cél az utóbbi évek során publikált nagyszámu eredmény *rendszerzése és értékelése* a valós idejű irányításban való használhatóság szempontjából.

A különböző irodalmi forrásokon alapuló, illetve a szerző által a konkrét feladatra adaptált módszerek és algoritmusok tárgyalásánál lényeges szempont az *egységes tárgyalásmód és formalizmus* megvalósítása.

A számítógépes manipulátorirányítás problémaköre meglehetősen sokféle diszciplínához kapcsolódik (mechanika, irányítástechnika, számítástechnika, stb.), s egyenlőre - legalábbis a hazai irodalomban - nem alakult még ki a témakör egységes fogalomrendszere. A dolgozat hozzá kíván járulni a robotirányítás fogalmainak *egységes értelmezéséhez* is.

A DOLGOZAT FELÉPÍTÉSE

Az ismertetett kérdésekkel a dolgozat az alábbi szerkezetben foglalkozik:

1. Geometriai modellek

- Egységes formalizmus kidolgozása a munkatér és a manipulátor geometriájának számítógépi reprezentációjához. (1.1.pont)
- A feladat-orientált manipulátorprogram átalakítása a manipulátor megfogója által bejárando térbeli pozíciók és orientációk sorozatává (1.2.....1.4.pont). Ebben a műveletben alapvető szerepet kap a *munkatér* homogén koordinátákkal leirt *modellje*.
- A manipulátor geometriai modelljének kiválasztása a vezérlés lehetséges elveinek figyelembevételével (2.fejezet). A *robotkar geometriai leírása* (3.fejezet) az 1.1.pontban ismertetett reprezentációs formalizmussal történik. A dolgozat külön foglalkozik a manipulátor megfogó orientációjának értelmezésével (4.fejezet), mivel ez mind a manipulációs feladat leírása, mind pedig a további számítások hatékonysága szempontjából lényeges.

- A munkatérben leirt trajektória egyes pontjainak transzformálása a csuklósögek általánosított terébe: a manipulátor geometriai modelljének felhasználásával a dolgozat tárgyalja az u.n. "*inverz manipulátorprobléma*" megoldását az adott robotkarra. (5.fejezet)

2. Mozgáspályák leírása

- A geometriai modell alapján kapott egyes trajektória-pontok között, illetve azokon áthaladva a manipulátornak *folyamatosan, koordinált* módon kell a pályát bejárnia. Ennek megoldását tárgyalja a 6.fejezet.
- Az előirt és a megvalósított mozgáspálya eltérését jellemző *hibák elemzése* szükséges ahhoz, hogy a mozgást "tűrészni" lehessen. A dolgozat ismerteti a hibaszámítás összefüggéseit az adott manipulátorra. (7.fejezet)
- A mozgáspályák bejárását végrehajtó számítógépes programok felépítésével a 8.fejezet foglalkozik. Ismerteti a *megvalósított programokat*, bemutatja azok működését és eredményeit, továbbá egy mozgásszimulációs programcsomag alkalmazását.

3. Mechanikai modellek

- A korábbi fejezetek a manipulátorvezérlésnek azokkal a szintjeivel foglalkoztak, ahol nem volt szükség a robotkar mechanikai tulajdonságainak figyelembevételére. Valójában a korábban meghatározott mozgáspálya-pontok (akár a megfogó, akár a csuklók trajektóriáiról legyen szó), csak szabályozási *alapjeleknek* tekinthetők. A szabályozásához szükség van a manipulátor mechanikai leírására.
- A mechanikai leírás első lépése a manipulátor *kinetikai modelljének* felállítása. (9.1, 9.2.pont)

- A kinematikai leírás felhasználásával lehetséges a *dinamikai modell* létrehozása. Ennek elveit és egy módszer algoritmizálását a COROHAND esetében a 9.3.pont ismerteti.

4. Szabályozás

- A dolgozat ismerteti azokat az indokokat, amelyek miatt a manipulátort szabályozóval kell ellátni. A lehetséges szabályozási módszereket és a mechanikai modellek felhasználását a számítógépes szabályozásban a 10.fejezet tárgyalja.

FOGALMAK ÉRTELMEZÉSE

A manipulátortechnika magyar nyelvű irodalmában nem alakult ki a témakör speciális fogalmainak egységes értelmezése és használata. Az alábbiakból kiderül, hogy a dolgozatban milyen értelemben használjuk az egyes technikai kifejezéseket. Ez egyben javaslat az idegennyelvű irodalom fordításának egységesítésére is: ahol indokolt, az adott kifejezés angol megfelelőjét is megadjuk.

- Antropomorf manipu-
látor
- Az emberi kar mozgását utánzó, csupa R típusu csuklóból álló *manipulátor*. Részei az ALAP, VÁLL, KÖNYÖK, CSUKLÓ és a KÉZ illetve végcsonk. CSUKLÓ-nak ("wrist") a KÉZ felőli utolsó billenő típusu rotációs csuklót ("joint") nevezzük. (3.5.ábra)
- Csukló
("Joint")
- A kinematikai lánc elemeinek kapcsolatát megvalósító, erő- vagy nyomatékkifejtésre alkalmas szerkezet. A különböző csukló-típusokat részletesen ismerteti [Denavit & al, 1964], manipulátorokban transzlációs ("prismatic") és rotációs ("revolute") csuklókat szokás alkalmazni. Ezek szokásos jelölése P ill. R. Az R típusu csukló lehet *billenő* vagy *csavaró* jellegű.
- Csuklókoordináta
- A csuklómotorok által közvetlenül vezérelt változó, vagyis az egymást követő kar-tagok relatív helyzete. R típusu csuklók esetén a *csuklószöggel* azonos.

- Csuklószög
("Joint angle")
- Egymást követő két kar-tag által bezárt szög. (R típusu csuklóknál értelmezhető.)
- Feladat-szintű program
("Task-level program")
- A szerelési vagy egyéb manipulációs terv leírása számítógépes program formájában. A manipulátor által mozgatni kívánt tárgyakra vonatkozó szimbólikus hivatkozásokat is tartalmazhat.
- Inverz manipulátor-
probléma
- egy adott *kéz-állapothoz* tartozó *csuklókoordináták* meghatározása
- Kéz-állapot
("Hand state")
- a *kézkoordináták* egy rögzített halmaza: a kéz pozíciójából és orientációjából tevődik össze.
- Kéz-orientáció
- a kéz térbeli szöghelyzete egy referencia helyzethez képest. Az alábbi formákban definiálható: (ld. 4. fejezet)
- 3 x 3-as orientációmátrix
 - Euler szögek
 - az utolsó *kar-tag* irányvektora és a *megfogó* szöghelyzete e vektor körül
- Kéz-pozíció
- a *TCP* helye a térben
- Kar-tag
("Link")
- a *robotkar* két csuklóját összekötő merev idom.
- Konfiguráció
- a *kar-tagoknak* *csuklókoordináták* egy adott érték-halmaza által meghatározott térbeli elrendezése.

- Manipulátor
- Előirt mozgáspályák bejárására alkalmas, nyílt, soros kinematikai láncot képező, aktiv csuklókból és az azokat összekötő tagokból álló mechanizmus. A lánc első tagja általában a külvilághoz van rögzítve, az előirt pályát pedig a kinematikai lánc utolsó tagjának szabad vége járja be.
- Manipulátorszintű program
- Olyan számítógépes mozgásleíró program, amelyben csak a *TCP* által érinteni kívánt munkatérbeli pontokra és *kéz-orientációkra* történik hivatkozás. (v.ö. *Feladat-szintű program*)
- Manipulátor-trajektória
- a *TCP* által bejárando pálya
- Megfogó ("Gripper")
- A *manipulátor* mozgatott végére szerelt, cserélhető, általában kéz-szerű szorító szerkezet. 2 és több ujjas kivitelben is készülhet, gyakran mechanikai érzékelőket is hordoz. Amennyiben funkciója tárgyak egyszerű megfogása és elengedése, akkor *kéznek* is nevezik.
- Ortogonalis manipulátor
- $3P + 3R$ *manipulátor*
- Pályaszámítás
- a *csuklókoordináták* sorozatának előállítása a *tartópontok* sorozatából
- Pályatervezés
- a *manipulátor-trajektória tartópontjainak* előállítása a feladatorientált szerelési tervből, vagy magasabb szintű *robot-programból*.

Pályavezérlés

- a *csuklók* előirt mozgásának on-line irányítása,

Robot

- Mozgásvégrehajtó mechanizmusból, vezérlő és jelfeldolgozó elektronikából, valamint érzékelőkből álló berendezés, amely előirt program szerinti mozgáspályák bejárására alkalmas. A mozgást végrehajtó mechanizmus általában egy *manipulátor*, de lehet járó mechanizmus, vagy jármű is. A programozott mozgást legtöbbször számítógép irányítja.

Robotkar

- *Manipulátor*

Robotkéz

- *Megfogó*

Robotprogram

- A robot által végrehajtandó tevékenységet leíró számítógépes program. A ~ lehet *feladat-szintű* vagy *manipulátor-szintű*.

Szabadságfok

- ~-ok száma megegyezik a függetlenül vezérelhető *kéz-koordináták* számával. Teljes *kéz-állapot* vezérléséhez legalább 6 ~-u manipulátorra van szükség.

Szerszám

- szerelési, vagy egyéb technológiai jellegű részművelet elvégzésére alkalmas, a megfogóval felcserélhető szerkezet.

Tartópont

- az előírt kéz-trajektóriának a *manipulátor-szintű program* által a térben rögzített pontja.

TCP

- "tool center point", vagyis szerszám középpont: az a pont, amelynek mozgását a *manipulátorprogram* vezérli. Megfogóknál az ujjak szimmetriapontját nevezik ~-nek.

Végcsonk

- A manipulátor szabad végén elhelyezkedő csatlakozó elem, amelyre megfogók és szerszámok felszerelhetők. Egy adott manipulátor vezérlése elsősorban a ~ pályavezérlésére irányul, mivel a csatlakozó készülékek (kezek, szerszámok) változhatnak.

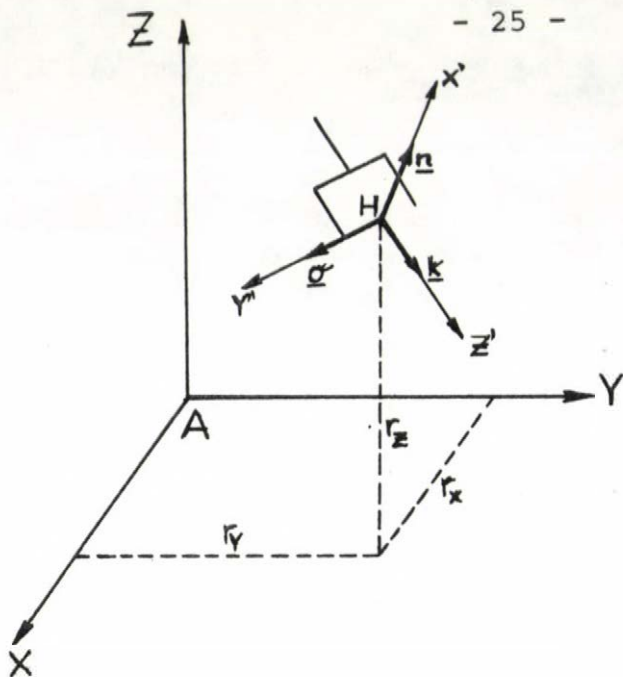
1. A MANIPULÁCIÓS FELADAT LEÍRÁSA

A robot által elvégzendő feladat lényege merev testek manipulációja a munkatérben. A manipulációt térben irányított pozíciók sorozataként írjuk le: ebben a formában adható meg a manipulátor megfogójának, az alkatrészeknek vagy a kifejtendő erőhatásoknak a helye és térbeli orientációja.

1.1. HOMOGEN KOORDINÁTÁK

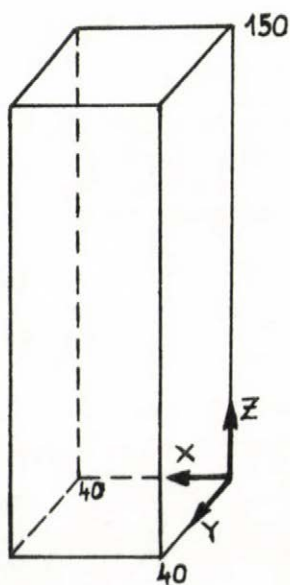
A manipulációs feladat megfogalmazása a felhasználó oldaláról nézve akkor egyszerű és hatékony, ha annak nem a manipulátor mozgását, hanem a mozgatni kívánt tárgyak hely- és helyzetváltozásait kell tartalmaznia: a manipuláció célja ugyanis a munkadarabok, és nem a megfogó mozgatása. Közvetlenül irányítani azonban csak magát a manipulátort tudjuk, ezért egzakt formában meg kell adjuk, hogy mi a kapcsolat egy manipulátor mozgásai és a környezetében levő tárgyak pozíció-és orientációváltozásai között.

Merev testek helyét és helyzetét jellemezhetjük egy, az illető testhez mereven rögzített koordinátarendszerrel. Amennyiben rendelkezésünkre áll a test számítógépes geometriai reprezentációja, akkor ezen koordinátarendszer pozíciójának és orientációjának megadása elégséges lesz a test bármely helyen és helyzetben történő rekonstruálásához. Koordinátarendszerek egymáshoz viszonyított helyzetének megadására előnyös a *homogén koordináták* használata. A 1.1. ábrán látható koordinátarendszerek viszonyát az (1.1.) egyenlet fejezi ki.

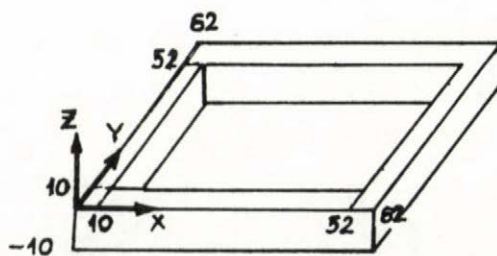


A homogén koordináták értelmezése

1.1. ábra



a/



b/

Munkadarabok

1.2. ábra

$$\begin{bmatrix} e_{Ax} \\ e_{Ay} \\ e_{Az} \\ 1 \end{bmatrix} = \begin{matrix} \text{forgatás} & \text{eltolás} \\ \text{mátrixa} & \text{vektor} \end{matrix} \begin{bmatrix} n_x & o_x & k_x & r_x \\ n_y & o_y & k_y & r_y \\ n_z & o_z & k_z & r_z \\ \emptyset & \emptyset & \emptyset & 1 \end{bmatrix} * \begin{bmatrix} e_{Hx} \\ e_{Hy} \\ e_{Hz} \\ 1 \end{bmatrix} \quad (1.1.)$$

ahol A jelöli az alap koordinátarendszerben értelmezett mennyiségeket, H pedig a \underline{r} -rel megadott pozícióju és $(\underline{n}, \underline{o}, \underline{k})$ orientációju koordinátarendszerben vett mennyiségeket. Az (1) egyenlet egy H beli vektort A-ba transzformál. Röviden:

$$\underline{e}_A = \underline{H} * \underline{e}_H \quad (1.2.)$$

A \underline{H} transzformációs mátrix első 3 oszlopa az $\underline{n}, \underline{o}, \underline{k}$ egységvektorok x, y, z irányu komponenseit, a 4. oszlop az \underline{r} vektor komponenseit tartalmazza.

A manipulátorok pályaszámításában használt 4 x 4-es mátrixok kétfélék lehetnek: koordinátarendszer-leíró mátrixok, amelyek egy adott koordinátarendszert a manipulátor alapkoordinátarendszeréhez képest írják le és transzformációs mátrixok, amelyek két, az alaptól különböző koordinátarendszer viszonyát írják le.

1.2. MUNKADARABOK MOZGATÁSA

A homogén koordinátás transzformációk használata érdekében a siklapokkal határolt tárgyakat egy-egy $4 \times N$ -es mátrix formájában írjuk le, ahol N a csucspontok száma és minden csucspontot egy $(x \ y \ z \ 1)^T$ alakú pozícióvektor jellemez.

Például az 1.2.a ábrán szereplő hasáb leírása:

$$\begin{aligned} \text{HASÁB} = \\ = \begin{bmatrix} 0 & 0 & 0 & 0 & 40 & 40 & 40 & 40 \\ 0 & 0 & 40 & 40 & 0 & 0 & 40 & 40 \\ 0 & 150 & 0 & 150 & 0 & 150 & 0 & 150 \\ 1 & 1 & 1 & 1 & 1 & 1 & 1 & 1 \end{bmatrix} \end{aligned} \quad (1.3.)$$

Az 1.2.b ábra szerinti kereté pedig:

$$\begin{aligned} \text{KERET} = \\ = \begin{bmatrix} 0 & 0 & 0 & 0 & 62 & 62 & 62 & 62 & 10 & 10 & 10 & 10 & 52 & 52 & 52 & 52 \\ 0 & 0 & 62 & 62 & 0 & 0 & 62 & 62 & 10 & 10 & 52 & 52 & 10 & 10 & 52 & 52 \\ 0 & -10 & 0 & -10 & 0 & -10 & 0 & -10 & 0 & -10 & 0 & -10 & 0 & -10 & 0 & -10 \\ 1 & 1 & 1 & 1 & 1 & 1 & 1 & 1 & 1 & 1 & 1 & 1 & 1 & 1 & 1 & 1 \end{bmatrix} \end{aligned} \quad (1.4.)$$

Ha egy manipulációs feladat során pl. a hasábot elfordítjuk az 1.3. ábrán látható helyzetbe és áthelyezzük a H1 pozícióba, akkor ezen művelet eredményét homogén transzformációkkal az (1.5.) egyenlet szerint írhatjuk le:

$$\begin{bmatrix} 0 & 0 & -1 & 500 \\ -1 & 0 & 0 & 100 \\ 0 & 1 & 0 & 0 \\ 0 & 0 & 0 & 1 \end{bmatrix} * \begin{bmatrix} 0 & 0 & 0 & 0 & 40 & 40 & 40 & 40 \\ 0 & 0 & 40 & 40 & 0 & 0 & 40 & 40 \\ 0 & 150 & 0 & 150 & 0 & 150 & 0 & 150 \\ 1 & 1 & 1 & 1 & 1 & 1 & 1 & 1 \end{bmatrix} =$$

$$= \begin{bmatrix} 500 & 350 & 500 & 350 & 500 & 350 & 500 & 350 \\ 100 & 100 & 100 & 100 & 60 & 60 & 60 & 60 \\ 0 & 0 & 40 & 40 & 0 & 0 & 40 & 40 \\ 1 & 1 & 1 & 1 & 1 & 1 & 1 & 1 \end{bmatrix} \quad (1.5.)$$

Mint látható, a transzformációs mátrix első 3 oszlopa az elforgatott koordinátarendszer tengelyeinek irányát, a 4. oszlop az origó új helyét adja meg. Az (1.5) egyenlet jobb oldalán levő mátrix oszlopai pedig a csucsok új koordinátáit adják meg. Helyezzük az (1.5) egyenletnek megfelelő helyzetű hasábot a keretbe. (1.3. ábra)

A hasáb cél-állapotát az (1.6) egyenlet írja le:

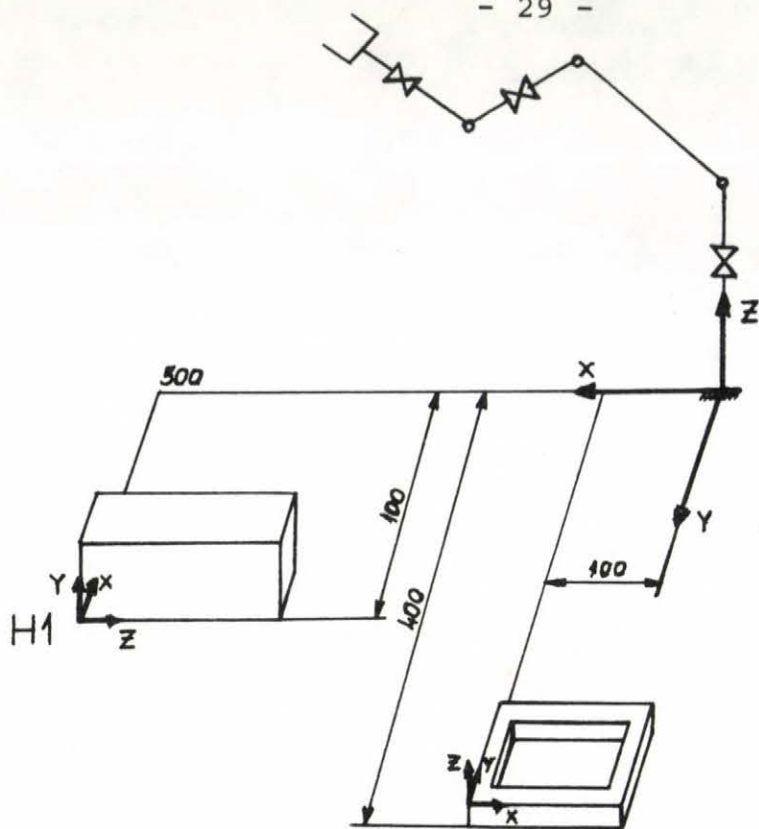
$$= \begin{bmatrix} 1 & 0 & 0 & 49 \\ 0 & 1 & 0 & 349 \\ 0 & 0 & 1 & 0 \\ 0 & 0 & 0 & 1 \end{bmatrix} * \begin{bmatrix} 0 & 0 & 0 & 0 & 40 & 40 & 40 & 40 \\ 0 & 0 & 40 & 40 & 0 & 0 & 40 & 40 \\ 0 & 150 & 0 & 150 & 0 & 150 & 0 & 150 \\ 1 & 1 & 1 & 1 & 1 & 1 & 1 & 1 \end{bmatrix}$$

$$= \begin{bmatrix} 49 & 49 & 49 & 49 & 89 & 89 & 89 & 89 \\ 349 & 349 & 389 & 389 & 349 & 349 & 389 & 389 \\ 0 & 150 & 0 & 150 & 0 & 150 & 0 & 150 \\ 1 & 1 & 1 & 1 & 1 & 1 & 1 & 1 \end{bmatrix} \quad (1.6)$$

A szerelést ebben az interpretációban homogén transzformációk sorozatának tekintjük. Az érthetőség és a számítás ill. programozás megkönnyítése végett relativ transzformációkat alkalmazunk, amelyek jelölése:

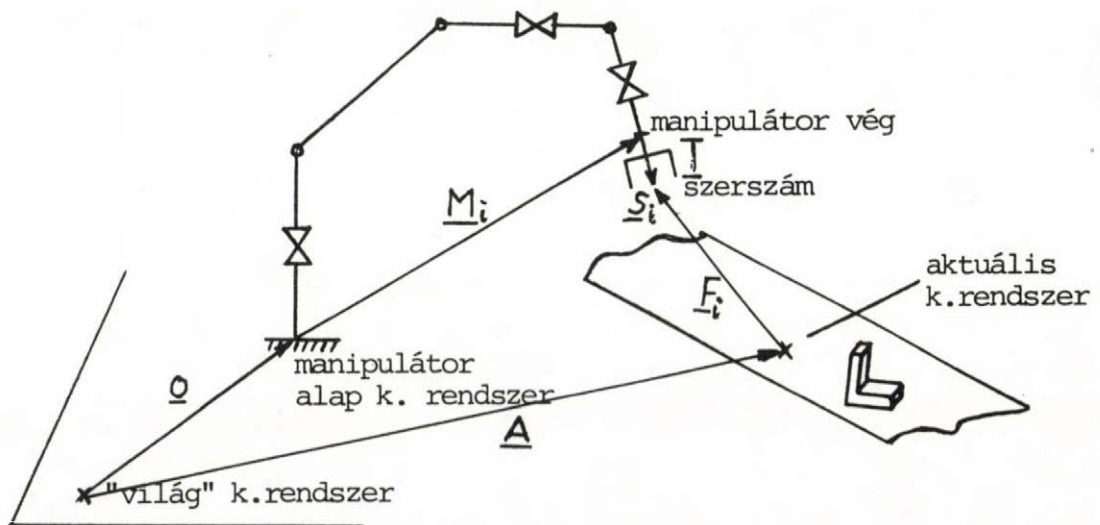
MUNKADARAB

VONATKOZTATÁSI KOORDINÁTARENDSZER



Egy manipulációs feladat

1.3. ábra



Koordinátarendszerek kapcsolata

1.4. ábra

A keret és a hasáb példájában a hasábot a kerethez képest pozicionáló transzformáció:

$$\underline{\text{HASÁB}}_{\text{KERET}} = \begin{bmatrix} 0 & 1 & 0 & -20 \\ -1 & 0 & 0 & 20 \\ 0 & 0 & 1 & -10 \\ 0 & 0 & 0 & 1 \end{bmatrix} \quad (1.7)$$

Végezzünk ezután manipulációt a hasábot befoglaló kerettel, pl. fordítsuk el 90° -kal a z tengely körül és pozicionáljuk az $x = 100$, $y = 200$, $z = 10$ pontba az alap koordinátarendszerhez képest. Eszerint:

$$\underline{\text{KERET}}_{\text{ALAP}} = \begin{bmatrix} 0 & -1 & 0 & 100 \\ 1 & 0 & 0 & 200 \\ 0 & 0 & 1 & 10 \\ 0 & 0 & 0 & 1 \end{bmatrix} \quad (1.8)$$

A kerettel együtt mozgó hasáb természetesen megtartotta eredeti helyzetét a kerethez képest. Így a hasábnak az alap koordinátarendszerbeli állapota az (1.9) egyenlettel írható fel:

$$\underline{\text{HASÁB}}_{\text{ALAP}} = \underline{\text{KERET}}_{\text{ALAP}} * \underline{\text{HASÁB}}_{\text{KERET}} = \begin{bmatrix} 0 & -1 & 0 & 100 \\ 1 & 0 & 0 & 200 \\ 0 & 0 & 1 & 10 \\ 0 & 0 & 0 & 1 \end{bmatrix} * \begin{bmatrix} 0 & 1 & 0 & -20 \\ -1 & 0 & 0 & 20 \\ 0 & 0 & 1 & -10 \\ 0 & 0 & 0 & 1 \end{bmatrix} = \begin{bmatrix} 1 & 0 & 0 & 80 \\ 0 & 1 & 0 & 180 \\ 0 & 0 & 1 & 0 \\ 0 & 0 & 0 & 1 \end{bmatrix} \quad (1.9)$$

1.3. RELATIV TRANSZFORMÁCIÓK A MUNKATÉRBEN

A manipulátor feladata az, hogy a megfogót (kezet, szerszámot) előre megadott térbeli pozíciók és orientációk sorozatán át egy kezdő állapotból egy végállapotba vigye. (A továbbiakban a manipulátorkéz helyét és helyzetét együttesen a kéz (megfogó, szerszám) állapotának fogjuk nevezni.) Egy kéz-állapotot (\underline{S}_i) kétféleképpen fejezhetünk ki:

$$\underline{S}_i = \underline{Q} * \underline{M}_i * \underline{T} \quad \text{és} \quad \underline{S}_i = \underline{A} * \underline{F}_i \quad (1.10)$$

ahol

\underline{Q} jelenti a manipulátor alapjának állapotát a referencia koordinátarendszerben, amit állandónak tekintünk egy adott feladat végrehajtása során; (az egyszerűség kedvéért \underline{Q} a továbbiakban az egységmátrix lesz, azaz referenciaként a manipulátor alapját választjuk.)

\underline{M}_i a manipulátor végpontjának állapota megadott trajektória i -ik pontjában;

\underline{T} a kéz, vagy szerszám középpont (TCP-tool center point) állapota a manipulátor végcsonkhoz képest. Ezt a transzformációt is változatlannak tekintjük egy trajektória bejárása során: különböző feladatokhoz a manipulátor szerszámot cserélhet, amikor \underline{T} értéke megváltozhat.

\underline{A} az aktuális koordinátarendszer mátrixa. Az aktuális koordinátarendszer kapcsolódhat egy munkahelyhez, egy ellenőrző padhoz, egy mozgó szállítószalaghoz, stb.

Ha \underline{A} megegyezik a manipulátor koordinátarendszerével, akkor egységmátrisszá válik.

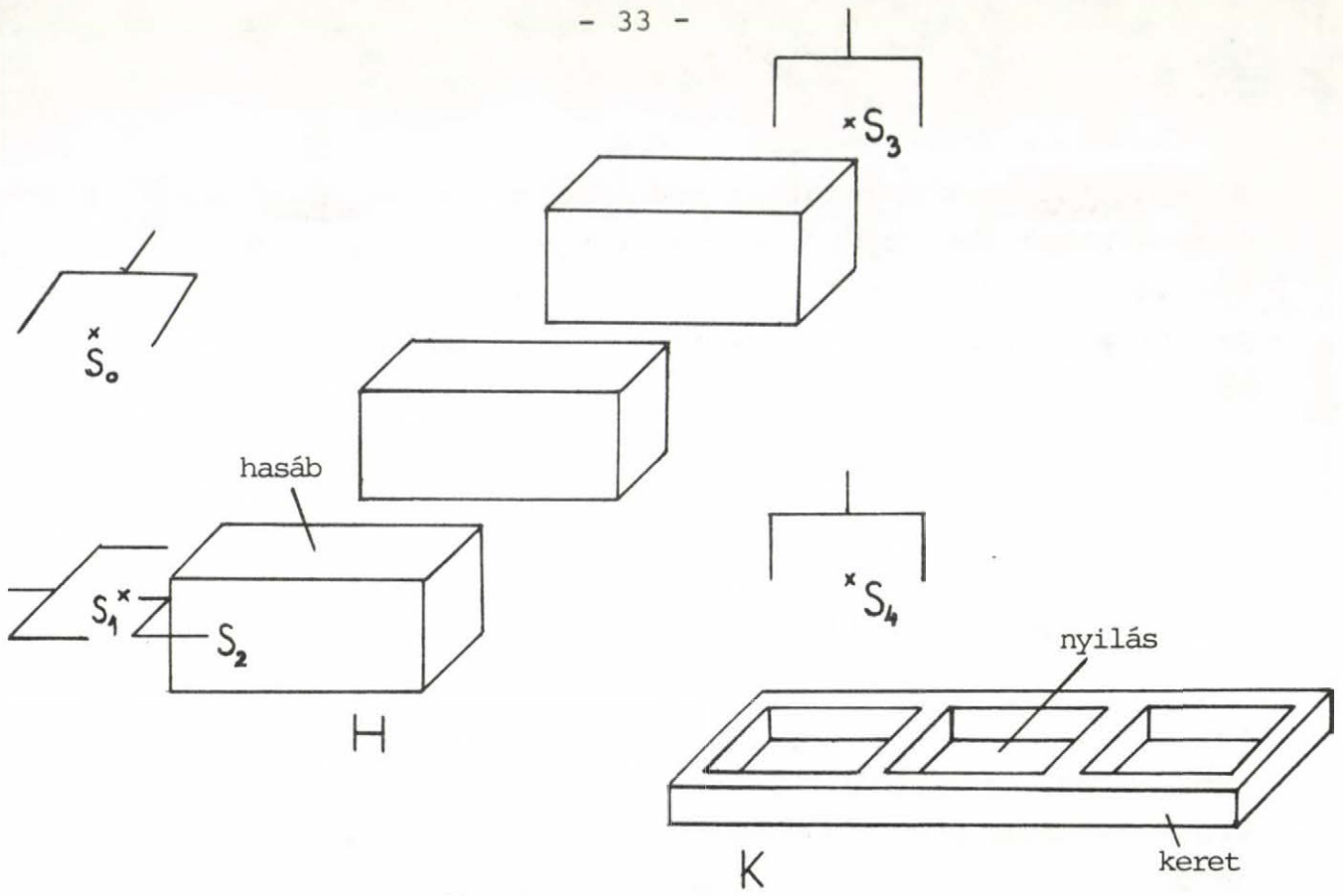
\underline{F}_i a fogás vagy szerelés transzformációs mátrixa, amely a manipulátor megfogó vagy szerszám kívánt helyzetét írja le a szerelés i -ik lépésében, az aktuális koordinátarendszerben.

Az (1.10) egyenletben szereplő koordinátarendszerek kapcsolatát az 1.4. ábra mutatja.

Bármilyen formában definiáljuk is a manipulátor számára a feladatot, annak végrehajtása előtt elő kell állítani azokat a kéz-állapotokat, amelyekben a kéznek a mozgás során át kell haladnia és ezen állapotok ismeretében meg kell határozni a megfelelő \underline{M}_i transzformáció-sorozatot ($i = 1 \dots n$ az érintett állapotokon futó index). E számítás menetét az alábbi példán keresztül mutatjuk be:

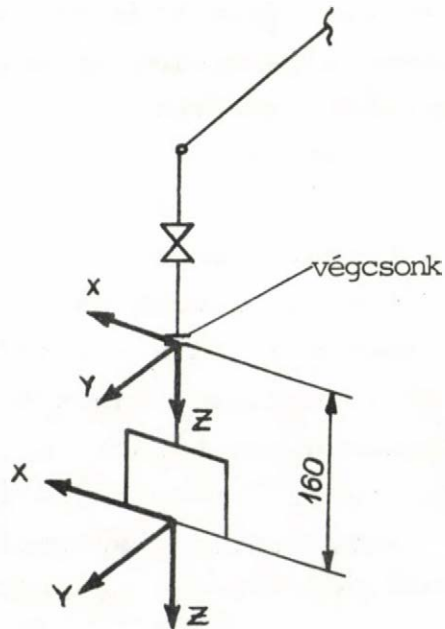
A feladat a H jelű hasáb beillesztése a K keretbe. (1.5. ábra)
A végrehajtás során a TCP az $S_0 \dots S_4$ állapotokon halad át.
A feladat matematikai reprezentációjához az alábbi transzformációkat fogjuk használni: (az alsó index a viszonyítási koordinátarendszerre utal, az alsó index nélküli mennyiségek a ref. koordinátarendszerben vannak értelmezve.)

- $\underline{H}(i)$ az i -ik hasáb állapota a referencia koordinátarendszerben;
- \underline{K} a keret állapota a referencia koordinátarendszerben;
- $\underline{N}_K(j)$ a j -ik nyílás helye a keret koordinátarendszerében;
- \underline{A}_H a megfogó állapota a hasábhöz való közelítéskor;
- \underline{G}_H a hasábot tartó megfogó állapota a hasábhöz képest;
- \underline{HA}_N a hasáb állapota a kerethez való közelítéskor a nyíláshöz képest;
- \underline{HK}_N a hasáb állapota a keretbe helyezés után a nyíláshöz képest;



Megfogó-állapotok egy feladat végrehajtása során

1.5. ábra



Szerszám-transzformáció

1.6. ábra

A feladatot ezek után olyan transzformációs egyenletek sorozataként tekintjük, amelyeket \underline{M}_i -re kell egyenként megoldanunk így előállítva a manipulátornak szóló parancsok sorozatát. Az egyenletek az adott példában az alábbiak:

$$\begin{aligned} \underline{S1}: \quad \underline{M}_1 * \underline{T} &= \underline{H}(i) * \underline{A}_H \\ \underline{S2}: \quad \underline{M}_2 * \underline{T} &= \underline{H}(i) * \underline{G}_H \\ \underline{S3}: \quad \underline{M}_3 * \underline{T} &= \underline{K} * \underline{N}_K(j) * \underline{H}_{A_N} * \underline{G}_H \\ \underline{S4}: \quad \underline{M}_4 * \underline{T} &= \underline{K} * \underline{N}_K(j) * \underline{H}_{K_N} * \underline{G}_H \end{aligned} \quad (1.11)$$

Egy valóságos feladat végrehajtása során ennél jóval több kitüntetett ponton halad át a robotkéz, a feladat strukturájának szemléltetésére azonban ez az egyszerűsített példa is elegendő. A strukturált leírás nagy előnye az, hogy például egy újabb hasábnak egy másik nyílásba való behelyezésekor csupán a $\underline{H}(i)$ és az $\underline{N}_K(j)$ transzformációk kapnak új értéket, amelyekkel azután a feladat a korábbival azonos program szerint hajtható végre.

Az (1.11) egyenletrendszer jobb oldalán előforduló, vagyis a kívánt manipulátor-állapotokat előállító transzformációk többféle forrásból ismertek:

- az $\underline{N}_K(j)$ értékeket például a munkadarabok műszaki rajzából vagy számítógépes leírásából nyerhetjük;
- az \underline{A}_H , \underline{G}_H , stb transzformációkat úgy szokás előállítani, hogy a manipulátort pontról pontra vezérlik, leolvassák \underline{M}_i -t és a transzformációs egyenletet megoldják a keresett transzformációra nézve. Ezt nevezik "mutatva tanításnak" a robot irodalomban. Ugyanezen transzformációk megoldhatók azonban egy szerelési terv, vagyis a szerelés menetét rögzítő magasabb szintű program keretében is.

A továbbiakban felírjuk a specifikációs fázis eredményeit, vagyis az (1.11) egyenletrendszerben szereplő transzformációkat. A referencia koordinátarendszer origója egybeesik a manipulátor alapjával, így az (1.10) egyenletben $\underline{0} = \underline{I}$, az egységtranszformáció.

A megfogó állapotát a manipulátor végcsonkjához képest kell definiálnunk. (1.6.ábra)

$$\underline{T} = \begin{bmatrix} 1 & 0 & 0 & 0 \\ 0 & 1 & 0 & 0 \\ 0 & 0 & 1 & 160 \\ 0 & 0 & 0 & 1 \end{bmatrix} \quad (1.12)$$

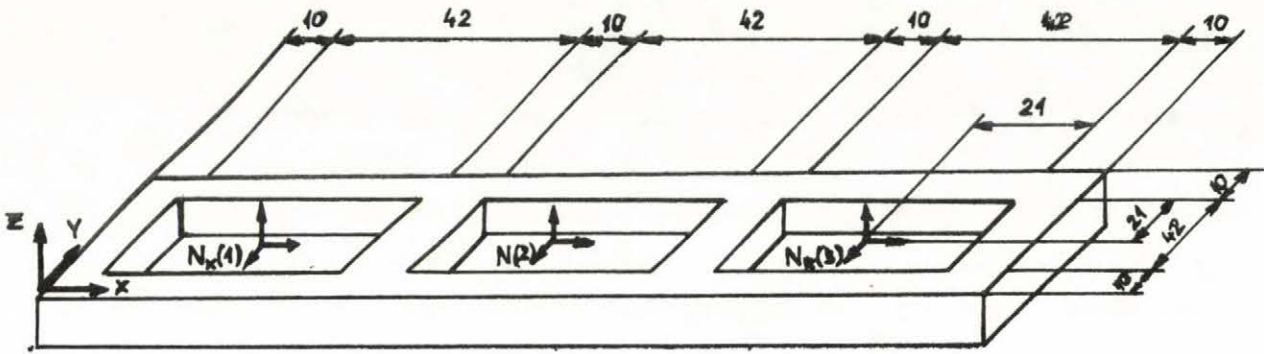
Egy hasáb méretei az 1.2.ábrán láthatók.

A négyzetes nyilásokat tartalmazó keret (K) paraméterei a 1.7.ábrán láthatók.

Ezek szerint az $\underline{N}_K(j)$ transzformációk:

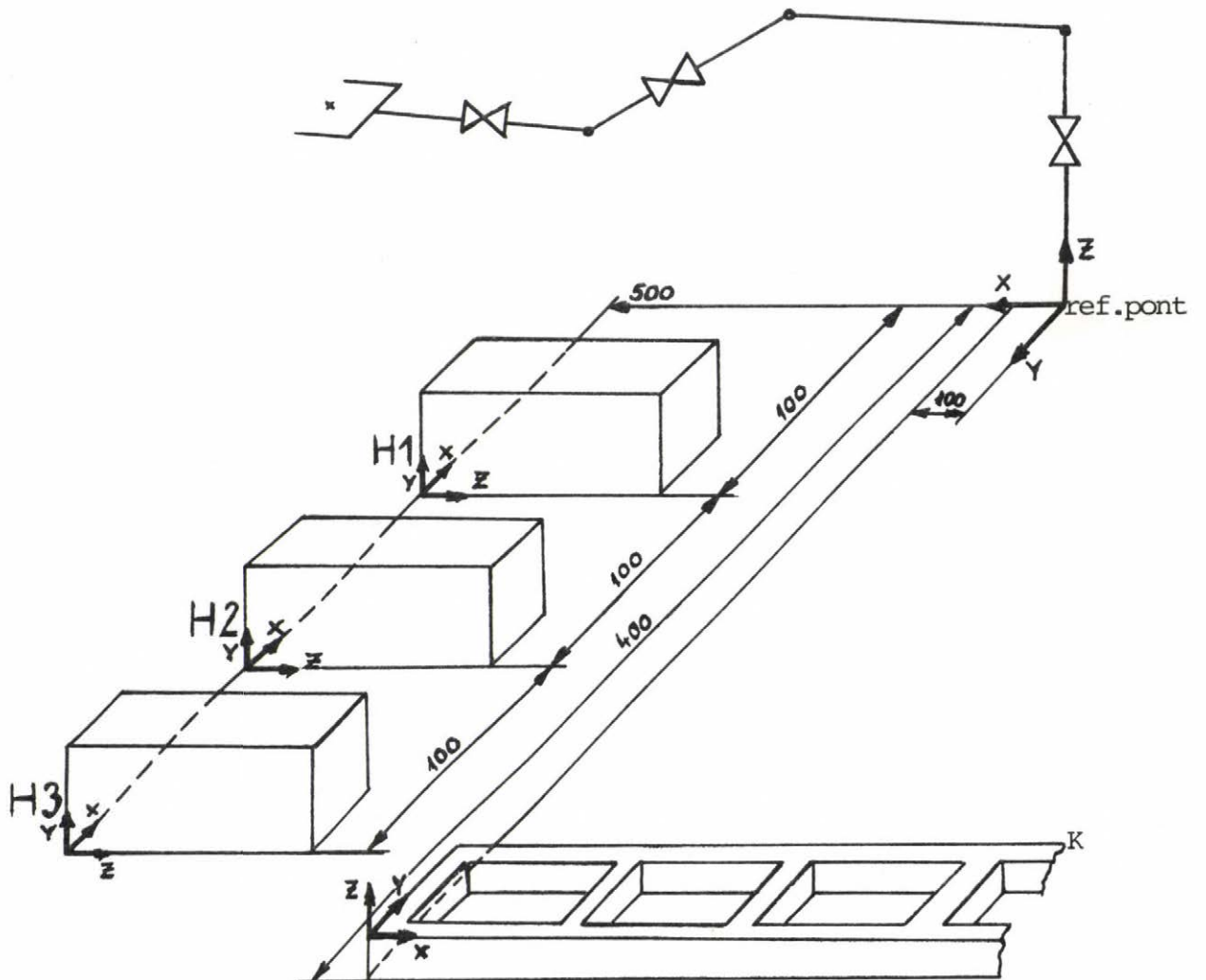
$$\underline{N}_K(1) = \begin{bmatrix} 1 & 0 & 0 & 31 \\ 0 & 1 & 0 & 31 \\ 0 & 0 & 1 & 0 \\ 0 & 0 & 0 & 1 \end{bmatrix} \quad \underline{N}_K(2) = \begin{bmatrix} 1 & 0 & 0 & 83 \\ 0 & 1 & 0 & 31 \\ 0 & 0 & 1 & 0 \\ 0 & 0 & 0 & 1 \end{bmatrix} \quad \underline{N}_K(3) = \begin{bmatrix} 1 & 0 & 0 & 135 \\ 0 & 0 & 0 & 31 \\ 0 & 0 & 1 & 0 \\ 0 & 0 & 0 & 1 \end{bmatrix} \quad (1.13)$$

A munkatér elrendezése kiindulási állapotban a 1.8.ábrán látható.



A keret geometriája

1.7. ábra



A munkatér elrendezése

1.8. ábra

A kerethez vezető transzformáció:

$$\underline{K} = \begin{bmatrix} -1 & 0 & 0 & 100 \\ 0 & -1 & 0 & 400 \\ 0 & 0 & 1 & 10 \\ 0 & 0 & 0 & 1 \end{bmatrix} \quad (1.14)$$

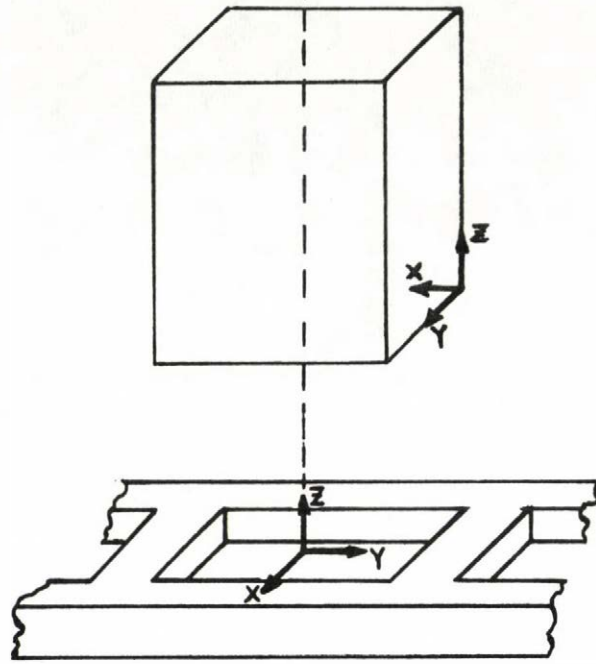
$$\underline{H}(1) = \begin{bmatrix} 0 & 0 & -1 & 500 \\ -1 & 0 & 0 & 100 \\ 0 & 0 & 0 & 0 \\ 0 & 0 & 0 & 1 \end{bmatrix} \quad \underline{H}(2) = \begin{bmatrix} 0 & 0 & -1 & 500 \\ -1 & 0 & 0 & 200 \\ 0 & 1 & 0 & 0 \\ 0 & 0 & 0 & 1 \end{bmatrix} \quad \underline{H}(3) = \begin{bmatrix} 0 & 0 & -1 & 500 \\ -1 & 0 & 0 & 500 \\ 0 & 1 & 0 & 0 \\ 0 & 0 & 0 & 1 \end{bmatrix} \quad (1.15)$$

A szerelés tervező rendszerben a $\underline{H}(i)$ transzformációk az (1.15) szerinti explicit megadáson kívül egyéb forrásból is származhatnak. Érkezhetnek a munkadarabok pl. egy futószalagon, amelynek megadott pontjáról emeli le a manipulátor a darabot. Lehetséges az is, hogy a munkadarabok pontos helye és helyzete nem ismert és ezeket televíziós kamera segítségével keressük meg, amint az az intelligens szem-kéz rendszerekben történik. [Nevins, Whitney, 1978]

A (1.11) egyenletrendszerben szereplő további transzformációk:

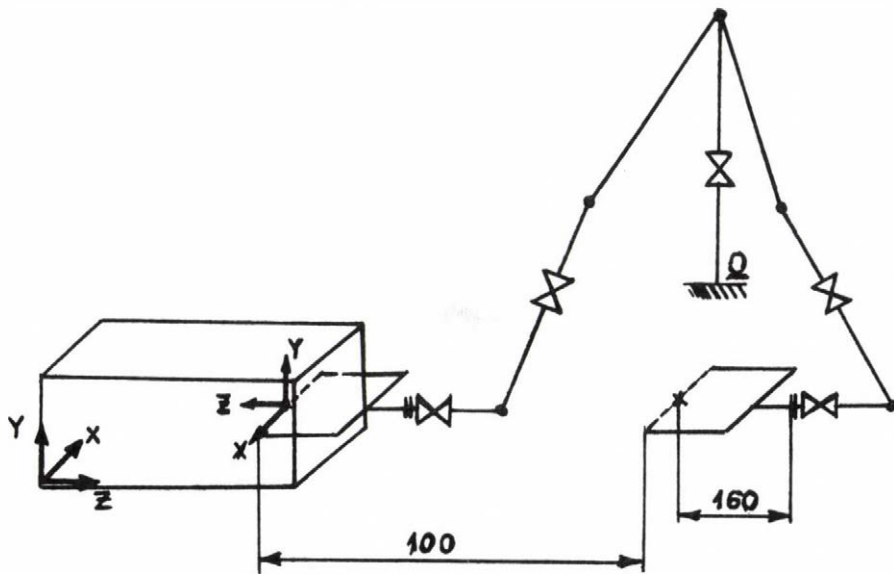
- a kerethez közeledő ill. abba helyezett hasáb helyzetének leírása (1.9. ábra)

Az 1.2. és 1.6. ábrán megadott méreteket, továbbá a szimmetriatengelyek egybeesését figyelembe véve:



Hasáb behelyezése a keretbe

1.9. ábra



Egy hasáb és a megfogó kapcsolata

1.10 ábra

$$\underline{H}_{\underline{N}} = \begin{bmatrix} 0 & 1 & 0 & 20 \\ -1 & 0 & 0 & 20 \\ 0 & 0 & 1 & 100 \\ 0 & 0 & 0 & 1 \end{bmatrix}$$

(1.16)

$$\underline{H}_{\underline{K}} = \begin{bmatrix} 0 & 1 & 0 & 20 \\ -1 & 0 & 0 & 20 \\ 0 & 0 & 1 & -10 \\ 0 & 0 & 0 & 0 \end{bmatrix}$$

(1.17)

- a hasáb és a megfogó közötti transzformációk: (1.10.ábra)

$$\underline{G}_{\underline{H}} = \begin{bmatrix} -1 & 0 & 0 & 20 \\ 0 & 1 & 0 & 20 \\ 0 & 0 & -1 & 150 \\ 0 & 0 & 0 & 1 \end{bmatrix}$$

(1.18)

$$\underline{A}_{\underline{H}} = \begin{bmatrix} -1 & 0 & 0 & 20 \\ 0 & 1 & 0 & 20 \\ 0 & 0 & -1 & 250 \\ 0 & 0 & 0 & 1 \end{bmatrix}$$

(1.19)

Az (1.12) - (1.19) transzformációkat az (1.11) egyenletbe helyettesítve megkapjuk az S1...S4 állapotokat, amelyeken a feladat végrehajtása során a manipulátornak át kell haladnia. Ezek a pontok mintegy "kifeszítik" a kívánt trajektoriát. Példaként számítsuk ki a manipulátor végcsomk koordinátáit az S1 állapotban, amikor a H1 hasábhöz közeledik:

$$\begin{aligned} \underline{M}_1 &= \underline{H}(1) * \underline{A}_{\underline{H}} * \underline{T}^{-1} = \\ &= \begin{bmatrix} 0 & 0 & -1 & 500 \\ -1 & 0 & 0 & 100 \\ 0 & 1 & 0 & 0 \\ 0 & 0 & 0 & 1 \end{bmatrix} * \begin{bmatrix} -1 & 0 & 0 & 20 \\ 0 & 1 & 0 & 20 \\ 0 & 0 & -1 & 250 \\ 0 & 0 & 0 & 1 \end{bmatrix} * \begin{bmatrix} 1 & 0 & 0 & 0 \\ 0 & 1 & 0 & 0 \\ 0 & 0 & 1 & -160 \\ 0 & 0 & 0 & 1 \end{bmatrix} = \\ &= \begin{bmatrix} 0 & 0 & 1 & 90 \\ 1 & 0 & 0 & 80 \\ 0 & 1 & 0 & 20 \\ 0 & 0 & 0 & 1 \end{bmatrix} \end{aligned} \quad (1.20)$$

Tehát a manipulátor végét a (90, 80, 20) pontba kell vinni a hasáb megközelítése előtt, mégpedig úgy, hogy a referencia irányhoz képest a kéz tengelye (z) az x, a normálvektora (y) pedig a z irányába mutasson. Az (1.20) számításához hasonlóan kell meghatározni a kívánt kéztrajektória minden pontját. Így a kar az alábbi állapotokon fog keresztülhaladni:

$$\underline{M}_1 = \begin{bmatrix} 0 & 0 & 1 & 90 \\ 1 & 0 & 0 & 80 \\ 0 & 1 & 0 & 20 \\ 0 & 0 & 0 & 1 \end{bmatrix}$$

$$\underline{M}_2 = \begin{bmatrix} 0 & 0 & 1 & 240 \\ 1 & 0 & 0 & 80 \\ 0 & 1 & 0 & 20 \\ 0 & 0 & 1 & 1 \end{bmatrix}$$

$$\underline{M}_3 = \begin{bmatrix} -1 & 0 & 0 & 69 \\ 0 & 1 & 0 & 209 \\ 0 & 0 & -1 & 430 \\ 0 & 0 & 0 & 1 \end{bmatrix}$$

$$\underline{M}_4 = \begin{bmatrix} -1 & 0 & 0 & 69 \\ 0 & 1 & 0 & 209 \\ 0 & 0 & -1 & 310 \\ 0 & 0 & 0 & 1 \end{bmatrix}$$

(1.21)

Egy valóságos feladatban természetesen lényegesen több trajektória-tartópontot kell átadnunk a manipulátor pályavezérlő programjának, amelynek feladata a számított pontok közötti ut generálása.

Az (1.10) egyenletet természetesen nemcsak az \underline{M}_i értékek meghatározására használhatjuk fel. A robot kézi vezérlésével például beállíthatunk egy \underline{S}_i állapotot, amelyben a robot érintkezésbe kerül valamilyen munkadarabbal vagy más tárggyal. A két objektum (t.i. a robot-megfogó és a munkadarab) érintkezése által keletkezett kényszerrel figyelembe véve meg tudjuk állapítani a megfogott darab térbeli helyzetét és így pontos ismereteket szerezhetünk a robot környezetéről.

Amennyiben a manipulációs feladat a példában leirtohoz hasonló jellegű, a szereplő munkadarabokat rögzítő homogén transzformációk, ill. a transzformációs mátrixokban szereplő adatok egy része vizuális képfeldolgozás útján, azaz egy televíziós kamera segítségével is megszerzhető. Ebben az esetben az

$$\underline{S} = \underline{C} * \underline{PIC} \quad (1.22)$$

egyenlet teremt kapcsolatot egy tárgy referenciarendszerbeli állapota (\underline{S}), a kamera referenciarendszerben értelmezett állapota (\underline{C}) és a tárgynak a kamera koordináta-rendszerében értelmezett pozíciója és orientációja (\underline{PIC}) között. Ez utóbbi a kamera által adott képből számítható ki, mivel a kamera fix helyen és helyzetben van. \underline{C} értékét

egy ismert állapotban lévő tárgy segítségével rögzíthetjük a (1.23) egyenlet szerint:

$$\underline{C} = \underline{S} * \underline{PIC}^{-1} \quad (1.23)$$

1.4. A MANIPULÁCIÓS PROGRAM

Vezessük be az alábbi transzformációs kifejezéseket:

$$\underline{MAN} = \underline{WP}^{-1} * \underline{M} \quad (\text{a manipulátor végcsonk állapota a WP munkadarabokhoz képest})$$

$$\underline{TCP} = \underline{T} \quad (\text{szerszám középpont})$$

ahol WP a munkadarab állapota a referencia koordináta-rendszerben, M a manipulátor végcsonk állapota a referencia rendszerben, T a megfogó által behozott transzformáció.

Az S1 állapotnak megfelelően a mozgás első lépése

$$\underline{MAN} = \underline{H}(1)^{-1} * \underline{M} \quad \text{a manipulátort az 1. hasábhoz képest definiáljuk}$$

$$\underline{TCP} = \underline{T}$$

$$\text{MOVE } \underline{A}_H(1)$$

Az S2 állapot szerint:

$$\underline{MAN} \quad \text{változatlan}$$

A hasáb megfogása után a szerszám új definíciója

$$\underline{TCP} = \underline{T} * \underline{G}_H^{-1} \quad \text{azaz a TCP-t a megfogott hasáb végpontjába helyezzük át.}$$

A 3 hasáb behelyezésére szolgáló teljes program:

```
TCP = T                *szerszám rögzítés
I = 1
(WHILE
MAN = H(1)-1 * M      *manipulátor definiálás a ha-
                          sábhöz képest
MOVE AH                *menj az AH pontba
MOVE GH                *menj a GH pontba
GRIP                      *zárd össze a megfogót
TCP = T * GH-1      *a TCP a hasáb végén
N = K * NK(I)        *a nyílás abszolút pozíciója
MAN = N-1 * M      *manipulátor definiálás a nyílás-
                          hoz képest
MOVE HAN              *közelít a nyíláshoz
MOVE HKN              *behelyezi a hasábot
K = N * NK(I)-1    *a keret helyzetének pontosítása
DROP                      *elengedi a hasábot
MAN = HKN-1 * N-1 * M * M  *manipulátor definíció ismét
                          a hasábhöz képest
TCP = T                *TCP ismét a megfogó középpontban
MOVE AH                *eltávolodik a hasábtól
I = I + 1                 *térj át a következő darabra
WHILE ) I < = 3
.
.
.
```

A példaprogramból néhány következtetést vonhatunk le:

- a koordinátarendszerek alkalmas megválasztásával minimálisra csökkenthetjük azoknak a változóknak a számát, amelyeknek az értékét minden egyes munkadarabfelvételéhez meg kell ujitani: az adott esetben a $\underline{H}(I)$ és $\underline{N}_K(I)$ transzformációs változók kapnak új értéket, míg az \underline{A}_H , \underline{G}_H , \underline{HA}_N , \underline{HK}_N értékek nem változnak.
- lehetőség van a kamera által szolgáltatott információ beépítésére az (1.22) összefüggés felhasználásával:

READ (PIC) *beolvassa a hasáb helyzetét a kamerához képest

$\underline{H} = \underline{C} * \underline{PIC}$ *a hasáb abszolút helyzete

- a szerszám középpont (TCP) újradefiniálásával a robotkart és az általa tartott munkadarabot egyetlen egységként kezelhetjük és a mozgatási utasítások argumentumaként magát a mozgatott munkadarabot adhatjuk meg.
- a manipulátor helyzetét a pillanatnyi mozgás célpontjához viszonyítva definiáljuk, mivel a végcélhoz vezető trajektória mentén megadott trajektória pontok (pl. \underline{A}_H) is a célhoz (\underline{H}) képest vannak definiálva.

Ebben a fejezetben áttekintettük, hogy egy szerelési feladatleírást miképpen transzformálhatunk át a manipulátor számára előírt mozgáspályává, azaz olyan térbeli pozíciók és orientációk sorozatává, amelyen a manipulátort a feladat végrehajtása során végig kell vezetni.

A továbbiakban a kéz mozgásának vizsgálatáról áttérünk a

robot csuklóinak ("izületeinek") mozgáselemzésére. A manipulátor kéz ill. megfogó előirt pályán történő mozgását az egyes csuklók koordinált mozgása hozza létre: a vezérlési parancsokat az egyes csuklóknak szóló parancsokká kell lebontanunk és a végrehajtás fizikai korlátai is a csuklókat mozgató hajtóművektől függenek.

2. MANIPULÁTOROK VEZÉRLÉSI ELVEI

Ebben a fejezetben áttekintjük azokat a módszereket, amelyekkel a robotkézre vonatkozó mozgási utasításokat a manipulátor csuklóit szabályozó rendszer alapelveivé, vagyis a csuklókra vonatkozó mozgási utasításokká bontjuk le. Ez utóbbiak végrehajtását a szabályozó algoritmusok biztosítják, amelyekkel a 8.-11. fejezetekben foglalkozunk.

A manipulátor-kéz illetve a csuklók mozgását jellemző változók típusától függően az irodalomban két alapvető manipulátor-vezérlési módot találunk. Az egyik a sebességvezérlés, ahol a karmozgás iránya és sebessége, azaz sebességvektora adott a kívánt kéz-trajektória meghatározott pontjaiban és ebből kell meghatározni az egyes csuklók forgási sebességének időfüggvényeit. A másik mód a pozícióvezérlés, ahol a manipulátor kéz pozíciójából a mozgató tengelyek szöghelyzet-idő függvényeit határozzuk meg. Mindkét módszernek vannak olyan sajátosságai, amelyek egy-egy alkalmazásban mellette vagy ellene szólnak. Orvosi-prosztetikai alkalmazásokban például gyakori a közvetlen sebességvezérlés, mivel a kis dinamikai igénybevétel lényeges szempont. [Moe, 1972] Ipari célu manipulátorokra inkább a pozícióvezérlés jellemző, mivel evvel nagyobb sebesség érhető el és a vezérlő számítógéppel kapcsolatos minőségi követelmények is alacsonyabbak - tehát gazdaságosabb.

Mielőtt a kétféle megközelítést részletesebben is elemeznénk, meg kell említeni, hogy sok rendszerben az alkalmazott vezérlési módot eltakarja a jelek belső feldolgozása. Például a bemenő sebességparancsok integrálásával a manipulátor-kéz pozíciójára nyerünk adatokat. Másrészt pozíció-orientáció

jellegű adatok differenciálásával egy-egy csukló mozgási sebességét leíró jelsorozatot kaphatunk. Ez utóbbi módszert követjük a COROHAND irányításánál is. E választás megindoklása érdekében azonban áttekintjük mindkét mozgásvezérlő módszer fő vonásait.

2.1. SEBESSÉGVÉZÉRLÉS

2.1.1. Whitney módszere ("Resolved rate control")

E módszer részletes leírását [Whitney, 1972]-ben találjuk. Mivel a módszer meglehetősen elterjedt manipulátor-jellegű mechanizmusok vezérlésében, az alábbiakban ismertetjük lényeges elemeit.

Jelöljük \underline{s} -szel a parancs változók egy halmazát egy tetszőleges koordinátarendszerben. Legyen \underline{q} a csuklószőgek egy halmaza. A két halmazt az

$$s_i = f_i(\underline{q}) \quad i = 1 \dots n \quad (2.1.)$$

összefüggések kapcsolják össze, ahol n a vezérelni kívánt változók száma, \underline{q} reprezentálja a manipulátor "szabadságfokait". \underline{s} -t időben differenciálva:

$$d\underline{s}/dt = \dot{\underline{s}} = \underline{J}(\underline{q}) * \dot{\underline{q}} \quad (2.2.)$$

ahol a \underline{J} mátrix elemei eleget tesznek a

$$j_{ij} = \partial s_i / \partial q_j = \partial f_i(\underline{q}) / \partial q_j, \quad \emptyset < i < n, \quad \emptyset < j < m \quad (2.3.)$$

összefüggéseknek, ahol n az \underline{s} , m a \underline{q} dimenzióinak száma. A sebességvezérlés egyik előnye, hogy a (2.2.) egyenlet

$\dot{\underline{q}}$ -ra nézve lineáris és így a manipulátor csukló-sebességét megkaphatjuk a

$$\dot{\underline{q}} = \underline{J}^{-1}(\underline{q}) * \dot{\underline{s}} \quad (2.4.)$$

egyenletből, feltéve, hogy a \underline{J} mátrixnak van inverze.

Rögzítsünk egy koordináta-rendszert egy 6 csuklós manipulátor megfogójához. Az egyes tagok szögsebességét úgy kell megválasztanunk, hogy azok a megfogóhoz rögzített tengelyek mentén vagy azok körül az előre meghatározott sebességeket illetve szögsebességeket eredményezzék. A manipulátor-kézhez rögzített tengelyek szokásos elnevezése a 2.1. ábrán látható.

A kézre vonatkozó parancsok végrehajtása érdekében meg kell határoznunk a tagok szögsebességeit, mint a csuklószögek függvényeit és ezen értékeket a csuklószögek változásával egyidejűleg fel kell frissítenünk. A sebességvezérlés számítási problémájának lényege, hogy a csuklósebességet a csuklószögek, a manipulátor-geometria és az előírt kéz-mozgás ismeretében kell kiszámítanunk. E számított csuklósebességek pontos megvalósításához pedig sebességszabályozásra van szükség minden egyes csuklónál. Az eredményezett manipulátormozgás minősége szempontjából meghatározó jelentőségű a számítási idő.

A továbbiakban megmutatjuk, miként számítható ki a (2.2.) egyenletben szereplő \underline{J} mátrix egy 6 csuklós manipulátor esetében. A mozgási sebesség parancsot az $\dot{\underline{s}} = [\underline{v}, \underline{\omega}]^T$

alakban írjuk fel, ahol \underline{v} a kéz TCP pontjának sebességvektora, $\underline{\omega}$ a kéz szögsebességvektora. A kézhez rögzített koordinátarendszernek az alaphoz viszonyított pozícióját és orientációját 6 transzformációs mátrix szorzataként írhatjuk fel, amelyek mindegyike egy-egy csuklóforgást fejez ki:

$${}^0A_6 = {}^0A_1 * {}^1A_2 * \dots * {}^5A_6 \quad (2.5.)$$

ahol a 0. koordinátarendszer az alaphoz, a 6. a kézhez van rögzítve. ${}^jA_{j+1}$ egy 4×4 -es mátrix, amelynek bal felső 3×3 -as partíciója a $j+1$ -ik koordinátarendszer elfordulását fejezi ki a j -ikhez képest, míg a jobb felső 3×1 partíciója a $j+1$ -ik rendszer origójának helyét adja meg a j -ikéhez képest. Az 0A_6 mátrix ebben az értelemben az alap és a kéz viszonyát rögzíti.

Legyen \underline{k}_j a $\dot{\underline{q}}_j$ vektor irányába mutató egységvektor. Legyen továbbá \underline{b}_{j6} az O_j origótól O_6 -ba, azaz a kéz koordinátarendszer origójába mutató vektor. Ekkor a TCP-re

$$\underline{v}_j^6 = \underline{k}_{j+1} \times \underline{b}_{j6} * \dot{\underline{q}}_{j+1} \quad (2.6)$$

$$\underline{\omega}_j^6 = \underline{k}_{j+1} * \dot{\underline{q}}_{j+1}, \quad j = 0, \dots, 5 \quad (2.7.)$$

ahol minden vektor az alap (1) koordinátarendszerben van értelmezve. A j -ik csukló forgásából származó kéz-sebességkomponenst jelöljük \underline{v}_j^6 -tal, kéz-szögsebességkomponenst pedig $\underline{\omega}_j^6$ -tal. A 2.1. ábra értelmében a 6. koordinátarendszer tengelyei mentén, ill. azok körül kívánjuk a kart mozgatni, ezért \underline{v}_j^6 -ot ill. $\underline{\omega}_j^6$ -ot a kéz-koordinátákkal

kell kifejeznünk. Ehhez képeznünk kell az 0A_6 mátrix 3 x 3-as bal felső particiójának transzponáltját, amit 6C_0 -nak nevezünk. Így

$$\begin{bmatrix} \underline{v}_j^6 \\ \underline{\omega}_j^6 \end{bmatrix} = \begin{bmatrix} {}^6C_0 & \emptyset \\ \emptyset & {}^6C_0 \end{bmatrix} \cdot \begin{bmatrix} \underline{v}_j^1 \\ \underline{\omega}_j^1 \end{bmatrix}, \quad j = 0, \dots, 5$$

(2.8)

kifejezi \underline{v}_j -t és $\underline{\omega}_j$ -t kéz koordinátákkal. E vektor komponensei megegyeznek a PÁSZTÁZ, EMEL, KINYUJT, BILLENT, FORDIT, CSAVAR parancsokkal. A (2.2) egyenletet figyelembe véve, ha (2.8) -t elosztjuk \dot{q}_j -vel, megkapjuk a \underline{J} mátrix j-ik oszlopát.

$$\underline{J} = \begin{bmatrix} {}^6C_0 & \emptyset \\ \emptyset & {}^6C_0 \end{bmatrix} * \left[\begin{array}{c|c|c|c} \underline{k}_1 \times \underline{b}_{06} & \underline{k}_2 \times \underline{b}_{16} & \dots & \underline{k}_6 \times \underline{b}_{56} \\ \hline \underline{k}_1 & \underline{k}_2 & & \underline{k}_6 \end{array} \right]$$

(2.9)

Mint látható, már a \underline{J} mátrix elemeinek előállítás is meglehetősen számításigényes, a módszer fő hátránya azonban az, hogy \underline{J} -t a (2.4) összefüggés szerint még invertálnunk is kell. Mivel \underline{J} egy 6 x 6-os mátrix, ez a művelet még nagyteljesítményű számítógépeken is jelentős időt vesz igénybe. Egy LSI-11 mikroszámítógépen például a mátrixinverzió legalább 0.1-0.5 másodpercig tartana az invertáló algoritmustól függően. Így a csuklószerkezetek mintavételezése csak alacsony frekvencián

történhet és a manipulátor-kéz jelentősen eltávolodhat a kívánt pályától. A számítás felgyorsítható, ha numerikus interpolációt és look-up táblákat használunk \underline{J} előre kiszámított értékeivel. Ez a módszer viszont rendkívül sok memóriát igényel.

2.1.2. A csuklók függetlenített vezérlése

Könnyebben kiértékelhető egyenletek felállítására vezet Hewitt módszere [Hewitt, 1978], aki redundáns számú csuklóval rendelkező manipulátorok vezérlésére javasolt megoldást. (A csuklók száma több, mint a vezérelni kívánt változóké.) Megfontolásai arra irányulnak, hogy linearizálja és függetlenítse a mozgást leíró egyenletrendszer elemeit. A rendszerben mutatkozó redundancia lehetővé teszi egy pótlólagos irányítandó változó bevezetését. A megoldáshoz vezető lépések az alábbiak:

1. bevezetünk egy bővített pozícióvektort, amely tartalmazza az új irányítandó változót is. Jelöljük a bővített pozícióvektort \underline{s} -sel, a csuklóváltozókat \underline{q} -val.

2. Felállítjuk a kar geometriáját leíró $\underline{s} = \underline{f}(\underline{q})$ egyenletet.

3. Képezzük a $\underline{J}(\underline{q})$ mátrixot. (Lásd a 2.2.1. pontot.)

A $\underline{J}(\underline{q})$ mátrix utolsó sora $\{\partial z / \partial q_i\}$, $1 < i < n$, ahol z az ujonnan bevezetett változó és n a csuklók száma. Legyen a vezérelt pont kívánt pozícióvektora $\hat{\underline{s}}$.

Képezzük az $\underline{e} = \underline{s} - \hat{\underline{s}}$ vektort, vagyis a tényleges és a kívánt pozíciók különbségét. E különbségvektor és a tagok szögsebességeinek kapcsolatát fejezi ki a

$$\dot{\underline{q}} = \underline{K} * \underline{e} \quad (2.10)$$

összefüggés. A \underline{K} mátrix $k_{i,j}$, $1 < i, j < n$ elemeit kell úgy

megválasztanunk, hogy megkapjuk a kívánt rendszerjellemzőket. A módszer alapgondolata, hogy diagonalizáljuk az \underline{s} válaszvektor és $\hat{\underline{s}}$ kívánt vektor kapcsolatát kifejező mátrixot. Ebben az esetben ugyanis az \underline{s} elemekre vonatkozó kifejezések függetlenek lesznek egymástól. Tehát (2.2) és (2.10) figyelembevételével:

$$\underline{J}(\underline{q}) * \underline{K} = \underline{D} \quad (2.11)$$

ahol $\underline{D} = \langle d_{i,j} \rangle$, $1 < i < n$ diagonális. Ezzel a \underline{K} mátrix:

$$\underline{K} = \underline{J}(\underline{q})^{-1} * \underline{D} \quad (2.12)$$

Ha a \underline{D} elemeit konstansnak választjuk, a teljes rendszer n darab lineáris, elsőrendű, független egyenletre esik szét. A pótlólagos vezérelt változó, illetve a megfelelő \underline{K} mátrix segítségével eleget tehetünk speciális alkalmazási igényeknek, mint például energiaminimalizálás vagy akadálykikerülés.

Az ismertetett módszer azonban, minden előnye mellett, szintén igényli a $\underline{J}(\underline{q})$ mátrix invertálását, és az általunk vizsgált mechanizmusra azért sem alkalmazható, mivel ott a csuklók és az irányítandó paraméterek száma egyezik, vagyis a rendszer nem redundáns. Hewitt egy 3 csuklós problémát vizsgált, Moe egy sebességvezérlő algoritmust ismertet olyan esetre, amikor 4 csukló mellett és 3 sebesség-jellegű irányítandó változó adott. [Moe, 1972]

Az 2.1.1. és 2.1.2. pontban ismertetett megoldások számításigényessége miatt a következőkben olyan módszert keresünk a manipulátor vezérlésére, ahol jóval korlátozottabb mennyiségű műveletet kell két mintavételezés között elvégezni, így új csuklópozíciók beolvasása

nagyobb frekvenciával, pl. 10-20 ms-ként történhet. Ez a cél elérhető a továbbiakban ismertetendő *pozícióvezérléssel*. A "pozíció" módszer hátránya a durva kézmozgásban mutatkozhat meg. Ezt a problémát azonban a 6. fejezetben ismertetendő gyors interpolációs technika alkalmazásával fogjuk megoldani.

2.2. POZÍCIÓVEZÉRLÉS

2.2.1. A manipulátor inverz problémájának megoldása általános szerelési algoritmusokkal

Mielőtt részletesen elemeznénk a csuklósögek számításának általunk javasolt módszerét, röviden összefoglaljuk az Edinburgh-i Egyetemen, jelenleg, hasonló céllal folyó, számítógéppel vezérelt mechanikai szerelésre irányuló projekt (RAPT) lényegét. [Popplestone & al, 1978] Az általunk használt módszer a robot világában megjelenő tárgyak térbeli kapcsolatát írja le, s eközben nem tesz különbséget a manipulátor egyes tagjai és a manipulátor által mozgatott tárgyak között. A rendszer egyszerűbb testekből összeépített komplex szerelvényekkel is foglalkozik és képes annak meghatározására, hogy az összeépítéshez milyen akciók szükségesek. A rendszerben speciális helye van a részszerelvény ("subassembly") fogalmának: részszerelvényt alkotnak azok a testek, amelyek között egy szerelési művelet vagy műveletsorozat során meghatározott, állandó térbeli kapcsolat áll fenn. A manipulátort szintén egy tagokból, csuklókból és megfogókból álló részszerelvénynek tekintik. A manipulátor-geometria leírása ebben a rendszerben tehát azt jelenti, hogy megadják az említett manipulátor-komponensek geometriai összetevői (felületek, élek, sarkok) között fennálló térbeli kapcsos-

latokat. A manipulátort - miközben a meg nem kötött szabadságfokoknak megfelelő mozgásokra képes - minden szituációban az említett kényszerkapcsolatok jellemzik.

A RAPT rendszerben a testeket geometriai összetevőkkel, a szituációkat pedig az összetevők között fennálló *fits, against, coplanar* térbeli kapcsolatokkal jellemzik. A rendszer a kapcsolatokból kikövetkezteti a szituációban résztvevő minden egyes test térbeli helyét és helyzetét. Az algoritmus első lépésében a megadott térbeli kapcsolatok leírására homogén koordinátás mátrixegyenleteket állítanak fel. A második lépésben - bizonyos korlátozó feltételek mellett - a program önállóan megoldja az egyenletrendszert. A korlátozó feltételek egyike jelenleg például az, hogy egy szituációban egyszerre ne forduljon elő több, mint három forgatás nem párhuzamos tengelyek körül. A bevezetőben említett X-Y robot, de sok más robot is, teljesíti ezt a feltételt. Az általunk vizsgálandó COROHAND manipulátor azonban több, mint 3 nem-párhuzamos forgástengelyt tartalmaz. Mivel a robottal szerelhető szituációk ritkán bonyolultak annyira, mint maga a manipulátor, a RAPT rendszer ezen vonatkozásával szemben jogosnak látszik az a megjegyzés, hogy még egy ilyen általános célu rendszerben is célszerű a manipulátor-problémát külön, speciális módon kezelni. A 6 csuklós manipulátor és egy elképzelt Descartes koordinátás kar (ami a kéz-pozíciót és orientációt reprezentálja) viszonyát leíró egyenletek megoldását ésszerűbb explicit formulákban megadni és ilyen módon a szerelőrendszerbe integrálni. A továbbiakban ebből a megközelítésből indulunk ki.

2.2.2. A javasolt pozícióvezérlés elve

A következőkben ismerttetendő manipulátorvezérlési módszer alapgondolata az, hogy a csukló-szögsebességeket a trajektória egy adott pontjában megkapjuk, ha a 6 csukló-szög-incrementumot elosztjuk egy alkalmasan választott időtartammal. A csuklószögek számítását az 5. fejezet, az időtartam-hányados meghatározását a 6. fejezet tartalmazza. A javasolt "különbségi módszert" - a direkt sebességvezérlésnél alkalmazott idő szerinti differenciálás helyett - az teszi lehetővé, hogy elegendő kicsiny Δt időintervallumokra az

$$\underline{x}(t) = f[\underline{q}(t)] \quad (2.13)$$

összefüggés jó közelítéssel lineárisnak tekinthető. Módszerünk tehát az, hogy az előirt trajektória elegendően sok pontjára megoldjuk a

$$\underline{q}_i = f^{-1}(\underline{x}_i) \quad (i \text{ a trajektóriapontokon futó index})$$

(2.14)

inverz összefüggést és az $[i, i+1]$ szakaszon linearizáljuk. A mozgás sebességét a csukló-hajtások fizikai korlátaiból számoljuk, az \underline{x}_i pontok számát pedig a megengedett pályakövetési hibákból határozzuk meg. Mivel a (2.14) összefüggés kiértékelése és a további csuklószög-koordináció elvégzése időt vesz igénybe, s e számításokat a nagy memóriaigény elkerülése végett célszerű "menet közben" végezni, az eredő mozgás sebessége és pontossága egymással fordított arányban fog állni. Ez indokolja azt az egyébként is szokásos manipulátorvezérlési stratégiát, hogy a nagyobb utszakaszokat gyorsan, de kevésbé pontosan, a

kisebbecket, amelyek általában illesztési feladatokkal kapcsolatosak, lassan, de pontos pályakövetéssel teszi meg a robotkar. Az alkalmazott rezolúció felső határát az szabja meg, hogy a mechanizmus milyen pontossággal képes követni a kiadott parancsot.

A fentiek alapján a TCP által bejárt pálya számítása az alábbi lépésekből fog állni.

1. A manipulátor geometriai leírása transzformációs mátrixok felállításával. Ezek homogén koordinátákkal kifejezett, 4×4 -es mátrixok, amelyek a manipulátor egyes elemeihez koordinátarendszerek relatív pozícióját és orientációját rendelik hozzá. Ilyen kitüntetett elem a manipulátor alapja, az egyes csuklók (például a "VÁLL" vagy a "KÖNYÖK"), továbbá a szerszám ill. megfogó. (3.fejezet)

2. Általános formában, a transzformációs mátrixok felhasználásával, a 6 csuklósögre megoldjuk a (2.14) egyenletet, vagyis megkeressük a kar inverz problémájának megoldását. Alkalmos interpretációt keresünk a kéz-állapot leírására, majd pedig kiszámítjuk azokat a csuklósögeket, amelyek a manipulátor végpontját egy tetszőleges állapotba viszik. (4.és 5.fejezet)

3. A robotkezet végigvisszük egy trajektóriaszegmensen, vagyis a trajektória i -ik és $(i+1)$ -ik pontja között. Meghatározzuk a (2.14) összefüggés linearizálásából származó pályakövetési hibát és a fizikai környezet (motorok) által behozott korlátozások miatt elvileg elérhető sebességet.

Az így meghatározott értékeket alapul véve koordináljuk a 6 csukló mozgását. A csuklózög-interpolációs módszer lényege, hogy a 2. szerint kiszámolt csuklópozíciók közé, a korlátozásokat figyelembe vevő kvadratikus interpoláció eredményeként, további csuklópozíciókat helyezünk, amelyeken áthaladva a manipulátor zökkenésmentesen fog mozogni. A szegmenshatárokon való áthaladást hasonló módon simítjuk. (6.fejezet)

3. A MANIPULÁTOR GEOMETRIAI MODELLJE

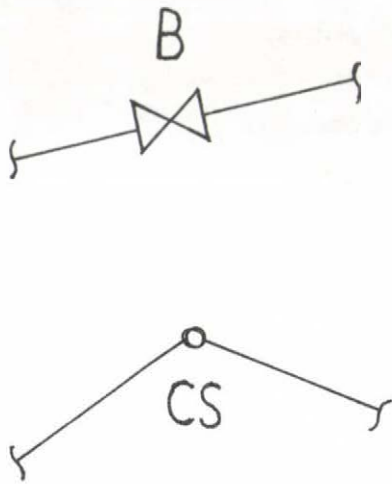
3.1. A MANIPULÁTOR SZERKEZETI FELÉPÍTÉSE

A jelen dolgozatban tárgyalt COROHAND robotkar egy 6 R típusú csuklóval rendelkező, elektromos meghajtású csuklós mechanizmus. A csuklókat egyenáramú szervómotorok hajtják, a csuklópozíciókat szöghelyzetérzékelők mérik. A kar méretei: (3.1. ábra)

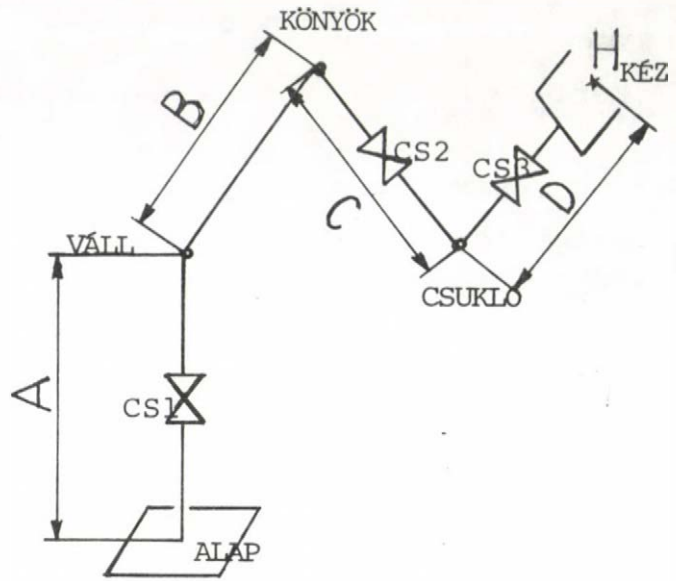
ALAP - VÁLL távolság (A): 365 mm	}	KAR
VÁLL - KÖNYÖK távolság (B): 300 mm		
KÖNYÖK - CSUKLÓ távolság (C): 210 mm		
CSUKLÓ - MEGFOGÓ TŐ távolság (D): 19 mm		
MEGFOGÓ HOSSZ: 160 mm	}	KÉZ
MEGFOGÓ NYILÁS: max. 180 mm		

Mivel több, különböző méretű megfogó is készült, a kinematikai számításoknál a kéz állapotát a megfogó tövéhez transzformáljuk és a csuklószögeket a megfogó csatlakozófelület pozíciójából és orientációjából fogjuk számítani. A jobb szemléltetés kedvéért a további rajzokon alkalmazni fogjuk a megfogó ill. szerszám szimbolikus jelét (χ), de ennek (H)-val jelölt szimmetriapontja a manipulátor végcsonkjának pozícióját fogja jelenteni. A továbbiakban a végcsonkot és a kezét a szövegben sem fogjuk megkülönböztetni, és általában a manipulátor megfogójára fogunk hivatkozni.

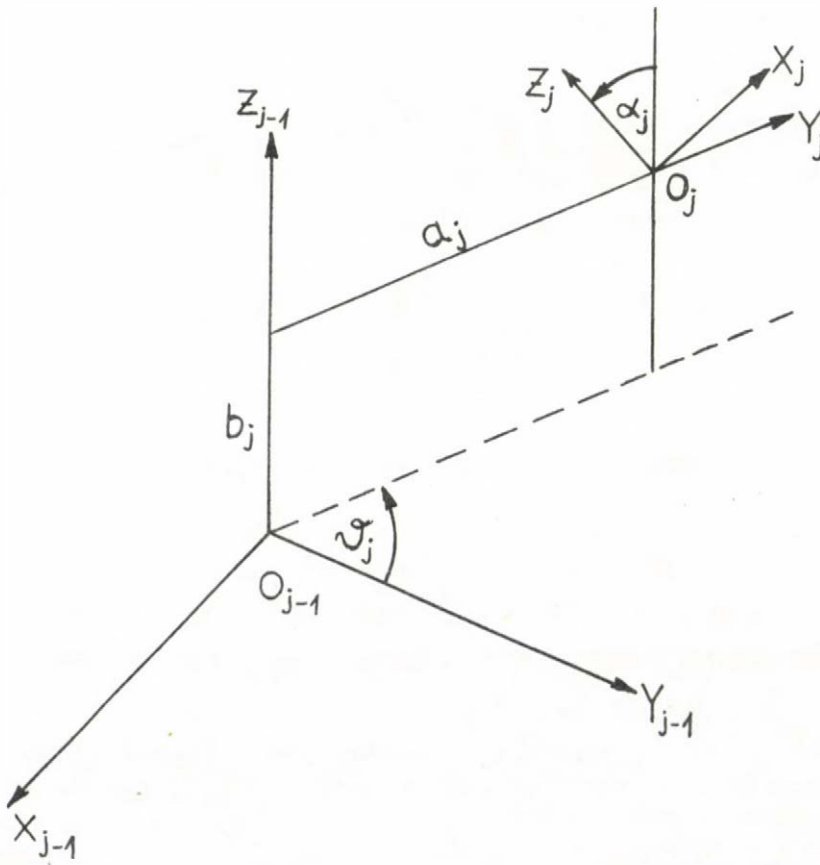
Mint a 3.1. ábrán látható, a COROHAND a tagok kétféle kapcsolatát tartalmazza: csavaró (CS) kapcsolatot és bille-
nő (B) kapcsolatot. Ezek szimbolikus jelölése a 3.2. ábrán látható.



Csuklótípusok
3.2. ábra



Kinematikai elrendezés
3.3. ábra



Csukló-koordinátarendszerek kapcsolata
3.4. ábra

A kétféle kinematikai kapcsolat között a mechanizmusok elmélete nem tesz különbséget, mindkettő a forgó R ("revolute") csuklók osztályába tartozik, és mivel az általuk megengedett mozgás egyetlen változóval (csuklószöggel) leírható, 1 szabadságfoku kapcsolatnak nevezhetjük őket. [Denavit, Hartenberg, 1964]. Az általunk vizsgált robotkar 6 ilyen csuklókapcsolatot tartalmaz, amelyek együttesen egy *6 szabadságfoku manipulátort* alkotnak.

A COROHAND kinematikai vázlatában (3.3.ábra) a B és CS jelöléseket alkalmaztuk. A három billenő tengely alkotja a VÁLL, KÖNYÖK, CSUKLÓ ízületeket. A kar moduláris kiképzésű, a KÖNYÖK és CS2 ízületek az őket követő kar-tagokkal együtt eltávolíthatók. A B típusu ízületek 180° -os, a CS típusúnak 360° -os szögtartományban mozognak. [Zilahi, 1979]

A manipulátor végcsonk és a megfogó közé egy erő-nyomaték érzékelőt lehet illeszteni, ami a szereléshez szükséges környezeti visszacsatolást biztosítja. [Fock & al, 1980]

3.2. KOORDINÁTARENDSZEREK ÉS JELÖLÉSEK

A manipulátor komponenseinek pozícióját és orientációját a csuklós mechanizmusoknál alkalmazott Denavit-Hartenberg reprezentációban adjuk meg. [Denavit, Hartenberg, 1964] A vonatkozó irodalomban ennek a reprezentációnak a használata a leggyakoribb, példa erre [Moe, 1972], [Whitney, 1972], [Paul, 1972], stb. A 3.4.ábra az egymást követő komponensekhez kapcsolt $(j-1)$ -ik illetve j -ik koordináta-

rendszer kapcsolatának leírásához használt jelöléseket mutatja. A csuklőszögek az óra járásával ellentétes irányban pozitívak.

- θ_j a Z_{j-1} körüli elforgatás szöge, vagyis az Y_{j-1} , Y_j tengelyek által bezárt szög;
- α_j a Z_{j-1} és Z_j tengelyek által bezárt szög, amit a két tengely közös normálisa körül értelmezünk;
- a_j a Z_{j-1} és Z_j közötti közös normális hossza, iránya Y_j irányába pozitív;
- b_j a Z_{j-1} nek az az értéke, ahol a Z_{j-1} és Z_j közös normálisa Z_{j-1} -t elmetszi;
- O_{j-1} a $(j-1)$ -ik koordinátarendszer origója.

Legyen egy p pont $j-1$ -ik koordinátarendszerbeli reprezentációja

$$\begin{bmatrix} x \\ y \\ z \\ 1 \end{bmatrix}_{j-1} = P_{j-1} \quad (3.1)$$

és ugyanezen pont j -ik koordinátarendszerbeli reprezentációja

$$\begin{bmatrix} x \\ y \\ z \\ 1 \end{bmatrix}_j = P_j \quad (3.2)$$

A két reprezentáció kapcsolata:

$$P_{j-1} = A_{j-1,j} * P_j \quad (3.3)$$

ahol $A_{j-1,j}$ egy 4 x 4-es mátrix:

$$\begin{aligned}
 A_{j-1,j} &= \begin{bmatrix} c\vartheta_j & -s\vartheta_j & 0 & 0 \\ s\vartheta_j & c\vartheta_j & 0 & 0 \\ 0 & 0 & 1 & b_j \\ 0 & 0 & 0 & 1 \end{bmatrix} * \begin{bmatrix} c\alpha_j & \emptyset & s\alpha_j & \emptyset \\ \emptyset & 1 & \emptyset & a_j \\ -s\alpha_j & 1 & c\alpha_j & \emptyset \\ \emptyset & \emptyset & \emptyset & 1 \end{bmatrix} = \\
 &= \begin{bmatrix} c\vartheta_j & c\alpha_j & -s\vartheta_j & c\vartheta_j & s\alpha_j & -a_j & s\vartheta_j \\ s\vartheta_j & c\alpha_j & c\vartheta_j & s\vartheta_j & s\alpha_j & a_j & c\vartheta_j \\ -s\alpha_j & \emptyset & \emptyset & c\alpha_j & \emptyset & \emptyset & b_j \\ \emptyset & \emptyset & \emptyset & \emptyset & \emptyset & \emptyset & 1 \end{bmatrix} \quad (3.4)
 \end{aligned}$$

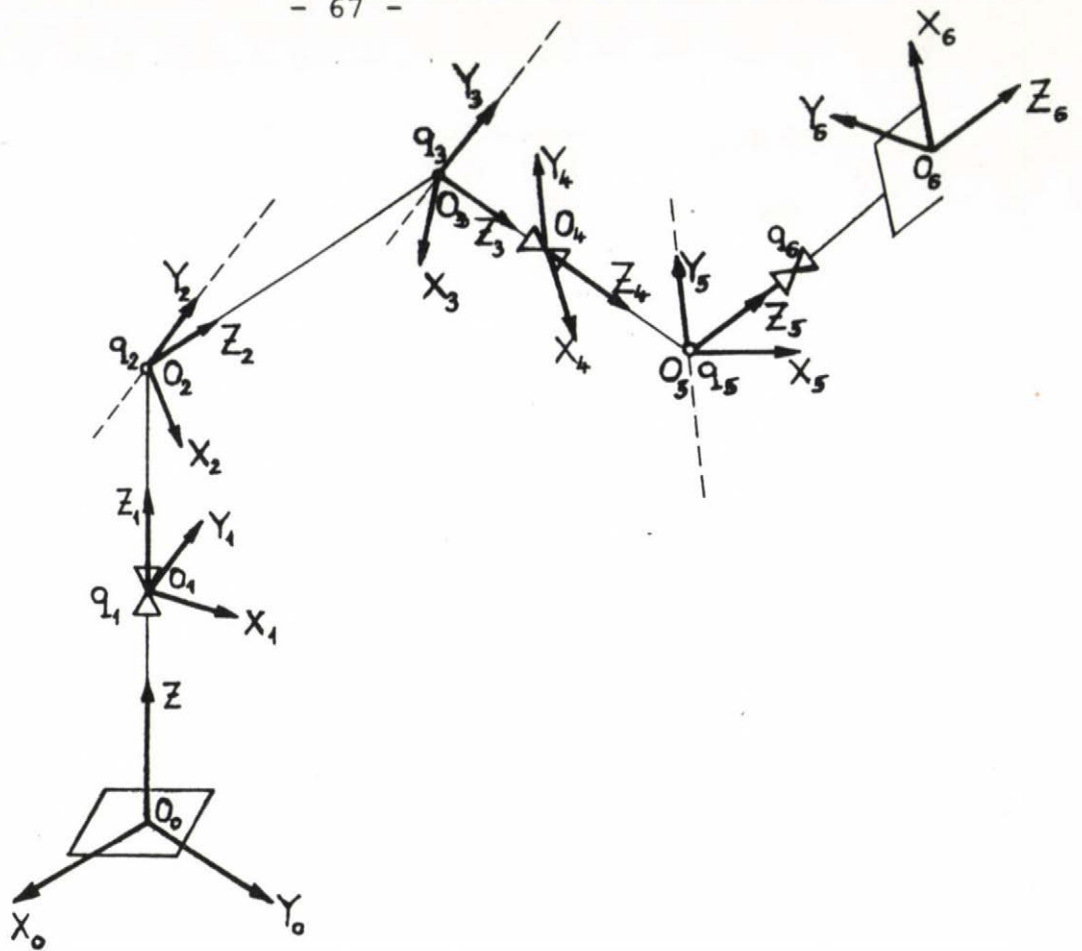
A (3.4) kifejezésben az "s" és "c" betűk a sinus illetve cosinus függvényeket jelölik. A bal felső 3 x 3-as partíció a j-ik koordinátarendszer orientációját a (j-1)-ikhez képest, a jobb felső 3 x 1-es oszlopvektor a j-ik koordinátarendszer origójának pozícióját jelöli ki O_{j-1} -hez képest.

3.3. MANIPULÁTOR GEOMETRIA

Alkalmazzuk a 3.2. pontban bevezetett jelöléseket a 3.3. ábrán feltüntetett manipulátor geometriai leírására. Referenciaállapotként válasszuk a karnak az alapra merőlegesen, felfelé kinyújtott helyzetét. Így a 3.3. ábrán H-val jelölt megfogó referencia pozíciója $[\emptyset, \emptyset, (A+B+C+D)]$, míg a referencia orientáció $[\emptyset, \emptyset, \emptyset]$. Tehát a 2.1. ábrán SWEEP-pel jelölt mozgás az alap koordinátarendszer X tengelyének,

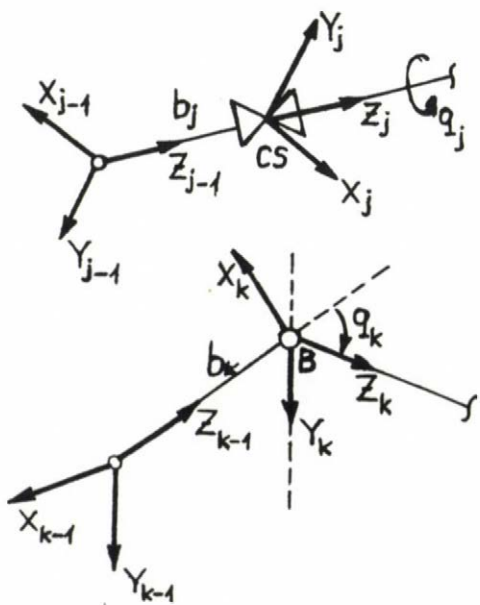
a REACH mozgás a Z tengelyének irányába történik. (3.5.ábra) Mint a 3.6.ábrán az egyes csuklókhoz rendelt koordinátarendszerek irányításából megállapítható, a (3.4) mátrixkifejezésben az a_j mennyiség minden j -re ϕ , mivel a rud-irányokhoz mindig a z tengelyt rendeltük. A manipulátorgeometriának ez a szimmetriatulajdonsága a további számítások során nagyon előnyös lesz, mivel a (3.4) mátrix jobb felső két oszlopeleme eltűnik. Az is látható, hogy minden egyes csuklómozgás egyetlen skalár változóval (q_j) $j = 1 \dots 6$ leírható, vagyis minden csukló a robot egy mozgási szabadságfokát reprezentálja. A 3.5.ábra jelölései szerint a q_1, q_4, q_6 pozitív forgatások a kart a Z_0 tengely körül, a q_2, q_3, q_5 pozitív forgatások pedig az Y_0 tengely körül forgatják az óra járásával ellentétes irányba. A q_1, q_4, q_6 forgatások csavaró (longitudinális), a q_2, q_3, q_5 forgatások pedig billenő (tranzverzális) típusu csuklómozgást valósítanak meg (v.ö. 3.7.ábra), mivel az előbbieknél a forgástengely a kapcsolódó rudakkal egybeesik, az utóbbiaknál pedig merőleges azokra. [Konstantinov, 1977]

Látható továbbá, hogy $b_1 + b_2 = A$, $b_3 = B$, $b_4 + b_5 = C$, $b_6 + b_7 = D$. Ezt az egyszerűsítést az indokolja, hogy az eredő transzformációs mátrix elemeit tekintve közömbös, hogy egy longitudinális forgás két tranzverzális forgás között hol helyezkedik el. Az egyes csuklómozgásokat a (3.4.) mátrixkifejezésbe helyettesítve az alábbi transzformációkat kapjuk:



A COROHAND csukló-koordinátarendszerei

3.6. ábra



$$A_{j-1,j} = \begin{bmatrix} c q_j & -s q_j & \emptyset & \emptyset \\ s q_j & c q_j & \emptyset & \emptyset \\ \emptyset & \emptyset & 1 & b_j \\ \emptyset & \emptyset & \emptyset & 1 \end{bmatrix}$$

$$A_{k-1,k} = \begin{bmatrix} c q_k & \emptyset & s q_k & \emptyset \\ \emptyset & 1 & \emptyset & \emptyset \\ -s q_k & \emptyset & c q_k & b_k \\ \emptyset & \emptyset & \emptyset & 1 \end{bmatrix}$$

A két csuklótípus transzformációs mátrixai

3.7. ábra

$$\bar{A}_{4,5} = \begin{bmatrix} \phi & \phi & \phi & \phi \\ -s_{q5} & \phi & 1 & \phi \\ c_{q5} & \phi & \phi & \phi \\ \phi & s_{q5} & \phi & 1 \\ \phi & c_{q5} & \phi & p_5 \end{bmatrix} \quad (3.9)$$

$$\bar{A}_{3,4} = \begin{bmatrix} \phi & \phi & \phi & \phi \\ s_{q4} & \phi & \phi & \phi \\ c_{q4} & \phi & 1 & \phi \\ -s_{q4} & \phi & \phi & \phi \\ \phi & c_{q4} & \phi & p_4 \end{bmatrix} \quad (3.8)$$

$$\bar{A}_{2,3} = \begin{bmatrix} \phi & \phi & \phi & \phi \\ -s_{q3} & \phi & \phi & \phi \\ c_{q3} & \phi & 1 & \phi \\ \phi & s_{q3} & \phi & \phi \\ \phi & c_{q3} & \phi & p_3 \end{bmatrix} \quad (3.7)$$

$$\bar{A}_{1,2} = \begin{bmatrix} \phi & \phi & \phi & \phi \\ -s_{q2} & \phi & \phi & \phi \\ c_{q2} & \phi & 1 & \phi \\ \phi & s_{q2} & \phi & \phi \\ \phi & c_{q2} & \phi & p_2 \end{bmatrix} \quad (3.6)$$

$$\bar{A}_{0,1} = \begin{bmatrix} \phi & \phi & \phi & \phi \\ s_{q1} & \phi & \phi & \phi \\ c_{q1} & \phi & 1 & \phi \\ -s_{q1} & \phi & \phi & \phi \\ \phi & c_{q1} & \phi & p_1 \end{bmatrix} \quad (3.5)$$

$$\underline{A}_{5,6} = \begin{bmatrix} cq_6 & -sq_6 & \emptyset & \emptyset \\ sq_6 & cq_6 & \emptyset & \emptyset \\ \emptyset & \emptyset & 1 & b_6+b_7 \\ \emptyset & \emptyset & \emptyset & 1 \end{bmatrix} \quad (3.10)$$

Látható, hogy a (3.10) mátrix közvetlenül az 5. koordinátarendszer és a megfogó közötti transzformációt fejezi ki.

Ha tehát a megfogó felől az alap felé haladunk, az alábbi transzformációkat kell elvégeznünk:

- eltolás Z irányban és forgatás Z körül: D, q_6
- forgatás Y körül: q_5
- eltolás Z irányban és forgatás Z körül: C, q_4
- forgatás Y körül: q_3
- eltolás Z irányban: B
- forgatás Y körül: q_2
- eltolás Z irányban és forgatás Z körül: A, q_1

Az eltolások rögzítettek, a forgatásokat vezéreljük. (U.n. "prizmatikus csuklók" esetén az eltolást lehet változtatni - pl. Stanford robot.)

3.4. AZ EREDŐ TRANSZFORMÁCIÓ MEGHATÁROZÁSA

3.4.1 Transzformáció O_0 (ALAP) és O_3 (KÖNYÖK) között

Szorozzuk össze az alaptól elindulva az első három transzformációs mátrixot. $\cos q_1$ -t c_1 -gyel, $\sin q_1$ -t s_1 -gyel jelölve:

$$\begin{bmatrix} c_1 & -s_1 & \emptyset & \emptyset \\ s_1 & c_1 & \emptyset & \emptyset \\ \emptyset & \emptyset & 1 & b_1 \\ \emptyset & \emptyset & \emptyset & 1 \end{bmatrix} * \begin{bmatrix} c_2 & \emptyset & s_2 & \emptyset \\ \emptyset & 1 & \emptyset & \emptyset \\ -s_2 & \emptyset & c_2 & b_2 \\ \emptyset & \emptyset & \emptyset & 1 \end{bmatrix} * \begin{bmatrix} c_3 & \emptyset & s_3 & \emptyset \\ \emptyset & 1 & \emptyset & \emptyset \\ -s_3 & \emptyset & c_3 & b_3 \\ \emptyset & \emptyset & \emptyset & 1 \end{bmatrix} =$$

$$\begin{bmatrix} c_1 c_2 c_3 & -s_1 & c_1 s_2 c_3 & B c_1 s_2 \\ s_1 c_2 c_3 & c_1 & s_1 s_2 c_3 & B s_1 s_2 \\ -s_2 c_3 & \emptyset & c_2 c_3 & A + B c_2 \\ \emptyset & \emptyset & \emptyset & 1 \end{bmatrix} = \underline{A}_{0,3} \quad (3.11)$$

ahol $c_{23} = \cos(q_2 + q_3) = c_2 c_3 - s_2 s_3$
 $s_{23} = \sin(q_2 + q_3) = s_2 c_3 + c_2 s_3$

A 3.11 mátrixot 12 szorzási művelettel lehet előállítani.

3.4.2. Transzformáció O_3 (KÖNYÖK) és O_6 (KÉZ) között

Most tekintsük a másik transzformációt az alaptól távolodva:

$$\begin{bmatrix} c_4 & -s_4 & \emptyset & \emptyset \\ s_4 & c_4 & \emptyset & \emptyset \\ \emptyset & \emptyset & 1 & b_4 \\ \emptyset & \emptyset & \emptyset & 1 \end{bmatrix} * \begin{bmatrix} c_5 & \emptyset & s_5 & \emptyset \\ \emptyset & 1 & \emptyset & \emptyset \\ -s_5 & \emptyset & c_5 & b_5 \\ \emptyset & \emptyset & \emptyset & 1 \end{bmatrix} * \begin{bmatrix} c_6 & -s_6 & \emptyset & \emptyset \\ s_6 & c_6 & \emptyset & \emptyset \\ \emptyset & \emptyset & 1 & b_6 + b_7 \\ \emptyset & \emptyset & \emptyset & 1 \end{bmatrix} =$$

$$= \begin{bmatrix} c_4 c_5 c_6 - s_4 s_6 & -c_4 c_5 s_6 - s_4 c_6 & c_4 s_5 & D c_4 s_5 \\ s_4 c_5 c_6 + c_4 s_6 & -s_4 c_5 s_6 + c_4 c_6 & s_4 s_5 & D s_4 s_5 \\ -s_5 c_6 & s_5 s_6 & c_5 & C + D c_5 \\ \emptyset & \emptyset & \emptyset & 1 \end{bmatrix} = \underline{A}_{3,6} \quad (3.12)$$

A(3.12) transzformációban az eltolás vektora (4.oszlop) egyszerűen számolható a 3. oszlopból felhasználva a rögzített $C = b_4 + b_5$ és $D = b_6 + b_7$ rudhosszakokat. E mátrix felállításához 15 szorzást kell végezni.

A pozícióvezérlést végző program először a(3.12)mátrix bal felső 3 x 3-as partícióját számítja ki 12 szorzással, majd az utolsó oszlopot számolja a 3. oszlopból és a rudhosszakból.

3.4.3 Számítási megfontolások

Amint azt a 2. fejezetben említettük, igen lényeges a manipulátor-transzformációk számítási idejének minimalizálása. Ennek egyik módja a szükséges aritmetikai műveletek, elsősorban a szorzások-osztások számának lehető legkisebbre való csökkentése.

Megtehetnénk, hogy az elemi transzformációkat leíró (3.5)... (3.10) mátrixokat egyszerűen összeszorozzuk, s így előállítjuk az eredő manipulátor-transzformációt, amelynek jelölése $\underline{A}_{0,6} = [a_{i,j}]$, $i,j = 1,2,3,4$. A végcsonk orientációját az alaphoz képest a bal felső 3 x 3-as partíció adja, azaz $(a_{i,j})$, $i,j = 1,2,3$, pozícióját pedig az $(a_{14} \ a_{24} \ a_{34})^T$ vektor. Az $\underline{A}_{0,6}$ mátrix elemeit a 6 csuklósög sinusának és cosinusának polinomjai alkotják. Egy ilyen polinom minden tagja legalább egy csuklósög sinusát vagy cosinusát tartalmazza. Az eredő pozícióvektorban az eltolási konstansok (A, B, C, D) és a csuklósögek sinusának ill. cosinusának szorzatai jelennek meg.

Az alábbiakban az optimális számítási eljárás megtalálása érdekében megvizsgáljuk, hogyan lehet a kar transzformációs mátrixát kiszámítani.

- a) A hat 4×4 -es mátrix összeállítása és összesorzása

$$[4 \times 4 \times 4](6 - 1) = 320 \text{ szorzást igényel.}$$

- b) Mivel az utolsó sor minden mátrixban $(\emptyset \ \emptyset \ \emptyset \ 1)$, ezt egyszerűen átvihetjük az eredménymátrixba.

Ekkor

$$[4 \times 3 \times 3](6 - 1) = 180 \text{ szorzásra van szükség.}$$

- c) Tudjuk, hogy minden mátrix csak egyetlen koordinátatengely körüli forgatást ír elő, amely egyidejűleg csak két koordinátát változtat (X-t és Y-t vagy X-t és Z-t) és még egy eltolást tartalmaz a Z tengely irányában. Ebből következik, hogy az általános mátrixszorzást forgatási és eltolási operátorokkal helyettesíthetjük. Ellenőrizhető, hogy egy ilyen művelet

$$[4 \times 2 \times 2](6 - 1) = 80 \text{ szorzást igényel.}$$

- d) Tekintve, hogy az $A_{3,6}$ (KÖNYÖK-KÉZ) mátrixot 15 szorzással tudjuk kiszámítani (3.4.2. pont), a c)-ben leírt megfontolásokkal kombinálva:

$$15 + [4 \times 2 \times 2] (4 - 1) = 63 \text{ szorzást kell végeznünk.}$$

- e) Ha először az $A_{0,3}$ mátrixot számoljuk ki 12 szorzást felhasználva, majd egyenként folytatjuk a szorzást a továbbiakban mátrixokkal,

$$12 + [(2 \times 2 + 1) \times 3] (4 - 1) = 57 \text{ szorzásra van szükség.}$$

- f) S végül, ha $\underline{A}_{0,3}$ -t és $\underline{A}_{3,6}$ -t külön-külön számoljuk ki (3.4.1 és 3.4.2 pont), majd összeszorozzuk őket,
- $$12 + 15 + [3 \times 4 \times 3] = 63 \quad \text{szorzást kell végeznünk.}$$

Noha az e) szerinti módszer a leggyorsabb, a programban mégis külön-külön számoljuk $\underline{A}_{0,3}$ -t és $\underline{A}_{3,6}$ -t és összeszorozzuk őket az f) pont szerint. E választásnak két oka van:

- az e) módszer a választottnál lényegesen több számítógépmemóriát igényel;
- a kéz orientációt alkalmas módon definiálva (4.fejezet) az $\underline{A}_{3,6}$ mátrix bal felső 3 x 3-as partíciója ugyanazt a formát ölti, mint a kéz orientációt leíró mátrix és így mindkettő számításához ugyanaz a program használható.

$\underline{A}_{0,3}$ és $\underline{A}_{3,6}$ összeszorozásához a program egy mátrixszorzó rutint használ, amely két 3 x 3-as mátrixot szoroz össze, és az utolsó oszlopot külön számolja. Mint az 5.6. pontban látni fogjuk, az eredő kézorientáció azonos módon számolható, mint a q_4 , q_5 , q_6 szögek.

4. A ROBOTKÉZ ORIENTÁCIÓJA

4.1. PARAMÉTERVÁLASZTÁS

Az aritmetikai műveletek mennyiségének csökkentése érdekében meg kell vizsgálnunk a megfogók állapotára vonatkozó parancsok alkalmas formában történő megadásának kérdését. Olyan parancs-interpretációt vezetünk be, amely illeszkedik az adott manipulátor geometriához.

Miközben a megfogó pozíciójára vonatkozó parancs jelentése nyilvánvaló, t.i. az alap koordinátarendszerben megadjuk a manipulátor-kéz kívánt térbeli helyét, addig a megfogó térbeli helyzetét (orientációját) több módon is megadhatjuk. Az irodalomban leginkább elterjedt megadási módot a 2.1. ábrán láttuk, amely lényegében az éppen aktuális kéz-állapothoz van rögzítve és minden kéztengelyre megadja a soron következő translációt és rotációt. [Whitney, 1972]

Esetünkben előnyösebb egy olyan definíciót választani, amely - egy külső referencia-koordinátarendszerhez van rögzítve és így egysévvé teszi a trajektóriaprogramozást; - megfelel az adott csuklórendezésnek.

A fenti követelményeknek az orientáció Euler szögekkel történő megadása felel meg [Vukobratovic, 1978], s a továbbiakban ezt fogjuk alkalmazni. A 2.1. ábrán feltüntetett "kéz koordinátákból" (TWIST, TILT, TURN) az Euler szögeket egy 3 ismeretlenes egyenletrendszer megoldásával kaphatjuk meg. Mivel ezek az egyenletek az ismeretlen Euler szögek 6 szinusát ill. cosinusát tartalmazzák, ez a feladat is meglehetősen számításigényes.

A dolgozatban vizsgált probléma azonban ipari indítástásu (és nem orvosbiológiai), és feltételezi egy magasabb szintű robot-pályatervező rendszer meglétét, miáltal a manipulátorra vonatkozó parancsok egyszerű értelmezhetőségének ezen a szinten nincs túl nagy jelentősége.

4.2. DEFINICIÓS FORMALIZMUS

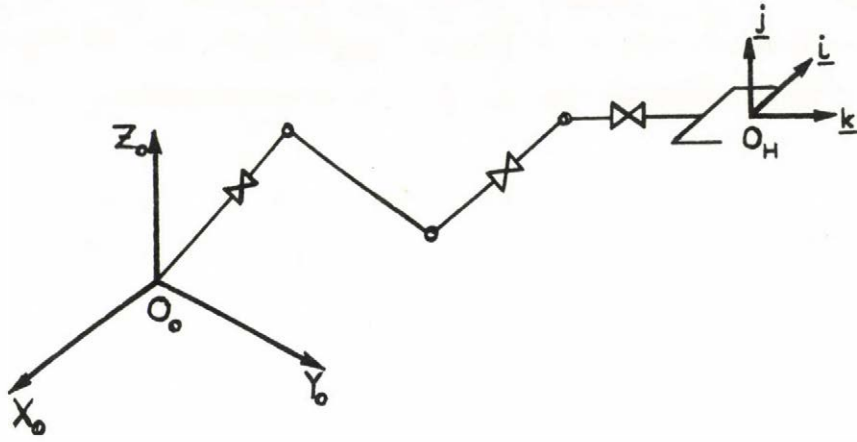
Legyenek $\{X_H, Y_H, Z_H\}$ az $\{\underline{i}, \underline{j}, \underline{k}\}$ vektorhármass O_H origójának derékszögű koordinátái az $\{X_O, Y_O, Z_O\}$ alap-koordinátarendszer O_O origójához képest.

Ekkor az

$$\underline{s}_H = \{X_H, Y_H, Z_H, \alpha, \beta, \gamma\} \quad (4.1)$$

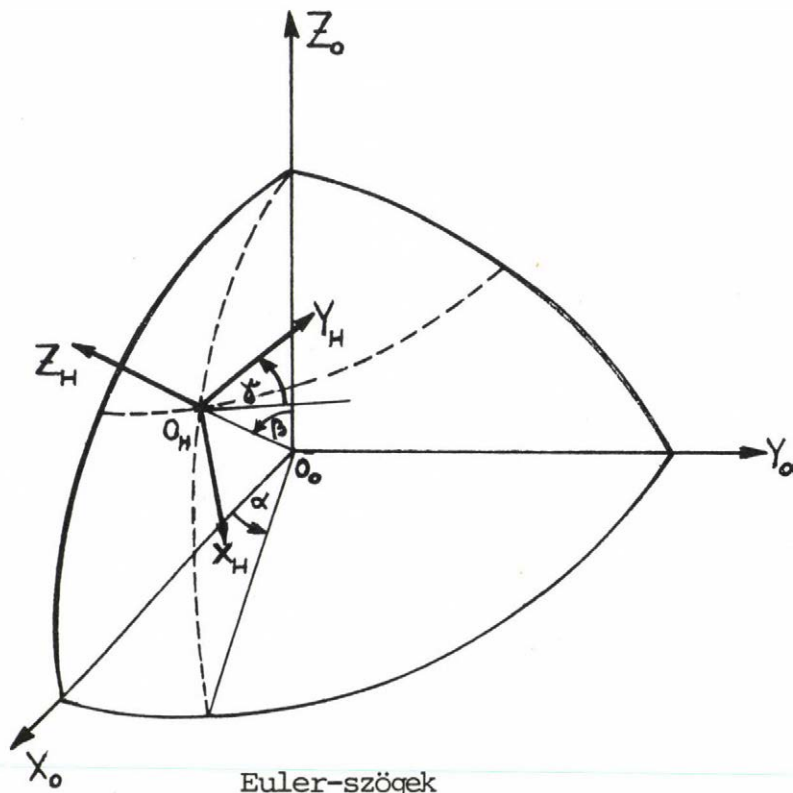
hatos olyan független mennyiségeket tartalmaz, amelyek teljesen meghatározzák $\{\underline{i}, \underline{j}, \underline{k}\}$ pozícióját és orientációját az $\{X_O, Y_O, Z_O\}$ koordinátarendszerben. (4.1. ábra) A (4.1.) kifejezésben szereplő α, β, γ mennyiségek a kéz orientációját fejezik ki és jelentésük az alábbi: (4.2. ábra)

Általános esetben az orientáció parancs egy α forgatást jelent a Z_O tengely, egy β forgatást az Y_O tengely és egy γ forgatást a már elforgatott Z_H tengely körül. Lényeges, hogy a forgatások sorrendje általános, térbeli esetben nem felcserélhető. Az orientációnak ezen értelmezése és a vizsgált manipulátor csuklóelrendezése között közvetlen összefüggés van: a KÖNYÖK pontba rögzített koordinátarendszerben az α, β, γ szögek megfelelnek a q_4, q_5, q_6 csuklószögeknek. Ez az a tulajdonság, amely a paraméterválasztást determinálta, s szorosan kapcsolódik az adott kar-konfigurációhoz: kihasználja azt a tényt, hogy az utolsó három forgástengely egyetlen pontban, a CSUKLÓban metsződik. A továbbiakban az Euler szöveget a 3.5. ábrán



Parancs-definíció

4.1. ábra



Euler-szögek

4.2. ábra

feltüntetett referenciahelyzethez képest fogjuk megadni. A kéz-orientáció értelmezése a 4.3.ábrán látható. A γ szöget úgy tekinthetjük, mint az X_H tengelynek az X_O-Y_O alapsikkal párhuzamos S_0-S_1 egyenessel bezárt szögét. A β szög a Z_H tengelynek az alapsíkra merőleges Z_0 irány-nyal bezárt szöge. Az α szög az X_H' és X_O tengelyek szöge, ahol X_H' -vel jelöltük a manipulátor megfogó X tengelyét a $-\gamma, -\beta$ forgatások után. Ez az értelmezés azt is lát-hatóvá teszi, miért nem kommutatívok a forgatások.

4.3. AZ ORIENTÁCIÓ MÁTRIXA

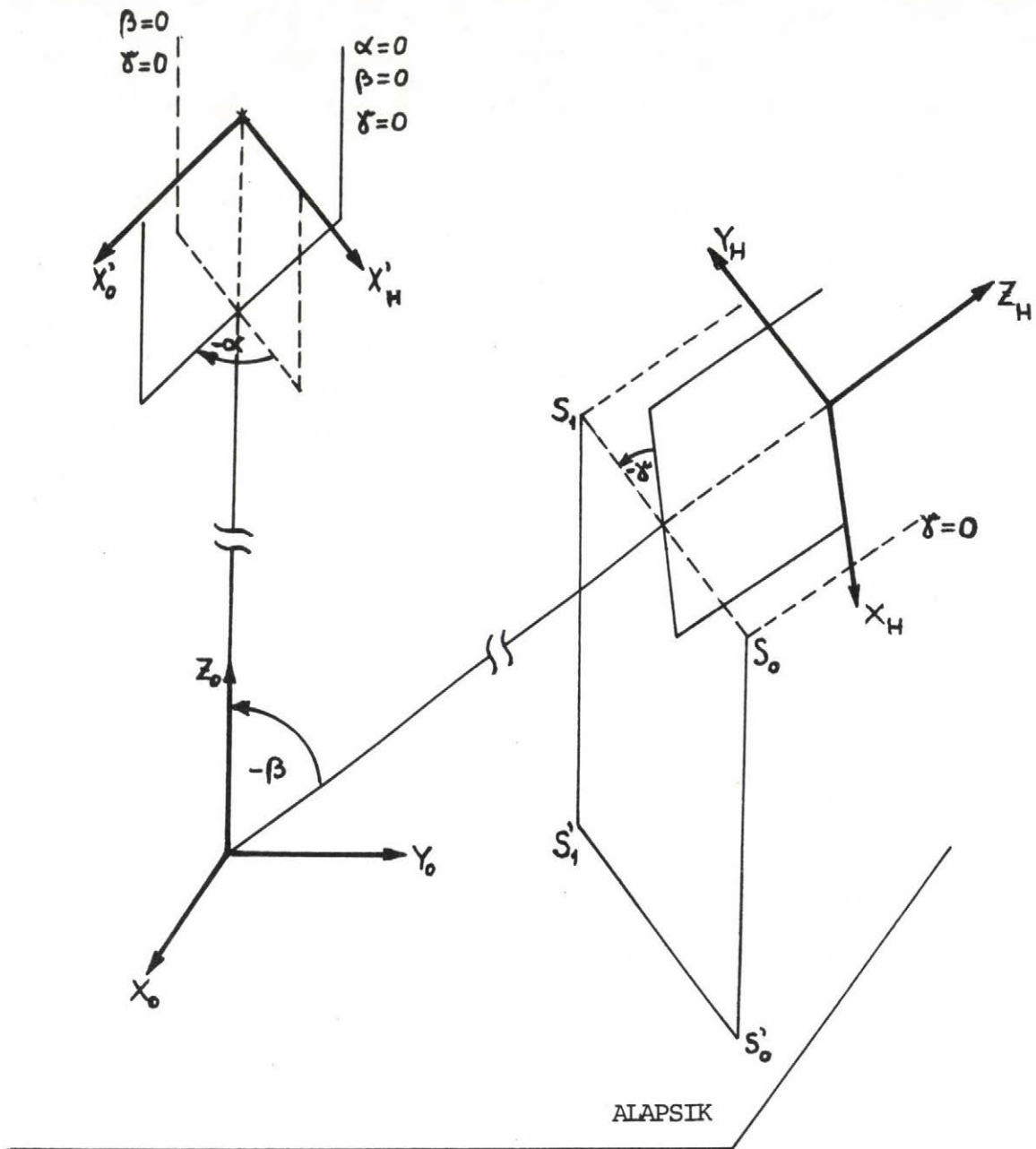
A megfogó térbeli orientációját leíró mátrixot az α, β, γ elemi forgatásokat leíró forgatómátrixok szorzataként képezzük:

$$\begin{bmatrix} c\alpha & -s\alpha & \emptyset \\ s\alpha & c\alpha & \emptyset \\ \emptyset & \emptyset & 1 \end{bmatrix} * \begin{bmatrix} c\beta & \emptyset & s\beta \\ \emptyset & 1 & \emptyset \\ -s\beta & \emptyset & c\beta \end{bmatrix} * \begin{bmatrix} c\gamma & -s\gamma & \emptyset \\ s\gamma & c\gamma & \emptyset \\ \emptyset & \emptyset & 1 \end{bmatrix} =$$

$$\begin{bmatrix} c\alpha c\beta c\gamma - s\alpha s\gamma & -c\alpha c\beta s\gamma - s\alpha c\gamma & c\alpha s\beta \\ s\alpha c\beta c\gamma + c\alpha s\gamma & -s\alpha c\beta s\gamma + c\alpha c\gamma & s\alpha s\beta \\ -s\beta c\gamma & s\beta s\gamma & c\beta \end{bmatrix} = \underline{R_E}$$

(4.2)

Ezt a mátrixot 12 szorzási művelettel állíthatjuk össze, s ehhez ugyanazt a programrutint használhatjuk, mint a 3.4.2 fejezetben a KÖNYÖK és a KÉZ közötti transzformáció forgatási particiójának kiszámításához.



A manipulátor orientáció értelmezése

4.3. ábra

Ha $\beta = \emptyset$ vagy $\beta = \pi$, akkor a kezdeti és végállapotban a Z tengelyek egybeesnek és az α illetve γ forgatások azonos tengelyek körül hajtódnak végre. Tehát $\beta = \emptyset$ esetén:

$$\begin{bmatrix} c(\alpha + \gamma) & -s(\alpha + \gamma) & \emptyset \\ s(\alpha + \gamma) & c(\alpha + \gamma) & \emptyset \\ \emptyset & \emptyset & 1 \end{bmatrix} = \underline{R}_E' \quad (4.3)$$

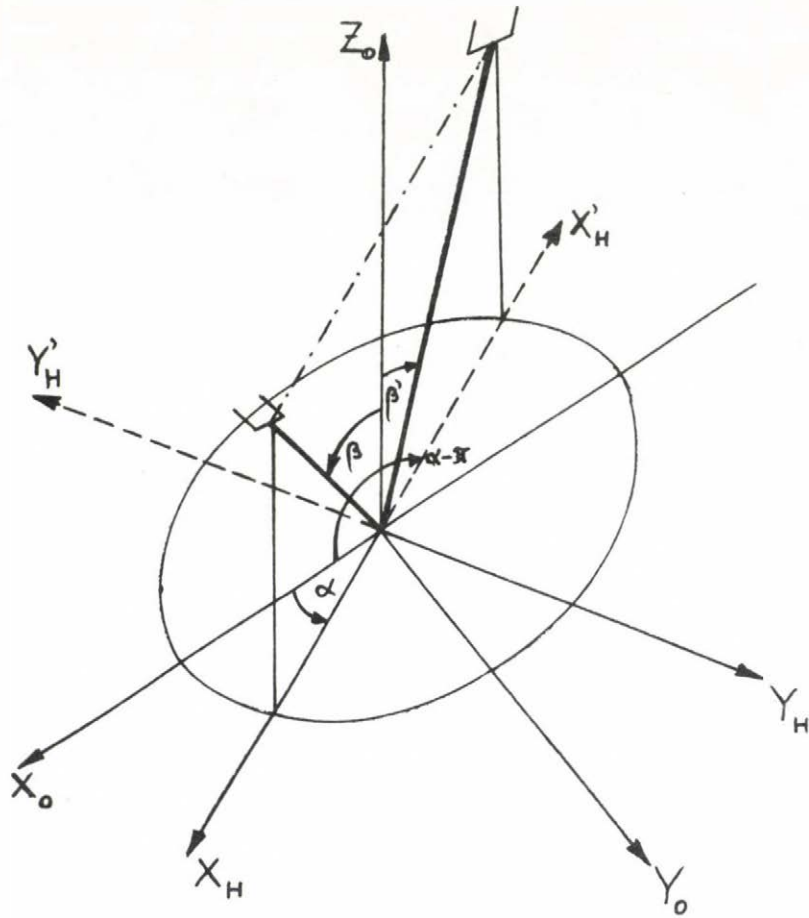
és $\beta = \pi$ esetén:

$$\begin{bmatrix} -c(\alpha - \gamma) & s(\alpha - \gamma) & \emptyset \\ -s(\alpha - \gamma) & c(\alpha - \gamma) & \emptyset \\ \emptyset & \emptyset & 1 \end{bmatrix} = \underline{R}_E'' \quad (4.4)$$

Azért, hogy a manipulátor orientáció értelmezésében elkerüljük a többértelműséget, β értelmezési tartományát a $[\emptyset, \pi]$ intervallumra korlátozzuk. Amint a 4.4. ábrán látható, az $[\alpha, \beta, \gamma]$ és $[\alpha - \pi, -\beta, \gamma - \pi]$ szög-hármasok ugyanahhoz az orientációhoz vezetnek.

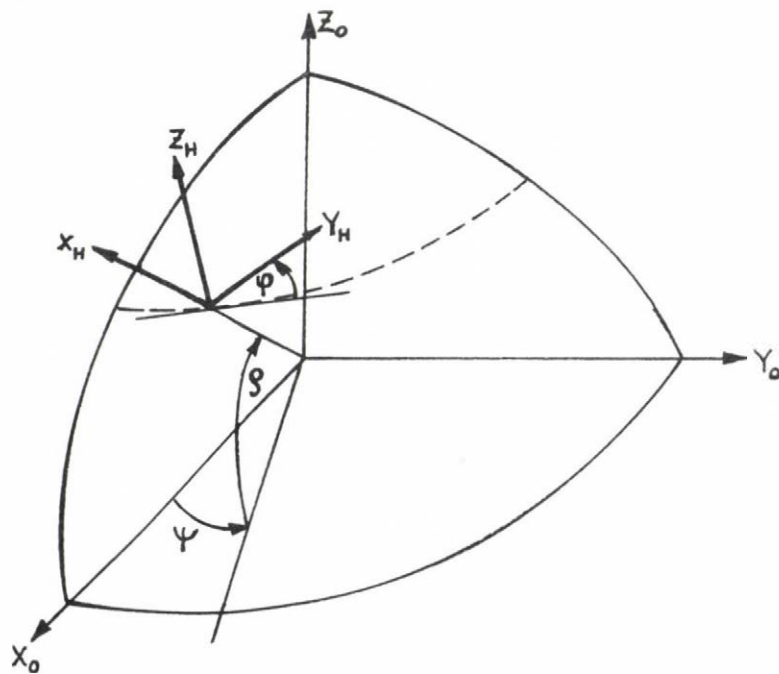
4.4. EULER SZÖGEK SZÁMITÁSA AZ ORIENTÁCIÓ MÁTRIXÁBÓL

A robotkéz állapotának *ellenőrzésekor* a vezérlő program a csukló-szögpozíció érzékelők segítségével leolvasott csuklószög értékekből a 3. fejezetben leírt módon összeállítja a kar teljes transzformációs mátrixát. A kéz tényleges orientációját e mátrix bal felső 3 x 3 partíciójából, vagyis az orientáció mátrixból számítja ki, amely az



Alternatív Euler-szöghármasok

4.4. ábra



"ROLL-PITCH-YAW" geometria

4.5. ábra

$$\begin{bmatrix} r_{11} & r_{12} & r_{13} \\ r_{21} & r_{22} & r_{23} \\ r_{31} & r_{32} & r_{33} \end{bmatrix} = \underline{R} \quad (4.5)$$

formában adott. Ha a (4.5) mátrixot összehasonlítjuk az Euler szögekből képzett (4.2) mátrixszal, egyenleteket állíthatunk fel α, β, γ -ra. A többszörös megoldások elkerülése végett a 4.3 pontnak megfelelően β -t $[\phi, \pi]$ közé korlátozzuk. A megoldáshoz vezető egyik lehetséges út az alábbi:

$$r_{33} = \cos \beta \quad \text{igy} \quad \beta = \arccos r_{33} \quad (4.6)$$

Megjegyzés: a programban szereplő ARCCOS szubrutin β -ra éppen az előírt szögtartományt produkálja.

$$r_{11} + r_{22} = (c_\alpha c_\gamma - s_\alpha s_\gamma) (c_\beta + 1) = c(\alpha + \gamma) (c_\beta + 1) \quad (4.7)$$

$$r_{21} - r_{12} = (s_\alpha c_\gamma + c_\alpha s_\gamma) (c_\beta + 1) = s(\alpha + \gamma) (c_\beta + 1) \quad (4.8)$$

$$r_{11} - r_{22} = (c_\alpha c_\gamma + s_\alpha s_\gamma) (c_\beta - 1) = c(\alpha - \gamma) (c_\beta - 1) \quad (4.9)$$

$$r_{21} + r_{12} = (s_\alpha c_\gamma - c_\alpha s_\gamma) (c_\beta - 1) = s(\alpha - \gamma) (c_\beta - 1) \quad (4.10)$$

Három esetet kell megvizsgálnunk:

$$1. \quad -1 < r_{33} < 1 \quad \text{azaz} \quad \beta \neq \phi \quad \text{és} \quad \beta \neq \pi \quad (4.11)$$

ekkor (4.7) -ből és (4.8) -ből:

$$\alpha = \gamma = \arctan \left\{ \frac{(r_{21} - r_{12})}{(r_{11} + r_{22})} \right\} \quad (4.12)$$

és (4.9) -ből és (4.10) -ből:

$$\alpha = \gamma = \arctan \left\{ \frac{(r_{21} + r_{12})}{(r_{11} - r_{22})} \right\} \quad (4.13)$$

és végül (4.12) -ből és (4.13) -ből megkapjuk α -t és γ -t.

$$2. \quad r_{33} = 1 \quad \text{azaz} \quad \beta = \emptyset \quad (4.14)$$

Ebben az esetben $c\beta - 1 = \emptyset$ és így (4.9) -t nem oszthatjuk el (4.10)-zel. (4.12)-ből viszont megkapjuk $(\alpha + \gamma)$ -t és az Euler szögeket a következőképpen választhatjuk meg:

$$\alpha' = \alpha + \gamma, \quad \beta' = \beta = \emptyset, \quad \gamma' = \emptyset \quad (4.15)$$

$$3. \quad r_{33} = -1, \quad \text{azaz} \quad \beta = \pi \quad (4.16)$$

Hasonlóképpen, most (4.12)-t nem használhatjuk, de (4.13) -ből megkapjuk $(\alpha - \gamma)$ -t és az új Euler szögek:

$$\alpha'' = \alpha - \gamma, \quad \beta'' = \beta = \pi, \quad \gamma'' = \emptyset \quad (4.17)$$

A manipulátor orientáció értelmezéséhez kiegészítésül érdemes megjegyezni, hogy a 4.2. pontban leírt Euler szög-hármas választás nem az egyetlen lehetséges konvenció. Például az ugynevezett "ROLL-PITCH-YAW" geometriához [Horn, Inoue, 1974] tartozó Euler szög megválasztás a 4.5 ábrán látható. Ilyen geometriával rendelkezik például a CINCINNATI MILACRON cég T³ elnevezésű ipari manipulátora.

5. A MANIPULÁTOR-GEOMETRIA INVERZ PROBLÉMÁJA

5.1. A MEGOLDÁS ELVE

Miután matematikai formában leírtuk a robotkar geometriáját (3.fejezet) és alkalmas interpretációt találtunk a megfogó állapotának jellemzésére (4.fejezet), a következő feladat az *inverz probléma* megoldása, vagyis azoknak a csuklószőgeknek a kiszámítása, amelyek egy adott robotkéz pozíciót és orientációt előállítanak.

Figyelembe véve a vizsgált manipulátornak azt a tulajdonságát, hogy a kéz felé eső három forgástengely egyetlen pontban, a CSUKLÓ-ban metszi egymást, lehetséges a *6 ismeretlenes feladatot két egyszerűbb, 3 ismeretlenes problémára bontani*. Az előnyös geometriai elrendezés következtében először azt tudjuk meghatározni, hogy a CSUKLÓ hol helyezkedik el a TCP-hez képest, majd a CSUKLÓ immár ismert térbeli pozíciójából egyértelműen meghatározhatjuk az első három (q_1, q_2, q_3) csuklószőget: csak ez a három változó befolyásolja a CSUKLÓ pozícióját. Miután *független módon* kiszámítottuk q_1, q_2, q_3 -t, fel tudjuk használni azokat a másik három csuklószőg (q_4, q_5, q_6) kiszámításához.

Megjegyzendő, hogy a feladat direkt megoldása anélkül, hogy a fenti előnyös geometriai tulajdonságot kihasználnánk, nagy nehézségbe ütközne, mivel a csuklószőgeknek a teljes transzformációs mátrixban szereplő 6 sinusára és cosinusára összesen 12 polinomiális egyenletből álló egyenletrendszert kellene megoldanunk: az ismeretleneknek az egyenletek kombinálásával történő szukcessziv eliminációja egyetlen, igen magas fokszámu egyenlethez vezetne.

Ezért interpolációs technikát kellene alkalmaznunk, ahol a manipulátor konfigurációk egy véges, de igen nagyszámu halmazát kellene tárolnunk és a megoldást gradiens módszerrel és iterációval kombinálnunk: a megoldást úgy kapnánk meg, hogy a csuklósögek szukcessziv becsléseivel sorozatosan kiértékelnénk a manipulátor transzformációs mátrixát. Látható, hogy ez a módszer esetünkben nem használható, mivel igen lassu és különösen sok számítógép memóriát igényel. A szukcessziv approximációs megközelítésre mutat be példát [Albus, 1975].

5.2. A CSUKLÓ POZICIÓJÁNAK KISZÁMITÁSA

Az 5.1. ábrán látható, hogy a megfogó (α, β, γ) -val definiált orientációja és (X_H, Y_H, Z_H) -val megadott pozíciója közvetlenül meghatározzák, hol kell a CSUKLÓ-nak a térben elhelyezkednie. Az (5.1.) ábrán alkalmazott jelöléseket használva a csukló pozíciója:

$$X_{CS} = X_H - D \cos\alpha \sin\beta \quad (5.1)$$

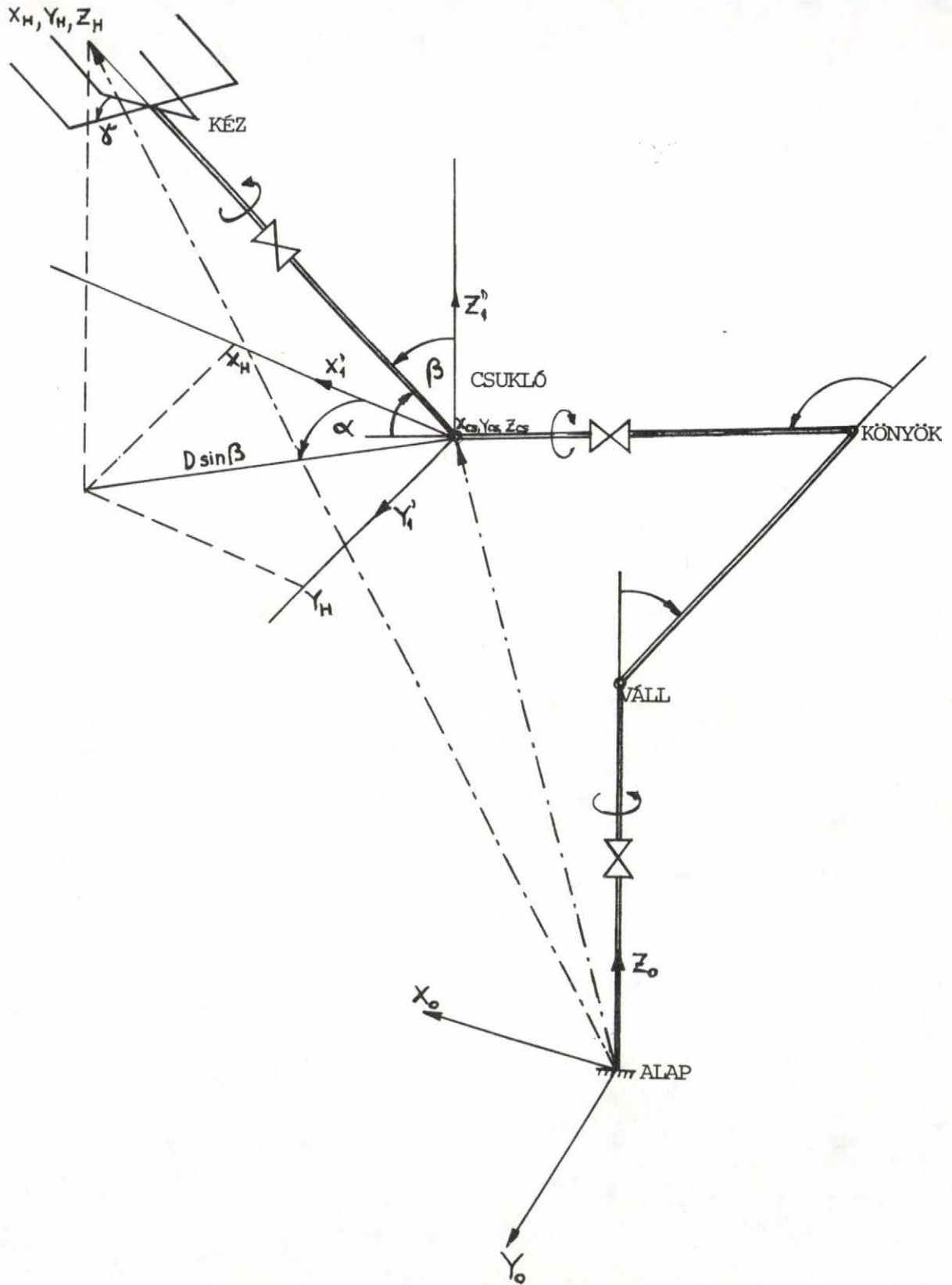
$$Y_{CS} = Y_H - D \sin\alpha \sin\beta \quad (5.2)$$

$$Z_{CS} = Z_H - D \cos\beta \quad (5.3)$$

ahol D a CSUKLÓ és a KÉZ közötti tag hossza. A CSUKLÓ pozíció kiszámítása 4 szorzást igényel.

5.3. A q_1, q_2, q_3 CSUKLÓSÖGEK KISZÁMITÁSA

A CSUKLÓ pozíciót kifejezzük, mint a 3.4.1. pontban részletezett koordinátatranszformációk eredményét, vagyis megadjuk, hogy a q_1, q_2, q_3 tengelyforgások miként viszik a



A CSUKLÓ pozíció számítása

5.1. ábra

CSUKLÓ-t az (X_{CS}, Y_{CS}, Z_{CS}) pozícióba. A 3.11 mátrix megadta az ALAP-tól a KÖNYÖK-be mutató koordinátatranszformációt. A CSUKLÓ-nak a KÖNYÖK-höz rögzített koordinátarendszerben vett pozíciója (ϕ, ϕ, C) , ahol C a KÖNYÖK és CSUKLÓ közötti tag hossza. Ezt a pontot homogén koordináták felhasználásával az ALAP koordinátarendszerébe transzformáljuk:

$$\begin{bmatrix} X_{CS} \\ Y_{CS} \\ Z_{CS} \\ 1 \end{bmatrix} = \underline{A}_{O,3} \cdot \begin{bmatrix} \phi \\ \phi \\ C \\ 1 \end{bmatrix} \quad (5.4)$$

ahol $\underline{A}_{O,3}$ (3.11)-gyel adott. (5.4)-ből:

$$X_{CS} = Cc1s23 + Bc1s2 = c1 \cdot s23 + Bs2 \quad (5.5)$$

$$Y_{CS} = Cs1s23 + Bs1s2 = s1 \cdot s23 + Bs2 \quad (5.6)$$

$$Z_{CS} = Cc23 + Bc2 + A \quad (5.7)$$

ahol A, B, C a tag-hosszak, $s23 = s2c3 + c2s3$,
 $c23 = c2c3 - s2s3$.

Legyen

$$K = Cs23 + Bs2 \quad (5.8)$$

(5.5)-ből és (5.6)-ból:

$$\begin{aligned} X_{CS} &= c1 * K \\ Y_{CS} &= s1 * K \end{aligned} \quad (5.9)$$

s innen

$$\begin{aligned} \tan q_1 &= Y_{CS}/X_{CS} \\ q_1 &= \arctan(Y_{CS}/X_{CS}) \end{aligned} \quad (5.11)$$

(5.9)-ből és (5.10)-ből:

$$K^2 = X_{CS}^2 + Y_{CS}^2 \quad (5.12)$$

$$K = \pm \sqrt{X_{CS}^2 + Y_{CS}^2} \quad (5.13)$$

Legyen

$$L = Cc23 + Bc2 \quad (5.14)$$

igy (5.7)-ből:

$$L = Z_{CS} - A \quad (5.15)$$

K és L tehát ismert mennyiségek. (5.8)-ból és (5.14)-ből:

$$K^2 = C^2 s23^2 + B^2 s2^2 + 2BCs23s2 \quad (5.16)$$

$$L^2 = C^2 c23^2 + B^2 c2^2 + 2BCc23c2 \quad (5.17)$$

(5.16) és (5.17) összeadásával:

$$K^2 + L^2 = B^2 + C^2 + 2BC (c23c2 + s23s2) \quad (5.18)$$

ahol

$$c23c2 + s23s2 = \cos[(q_2 + q_3) - q_2] = \cos q_3$$

és így (5.18) -ből:

$$q_3 = \arccos [(K^2 + L^2 - B^2 - C^2)/2BC] \quad (5.19)$$

q_2 kiszámításához tekintsük ismét (5.8)-t és (5.14)-t:

$$K = Cs2c3 + Cc2s3 + Bs2 \quad (5.20)$$

$$L = Cc2c3 - Cs2s3 + Bc2 \quad (5.21)$$

Legyen

$$M = C \cdot \cos q_3 \quad (5.22)$$

$$N = C \cdot \sin q_3 \quad (5.23)$$

ahol M és N már ismert mennyiségek. Ekkor (5.20)-ból és (5.21)-ből:

$$K = (M + B) s^2 + Nc^2 \quad (5.24)$$

$$L = (M + B) c^2 - Ns^2 \quad (5.25)$$

és innen

$$K - (M + B) s^2 = Nc^2 \quad (5.26)$$

$$L + Ns^2 = (M + B) c^2 \quad (5.27)$$

(5.26)-ből és (5.27)-ből:

$$q_2 = \arcsin \left\{ \frac{[K(M + B) - LN]}{[(M + B)^2 + N^2]} \right\} \quad (5.28)$$

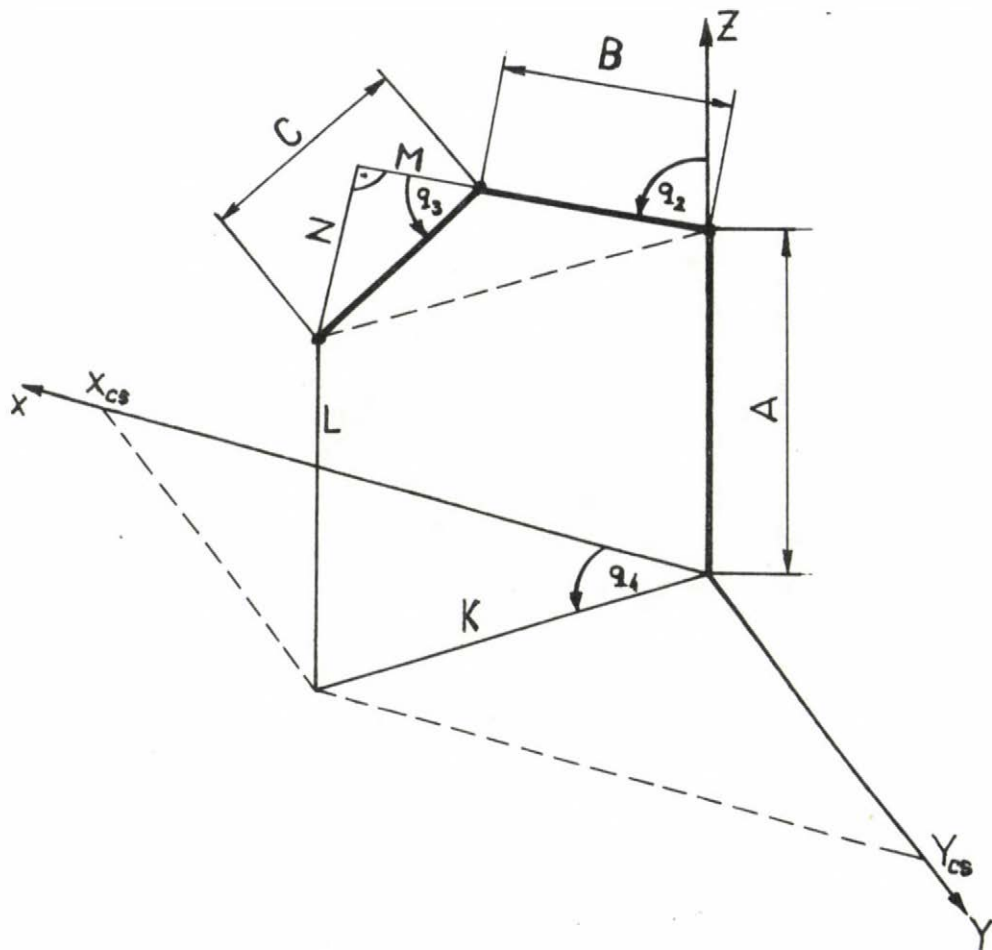
A q_1 , q_2 , q_3 szögek számítása során bevezetett mennyiségek geometriai jelentése az 5.2. ábrán látható.

Nyilvánvaló, hogy a manipulátor munkatere korlátozott kiterjedésű, és az 5.2. pontban kiszámított bármilyen CSUKLÓ pozícióhoz nem tartozhat q_1 , q_2 , q_3 megoldás. A másik megvizsgálandó probléma pedig az, hogy a q_1 , q_2 , q_3 számításához felhasznált inverz trigonometriai függvényeknek többszörös megoldásai vannak és ezek közül választanunk kell. E két probléma megoldásához vizsgáljuk meg a manipulátor munkaterét.

5.4. A MANIPULÁTOR MUNKATERE

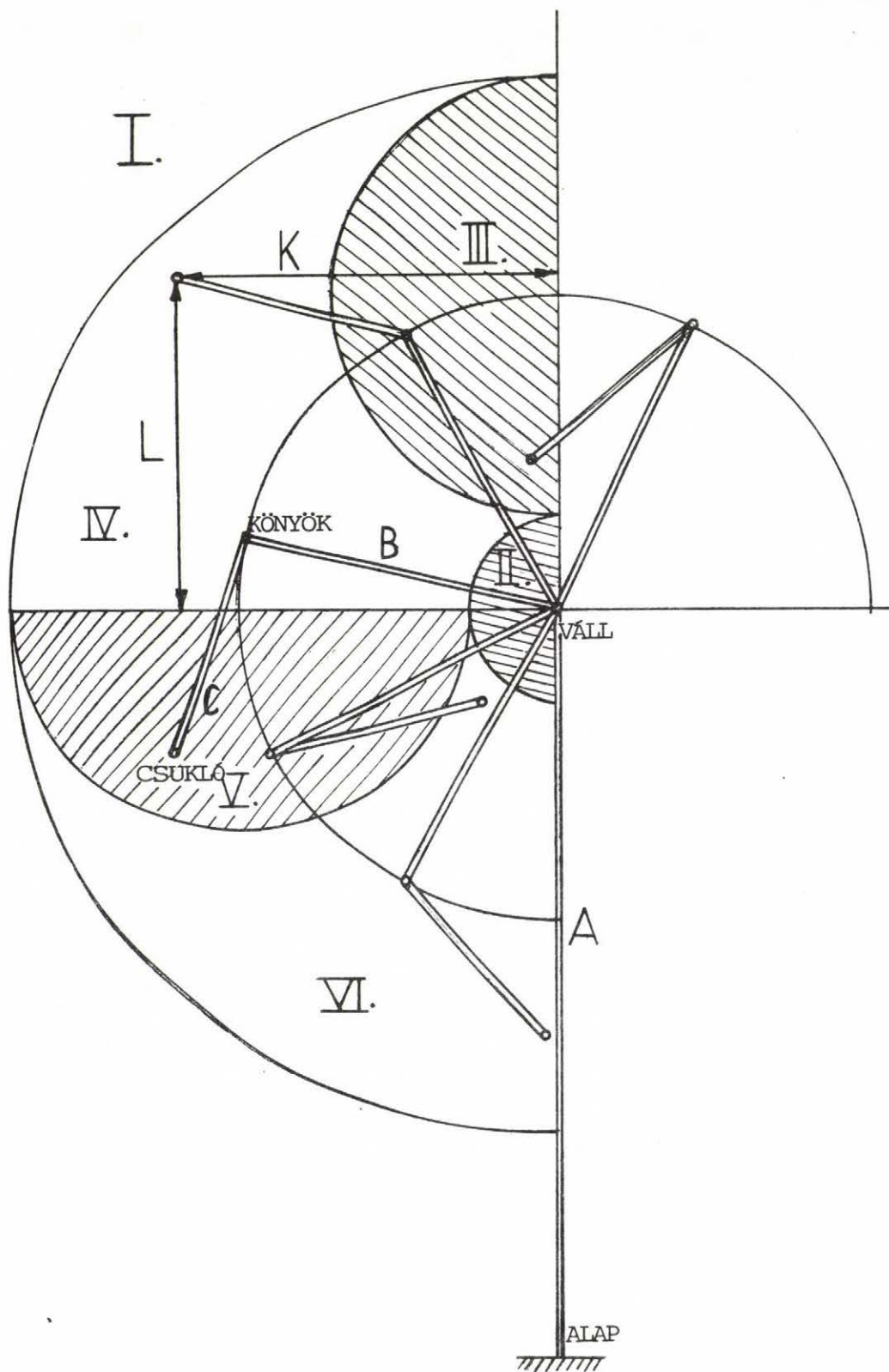
5.4.1. A megoldás létezése

Ismervén a kívánt X_{CS} , Y_{CS} , Z_{CS} -t ellenőrizhetjük, vajon a CSUKLÓ valóban elvihető-e ebbe a pozícióba. Az 5.3. ábra az első három tag (A, B, C) által kifeszített síkot



$\alpha_1, \alpha_2, \alpha_3$ számítása

5.2. ábra



A manipulátor munkatere

5.3. ábra

mutatja. (Mivel a B tag mentén nincs longitudinális forgatás, a 3 tag egy síkban van.) A rajzból megállapítható, hogy a CSUKLÓ az alábbi térrészeket nem érheti el: (a jelölések ugyanazok, mint az 5.3 pontban)

- a) Azokat a pontokat, amelyek a VÁLL-tól túl messze vannak, vagyis ahol

$$K^2 + L^2 > B + C \quad (5.29)$$

(Ezt a térrészt I.-gyel jelöljük.)

- b) Azokat a pontokat, amelyek a vállhoz túl közel vannak:

$$K^2 + L^2 < B - C \quad (5.30)$$

(II. tartomány)

Ez utóbbi feltételnek akkor lenne jelentősége, ha ideális ízületeink lennének, vagyis a VÁLL és KÖNYÖK ízület mozgástartománya is $\pm 180^\circ$ lenne. Ilyen esetben célszerű lenne a B és C rudakat egyenlő hosszúságúra tervezni, mivel ekkor a II. tartomány eltűnne. Esetünkben azonban az említett ízületek mozgástartománya csak $\pm 90^\circ$, ezért az utóbbi megfontolásnak csak elvi jelentősége van. A számítógépes program a kívánt CSUKLÓ pozíció meghatározása után ellenőrzi a fenti feltételeket.

5.4.2. q_1 értéktartománya

q_1 kiszámításához az arctan függvényt használtuk. Az (5.11) kifejezésben $Y_{CS} > \phi$ esetén az arctan szubrutin által szolgáltatott $\phi < q_1 < \pi$ érték a helyes megoldás. Ha viszont $Y_{CS} < \phi$, akkor a program a

$$q_1 = \arctan (Y_{CS}/X_{CS}) - \pi \quad (5.31)$$

értéket adja át megoldásként. Így q_1 -re megkapjuk a teljes, $[-\pi, \pi]$ értéktartományt.

5.4.3. q_3 értéktartománya

Az (5.19) kifejezés q_3 -ra egy pozitív és egy negatív értéket szolgáltat eredményként. Ez azt jelenti, hogy ugyanazt a CSUKLÓ pozíciót különböző tag-elrendezésekkel lehet előállítani. Olyan esetekben, amikor egyéb szempontot (optimális mozgáspálya, ütközés elkerülése, stb.) nem kell figyelembe venni, a $q_3 > \phi$ esetet fogjuk választani. A programcsomaghoz tartozó arc cos szubrutin ezt az értéktartományt szolgáltatja. A választott megszorítás azt a gyakorlatban is szokásos konfiguráció beállítást fejezi ki, hogy a KÖNYÖK lehetőleg a VÁLL-CSUKLÓ vonal felett helyezkedjen el, amint az az 5.3. ábrán látható. Tehát

$$q_3 = \arccos \{ (K^2 + L^2 - B^2 - C^2) / 2BC \},$$
$$\phi < q_3 < \pi \quad (5.32)$$

A legtöbb KÉZ orientáció és pozíció 8 féle csuklósögmegosztás mellett érhető el. Ez megfelel háromszori kétutas választásnak, amelyek közül az első a q_3 -ra tett fenti megszorítás volt.

5.4.4. A K mennyiség értékei

Mint ahogy a (q_1, q_2, q_3) és $(\pi + q_1, -q_2, -q_3)$ szögek ugyanazt a CSUKLÓ pozíciót állítják elő, lerögzíthetjük, hogy

$$K = \sqrt{x_{CS}^2 + y_{CS}^2} \geq \emptyset \quad (5.33)$$

vagyis a VÁLL-hoz rögzített koordinátarendszernek csak a bal felét ($x_{CS}^{VÁLL} \geq \emptyset$) fogjuk figyelembe venni. Az (5.33) feltétel a 8 választat között a második választást jelenti. Ha a váll koordinátarendszerében a CSUKLÓ pozíciók csak az említett térrészben fordulnak elő, akkor

$$q_2 + q_3 > \emptyset \quad (5.34)$$

mindig fenn fog állni, amint az egy ideális manipulátorra vonatkozóan az 5.4. ábrán látható.

5.4.5. q_2 értéktartománya

A q_2 kiszámítását kifejező (5.28) kifejezésben tehát $K \geq \emptyset$, továbbá

$$L \geq \emptyset \text{ ha } z_{CS} \geq A, \quad L < \emptyset \text{ ha } z_{CS} < A$$

Az arc sin szubrutin a $-\pi/2 < q_2 < \pi/2$ értéktartományt adja megoldásként. A másik megoldás $q_2' = \pi - q_2$ lenne. Az 5.5. ábra figyelembevételével az alábbiakban eldöntjük, hogy a két megoldás közül milyen esetben melyiket válasszuk:

a) Ha $L > \emptyset$ és $T < C$ akkor $q_2 < \emptyset$ (5.35)

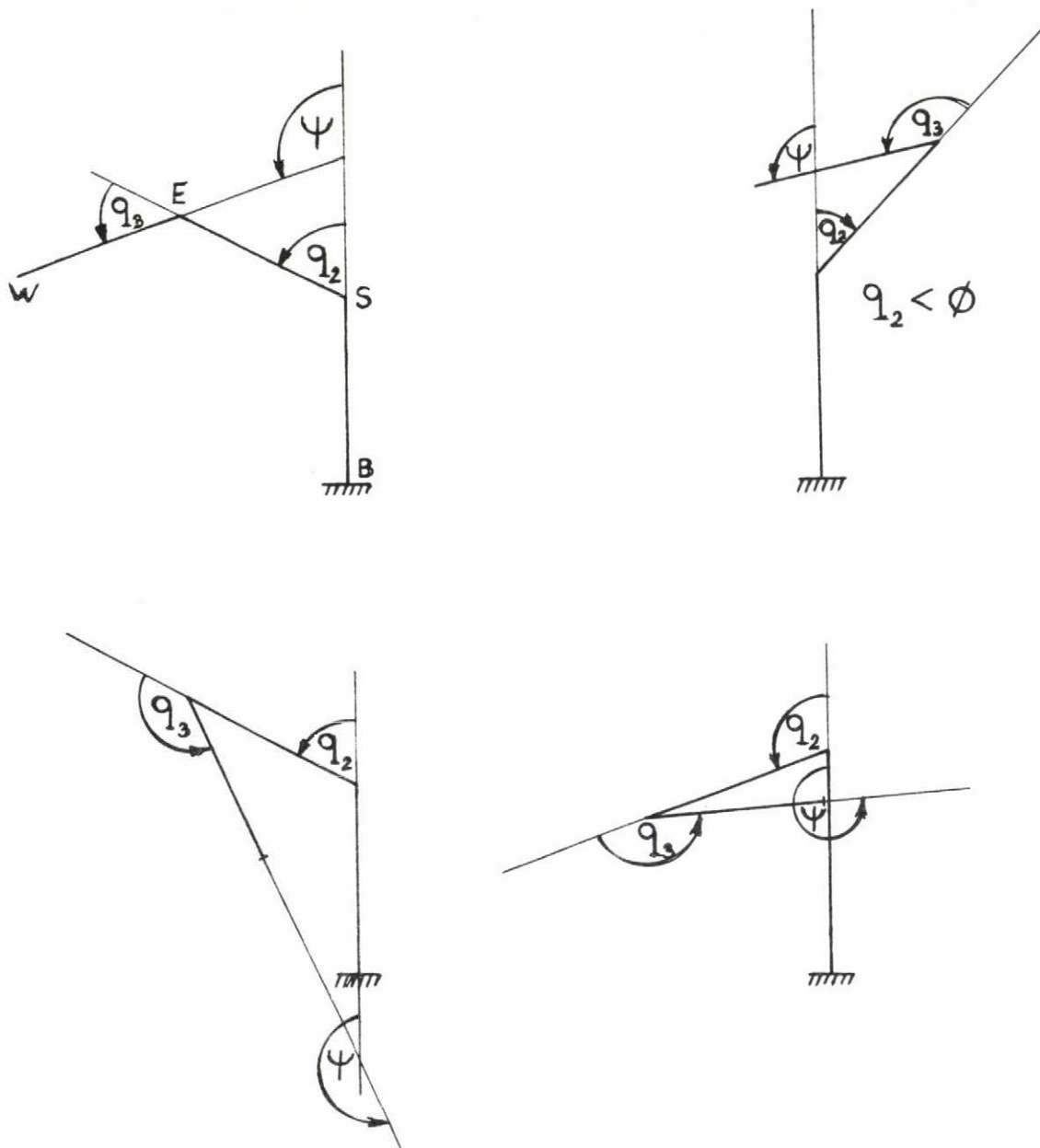
ahol

$$T = \sqrt{(B - L)^2 + K^2} \quad (5.36)$$

(lásd az 5.5. a) ábrát is)

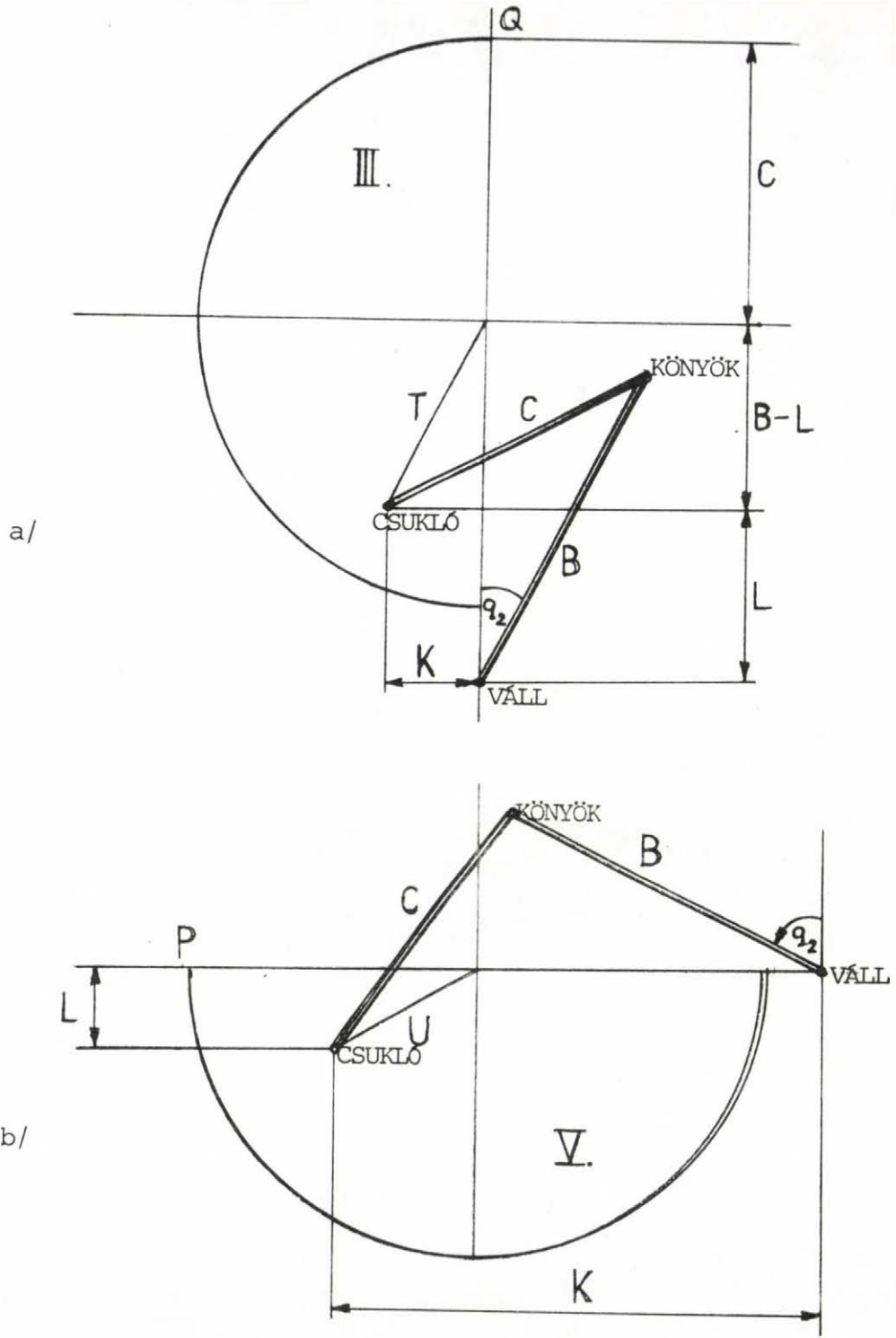
vagyis az 5.3 ábra szerinti III. tartományba eső előirt CSUKLÓ pozíciók csak akkor érhetők el, ha a KÖNYÖK az ALAP-VÁLL vonaltól balra esik. (Feltéve, hogy a q_3 -ra tett (5.32) feltétel fennáll.) Mivel $q_2 > -\pi/2$ az előző feltételek miatt mindig igaz, valójában nincs szükség az (5.35) feltétel ellenőrzésére: az arc sin szubrutin q_2 -re éppen a megfelelő értéket fogja adni.

$$\Psi = q_2 + q_3, \quad q_2 + q_3 > \emptyset$$



$(q_2 + q_3)$ értéktartománya

5.4. ábra



q_2 értéktartománya

5.5. ábra

b) Az 5.3. ábra IV. tartományában az arc sin rutin által szolgáltatott q_2 érték szintén minden további vizsgálat nélkül elfogadható, mivel itt

$$\emptyset < q_2 < \pi/2$$

és

$$L > \emptyset, \quad T > C, \quad U > C \quad (\text{lásd c) alatt}) \quad (5.37)$$

c) Ha a CSUKLÓ az V. tartományba esik, ekkor a KÖNYÖK-CSUKLÓ vonal metszi a P-VÁLL vonalat (5.5b. ábra) Ebben a tartományban ismét

$\emptyset < q_2 < \pi/2$, vagyis az (5.28) kiértékelésekor az arc sin szubrutin által adott érték.

Itt

$$L < \emptyset, \quad U < C \quad (5.38)$$

ahol

$$U = \sqrt{(K - B)^2 + L^2} \quad (5.39)$$

d) És végül a VI. tartományban

$$\pi/2 < q_2 < \pi, \quad \text{vagyis}$$

$$q_2 = \pi - \arcsin \left\{ \frac{[K(M + B) - LN]}{[(M + B)^2 + N^2]} \right\} \quad (5.40)$$

lesz a helyes megoldás. (5.40) -t kell választani (5.28) helyett, ha

$$L < \emptyset, \quad U > C \quad (5.41)$$

Tehát q_2 kiszámításakor a program az (5.41) feltételeket ellenőrizni.

5.5. MANIPULÁTOR TERVEZÉSI MEGFONTOLÁSOK

a) Mint az 5.4.1. pontban említettük, nagy szögátfogásu tranzverzális csuklók esetében nem célszerű $B \neq C$ -t tervezni, mivel így a VÁLL körül egy $B - C$ sugaru gömb belsejét a CSUKLÓ nem éri el.

b) Mivel a tranzverzális csuklók átfogása általában kisebb az ideális $\pm 180^\circ$ -nál (a COROHAND-nél $\pm 90^\circ$), ezért az a) feltételt nem feltétlenül szükséges betartani, a $C > B$ esetet azonban mindenképpen kizárhatjuk: a KÖNYÖK-CSUKLÓ tag ne legyen hosszabb, mint a VÁLL-KÖNYÖK távolság. Ez ugyanis nem csupán a CSUKLÓ által szintén elérhetetlen gömbtartományhoz vezetne, hanem az egész berendezés mechanikai labilitása és igénybevétele is nőne a $C < B$ esettel szemben.

c) Ha a csuklónak az alapsík egy ρ sugaru körén belül az ALAP körül kell elérnie pontokat, akkor a manipulátort úgy kell megtervezni, hogy

$$B + C = \sqrt{\rho^2 + A^2}$$

legyen. (5.6.ábra)

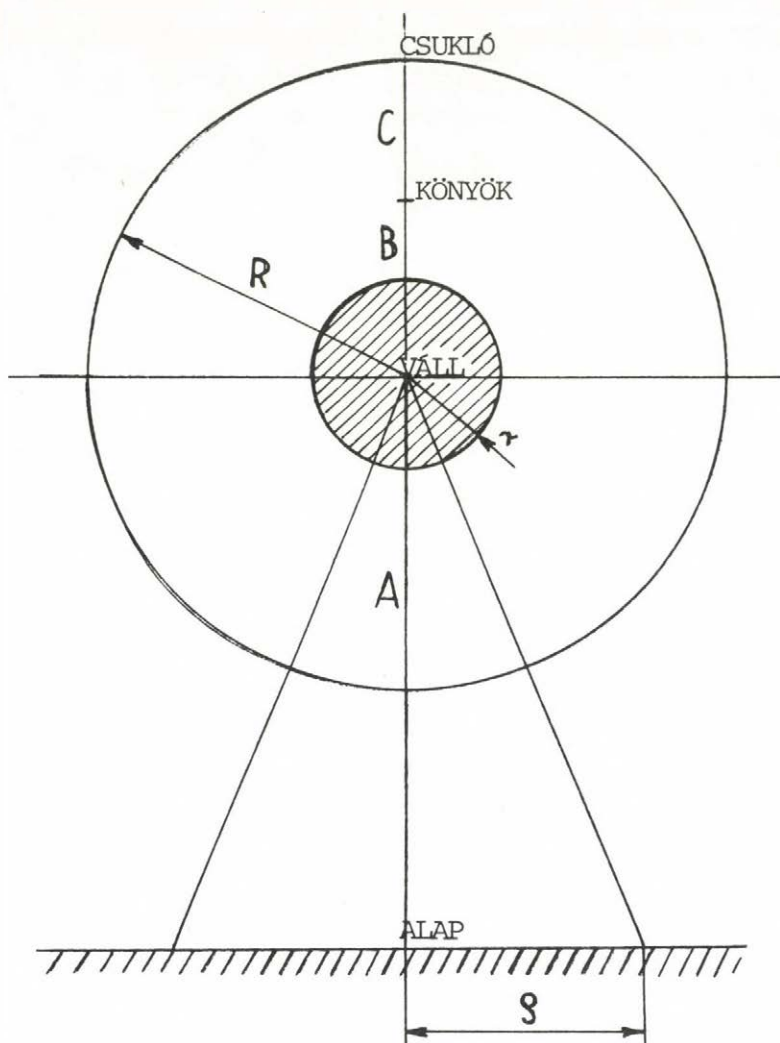
d) Az ALAP-VÁLL távolság (A) a teljes munkatér előirt méreteitől függ.

e) Az 5.4. pontban vizsgált és megengedettnek tekintett munkatér-tartománynak sem érhető el minden pontja, ha figyelembe vesszük, hogy a COROHAND tranzverzális csuklóinak átfogási tartománya csak $\pm 90^\circ$. Az 5.3 ábra szerint végül is csak a III., IV. és V. jelű térrésznek a VÁLL körüli B sugaru körön kívül eső pontjait tudja a CSUKLÓ elérni, vagyis ezen térrészeken belül a megfogó *pozícióját és orientációját egyaránt vezérelni tudjuk.*

5.6. q_4, q_5, q_6 KISZÁMITÁSA

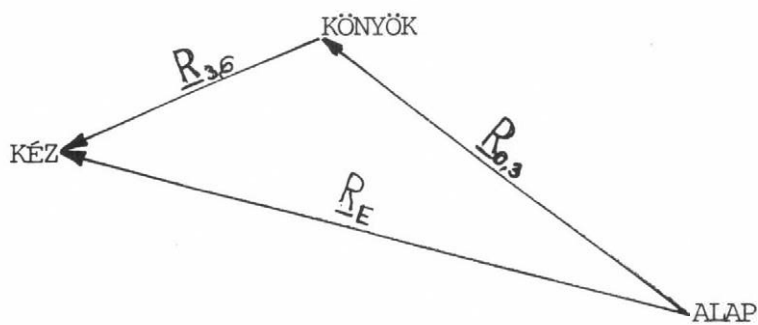
a) q_1, q_2, q_3 ismeretében kiszámíthatjuk a KÖNYÖK-CSUKLÓ koordinátarendszer orientációmátrixát:

$$\begin{bmatrix} c1c23 & -s1 & c1s23 \\ slc23 & c1 & sls23 \\ -s23 & \emptyset & c23 \end{bmatrix} = \underline{R}_{O,3} \quad (5.42)$$



A kar-tagok hosszának megválasztása

5.6. ábra



Orientációmátrixok kapcsolata

5.7. ábra

Ez a mátrix megegyezik a 3.5.1. pontban kiszámított $\underline{A}_{O,3}$ transzformációs mátrix bal felső 3 x 3-as particiójával. Miután a program (5.42) -t kiszámította, eltárolja azt a teljes transzformáció mátrix vagyis $\underline{A}_{O,6}$ kiszámításáig.

b) A KÉZ kívánt orientációja az ALAP koordinátarendszerében a Euler szögekből összeállított (4.2) orientációmátrix formájában van megadva, ezt a mátrixot \underline{R}_E -vel jelöltük.

c) Az ALAP-KÉZ orientációmátrix felírható, mint

$$\underline{R}_E = \underline{R}_{O,3} * \underline{R}_{3,6} \quad (5.43)$$

(lásd az 5.7.ábrát) és így

$$\underline{R}_{3,6} = \underline{R}_{O,3}^{-1} * \underline{R}_E \quad (5.44)$$

Mint hogy ortogonális transzformációkat használunk,

$$\underline{R}_{O,3}^{-1} = \underline{R}_{O,3}^T$$

vagyis $\underline{R}_{O,3}$ transzponáltja. Így végül is

$$\underline{R}_{3,6} = \underline{R}_{O,3}^T * \underline{R}_E \quad (5.45)$$

d) Másfelől a 3.4.2. pontban kifejezett $\underline{A}_{3,6}$ transzformációs mátrix forgatási particiója nem más, mint $\underline{R}_{3,6} = [r_{i,j}]$, $i, j = 1, 2, 3$,

vagyis

$$\begin{aligned} \underline{R}_{3,6} &= \begin{bmatrix} c4c5c6 - s4s6 & -c4c5s6 - s4s6 & c4s5 \\ s4c5c6 + c4s6 & -s4c5s6 + c4c6 & s4s5 \\ -s5c6 & s5c6 & c5 \end{bmatrix} = \\ &= \begin{bmatrix} r_{11} & r_{12} & r_{13} \\ r_{21} & r_{22} & r_{23} \\ r_{31} & r_{32} & r_{33} \end{bmatrix} \quad (5.46) \end{aligned}$$



Minthogy formailag a q_4, q_5, q_6 szögek megfelelnek sorrendben az α, β, γ szögeknek (az (5.46) mátrix alakja megegyezik a (4.2)-ével), ezért kiszámításukhoz ugyanazt a programot használjuk, mint az Euler szögeknek az orientáció mátrixból való előállításához a 4.4. fejezetben. Így a $\emptyset < q_5 < \pi$ megszorítást is beiktatjuk, ami a három szög-értéktartomány választás közül az utolsó, s ami által egyértelművé válik a manipulátor konfigurációja egy adott kéz-állapotban.

5.7. TOVÁBBI SZEMPONTOK A CSUKLÓSZÖG-ÉRTÉKEK MEGVÁLASZTÁSÁHOZ

- a) az 5.4.3, 5.4.4 és 5.6 pontokban lerögzített értéktartományokat akkor használhatjuk, ha a manipulátort egyik állapotból (pl. parkoló helyzetből) egy másik állapotba (pl. egy trajektória kiindulópontjára) oly módon kell vinni, hogy a közben felvett csuklópályákkal nem törődünk. Egy trajektória pontos és lehetőleg gyors bejárása során viszont elsődleges szempont az, hogy a csuklósögek *folytonosan* változzanak, vagyis egy-egy trajektória szegmens két végpontja között ne történjenek hirtelen csuklósögváltozások.
- b) Elképzelhető, hogy a csuklósögváltoztatásra tett kezdeti feltételek nem felelnek meg a valóságos szituációnak, például azért, mert a KÖNYÖK vagy a CSUKLÓ összeütközne a környezettel. Sok esetben az ilyen ütközéseket - a KÉZ állapotának változatlanul hagyása mellett - a többi izület átfordításával elkerülhetjük.
- c) A fentiekből következően a csuklósögváltoztatás módját az alábbi módon kell történni:
 - ha a felsőbb szintű robotvezérlő program konkrétan előírja az ízületek beállítását valamely trajektória mentén, akkor a program a trajektória kezdőpontjába

- való pozicionálás során az ennek megfelelő szög-helyzeteket állítja be;
- ha semmilyen konkrét előírás nincs, akkor a trajektória kezdőállapotának beállítása az 5.4.3, 5.4.4. és 5.6 pontokban ismertetett módon történik;
 - a trajektória folyamatos bejárása során a csuklószögeket mindig olyan módon választja meg a program, hogy hirtelen változás ne történjék, vagyis a már beállított csuklószög-tartományokat igyekszik tartani;
 - ha egy trajektória végrehajtása során kell konfigurációt változtatni, akkor ez csak a trajektória felbontásával történhet, mivel folyamatos karmozgás során nincs lehetőség hirtelen csuklószög-változásokra.

5.8. A SZÁMITÁSOK ÖSSZEGZÉSE

Mint hogy az aritmetikai alapműveletek közül a szorzás és osztás elvégzéséhez szükséges idő lényegesen több, mint a többi műveleté, a szorzások-osztások szükséges mennyiségének összegzésével jó becslést kaphatunk a manipulátor inverz problémája megoldásához szükséges időre:

	műveletek száma
CSUKLÓ pozíció előállítása	4
q_1 kiszámítása	1
K kiszámítása	1 gyökvonás
q_3 kiszámítása	3
q_2 kiszámítása	7
K^2 kiszámítása (q_2 ellenőrzése)	6
$R_{0,3}$ mátrix összeállítása	8
R_E mátrix összeállítása	12
$R_{3,6}$ mátrix összeállítása	27
q_4, q_5, q_6 kiszámítása $R_{3,6}$ -ból	4

A B^2 , C^2 , $2BC$ értékek előre kiszámíthatók és a memóriában tárolhatók. A programban alkalmazott négyzetgyökvonó rutin 10 osztási művelettel végez el egy gyökvonást. Mindezt figyelembe véve körülbelül 80 szorzásosztással kapjuk meg a 6 csuklószoget.

A trigonometrikus függvények kiértékelése elhanyagolható időt vesz igénybe, mivel ez look-up táblázatokkal történik.

A program többek között egy M6800-as mikroszámítógépen is implementálásra került [Siegler, 1979], ahol egy megoldási ciklus kb. 10 ms-ot vett igénybe.

A program az $A_{0,6}$ teljes transzformáció mátrixot is kiszámolja, és egy "lépés" után megadja az új KÉZ pozíciót és orientációt, amihez kb. 70 szorzás szükséges. Ezt is figyelembe véve a mozgás ciklusideje még mindig 20 ms alatt marad.

6. PÁLYAVEZÉRLÉS

Egy pályavezérlő program feladata, hogy a manipulátort zökkenőmentesen végigvezesse egy előre definiált pályán. Minthogy a legtipikusabb trajektória egy egyenes vonalszakasz, és görbevonalu pályák is egyenes szegmensekkel közelíthetők, a továbbiakban egyenesvonalu pályaszegmensek előállítását vizsgáljuk meg.

A pozícióvezérelt manipulátort két KÉZ állapotot összekötő egyenes pályaszakasz mentén vezetjük végig oly módon, hogy a két végállapotnak megfelelő csuklőszögértékek között a csuklőszögeket interpolációval változtatjuk. Egyenesvonalu mozgáson manipulátorok esetében nemcsak azt értjük, hogy *a KÉZ egyenesvonalu térbeli pályán halad*, hanem azt is, hogy *eközben a megfogó orientációja is egyenletesen változik*.

Az irodalomban lényegében kétféle mozgásinterpolációs módszert találunk: *kéz állapot és csuklőszög interpolációt*. Az előbbit az angol nyelvű irodalomban "Cartesian" interpolációnak nevezik. [Paul, 1979]

6.1. KÉZ-ÁLLAPOT INTERPOLÁCIÓ

Ez a típusu pályavezérlés a robotkéz derékszögü koordinátákban kifejezett pozíciójának mozgására irányul és a kezét vagy szerszámot egyenesvonalu pályán igyekszik mozgatni. Tegyük fel, hogy adott a T_S idő-érték, vagyis az az időintervallum, amely alatt a kezét egy egyenes trajektóriaszakasz mentén végig akarjuk vezetni. A "Cartesian" interpolátor a T_S időt kisebb T intervallumokra bontja

és minden egyes intervallum kezdetére és végére kiszámolja a megfelelő csuklósögeket. A T időt a lehető legkisebbre kell választani, de még elegendően hosszú kell legyen ahhoz, hogy az inverz manipulátorprobléma megoldásához elegendő idő álljon rendelkezésre. Minél rövidebb T , annál zökkenőmentesebb és pontosabb mozgást kaphatunk.

Az 5. fejezetben ismertetett geometriai számítások ellenőrzésére és eredményének demonstrálására az M6800-as mikroszámítógépen egy durva *pályaszegmentáló program* került implementálásra. Ez a program a robotkéz pályáját egyenes szakaszokra bontja és egy-egy szakasz mentén elvégzi a $q_i(t)$, $0 < t < T$, $i = 1, \dots, 6$ függvények szakaszonként lineáris approximációját. A trajektória további simításával ez a program azonban nem foglalkozik. Az így keletkező mozgáspálya a 6.1. ábrán látható. Az ábrázolt példában a KÉZ pozíció egyenletesen változik és az orientáció az ábrázolt trajektória szakasz mentén állandó marad.

A kéz-állapot interpolációs program a következő lépésekből áll:

1. - Megadjuk a kezdeti és végső KÉZ állapotokat.
2. - Beállítjuk a trajektória felbontás finomságát: ettől függ a pályakövetés "simasága".
3. - Ellenőrizzük az előirt trajektória bejárhatóságát, vagyis azt, hogy a szóbanforgó pályaszakasz teljes terjedelmében a manipulátor környezetének elérhető részében helyezkedik-e el. Ennek feltételei az alábbiak:
 - a) A pályaszakasz kezdő és végpontjának elérhetőnek kell lennie, vagyis

$$\sqrt{K_S^2 + L_S^2} > B + C \quad (6.1)$$

$$\sqrt{K_f^2 + L_f^2} > B + C \quad (6.2)$$

ahol K és L jelentését az 5.2. ábra szemlélteti, az s index a startpontra, az f index az egyenes pályaszakas végpontjára vonatkozik. Ha a (6.1) és (6.2) feltételek teljesülnek, akkor a CSUKLÓ szintén egyenes pályája teljes egészében a VÁLL körüli B + C sugaru körön belül fog elhelyezkedni a B és C tagok által kifeszített sikon. (5.12)-nek és (5.15)-nek megfelelően:

$$K_S^2 = x_{CS_S}^2 + y_{CS_S}^2$$

$$K_f^2 = x_{CS_f}^2 + y_{CS_f}^2$$

$$L_S^2 = (z_{CS_S} - A)^2$$

$$L_f^2 = (z_{CS_f} - A)^2$$

b) Mivel a program ideális $\pm 180^\circ$ szögátfogásu tranzverzális csuklókkal rendelkező manipulátorra készült, azt is megvizsgáljuk, hogy a CSUKLÓ pályája a VÁLL körüli (B - C) sugaru kört nem metszi-e. Az 5.3. ábrán látható K - L koordinátasikban a CSUKLÓ pályájának egyenlete:

$$L = m * K + b \quad (6.3)$$

ahol

$$m = (L_f - L_S) / (K_f - K_S) \quad (6.4)$$

$$b = (L_f * K_S - L_S * K_f) / (K_S + K_f) \quad (6.5)$$

és a (B - C) sugaru kör egyenlete:

$$L^2 + K^2 = (B - C)^2 \quad (6.6.)$$

(6.3)-t (6.6)-tal kombinálva a CSUKLÓ pályára az alábbi feltételeknek kell teljesülnie:

$$B - C < \text{abs} (b / \sqrt{1 + m^2}) \quad (6.7)$$

c) A COROHAND manipulátor esetében, ahol a tranzverzális csuklók átfogása $\pm 90^\circ$, a teljes CSUKLÓ pályának a VÁLL körüli B sugaru körön kívül kell elhelyezkednie:

$$B < \text{abs}(b / \sqrt{1 + m^2}) \quad (6.8)$$

továbbá bele kell esnie az 5.3 ábrán III, IV. ill V.-tel jelölt tartományba. (5.4.pont)

4. Kiszámítjuk a KÉZ állapot inkremenst, vagyis a

$$DX = (X_f - X_S) / d, \dots, \quad D\gamma = (\gamma_f - \gamma_S) / d \quad (6.9)$$

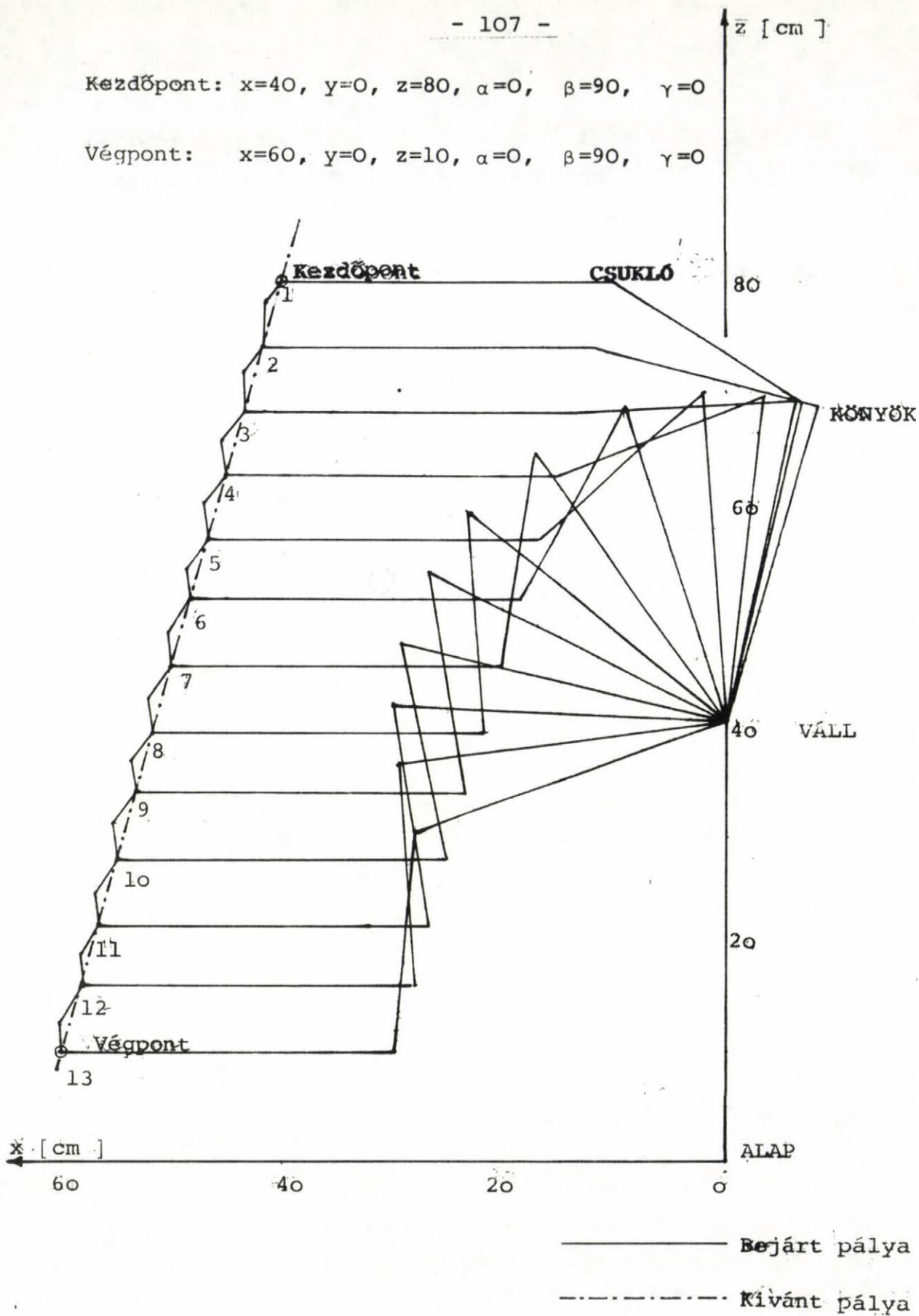
mennyiségeket,
ahol d az 1.pontban definiált felbontás.

5. Inkrementáljuk az aktuális KÉZ állapotot és az új állapotra az 5. fejezetben leirt módon meghatározzuk a csuklószögeket. Ilyen módon végighaladunk az egész trajektóriaszakaszon.

A kéz-állapot interpolációs program pályakövetési hibáját is szemlélteti a 6.1 ábra, amely nemcsak minden egyes szegmensdarab végén mutatja a KÉZ állapotát, hanem a közbülső állapotokban is. (folytonos vonal). Ez úgy történik, hogy a program két szomszédos KÉZ állapothoz tartozó csuklószögek meghatározása után veszi az egymást követő csuklószögértékek középarányosát, s ezen szögekkel visszaszámolja

Kezdőpont: $x=40, y=0, z=80, \alpha=0, \beta=90, \gamma=0$

Végpont: $x=60, y=0, z=10, \alpha=0, \beta=90, \gamma=0$



Egy pályaszakasz

6.1.ábra

a KÉZ állapotát. A valóságban ez az ellenőrzés a csuklószögeknek a csukló potenciométerekről való beolvasásával történhet.

6.2. CSUKLÓKOORDINÁTÁK VEZÉRLÉSE

6.2.1. A pályabejárás pontossága

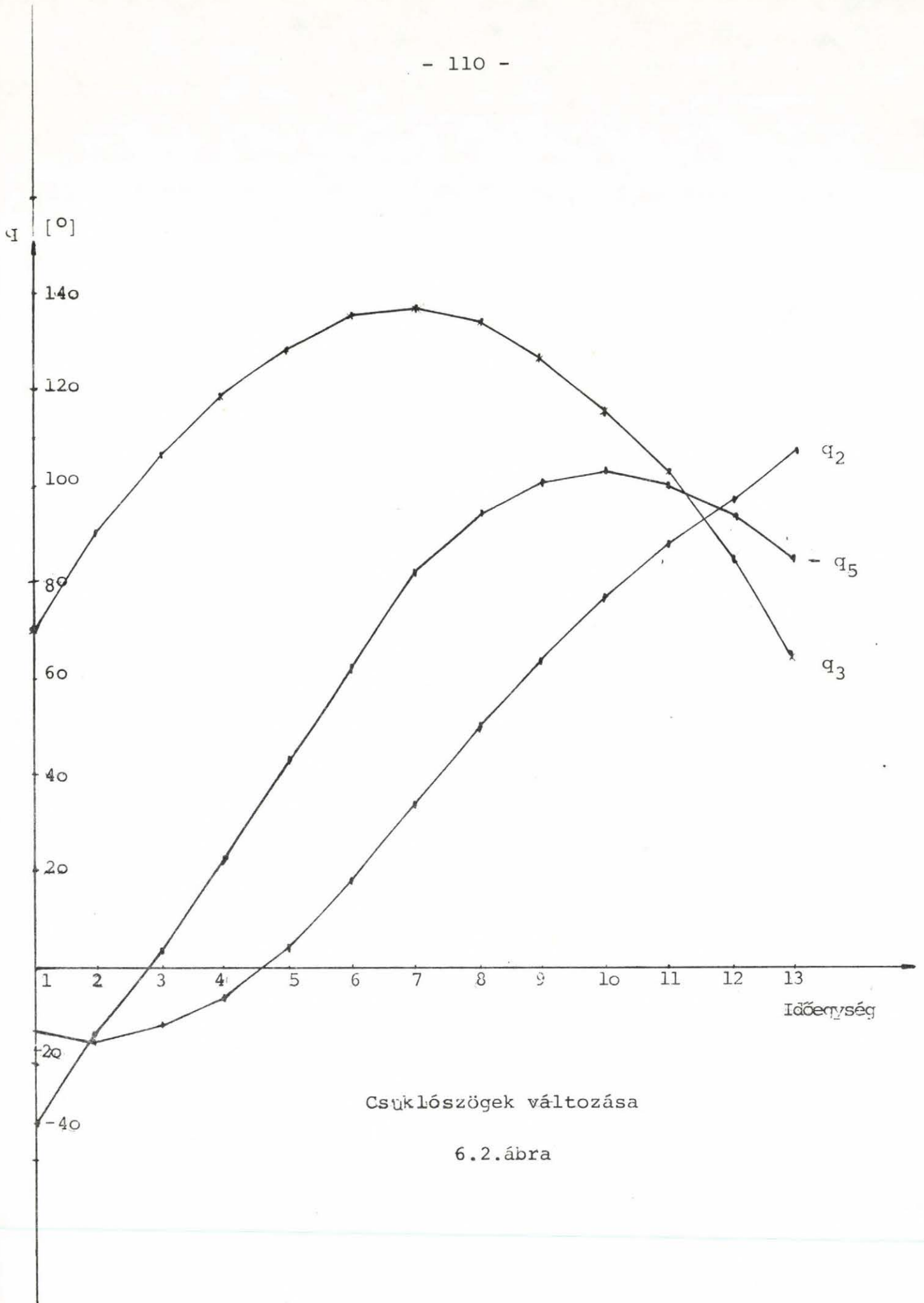
A 2.-5. fejezetekben megvizsgáltuk, miként számíthatók ki a manipulátor trajektória egymást követő, diszkrét pontjaihoz tartozó csuklószögek. Azokban a pontokban, ahol az 5. fejezetben leírt módszerrel elvégezzük a manipulátor inverz problémájának megoldását, vagyis a $\underline{q}(\underline{s}_H)$ transzformációt (\underline{q} a csuklószögek vektora, \underline{s}_H a 4.2. pontban ismertetett KÉZ állapotvektor), a manipulátor a számítási algoritmustól függő pontossággal (gyakorlatilag tökéletesen) a kívánt mozgáspályán fog elhelyezkedni.

Tekintsünk például egy u.n. "induló mozgást", amikor a manipulátor egy munkadarabot emel ki egy üreges nyílásból. Elvben lehetséges lenne igen nagy pontosságú egyenesvonalu mozgást létrehozni és a munkadarabot az összes kéz-állapot koordináta összehangolt változtatásával egyenes pályán kiemelni. Ezt a megoldást azonban el kell vetnünk, mivel ehhez a csuklómotorok digitális szabályozásának mintavételezési ütemében kellene a kéz pozícióját és sebességét csuklókoordinátákká transzformálni, ami másodpercenként több száz transzformációs ciklust is jelenthet. Egy másik lehetőség az lenne, hogy a 2.1.1. pontban említett sebességvezérlési módszert alkalmazva az "induló mozgás" kezdetén és végén (amikor a munkadarab a nyílásból kiemelkedett) kiértékeljük a (2.9) $\underline{J}(\underline{q})$ mátrix inverzét és az egész "induló mozgást" differenciális

állapotváltozásnak tekintve meghatározzuk a csuklószőgek változását. [Whitney, 1972] Legtöbb esetben azonban a szerelési feladatok során végrehajtott elemi mozgások, mint az előbbi "induló mozgás", nem tekinthetők differenciális méretű mozgásnak és végrehajtásuk során - különösen, ha a manipulátor éppen valamelyik elfajuló helyzetének közelében van (teljesen kinyújtott vagy behajlitott csuklók) - a megfelelő csuklószőgváltozások extrém nagyok is lehetnek. A továbbiakban javasolt, harmadik megközelítésben szintén elvégezzük a kéz-állapotok csuklószőgekké történő transzformációját az elemi mozgásszakaszok végállapotaiban vagyis a trajektória tartópontjaiban, majd a két állapot között a *csuklószőgeket koordinált módon változtatjuk.*

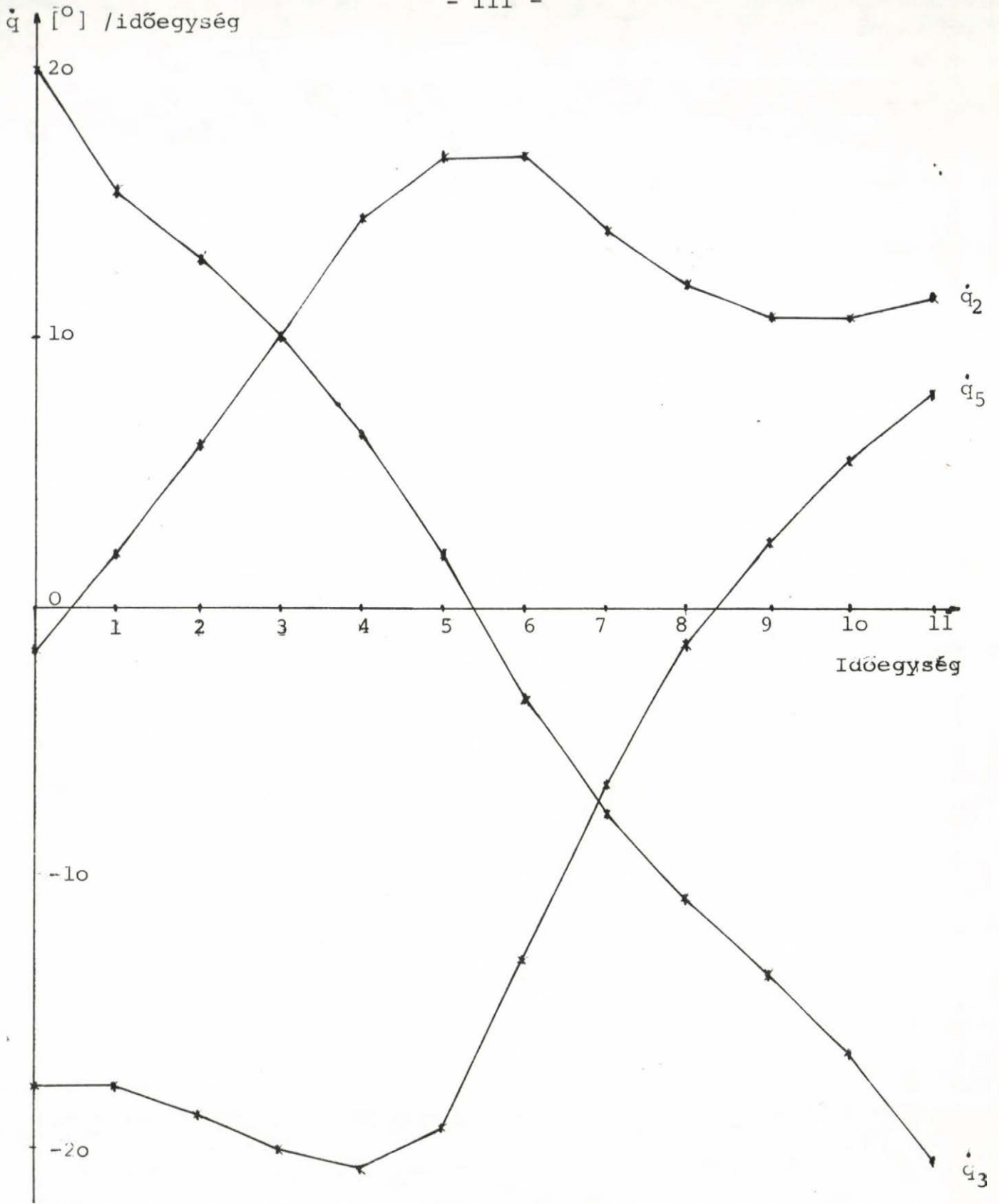
Az említett "tartópontok" között, vagyis azokon a trajektóriaszakaszokon, ahol a $q(s_H)$ transzformációt nem végezzük el, a KÉZ általános esetben egy bonyolult geometriájú mozgáspályát fog követni, amely a kívánt pályától eltérhet.

A tartópontokon tökéletes pontossággal történő "áthaladás" is csak akkor lehetséges, ha a manipulátort minden egyes tartóponton megállítjuk. A 6.1. pontban a manipulátor egy egyenes trajektória mentén történő mozgását vizsgáltuk. (A csuklószőgeket az M6800-as mikroszámítógépen futó programmal számoltuk.) A 6.2. ábra néhány csukló szög-helyzetének, a 6.3. és 6.4. ábra ugyanezen csuklók szögsebességének illetve szöggyorsulásának időbeli változását mutatja. Mint látható, a szögsebességek időfüggvényei kisebb-nagyobb *töréseket* mutatnak, vagyis egyes trajektóriapontokban a csuklókat hajtó motoroknak igen nagy gyorsulásokat kellene kifejteniük. Minthogy a motorok által kifej-



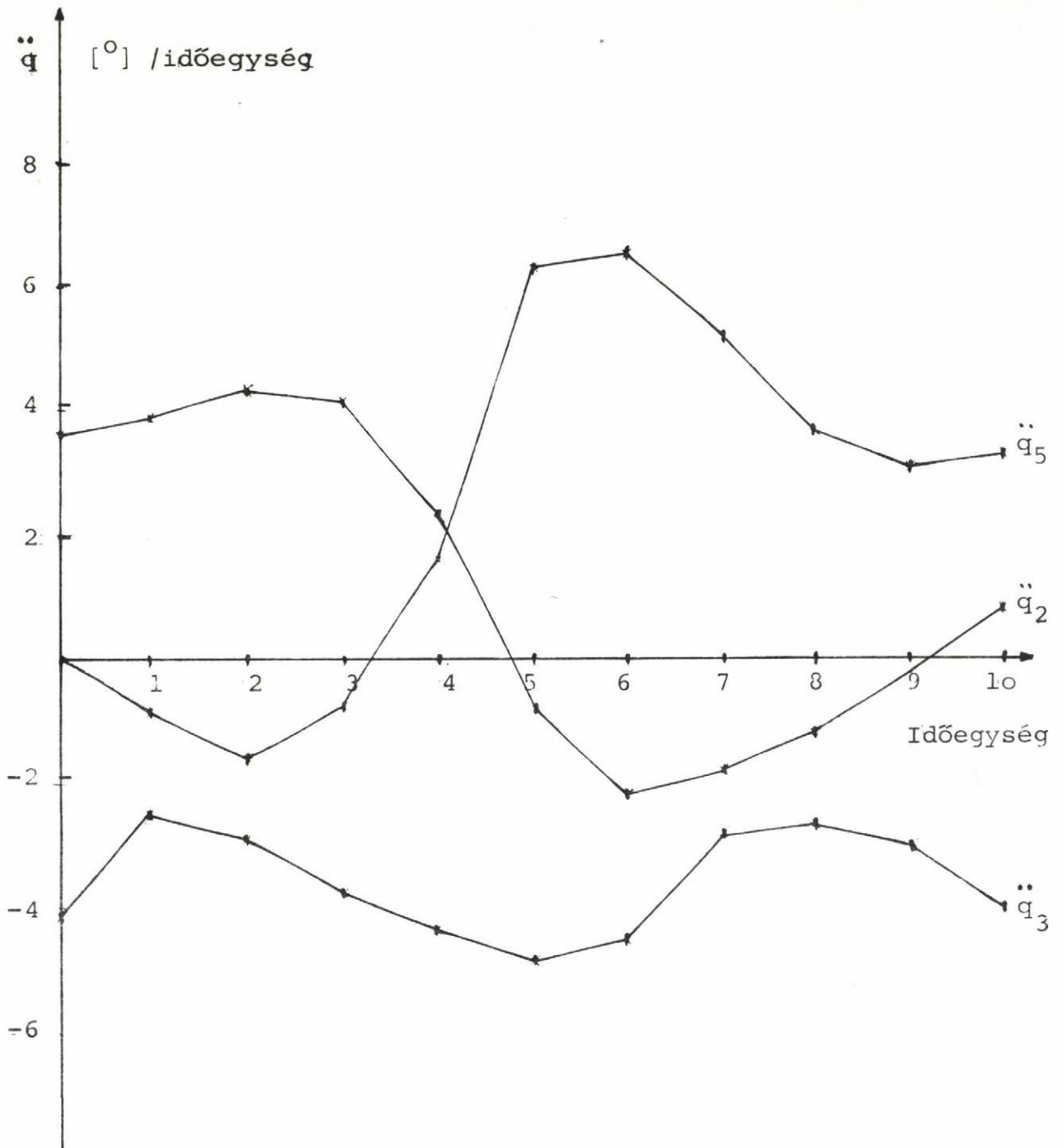
Csuklószőgek változása

6.2. ábra



Csukló-szögsebességek

6.3.ábra



Csukló-szöggyorsulások

6.4.ábra

tett gyorsító-lassító nyomatékok csak véges határok között mozognak, a pontos pályakövetéshez az ilyen kritikus pontokon erősen le kellene lassítanunk a manipulátor mozgását.

Az ipari alkalmazásokat tekintve megfigyelhetjük, hogy a manipulátorok bevezetésével szemben felállított elsőrendű követelmény azok *gazdaságos működtetése*, ami szorosan összefügg az általuk kifejtett *munkavégzés sebességével*. Ugyanakkor elmondható, hogy az esetek túlnyomó többségében nincs szükség "abszolút pontos", vagyis a vezérlő számítógépek számítási pontosságával egy nagyságrendbe eső pontosságú mozgásra, sőt ezt a végrehajtó mechanizmus legtöbb esetben amúgy sem tenné lehetővé. A gyakorlat azt mutatja, hogy a robotos szerelést - az alkatrészek megmunkálásához hasonlóan - bizonyos *tűréssel* kell végrehajtani. E tűrési tartományok természetesen jóval tágabbak a megmunkálási feladatoknál szokásosaknál.

A tűrésezett manipulátormozgás lehetőségét figyelembe véve fogjuk az alábbiakban vezérelni a megfogó mozgását a "tartópontok" között és elemezni a "zökkenőmentes", vagyis hirtelen gyorsulásoktól-lassulásoktól mentes, folyamatos manipulátormozgás biztosítása révén keletkező *pályakövetési hibákat*.

6.2.2. Feltételek a csuklók mozgására

A trajektória végállapotai közötti folyamatos, lökésmentes manipulátormozgást az alábbi feltételek figyelembevételével kell létrehozunk:

- a) A megfogónak a megengedett törésnek megfelelő pontossággal a trajektória tartópontok közelében kell haladnia;
- b) Biztosítani kell, hogy a végpontokon a manipulátor nyugalomba kerüljön (minden csuklósebesség és gyorsulás ϕ);
- c) Mind a csuklósebességek, mind a csuklógyorsulások folytonos függvény szerint változzanak.
- d) A csuklósebességek és gyorsulások nem haladhatják meg az illető hajtóműre vonatkozó maximális értékeket, amelyeket a maximális tengelynyomatékokból illetve motor fordulatszámokból ismerünk, s amely értékek az adott manipulátor konstrukciós jellegzetességei.

Az a/ - d/ feltételeket táblázatos formában a 6.5. ábra foglalja össze. A j index a csukló sorszámára utal ($j = 1 \dots 6$), az i index pedig arra, hogy a start és vég-állapot között hányadik trajektóriapontról van szó. q_j^* az adott állapothoz a 5. fejezet szerint számított csuklószöget, q_{ji} az interpolációval számítottat jelöli. ϵ_j a csuklószögre megengedett követési hiba.

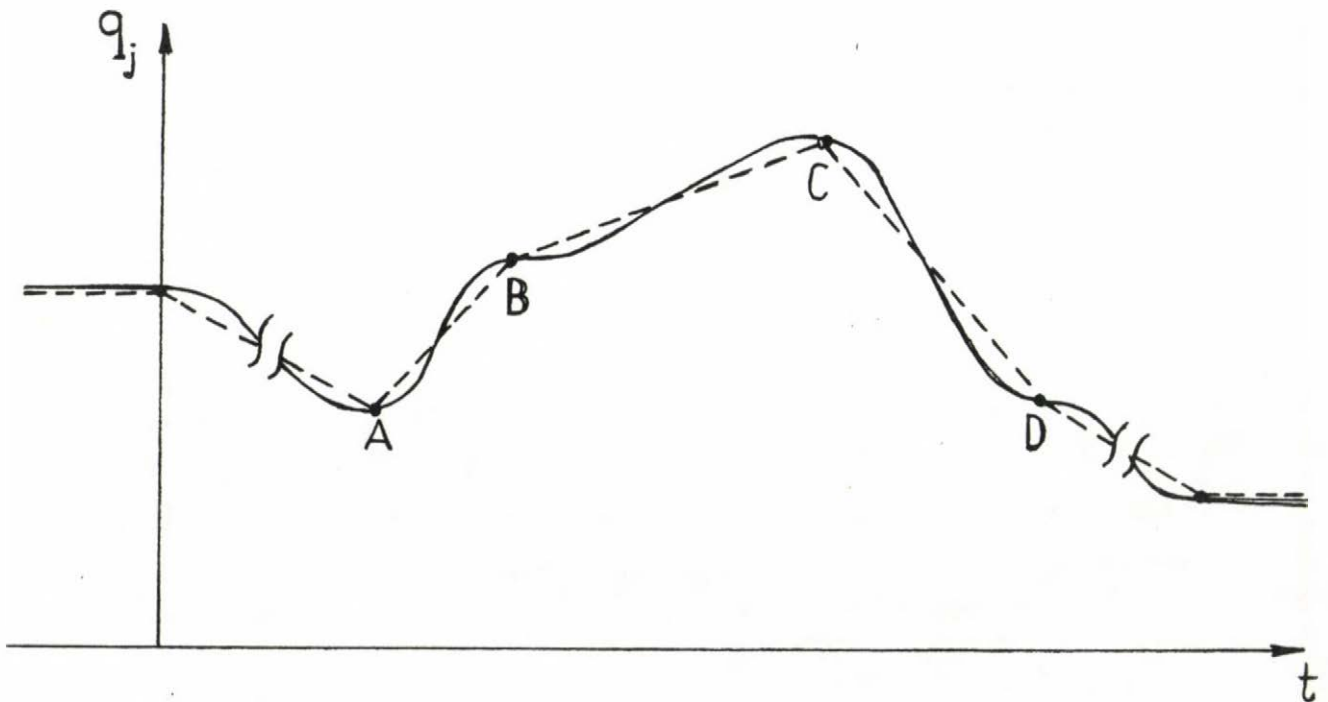
6.2.3. Egy csuklószög időbeli változása

Tekintsük a j -ik csuklószög időbeli változását a manipulátor trajektória egy szakaszán. Jelölje A, B, C, D az egymást követő tartópontokhoz tartozó q_j értékeket, amelyeket a manipulátor-transzformáció révén meghatározhatunk, A 6.6. ábra azt az esetet mutatja, amikor a manipulátort úgy vezetjük állapotról állapotra, hogy minden egyes tartóponton megállítjuk. (folytonos vonal) Ily módon eleget tehetünk a 6.5. táblázat feltételeinek és a csuklók mozgását úgy koordináljuk, hogy minden egyes szakaszon megnézzük, hogy melyik csukló mennyi idő alatt képes az adott

	Csuklószög		
	Pozíció	Sebesség	Gyorsulás
x_s (start pont)		ϕ	ϕ
x_i (közül-ső pont)	$-q_{jmax} \leq q_{ji} \leq q_{jmax}$ $ q_{ji} - q_j^* \leq \epsilon_j$	$\dot{q}_{ji-} = \dot{q}_{ji+}$ $ \dot{q}_{ji} < \dot{q}_{jmax}$	$\ddot{q}_{ji-} = \ddot{q}_{ji+}$ $ \ddot{q}_{ji} < \ddot{q}_{jmax}$
x_f (vég-pont)		ϕ	ϕ

A csuklók mozgásának korlátozó feltételei

6.5. ábra



A csuklómozgás szakaszosan lineáris közelítése

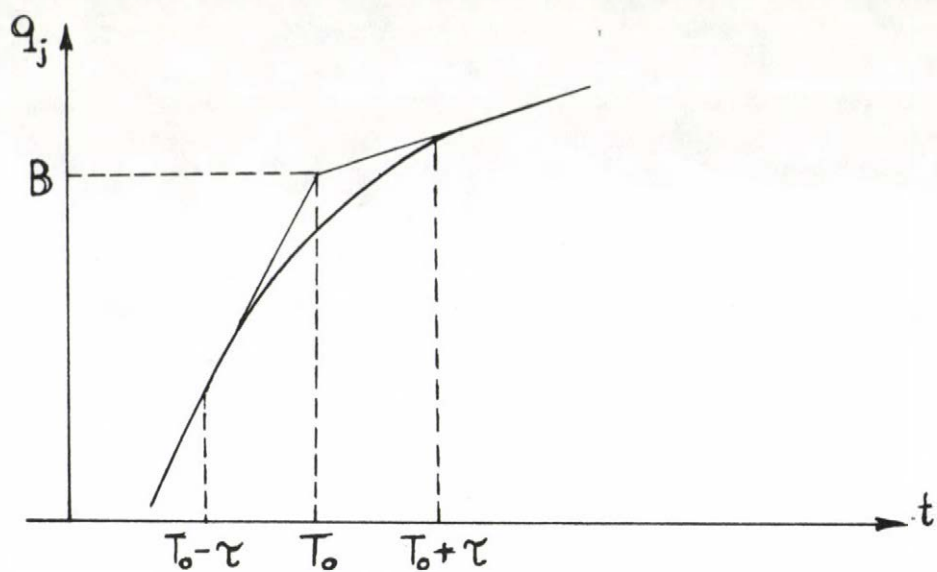
6.6. ábra

utat bejárni, és a teljes mozgást ezen idők maximuma alatt hajtjuk végre. Az állandó gyorsítás-lassítás miatt a mozgás igen lassu lesz és az A, B, C, D pontokban való megállításra egyébként nem lenne szükség. Ezért először egyenes darabokkal kötjük össze az említett pontokat (6.6.ábra, szaggatott vonal), ami $q_j(t)$ szakaszosan lineáris approximációját jelenti. Mint látható, a 6.5. táblázatban feltüntetett feltételek nem teljesülnek, mivel $q_i(t)$ ebben a formában a tartópontokban törést szenved.

A lineáris megközelítés szerint minden tartópontban két, állandó sebességű csuklómozgás található. A rendelkezésre álló maximális csuklógyorsulások figyelembevételével meghatározzuk azt a 2τ átmeneti időt, amely alatt a mozgás az egyik sebességről a másikra felgyorsul, illetve lelassul. A csuklómozgások koordinációját ugy biztosítjuk, hogy az összes csuklóra meghatározott átmeneti idők közül a legnagyobbat (τ_{\max}) fogjuk alkalmazni minden egyes átmenetre.

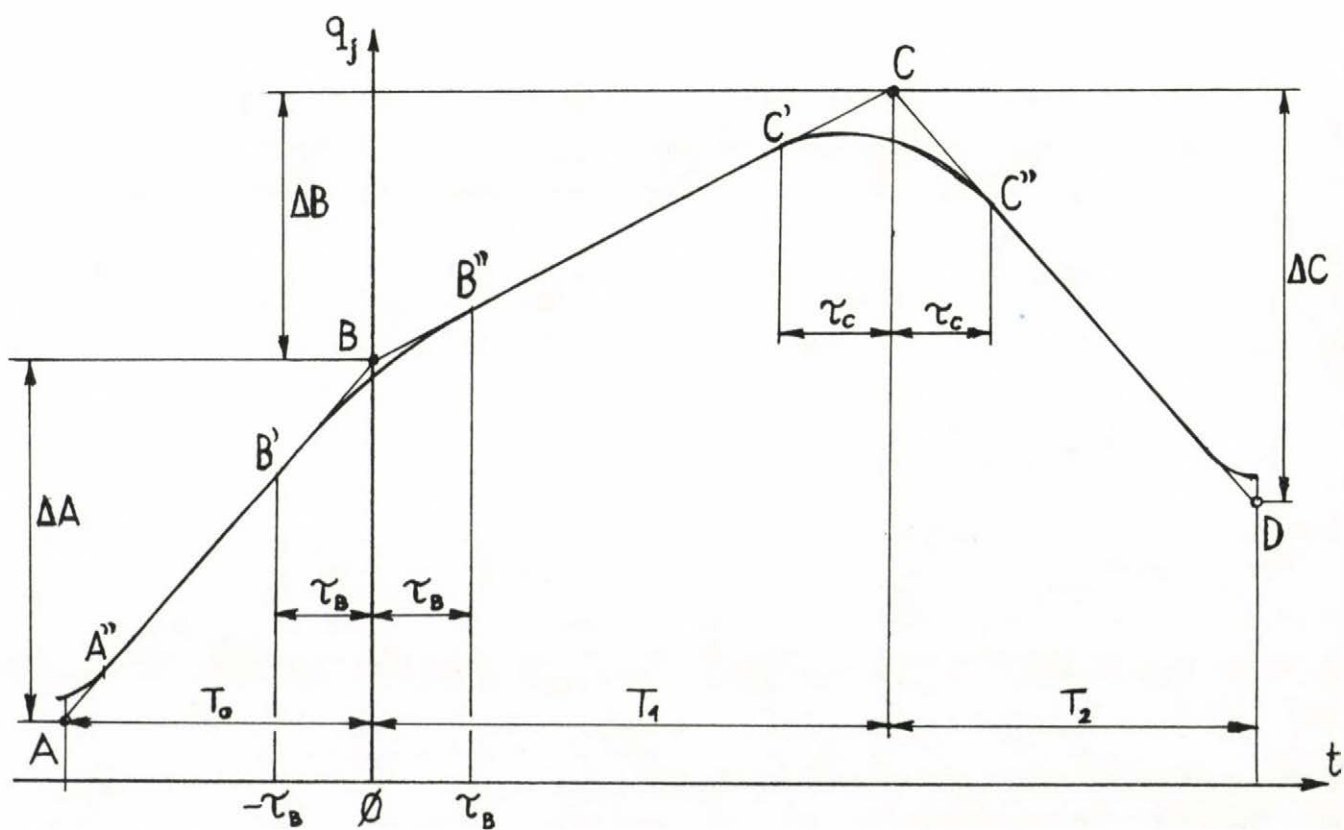
A sebességváltozás minden egyes csuklónál a következő tartópont elérését megelőző τ idővel kezdődik és az új mozgásszakaszba való belépést követően τ ideig tart. (6.7.ábra)

Szimmetrikus gyorsulásfüggvény bevezetésével (6.2.4.pont) nemcsak a szükséges sebességváltozást hozzuk létre a 2τ időtartam során, hanem azt is biztosítjuk, hogy az eredő pozícióváltozás ($T_0 + \tau$ időpont után) azonos lesz azzal, amit akkor kapnánk, ha a sebességváltozást a T_0 időpontban impulzusszerűen alkalmaztunk volna.



A csuklómozgás közelítése egy tartópont környezetében

6.7. ábra



Egy csuklószög időbeli változásának approximációja

6.8. ábra

6.2.4. A csuklósög-ido függvény approximációja

Az átmenet során a manipulátor csuklók pozíciója és sebessége folytonos kell legyen a kar rezgésének csökkentése, illetve a zökkenőmentes mozgás érdekében. Az átmeneti időbeli gyorsulásra két, egymásnak ellentmondó követelményünk van:

- (1) Korlátozott amplitudó mellett ugrásszerű gyorsulás-függvény, ami az átmeneti idő minimalizálását tenné lehetővé. A maximális gyorsulást $q_{j\max}$ -mal jelölve $2\tau = \Delta q_j / q_{j\max}$.
- (2) A kar rezgés minimalizálása érdekében a gyorsulás értéke $-\tau$ és τ időpontokban nulla kell legyen.

A fentieknek, illetve a 6.5. táblázatban rögzített feltételeknek jó közelítéssel eleget tudunk tenni, ha a csuklógyorsulások időbeli változását négyzetes időfüggvénnyel approximáljuk. A közelítő függvény paramétereit a 6.5 ábra szerinti feltételek figyelembevételével számítjuk ki.

Jelölések:

A, B, C, D trajektória tartópontok

$$\dot{q}_j = \frac{dq_j(t)}{dt}, \quad \ddot{q}_j = \frac{d^2q_j(t)}{dt^2}$$

$$\Delta A = q_{jB} - q_{jA}, \quad \Delta B = q_{jC} - q_{jB}$$

$$V_0 = \Delta A / T_0, \quad V_1 = \Delta B / T_1, \quad V_2 = \Delta C / T_2$$

τ_B, τ_C a B, C trajektóriapontokhoz tartozó tranziens idők

T_1, T_2 a lineáris approximációból nyert mozgásidők a B - C illetve C - D szakaszon.

A csuklómozgást leíró egyenletek:

$$\ddot{q}_j = kt^2 + lt + m \quad (6.9)$$

$$\dot{q}_j = \frac{k}{3} t^3 + \frac{1}{2} t^2 + mt + n \quad (6.10)$$

$$q_j = \frac{k}{12} t^4 + \frac{1}{6} t^3 + \frac{m}{2} t^2 + mt + o \quad (6.11)$$

A feladat a k, l, m, n, o együtthatók meghatározása.

A 6.5. táblázat és a 6.8. ábra szerint

$t = -\tau_B$ időpontban

$$\ddot{q}_j = \emptyset \quad (6.12)$$

$$\dot{q}_j = V_0 \quad (6.13)$$

$$q_j = B - V_0 \cdot \tau_B \quad (6.14)$$

$t = \tau_B$ időpontban

$$\ddot{q}_j = \emptyset \quad (6.15)$$

$$\dot{q}_j = V_1 \quad (6.16)$$

$$q_j = B + V_0 \cdot \tau_B \quad (6.17)$$

(6.12)-et és (6.15)-et (6.9)-be helyettesítve:

$$\emptyset = k \tau_B^2 - l \tau_B + m \quad (6.18)$$

$$\emptyset = k \tau_B^2 + l \tau_B + m \quad (6.19)$$

tehát

$$\underline{l = \emptyset} \quad (6.20)$$

(6.14)-t , (6.17)-t és (6.20)-t (6.11)-be helyettesítve:

$$B - V_0 \tau_B = \frac{k}{12} \tau_B^4 + \frac{m}{2} \tau_B^2 - n \tau_B + 0 \quad (6.21)$$

$$B + V_1 \tau_B = \frac{k}{12} \tau_B^4 + \frac{m}{2} \tau_B^2 + n \tau_B + 0 \quad (6.22)$$

(6.22) és (6.21) különbséget képezve:

$$(V_0 + V_1) \tau_B = 2n \tau_B$$

$$\underline{n = (V_0 + V_1)/2} \quad (6.23)$$

(6.13)-t és (6.16)-t, valamint l és n értékét (6.10)-be helyettesítve:

$$V_0 = - \frac{k}{3} \tau_B^3 - m \tau_B + (V_0 + V_1)/2 \quad (6.24)$$

$$V_1 = \frac{k}{3} \tau_B^3 + m \tau_B + (V_0 + V_1)/2 \quad (6.25)$$

(6.23) és (6.22) különbségéből:

$$V_1 - V_0 = \frac{2k}{3} \tau_B^3 + 2m \tau_B \quad (6.26)$$

Másrészt (6.19)-ből:

$$m = - k \tau_B^2 \quad (6.27)$$

(6.27)-t (6.26)-ba helyettesítve:

$$V_1 - V_0 = \frac{2k}{3} \tau_B^3 - 2k \tau_B^3$$

tehát

$$\underline{k = - \frac{3}{4} \frac{V_1 - V_0}{\tau_B^3}} \quad (6.28)$$

és

$$m = \frac{3}{4} \frac{V_1 - V_0}{\tau_B} = -\tau_B^2 k \quad (6.29)$$

Végül a k, l, m, n együtthatókat (6.22)-be helyettesítve:

$$B + V_1 \tau_B = -\frac{3}{48} (V_1 - V_0) \tau_B + \frac{3}{8} (V_1 - V_0) \tau_B + \frac{V_0 + V_1}{2} \tau_B + 0 \quad (6.30)$$

ahonnan

$$0 = B + \frac{3}{16} (V_1 - V_0) \tau_B \quad (6.31)$$

Tehát a csuklómozgást leíró egyenletek:

$-\tau_B < t \leq \tau_B$ esetén:

$$q_j(t) = -\frac{1}{16} \frac{V_1 - V_0}{\tau_B^3} t^4 + \frac{3}{8} \frac{V_1 - V_0}{\tau_B} t^2 + \frac{V_1 + V_0}{2} t + \frac{3}{16} (V_1 - V_0) \tau_B + B \quad (6.32)$$

$$\dot{q}_j(t) = -\frac{1}{4} \frac{V_1 - V_0}{\tau_B^3} t^3 + \frac{3}{4} \frac{V_1 - V_0}{\tau_B} t + \frac{V_1 + V_0}{2} \quad (6.33)$$

$$\ddot{q}_j(t) = -\frac{3}{4} \frac{V_1 - V_0}{\tau_B^3} t^2 + \frac{3}{4} \frac{V_1 - V_0}{\tau_B} \quad (6.34)$$

és $\tau_B < T \leq T_1 - \tau_C$ esetén

$$q_j(t) = V_1 t \quad (6.35)$$

$$\dot{q}_j(t) = V_1 \quad (6.36)$$

$$\ddot{q}_j(t) = \emptyset \quad (6.37)$$

A $t = T_1 - \tau_C$ időpontban az alábbi helyettesítéseket kell elvégezni: (6.8.ábra)

$$\tau_B = \tau_C$$

$$t = -\tau_B$$

$$T_0 = T_1$$

$$T_1 = T_2$$

$$V_0 = V_1$$

$$V_1 = \Delta C / T_2$$

és az így nyert új értékeket a (6.32)... (6.37) egyenletekbe ismét behelyettesítve kapjuk a soron következő pályaszakasz csuklószög-idő függvényét.

6.2.5. A tranziens idő meghatározása

A τ_C tranziens időt az adott csuklóra megengedett maximális gyorsulásból számítjuk ki. A gyorsulás akkor éri el maximumát, amikor

$$\ddot{q}(t) = 2kt + l = \phi \quad \text{teljesül.}$$

Mivel $l = \phi$, a gyorsulás a $t = \phi$ időpontban a legnagyobb. (6.34)-ből:

$$\ddot{q}(\phi) = \frac{3}{4} \frac{V_2 - V_1}{\tau_C}$$

Ismervén $\ddot{q}_{j\max}$ -t, a megengedett gyorsulás maximumot, megkapjuk a j -ik csukló minimális tranziens idejét:

$$\tau_{Cj} = \frac{3}{4} \frac{V_{2j} - V_{1j}}{\ddot{q}_{j\max}} \quad (6.38)$$

A (6.38) kifejezést az összes csuklóra kiértékelve (a j indexszel jelöltük, hogy V_1, V_2 csuklónként változó mennyiségek) megkapjuk az *összes csuklóra közös tranziens időt*:

$$\tau_c = \max_j \left\{ \frac{3}{4} \frac{V_{2j} - V_{1j}}{\ddot{q}_{j\max}} \right\} \quad (6.39)$$

Mint látható, a tranziens időt egy periódussal előre kell kiszámítani, mivel az éppen bejárando szakasz végpontját csak ennek ismeretében tudjuk kijelölni. A 6.8 ábra jelöléseivel az A" pontba (az A körüli tranziens szakasz vége) érkezés pillanatában már ismerni kell τ_B -t, hogy meg lehessen határozni az A" és B" pontok közötti haladás idejét. B' elérésekor pedig ismerni kell a (6.11) egyenlet együtthatóit, hogy a B' és B" pontok közötti szakasz bejárása során a csuklózögpozíciókat folyamatosan ki lehessen értékelni. Mire a manipulátor a B" állapotot veszi fel, addigra pedig τ_c -nek kell ismertnek lenni. (Feltételezzük továbbá, hogy a $T_0, T_1, T_2, V_0, V_1, V_2$, stb. értékek szintén rendelkezésre állnak egy táblázat formájában.

A javasolt kvadratikus pályaproximációs módszer előnye az, hogy a pálya bejárása során felvett csuklózög-értékek a mozgás során folyamatosan, kevés aritmetikával számolhatók. Amennyiben a manipulátor mozgása külön processzor felügyelete alatt történik, a *mozgással egyidejűleg számolhatók a pályaparaméterek* és - miközben a mozgás nem veszít folyamatosságából - jelentős mennyiségű memóriát takaríthatunk meg.

6.2.6. Indítás és megállás

A "sima" mozgást nemcsak a pálya bejárására során érintett pontokban, hanem az indulás és a megállás pillanatában is megköveteljük.

Az *indítási* szituációt a 6.9 ábra mutatja: (a manipulátor az A állapotban nyugalmi helyzetben van)

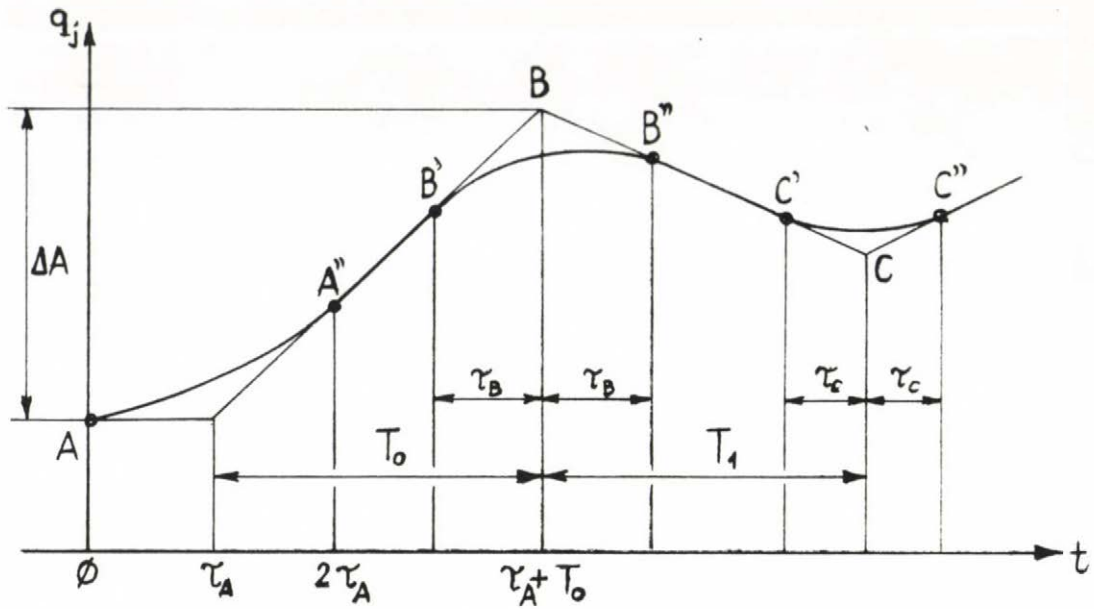
Az indítás pillanatában $V_0 = \emptyset$ és $V_1 = \Delta A/T_0$. Ezek ismeretében határozzuk meg a τ_A tranziens időt (6.39)-hez hasonlóan, továbbá a 6.11 egyenletben szereplő együtthatókat a 6.2.4. pontban ismertetett módon. Minthogy most a tranziens mozgás a $t = \emptyset$ időpontban kezdődik, az A és B állapotok közti szakasz megtételének ideje $T_0 + \tau_A$ lesz. τ_B számítása az A-A" tranziens megtétele alatt történhet.

A *megállás* esete a 6.10 ábrán látható.

A megállításhoz elegendő, ha a stop állapotot (C) megismételjük (D), vagyis ilyenkor $V_1 = \emptyset$ lesz és a mozgás a $T_1 + \tau_C$ időpontban nyugalomba kerül. Ezt az eljárást kell alkalmaznunk akkor, ha valamelyik csuklót pozícióhiba nélkül akarjuk átvezetni egy adott ponton: ilyenkor a τ_C tranziens eltelte után újraindítjuk a mozgást.

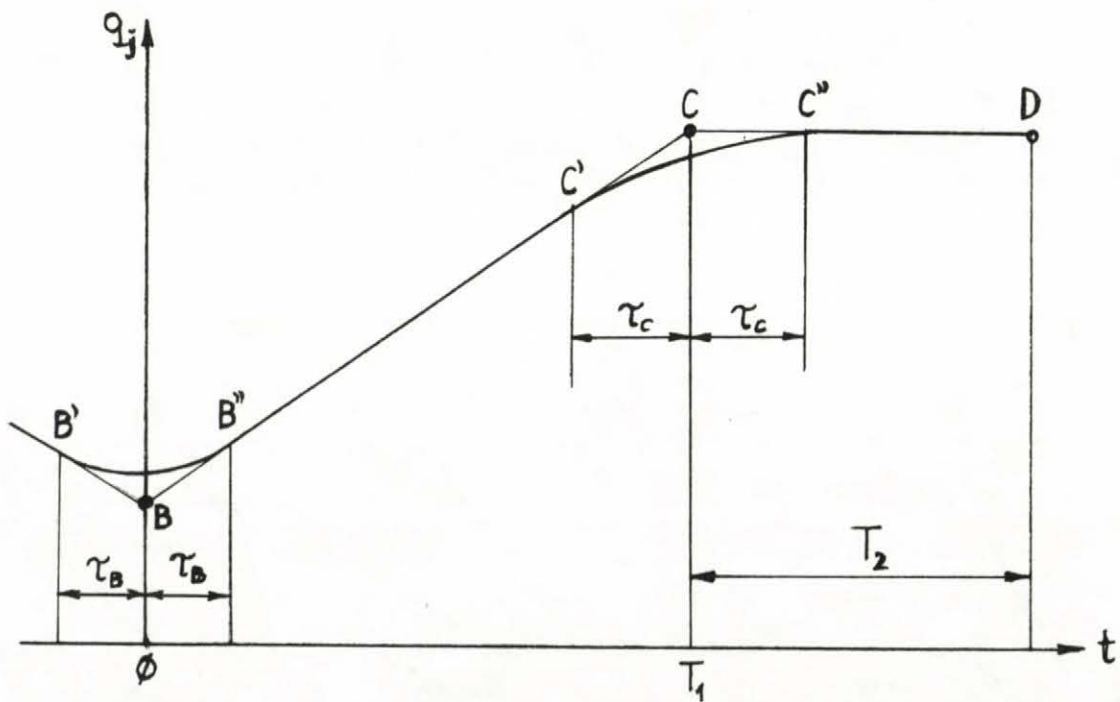
6.2.7. A csuklómozgás simitása következtében fellépő csuklópozíció-hiba

A 6.8 ábrán látható, hogy pozícióhiba a tranziens szakaszon lép fel. Ennek értéke a B állapoton való keresztülhaladáskor:



Csuklómozgás indítása

6.9. ábra



Csuklómozgás megállítása

6.10. ábra

$$h_{jB} = B - q_j(\phi)$$

tehát (6.24)-ből

$$h_{jB} = \frac{3}{16} (V_0 - V_1) \tau_B \quad (6.40)$$

vagyis a pozícióhiba az adott pontban megkívánt csuklósebességváltozással arányos.

7. HIBAELEMZÉS

A 6.2.1. pontban említettük, hogy a robotos szerelési feladatok specifikációjához az előirt mozgások türesezése is hozzátartozik. A robotmozgásra előirt türésekkel kapcsolatban két szempontot kell megvizsgálnunk:

- a) A csuklók pozicionálásában - elsősorban mechanikai okokból (pl. az áttételrendszer kotyogása) - mindenképp jelenlévő bizonytalanság miképp szabja meg a robotkéz pozíciójának és orientációjának bizonytalanságát;
- b) A robotkézre előirt türés milyen pozicionálási pontosságot kíván meg az egyes csuklóknál.

Az a) kérdés megválaszolásával meg tudjuk mondani, hogy az adott manipulátorral egy bizonyos szerelési feladat elvileg elvégezhető-e, legalábbis oly módon, hogy a manipulátort minden egyes trajektória tartópontban megállítjuk. (6.2.6. pont.)

A b) kérdést akkor kell megvizsgálnunk, ha az a) feladatra pozitív választ kaptunk, vagyis a robotkézre előirt mozgás a csuklók mozgásának a minimálisnál nagyobb játékát engedi meg: ilyenkor lesz arra lehetőségünk, hogy a robotkezet a trajektória közbenső pontjain folyamatos mozgással vezessük át, ahogyan azt a 6.2. pontban láttuk. Az egyes csuklókra megengedett pozicionálási hibákat a (6.4o) kifejezésbe helyettesítve meghatározhatjuk az adott pontban megengedett sebességváltozást.

7.1. A CSUKLÓPOZICIONÁLÁS BIZONYTALANSÁGÁNAK HATÁSA A ROBOTKÉZ ÁLLAPOTÁRA

A robotkéz-állapot hibájának meghatározását az alábbi sorrendben végezzük:

1. Az $\underline{A}_{0,3}$ (3.11) és $\underline{A}_{3,6}$ (3.17) mátrixok összeszorzásával meghatározzuk a robotkéz pozícióját ($\underline{A}_{0,6}$ utolsó oszlopa) és orientáció mátrixát ($\underline{A}_{0,6}$ bal felső 3 x 3-as partíciója)
2. A 6 csuklószög szerinti parciális deriváltak képzésével kiszámítjuk az egyes mátrixelemekben fellépő eredő hibát.

7.1.1. A robotkéz állapota

Az alábbiakban a 3.4. fejezetben alkalmazott jelöléseket fogjuk használni. Eszerint a robotkéz *pozíciója* (3.11) és (3.12) szorzatából:

$$a_{14} = x = Bc_{1s2} + Cc_{1s23} + D(c_{1c23c4s5} - s_{1s4s5} + c_{1s23c5}) \quad (7.1)$$

$$a_{24} = y = Bs_{1s2} + Cs_{1s23} + D(s_{1c23c4s5} + c_{1s4s5} + s_{1s23c5}) \quad (7.2)$$

$$a_{34} = z = A + Bc_2 + Cc_{23} + D(c_{23c5} - s_{23c4s5}) \quad (7.3)$$

Az *orientációmátrix* elemei

$$a_{11} = c_{1c23c4c5c6} - c_{1c23s4s6} - s_{1s4c5c6} - s_{1c4s6} - c_{1s23s5c6} \quad (7.4)$$

$$a_{12} = -c_{1c23c4c5s6} - c_{1c23s4c6} + s_{1s4c5s6} - s_{1c4c6} + c_{1s23s5s6} \quad (7.5)$$

$$a_{13} = c_{1c23c4s5} - s_{1s4s5} + c_{1s23c5} \quad (7.6)$$

$$a_{21} = s_{1c23c4c5c6} - s_{1c23s4s6} + c_{1s4c5c6} + c_{1c4s6} - s_{1s23s5c6} \quad (7.7)$$

$$a_{22} = -s_{1c23c4c5s6} - s_{1c23s4c6} - c_{1s4c5s6} + c_{1c4c6} + s_{1s23s5s6} \quad (7.8)$$

$$a_{23} = s_{1c23c4s5} + c_{1s4s5} + s_{1s23c5} \quad (7.9)$$

$$a_{31} = -s_{23}c_{4c5c6} + s_{23}s_{4s6} - c_{23}s_{5c6} \quad (7.10)$$

$$a_{32} = s_{23}c_{4c5s6} + s_{23}s_{4c6} + c_{23}s_{5s6} \quad (7.11)$$

$$a_{33} = -s_{23}c_{4s5} + c_{23}c_5 \quad (7.12)$$

$$a_{41} = a_{42} = a_{43} = \emptyset$$

$$a_{44} = 1$$

7.1.2. A kéz-állapot hibája

A kéz-állapotot leíró mátrix egyes elemeibe a 6 csuklósög beállási pontatlanságaiból származó hibákat az alábbi alakban kapjuk meg:

$$\Delta \underline{A}_{0,6} = [\Delta a_{k,1}] = \sum_{j=1}^6 \frac{\partial \underline{A}_{0,6}}{\partial q_j} \Delta q_j = \left[\sum_{j=1}^6 \frac{\partial a_{k,1}}{\partial q_j} \Delta q_j \right],$$

$$k,1 = 1, 2, 3, 4 \quad (7.13)$$

E hiba-mátrix első három oszlopa a kéz-orientáció, a negyedik oszlop a kéz pozíció hibáját adja meg. Az eredő hibamátrixot összetevő 6 parciális hibamátrixot a (7.1)...(7.12) egyenletből nyerjük. A meglehetősen hosszadalmas számítás eredményeként a (7.14)...(7.19) összetevő mátrixokat kapjuk.

A kéz-állapot hibájának meghatározásakor eltekintünk attól, hogy explicit módon megadjuk az Euler szögekben (α, β, γ) fellépő, az egyes csuklósögek beállási pontatlanságából származó hibákat, mivel az Euler szögek a csuklósögeknek az orientációmátrix elemein keresztül képzett, összetett függvényei. (4. fejezet)

A pozíció és orientációhibák meghatározására elsősorban a robotos szerelési feladat pályatervezési fázisában, a tényleges mozgás végrehajtását megelőzően van szükség. Minthogy ezt a számítást illesztési feladatoknál nagyszámu trajektóriapontra el kell végezni, a $\frac{\partial \underline{A}_{0,6}}{\partial q_j}$ parciálisok kiszámításánál figyelembe kellett venni a szükséges számítási idő és memória minimalizálását. Ezért az alábbi mátrixkifejezésekben, ahol lehetett, a *manipulátortranszformációs számítások* (3.fejezet) részeredményei kerültek alkalmazásra. Ilymódon szerepelnek az $\underline{A}_{0,6}$ mátrix elemei (7.1...7.12), amelyeket $a_{k,1}$, az $\underline{A}_{0,3}$ mátrix elemei (3.11), amelyeket $e_{k,1}$ és az $\underline{A}_{3,6}$ mátrix elemei (3.11), amelyeket $h_{k,1}$ ($k,1 = 1, 2, 3, 4$) jelöl.

A (7.13) kifejezést összetevő mátrixok az alábbiak: (mind-egyik mátrix egy-egy csuklózög hibájának a robotkéz állapotára gyakorolt hatását mutatja)

$$\frac{\partial \underline{A}_{0,6}}{\partial q_1} \Delta q_1 = \begin{bmatrix} -a_{21} & -a_{22} & -a_{23} & -a_{24} \\ a_{11} & a_{12} & a_{13} & a_{14} \\ \emptyset & \emptyset & \emptyset & \emptyset \\ \emptyset & \emptyset & \emptyset & \emptyset \end{bmatrix} * q_1 \quad (7.14)$$

$$\frac{\partial \underline{A}_{0,6}}{\partial q_2} \Delta q_{12} = \begin{bmatrix} e_{11} & \emptyset & -e_{13} & Bc1c2 \\ e_{21} & \emptyset & -e_{23} & Bslc2 \\ e_{31} & \emptyset & -e_{33} & -Bs2 \\ \emptyset & \emptyset & \emptyset & \emptyset \end{bmatrix} * \begin{bmatrix} h_{31} & h_{32} & h_{33} & C+D h_{33} \\ \emptyset & \emptyset & \emptyset & \emptyset \\ h_{11} & h_{12} & h_{13} & D h_{13} \\ \emptyset & \emptyset & \emptyset & 1 \end{bmatrix} * \Delta q_2 =$$

$$= \begin{bmatrix} a_{31}c1 & a_{32}c1 & a_{33}c1 & Bc1c2+Ce11+D(e_{11}h_{33}-e_{13}h_{13}) \\ a_{31}s1 & a_{32}s1 & a_{33}s1 & Bs1c2+Ce21+D(e_{21}h_{33}-e_{23}h_{12}) \\ e_{31}h_{31}-e_{33}h_{11} & e_{31}h_{32}-e_{33}h_{12} & e_{31}h_{33}-e_{33}h_{13} & -Bs2+Ce31+D(e_{31}h_{33}-e_{33}h_{13}) \\ \phi & \phi & \phi & \phi \end{bmatrix} * \Delta q_2 \quad (7.15)$$

$$\frac{\partial A_{O,6}}{\partial q_3} \Delta q_3 = \left\{ \frac{\partial A_{O,6}}{\partial q_2} \begin{bmatrix} \phi & \phi & \phi & -Bc1c2 \\ \phi & \phi & \phi & -Bs1c2 \\ \phi & \phi & \phi & Bs2 \\ \phi & \phi & \phi & \phi \end{bmatrix} \right\} * \Delta q_3 \quad (7.16)$$

$$\frac{\partial A_{O,6}}{\partial q_4} \Delta q_4 = \begin{bmatrix} -e_{11} & e_{12} & \phi & \phi \\ -e_{21} & e_{22} & \phi & \phi \\ -e_{31} & \phi & \phi & \phi \\ \phi & \phi & \phi & \phi \end{bmatrix} * \begin{bmatrix} h_{21} & h_{22} & h_{23} & D h_{23} \\ h_{11} & h_{12} & h_{13} & D h_{13} \\ \phi & \phi & \phi & \phi \\ \phi & \phi & \phi & \phi \end{bmatrix} * \Delta q_4 \quad (7.17)$$

$$\frac{\partial A_{0,6}}{\partial q_5} \Delta q_5 =$$

$$= \begin{bmatrix} -a_{13}c_6 & a_{13}s_6 & e_{11}c_4c_5 + e_{12}s_4c_5 - e_{13}s_5 & D \frac{\partial a_{13}}{\partial q_5} \\ -a_{23}c_6 & a_{23}s_6 & e_{21}c_4c_5 + e_{22}s_4c_5 - e_{23}s_5 & D \frac{\partial a_{23}}{\partial q_5} \\ -a_{33}c_6 & a_{33}s_6 & e_{31}c_4c_5 - e_{33}s_5 & D \frac{\partial a_{33}}{\partial q_5} \\ \emptyset & \emptyset & \emptyset & \emptyset \end{bmatrix} * \Delta q_5$$

(7.18)

$$\frac{\partial A_{0,6}}{\partial q_6} \Delta q_6 =$$

$$\begin{bmatrix} a_{12} & -a_{11} & \emptyset & \emptyset \\ a_{22} & -a_{21} & \emptyset & \emptyset \\ a_{32} & -a_{31} & \emptyset & \emptyset \\ \emptyset & \emptyset & \emptyset & \emptyset \end{bmatrix} * \Delta q_6 \quad (7.19)$$

Megjegyzés: A (7.14)... (7.19) mátrixokból néhány - könnyen ellenőrizhető geometriai következtetés vonható le:

- (7.14)-ből látszik, hogy Δq_1 a kéz z koordinátáját nem befolyásolja
- (7.19)-ből látható, hogy Δq_6 -nak nincs befolyása a kéz pozíciójára és z irányu egységvektorára. (Az utolsó tag u.i. éppen a kéz z irányába mutat.)

7.2. A CSUKLÓSZÖGEKRE MEGENGEDETT BEÁLLÍTÁSI PONTATLAN- SÁG SZÁRMAZTATÁSA A SZERELÉSI "TÜRÉSEKBŐL"

A csuklósög-trajektóriáknak a 6.2.pontban vázolt módon való összeállítása érdekében ki kell számítanunk, hogy - ismerve a robotkéz trajektória kijelölt pontjaiban megengedett kézpozíció és orientáció hibát (a szerelési "tűréseket") - milyen eltéréseket engedhetünk meg az egyes csuklósögöknek az egyes trajektóriapontokban történő beállításában. E sög-hibákat meghatározva tudjuk kiszámítani a simitott csuklósög-idő függvényeket, illetve a csuklómozgások sebességét. A csuklósög-hibákat az alábbi alakban írhatjuk fel:

$$\Delta q_i = \sum_{j=1}^6 \frac{\partial q_i}{\partial s_j} \Delta s_j \quad i = 1, \dots, 6 \quad (7.20)$$

ahol Δq_i az i -ik csuklósög hibája, Δs_j pedig a j -ik kéz-állapot koordináta hibája. ($\Delta s_1 = \Delta X$, $\Delta s_2 = \Delta Y$, ..., $\Delta s_6 = \Delta \gamma$)

A $\partial q_i / \partial s_j$ parciális deriváltak explicit kifejezése igen bonyolult, mivel ehhez meg kell határoznunk a $q_i(s_j)$ kapcsolatokat is. Az 5. fejezetben ismertetett megoldásban ezt elkerültük: ott a q_1, q_2, q_3 szögeket a többi csuklósögötől függetlenül meghatároztuk, a q_4, q_5, q_6 szögeket pedig már ezek függvényében számítottuk ki, e három csuklósögnek a kéz-állapotkoordinátáktól való függése *explicit* kiszámítására nem volt szükség.

A q_1, q_2, q_3 csuklósögök hibáinak a 6 kéz-koordináta hibájával való kapcsolatát - meglehetősen összetett kifejezések formájában - a Függelék ismerteti. Mivel $\Delta q_4, \Delta q_5, \Delta q_6$ -ra olyan bonyolult kifejezéseket kapnánk, amelyek

explicit kiértékelése a számítási pontatlanság miatt sem volna eredményes, a Δq_i hibákat célszerű az adott trajektóriapontban történő lineáris interpolációval becsülni. Ennek lényege az, hogy a 7.1.2. pontban kiszámított Δs_j $j = 1, \dots, 6$ kéz-állapotkoordináta hibákat az adott trajektóriapontban - szerelési tűrések formájában - megadott kéz-állapotkoordináta hibákkal összehasonlítjuk és a megfelelő Δq_i , $i = 4, 5, 6$ csuklószőghibákat ugyanabban az arányban növeljük.

8. SZÁMITÓGÉPES IMPLEMENTÁCIÓ

A manipulátorirányító software kialakításában lényeges szempont azoknak a programrészeknek a világos szétválasztása, amelyek *függetlenek* egy adott manipulátor kinematikai elrendezésétől (*pályatervező* programok) illetve amelyek egy adott *manipulátor kialakítással összefüggő*, a trajektória bejárásával kapcsolatos számításokat végzik (*pályaszámító és manipulátorvezérlő* programok).

Ez a fejezet egy ilyen alapon felépülő szerelési rendszer számítógépes megvalósításával foglalkozik.

A pályatervezési rendszer egyes komponensei az MTA-SzTAKI Mesterséges Intelligencia Laboratóriumában készültek el, a pályaszámító programok egy részét pedig a szerző Cambridge University Control & Management Science Tanszékén implementálta. (6.1 pont.) [Siegler, 1979]

A manipulátorvezérlés programozása a COROHAND robotkézre jelenleg folyik az MTA-SzTAKI-ban.

8.1. A PÁLYATERVEZÉS INFORMÁCIÓFORRÁSAI

A pályatervező rendszer információforrásai az alábbiak:

- a robot környezetének modellje (szituációleírás)
- a manipulálandó munkadarabok modelljei (munkadarableírás)
- az elvárt cselekvés megfogalmazása (műveletleírás)

A *szituációleírás* jelenti a gyártósejt geometriai reprezentációját, ebből tudjuk előállítani a manipulátor munkaterének pontos geometriai leírását: a mozgás során bejárható

és tiltott zónákat. A szituációleírásból állapítható meg a manipulátor által kiszolgált berendezések: szerzőgépek, tárolók, szerelő- és szállítószalagok pontos térbeli helyzete. Tágabb értelemben a szituációleírás nemcsak "térbeli", hanem a munkafázisokra vonatkozó "időbeli" információkat is ad: ez utóbbi teszi lehetővé a műveleti sorrend tervezését, a gyártó és kiszolgáló berendezések illetve a robot optimális kihasználását. A szituációleírás geometriai vonatkozásai az *ütközésmentes* manipulátorpályák tervezése szempontjából elsődlegesek. [Udupa, 1976]

A *munkadarabok leírása* az alábbi összetevőket tartalmazza:

- munkadarabok térbeli elhelyezkedése: abszolút térbeli helyzetük, illetve egymáshoz, vagy más geometriailag ismert tárgyakhoz képesti elhelyezkedésük;
- a munkadarabok geometriai leírása: méreteik, egyéb alakjellemzőik;
- a szerelési technológiával kapcsolatos további információk (megfogási pontok, bázisfelületek, stb.)

A munkadarableírásból származó információk jelentősége annál nagyobb, minél automatizáltabban akarjuk a szerelést tervezni. A robotkézzel történő megfogáshoz szükséges mozgulatsorozat automatikus összeállításához szükség van a munkadarab geometriájának pontos ismeretére. [Wingham, 1977] A munkadarabok relatív elhelyezkedésének ismeretében elvileg a szerelés sorrendje és teljes mozgáskészlete is kikövetkeztethető. [Ambler, 1975], amint arra a 2.2.1. pontban utaltunk.

A *műveletleírás* explicite tartalmazza a szerelési tervet, hiszen annak automatikus létrehozása ma még csak egészen speciális esetekben megoldott. A műveletleírás keretén

belül tudunk alkalmazkodni a rendelkezésünkre álló szerelésirányító rendszer automatizáltsági szintjéhez: minél részletesebben írjuk le a robottól megkívánt cselekvéseket - általában egy programozási nyelv formájában -, annál kevesebb logikai-geometriai következtetést kell a számítógépnek a szituáció- és munkadarableírásból automatikusan elvégeznie.

A pályatervező rendszer feladata, hogy a szituáció-, munkadarab- és műveletleírás ismeretében megtervezze a szerelés végrehajtásához szükséges robot-mozgássorozatot és a robotmozgás során elvégzendő egyéb műveleteket (pl. szerzőszámok, megfogók, befogókészülékek működtetése). A pályatervezés folyamata a magas szintű számítógépes nyelvek fordításához hasonlítható, amennyiben egy, az emberi nyelvhez hasonló, szimbólikus adathivatkozásokat tartalmazó programtervből a manipulátor fizikai sajátosságainak megfelelő, annak funkcionális elemeire hivatkozó célprogram keletkezik. Az eredményül kapott, interpretatív üzemmódban "lejátszható" robot program kód a számítógépek gépi kódjához hasonlítható. A jelenleg működő legátfogóbb pályatervező rendszer az AL [Taylor, 1976], amely "feladat-szintű" műveletleírásból egy számítógéppel vezérelt robot által közvetlenül végrehajtható interpreter kódot generál.

E dolgozat témája a robotirányítás második fázisa, az automatikusan vagy ember által megtervezett és specifikált pályák végrehajtása, vagyis a pályaszámítás. Ami az első fázis, vagyis a pályatervezés számítógépes megvalósítását illeti, ennek munkadarab- és szituáció specifikációs része készült el. A munkadarabok és a robot környezet leírása számítógépes, grafikus interakción

alapul. [Báthor, Siegler, 1979] A 8.1. ábra egy munkadarab, a 8.2. ábra egy egyszerűsített szerszámgép-robot együttes grafikus display-n való megjelenítését mutatja. A munka következő szakaszában a műveletleírásnak és magának a pályatervezésnek a számítógépes eszközei fognak elkészülni.

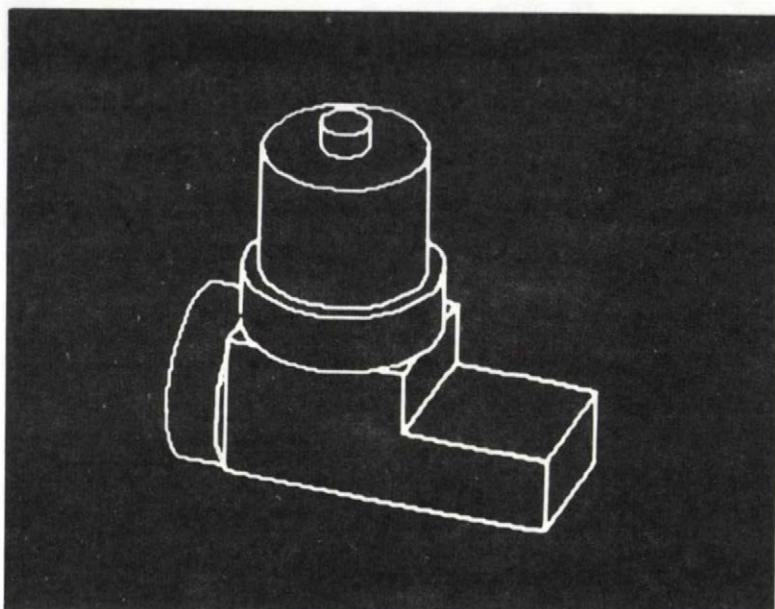
A továbbiakban a manipulátortervező és pályaszámító SW megszervezését és a már implementált modulokat tekintjük át. Ezt a programrendszert úgy valósítjuk meg, hogy az önmagában alkalmas legyen ember által előírt robot tárgyprogramok fogadására és végrehajtására, ugyanakkor képes legyen fogadni a később elkészülő pályatervező rendszer parancsait is.

8.2. A MANIPULÁTORVEZÉRLŐ ÉS PÁLYASZÁMITÓ SOFTWARE

8.2.1 Ember-gép kapcsolat

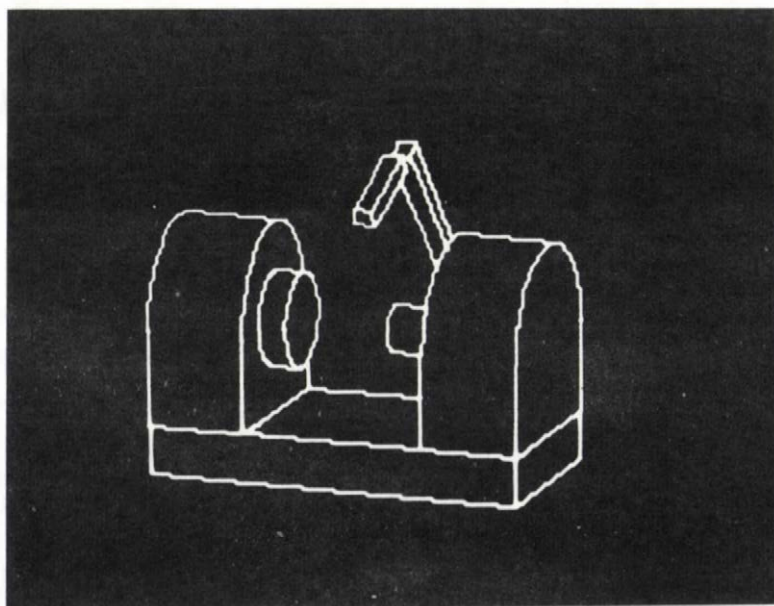
A robot programozója és a vezérlő számítógép kapcsolatának megszervezésére kétféle lehetőség kínálkozik:

a/ - *Manipulátorvezérlő nyelv* (parancsspecifikációs formalizmus). Ebben a megoldásban lehetőség van a manipulátor off-line programozására, a számítógépek assembly szintű programozásához hasonlóan. Hátránya e módszernek az, hogy a program fordítón kívül szükség van szövegszerkesztő (editor) és hibellenőrző programokra is. Manipulátor nyelvekre példa a Unimation cég VAL programozási nyelve, a Stanford-i WAVE rendszer, [Paul, 1977] és PAL nyelv.



Munkadarab megjelenítése számítógépi reprezentáció alapján

8.1.ábra



Egy munkatér egyszerűsített számítógépes ábrázolása

8.2.ábra

b/ - *Interaktív parancsspecifikáció.* A robot programozása on-line, a számítógéppel folytatott "párbeszéd" formájában történik. A robotnak szóló parancsok és argumentumaik megadása - ahol ez megoldható - mindig egy lista (u.n. "menü") elemei közül való választással történik, a listában mindig az adott helyzetben értelmezhető parancsok jelennek meg. A parancsok argumentumainak egy része számszerű adat. Ezek a megadást követően azonnal ellenőrzésre kerülnek, és csak valóban végrehajtható utasítások kerülnek elfogadásra. A programozás ebben a párbeszéd formában is történhet anélkül, hogy a manipulátort fizikailag vezérelnénk, ilyenkor a robotkar számítógépes modelljét "mozgatjuk". A kiadott parancsok hatását szükség esetén grafikus szimulátoron követhetjük nyomon. Ezzel a robotprogramozásban szokásos "teach-in", vagyis a pályán való végigvezetéssel való betanításnak olcsó, kevésbé fáradságos módját valósítjuk meg. Természetesen lehetséges a vegyes programozás is, amikor bizonyos nehezen leírható ill. szimulálható műveleteket magának a manipulátornak a mozgásával és a mozgás során bejárt pályára automatikus feljegyzésével programozunk.

Egy interaktív, "programozva" és "vezetve" is betanítható manipulátorvezérlő rendszert fejlesztettük ki a bevezetőben említett X - Y manipulátorhoz. [Siegler, 1977] A 8.3. ábrán az alap-parancskészlet, a 8.4. ábrán egy mozgási parancs paraméterezése látható. A 8.5. a, b, c ábrák a robotkéz szimulált mozgását mutatják be. A 8.6. ábra a pályán való végigvezetésre szolgáló vezérlőkészüléket mutatja. A grafikus szimulátort és további alkalmazását a 8.3. pont ismerteti.

```
MANIPULATOR CONTROL

?=POSITION CHECKING
H=HOME
M=MOVE (X, Y, Z)
X=MOVE (X)
Y=MOVE (Y)
L=LIFT (Z)
T=TURN (W)
B=BEND (5 )
R=ROTATE (6 )
G=GRIP
D=DROP
.
```

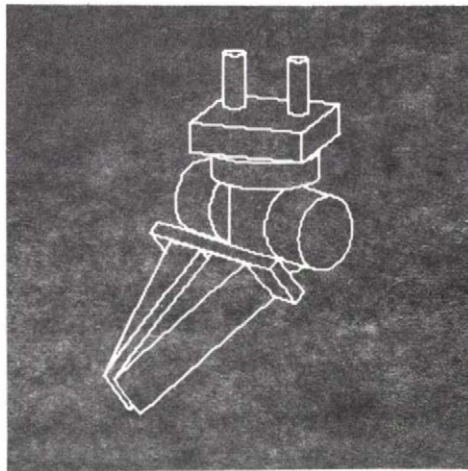
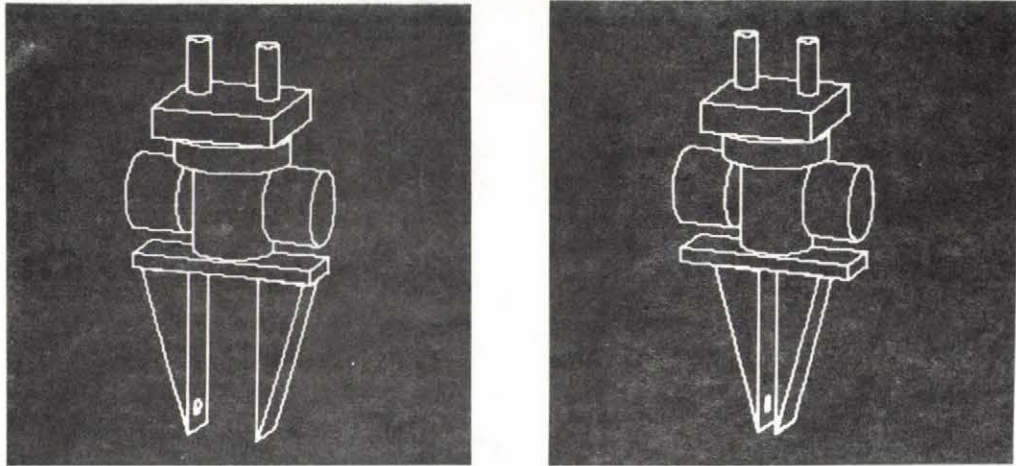
Interaktív parancsmegadás

8.3.ábra

```
ACTUAL POSITION: X= 20 Y= 0 Z= 0
DATA TYPE: (R=RELATIVE, A=ABSOLUTE)
BX=12 DY=45 DZ=31
```

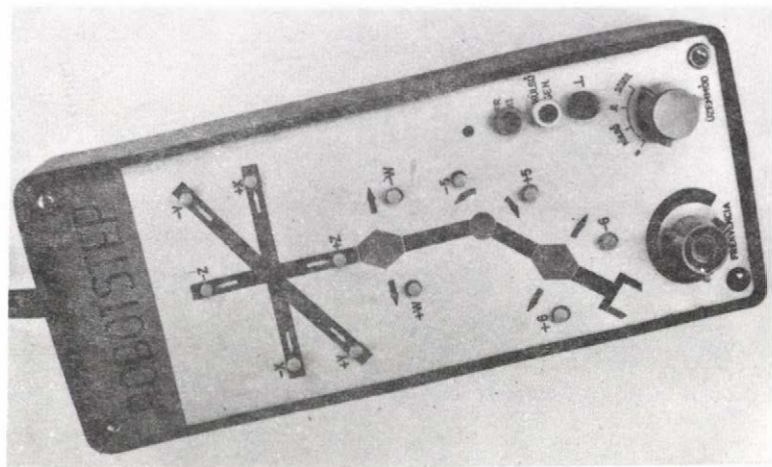
Egy mozgási parancs paraméterezése

8.4.ábra



Robotkéz szimulált mozgása

8.5.ábra



A manipulátor kézi vezérlőkészüléke

8.6.ábra

Az a/ (nyelvi) és b/ (párbeszédes) robotprogramozást összehasonlítva az alábbiakat állapíthatjuk meg:

a/ - A célnyelv alkalmazásának *előnye*, hogy teljes mértékben biztosítja a függetlenséget valamely adott manipulátor konfigurációtól, miután a robotkéz térbeli mozgására, illetve az ennek kapcsán elvégzendő műveletekre tartalmaz előírásokat.

- További *előnye*, hogy a létrehozott robotprogram jól dokumentálható, teljes egészében tükrözi a programozó szándékát, a várt robot-tevékenység részleteit. Programok szerkesztéséhez rendelkezésre állnak a szokásos számítógépes software eszközök.

- A nyelvi módszer *hátránya*, hogy a robotmozgások "fejben" sokszor nehezen tervezhetők meg előre, pl. az ütközési problémákat nehéz előre figyelembe venni.

- Ugyancsak *hátrány*, hogy a tartalmilag hibás program javítása nehézkes, illetve maguk a programhibák csak a végrehajtás során fedezhetők fel. Várhatóan a hibátlan robotprogramokat csak többszöri próba, majd javítási ciklus után lehet előállítani. Még nem tesztelt programok roboton való kipróbálása nagy óvatosságot igényel.

b/ - A párbeszédes módszer nagy *előnye* a programozás lehetséges eszközeinek sokféleségében rejlik: mindig a feladat jellegzetességeinek legjobban megfelelő programozási eszközt használhatjuk. (display-parancsok, grafikus szimulátor, kézi vezérlőegység, stb.) A programozó szándékának átadása egyszerűbb, mint az a/ esetben.

- *Előnye* az is, hogy a tartalmi hibák nagy része a folyamatos ellenőrzés eredményeként már a programozás során kiszűrődik.

- A robot programozáshoz az interaktív keretben csupán kevés számítógépes ismeret kell.

- A párbeszédés módszer *hátránya*, hogy a programozó tevékenysége nehezebben dokumentálható, mint az a/ esetben: a különféle programozási eszközök használatáról egységes dokumentációt készíteni viszonylag nehézkes.

- Az interaktív eszközök alkalmazása esetén hátrányos lehet az is, hogy ezek az eszközök jobban kötődnek egy adott robot-konfigurációhoz: különféle manipulátorok különböző grafikus szimulátort ill. kézi vezérlőberendezést igényelnek.

Mindezek alapján a robotprogramozást célszerű olyan módon megszervezni, hogy a két módszer előnyei kihasználhatók legyenek. Ezt úgy érhetjük el, ha biztosítunk egy, az egész robotprogramozást összefogó nyelvi keretet, amely egyfelől magába foglalja a manipulátorszintű programnyelv adat, mozgás és műveletdeklarációit, másfelől az interaktív programozási eszközöktől érkező, a manipulátormozgásra vonatkozó információk lekérdezését, ill. fogadását. Az interaktív eszközök használata így szervesen beépül a robotprogramozásba. A végrehajtásra kerülő, paraméterezett, elemi mozgások sorozatából álló programkód több lépcsőben készül el:

1. A számítógép beolvassa a programozó által készített keretprogramot és megkezdi annak interpreter kódá fordítását.
2. Ha a szimulált végrehajtás során interaktív programozást előíró utasítás következik a programban, akkor a rendszer a kezelőhöz fordul és élesíti a megfelelő "tanító" eszközt.
3. Az interaktív tanító-programozó eszközökkel végrehajtott "mozgások" visszaolvasódnak a keretprogram

vezérlő rendszerébe és szintén az interpreter táblába kerülnek.

4. Az interaktív programozás minden fázisának befejeztével a vezérlés visszakerül a keretprogramot értelmező rendszerbe.
5. Ellenőrzés céljából a már elkészült interpreter kód lépésenként újra végrehajtható és a programozó által módosítható.

A "vegyes" módszerre példa a Unimation VAL rendszere, ahol a hagyományos számítógépes robotprogramba beépíthető egy u.n. joystickkel való betanítás is.

8.2.2. Adatbázis

A 8.2.1. pontban említést tettünk a robotmozgások végrehajtásához szükséges számszerű adatok - TCP hely- és helyzetkoordináták, készülékműködtetési paraméterek, várakozási idők, stb. - deklarációjáról. A manipulátorszintű programban szimbólikus névvel, a "mutatva tanításnál" pedig rámutatással történő azonosítással hivatkozunk a manipulátor mozgástér pontjaira illetve a robotkéz állapotaira. Lényeges, hogy a munkatér és a munkadarabok geometriáját leképező manipulációs adatbázis *független* legyen magától a robotprogramtól. Ennek indokai az alábbiak:

- kívánatos, hogy a munkatér vagy a munkadarabok geometriájának részleges megváltozása ne vonja maga után a teljes programozási procedura megismétlésének szükségességét: a szükséges adatmódosítások után a programot változatlan formában újra végre lehessen hajtani. A szimbólikus adathivatkozások ezt nagymértékben megkönnyítik;
- a robotprogram legyen független egy konkrét munkahelytől, a programot változatlan formában át lehessen vin-

- ni egy új munkahelyre. Ebben az esetben egy betanításra szolgáló roboton, illetve a szimulátoron elvégezve a programozást a program egyidejűleg több roboton, több munkahelyen is felhasználható - természetesen a megfelelő adatbázis hozzárendelések elvégzése után;
- az adatbázis, vagy annak egy része más forrásból is származhat, mint maga a robotprogram: a szükséges térbeli koordináták például egy magasabb szintű gyártástervező rendszerből is származtathatók;
 - a létrehozott adatbázis a manipulátor vezérlőprogram elkészítésén kívül egyéb célra is felhasználható: pl. különböző NC gépek és megmunkáló robotok vezérléséhez.

A fenti okok figyelembevételével a 8.2.1. pont szerint történő programozás során az explicite vagy rámutatással (tanítással) deklarált adatok szimbólikus nevével együtt egy külön adattároló modulba kerülnek. A végrehajtó robotprogram szerkesztése során a szükséges adatok a szimbólikus hivatkozások révén visszakereshetők és az interpreter táblába beírhatók. A független adatbázis alkalmazásával a programozónak lehetősége van az adatmodul utólagos szerkesztésére, grafikus megjelenítés alapján történő ellenőrzésére. Az adatok automatikus - magasabb szintű tervezőrendszer által történő - generálása esetén a tervezőprogram kimenő formátuma meg kell egyezzen a manipulátor program adatmodul formátumával.

8.2.3. Pályaszámítás

A robotprogramok a parancsspecifikációk és a mozgási és műveleti adatbázis felhasználásával összeállított programkód formájában jelennek meg. Ebben a programban csak a robotkéz, megfogó vagy szerszám pályájára és működtetésére vonatkozó, a 3 dimenziós munkatérben értelmezett mennyiségek fordulnak

elő, vagyis ezen a szinten az irányítás még független valamely adott kinematikai elrendezéstől. A végrehajtható formátumu robotprogram lényegében a kívánt *robotkéz* (szerszám) *állapotok sorozata*. A manipulátor munkaterében megjelenő állapotkoordináták az 1. fejezetben leirtaknak megfelelően különböző referencia koordinátarendszerekben lehetnek értelmezve. Az állapot-sorozat minden eleméhez tartozhat egy *műveleti parancslista*, amit akkor kell végrehajtani, ha a manipulátor az adott állapotot elérte. Ilyen művelet lehet a kéz nyitása-zárása, a szerszám vagy valamely külső készülék működtetése, szerszám cseréje.

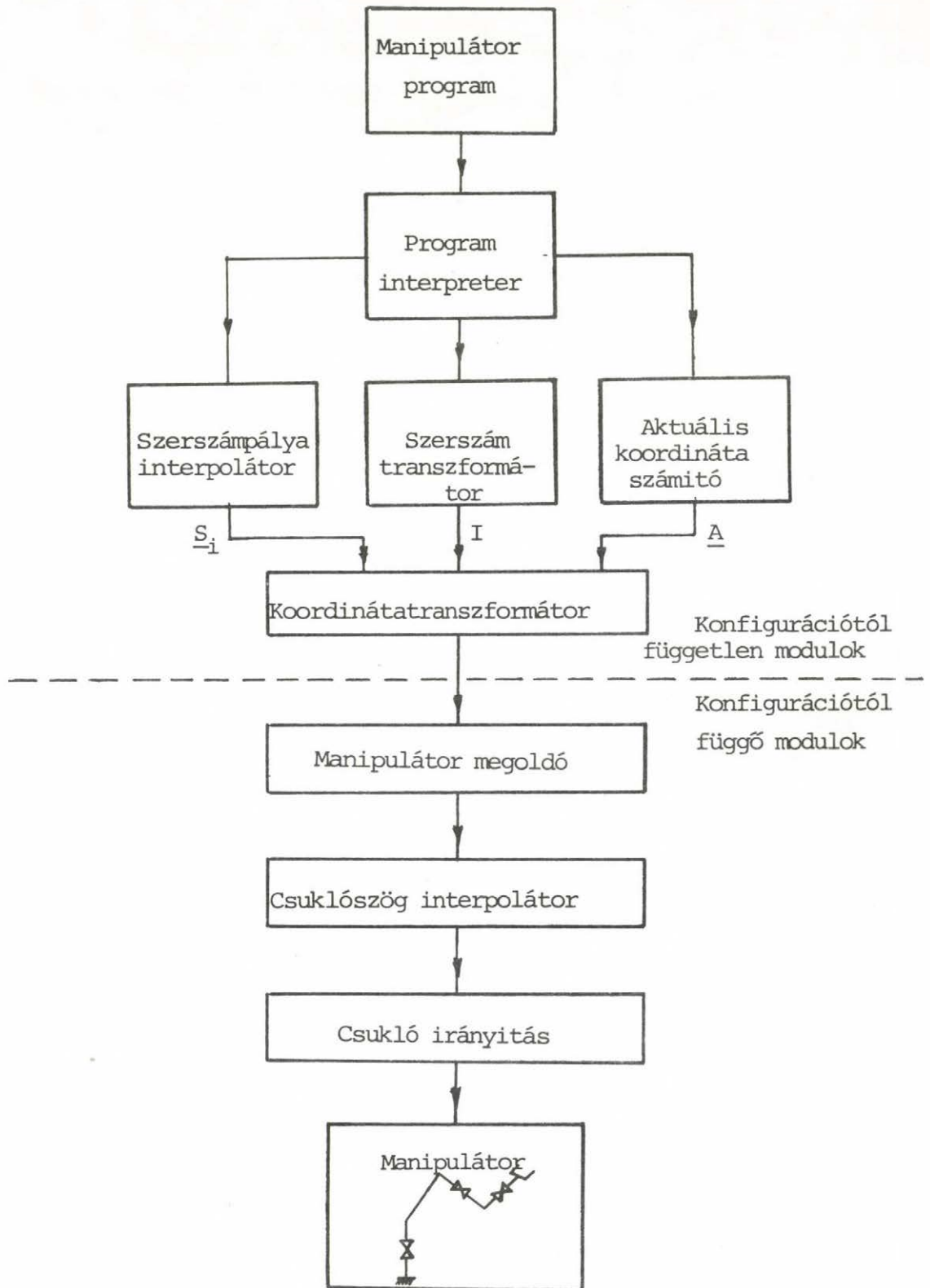
A pályaszámító SW a robotprogram leírást csukló-szögpozíció mintavételi pontok sorozatává transzformálja és átadja a manipulátor csuklók irányító egységének, a kéznek, szerszámnak vagy más készülékeknek szóló parancsokkal együtt. A pályaszámító software moduljai az alábbiak: (8.7.ábra)

Program interpreter

A manipulátor program minden lépéséből generál egy manipulátor állapotmátrixot (\underline{S}), ami a szerszámnak az adott trajektória tartópontban felvett állapotát fejezi ki. A szerszámcsere vagy a munkahely változására vonatkozó adatokat továbbítja a megfelelő transzformációs moduloknak.

Szerszám transzformátor

Szerszámcsere esetén kiszámítja a manipulátor végcsonk és a TCP relatív helyzetét leíró új transzformációs mátrixot (\underline{T}) és a régi szerszám mátrix helyébe beírja. (1.3.pont)



A pályaszámító software felépítése

8.7. ábra

Aktuális koordinátaszámító

A munkahely megváltozása vagy mozgó munkahely esetén kiszámítja az aktuális vonatkoztatási koordinátákat.
(A) (1.3.pont)

Szerszámpálya interpolátor

A kívánt pályakövetési pontosságtól függő T időközönként a szerszámpálya interpolátor az aktuális koordinátarendszerhez képest (1.4. ábra) kiszámít egy új szerszám-állapot mátrixot (\underline{F}_i). Az egymást követő \underline{F}_i mátrixok kismértékben változnak a trajektória támasztópontok közti egyenes szakaszok illetve a sarokpontokat megkerülő görbevonalu átmenetek mentén. A szerszámpálya "lekerekítése" a csukló trajektóriák "simitálásához" hasonló módon történik. (6.2.pont.)

Koordinátatranszformátor

A koordinátatranszformátor a manipulátor csatlakozópont állapotát kifejező \underline{M}_i koordinátamátrixot számolja ki T időközönként. A számítás alapja (1.10)-ből származtatva az

$$\underline{M}_i = \underline{A} * \underline{F}_i * \underline{T}^{-1}$$

egyenlet.

Manipulátor-megoldó

A manipulátor-megoldó modul az 5. fejezetben leírtaknak megfelelően kiszámítja a q_{ji} , $j = 1, \dots, 6$ csuklószögeket, amelyek a manipulátort az \underline{M}_i állapotba viszik. Ez és a további modulok már a konkrét manipulátor konfigurációhoz kapcsolódnak.

Csuklós szög interpolátor

Három egymást követő csuklós szög-pozícióból a 6.2. pontban leírtaknak megfelelően a csuklós szög interpolátor $t \ll T$ időközönként számít egy-egy újabb, interpolált q_j , \dot{q}_j , ill. \ddot{q}_j , $j = 1, \dots, 6$ csuklós szög-pozíció, csuklós szög sebesség ill. gyorsulás értéket. Az interpolációhoz felhasználandó kezdeti értékek váltakozva két puffer-tárolóba kerülnek. Míg az egyik puffert a számítógép újabb csuklós szög-adatokkal feltölti, az alatt a másik puffert a csukló interpolátor kiolvassa és a manipulátorvezérlő berendezés logikai interface-e által meghatározott frekvenciával újabb és újabb, négyzetes időfüggvény szerint interpolált csuklós szög értékeket küld a vezérlőegységnek.

Csukló irányítás

A szerszámgépekben is használatos elektronikus vezérlőberendezésekhez hasonlóan tengelyenként szabályozza a csuklóhajtóművek működését. (9. és 10. fejezet)

8.3. SZÁMITÓGÉPES MOZGÁSSZIMULÁCIÓ

8.3.1. A grafikus mozgássszimulátor

A 6 szabadságfoku, csuklós robot működésbe helyezését megelőzően, a vezérlési programok előkészítése érdekében elkészült egy olyan programrendszer, amely tetszőleges 3 dimenziós geometriai strukturák egymáshoz viszonyított mozgásának leírását és megjelenítését, ezen belül a COROHAND manipulátor mozgássszimulációját és képi megjelenítését végzi el. [Báthor, Siegler, 1979]

Az R10 típusu számítógépen futó mozgásszimulációs program egy 3 dimenziós modellépítő [Báthor, 1978] segítségével létrehozott alkatrészkönyvtáron végez térbeli geometriai transzformációs műveleteket. A térbeli transzformációk mozgássorozattá rendeződnek, amelynek kiválasztott fázisai a grafikus display-n egymás után megjelennek. Az egyes mozgási fázisokat egy virtuális "kamera" képezi le a képsíkban, ahol azok a takart vonalak elhagyása után jelennek meg. Az alkatrészeket mozgató utasítások tehát kiegészülnek a kameraparamétereket és a mozgásokat definiáló utasításokkal.

A 8.2.1. pontban ismertetett elveknek megfelelően a mozgásszimulációs programok vezérlése többféle módon történik:

- a/ - az alkatrész- és kameramozgatási parancsok definiálása menüs kezelői interakcióban. (8.8. ábra)
- b/ - az a/ pont szerint definiált parancsszekvencia a szimulátorprogrammal megtanítható. Ennek során a program egy u.n. "vezérlő file-t" hoz létre. Az így nyert, összefüggő mozgásprogram szerkeszthető, a grafikus display-n visszajátszható, majd a robotvezérlésnek átadható.
- c/ - elkészült egy mozgásleíró nyelv, amit mind a szimulátor, mind a robotvezérlés interpretál.

A mozgásszimulációs program nyilvántartja az egymáshoz képest mozgatható alkatrészek térbeli elhelyezkedését leíró transzformációs paramétereket. Lehetőség van a könyvtárban külön tételként szereplő, de időlegesen vagy állandóan együtt mozgatni kívánt alkatrészek összerendelésére. A 8.9. ábrán a COROHAND építőelemeinek összerendelése látható. Ennek az az előnye, hogy elegendő csupán az összerendelt testek egyikének mozgását leírni, a többiek automatikusan követik azt:

```
BASE P
TURN

CENTRAL POINT X -1 22999
                Y 12 29999
                Z 48 19999
AXIS OF ROTATION X 00000
                  Y 00000
                  Z 1 00000
ANGLE          75 00
```

Mozgási parancsok megadása a szimulátoron

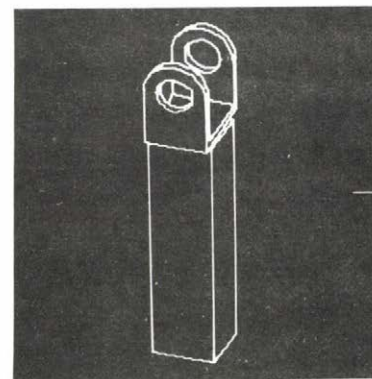
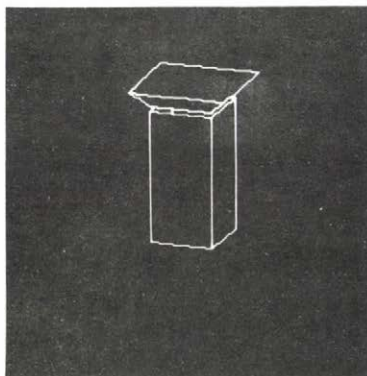
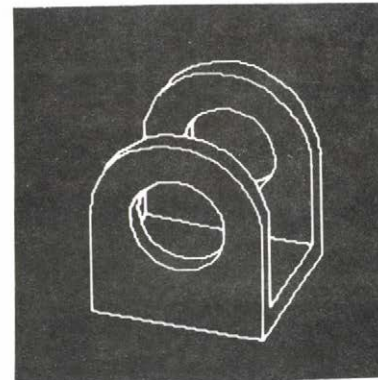
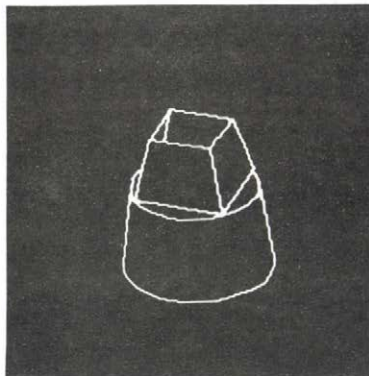
8.8.ábra

```
BASE P
DRIFT

WITH *****
#
CSUK 1 P
KAR 1 P
CSUK 2 P
KAR 2 P
CSUK 3 P
KAR 3 P
UJAKK
```

A COROHAND alkatrészeinek összerendelése

8.9.ábra



A COROHAND részeinek megjelenítése a szimulátoron

8.10.ábra

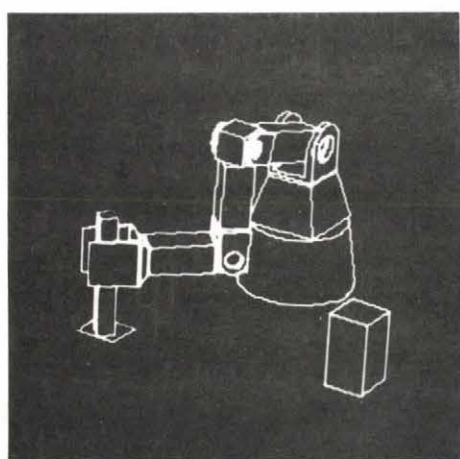
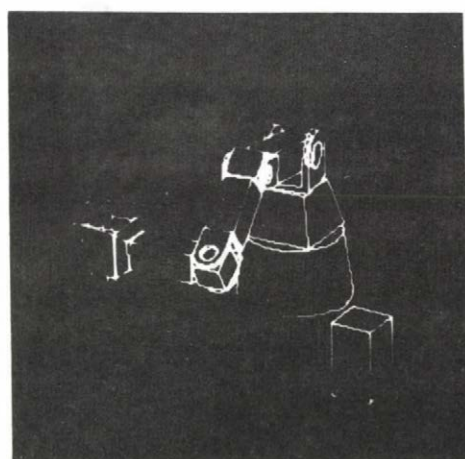
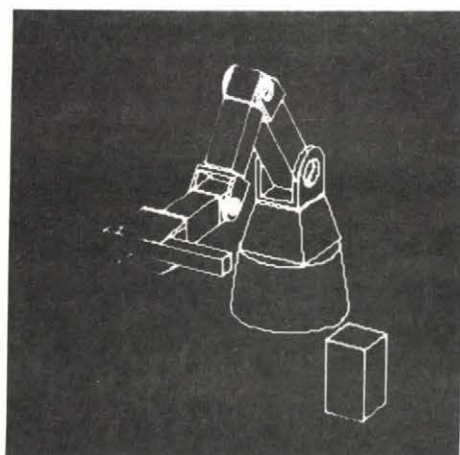
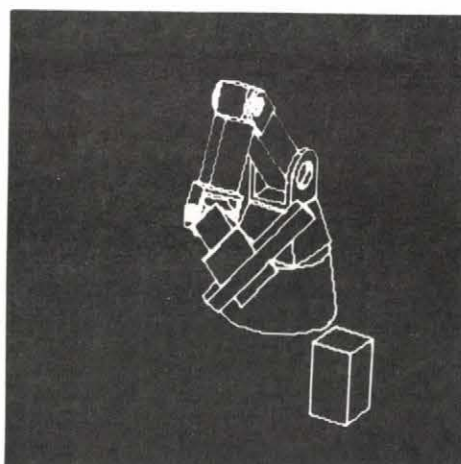
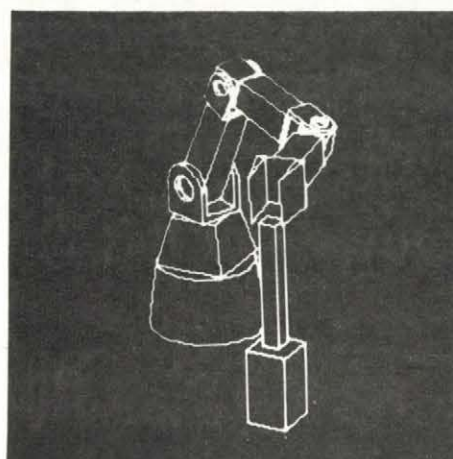
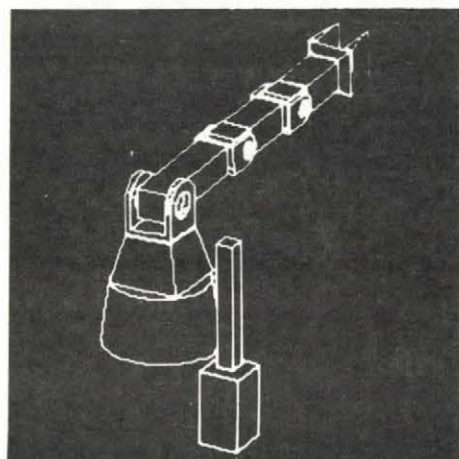
a számítógép a megfelelő térbeli transzformációkat automatikusan végzi el. A 8.10. ábrán a COROHAND építőelemei láthatók, amelyeket a 3 dimenziós modellépítővel generáltunk. A 8.11. ábra az összeépített robot mozgását mutatja. Látható, hogy a 8.10. ábra szerinti elemek állandóan össze vannak rendelve, a "munkadarab" (a felemelt hasáb) azonban csak ideiglenesen kapcsolódik a robotkézhez.

8.3.2. Manipulátor megoldó program

Az 5.8. pontban említett mikroszámítógépes implementációt követően az R10 kisszámítógépen is elkészült a COROHAND pályavezérléséhez szükséges koordinátatranszformációs program, amely az 5. fejezetben leírtak szerint oldja meg a manipulátor inverz problémáját. A manipulátor megoldó program bemenete a robotkéz számára előírt trajektória. Ebből kiszámítódik a 6 csuklósög időfüggvénye, amelyek felhasználásával a csuklók koordináltan mozognak. A program a valós rendszer fizikai korlátaiból adódó megkötéseket is figyelembe veszi. A kiszámított csuklómozgások a 8.3.1. pontban említett mozgásszimulátor vezérlő file-ba íródnak be és a kiszámított manipulátormozgás a grafikus display-n kirajzolt modellen szemlélhető.

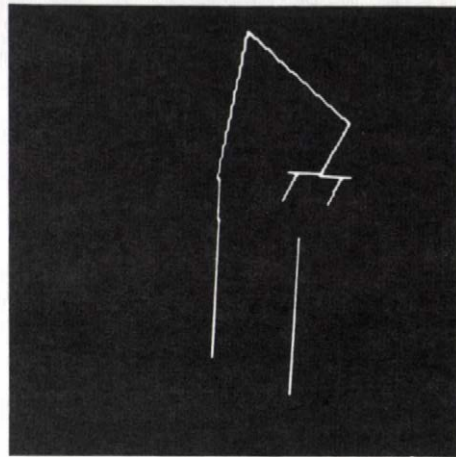
Manipulátor mozgáspályák vizsgálatához a manipulátor egyszerűsített váz-modelljét használjuk. (8.12. ábra)

A 8.13. a, b, c ábrákon az egymásra másolt mozgási fázisok láthatók egy-egy trajektóriaszakasz mentén. Ezek az ábrák szemléltetik, hogy a TCP egy egyenes pálya mentén mozog. A mozgási fázisok összemásolását a grafikus szimulátor végzi el a kezelő kívánságára. A mozgásábrák nemcsak grafikus display-n, hanem rajzgépen is megjeleníthetők.



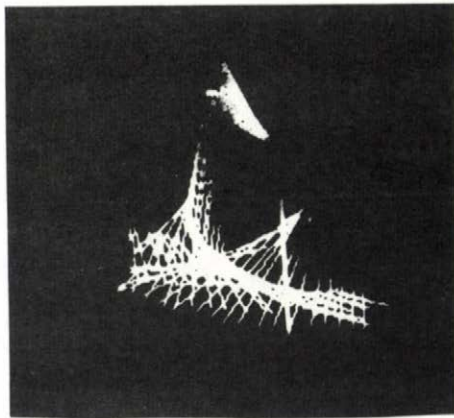
A COROHAND mozgásszimulációja

8.11.ábra

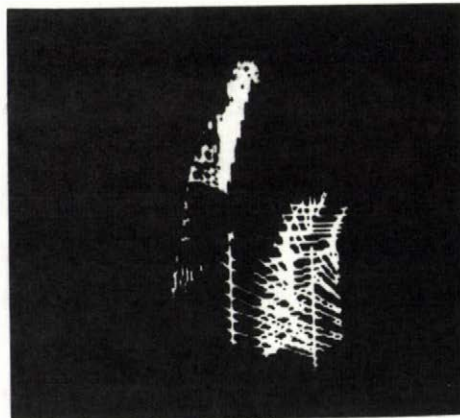


A COROHAND váz-modellje

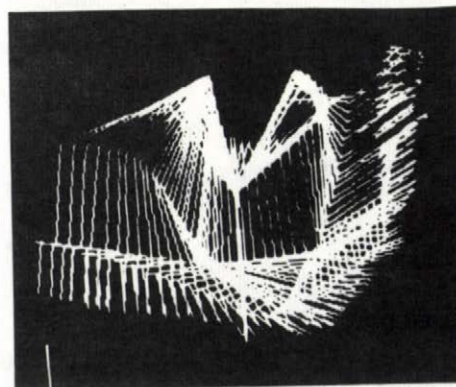
8.12.ábra



a)



b)



c)

Trajektóriák bejárását megjelenítő
fázisképek

8.13.ábra

A mozgási fázisok grafikus megjelenítése megkönnyíti a pályaleírások helyességének ellenőrzését, lehetővé teszi, hogy a programozó ne csak a robotkéz, hanem az egyes csuklók mozgáspályáját is ellenőrizni tudja.

9. CSUKLÓNYOMATÉKOK SZÁMITÁSA

Az 1.-8. fejezetekben megtárgyaltuk a manipulátor geometriai megfontolásokon alapuló *vezérlésének* problémáit: előállítottuk a 6 csukló pozícióinak sorozatát, amelyeket felvéve a csuklók zökkenőmentesen, a fizikai korlátok által megszabott módon fognak mozogni, miközben a robotkéz végighalad a kívánt pályán.

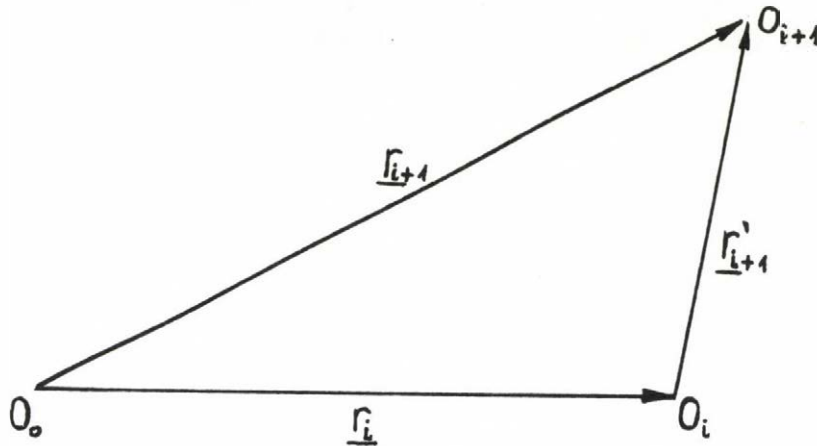
A továbbiakban azt kell megvizsgálnunk, hogy az előírt mozgás végrehajtása érdekében milyen nyomatékokat kell a csuklókba épített hajtóműveknek kifejteniük. Ehhez szükség van a manipulátor mozgásegyenleteinek ismeretére. A mozgásegyenletek számításra alkalmas formában történő felírását egy számítási szempontból előnyös, rekurzív kinematikai modell felállításával oldjuk meg. (9.1. pont) Ennek alapján állítjuk fel a kar dinamikai modelljét és számítjuk ki az egyes csuklóknál szükséges hajtóműnyomatékokat. (9.3. pont) dinamikai modell ismeretére a manipulátormozgás *szabályozásánál* lesz szükség (10. fejezet).

9.1. MANIPULÁTOR KINEMATIKA

A feladat a csukló pozíciók, sebességek, gyorsulások ismeretében az i -ik csuklóhoz rögzített koordináta-rendszer pozíciójának (\underline{r}_i), szögsebességnek (ω_i), szöggyorsulásnak ($\dot{\omega}_i$), sebességnek (\underline{v}_i) és gyorsulásnak ($\dot{\underline{v}}_i$) kiszámítása. A zárójelekben 3 dimenziós vektorok szerepelnek.

A számítás során a kinematika mozgó vonatkoztatási rendszerekre vonatkozó összefüggéseit használjuk fel. [Budó, 1965]

A manipulátor csuklókhöz rendelt koordinátarendszerek kapcsolatát a 9.1 ábra mutatja. O_0 rögzített, O_i és O_{i+1} mozgó rendszer. (3.6. ábra) (A vesszővel jelölt mennyiségek a továbbiakban a tagok relatív mozgásaira vonatkoznak.)



9.1. ábra

O_i és O_{i+1} egymást követő két csukló koordinátarendszerének origói, O_0 az alap origója. Az $(i+1)$ -ik tag az O_i -hez rögzített \underline{k}_i tengely körül végez $\underline{\omega}'_{i+1}$ szögsebességű forgó mozgást, ahol a (3.6.) ábra jelöléseit alkalmazva $\underline{k}_i = \underline{z}_i$, ha a csukló csavaró típusu és $\underline{k}_i = \underline{y}_i$, ha a csukló billenő típusu. Ezért

$$\underline{\omega}'_{i+1} = \underline{k}_i \dot{q}_{i+1} \quad (9.1)$$

Legyen továbbá az O_i origóju rendszer sebessége O_0 -hoz képest \underline{v}_i , szögsebessége $\underline{\omega}_i$, az O_{i+1} origóju rendszeré \underline{v}_{i+1} és $\underline{\omega}_{i+1}$.

Az $(i+1)$ -ik kar-tag szögsebessége:

$$\underline{\omega}_{i+1} = \underline{\omega}_i + \underline{\omega}'_{i+1} \quad (9.2)$$

(9.1) -et behelyettesítve

$$\underline{\dot{\omega}}_{i+1} = \underline{\dot{\omega}}_i + \underline{k}_i \dot{q}_{i+1} \quad (9.3)$$

Az (i+1)-ik kar-tag szöggyorsulása:

$$\dot{\omega}_{i+1} = \dot{\omega}_i + \dot{\omega}'_{i+1} \quad (9.4)$$

Tudjuk, hogy bármely \underline{p} vektornak egy O rendszerből és az O -hoz képest ω szögsebességgel forgó O' rendszerből tekintett időszerinti deriváltjai között a

$$d\underline{p}/dt = d'\underline{p}/dt + \underline{\omega} \times \underline{p} \quad (9.5)$$

összefüggés áll fenn. Ahol d'/dt az O' rendszerben értelmezett időszerinti derivált. \underline{p} helyett $\underline{\omega}'_{i+1}$ -t véve:

$$\underline{\omega}'_{i+1} = d'\underline{\omega}'_{i+1}/dt + \underline{\omega}_i \times \underline{\omega}'_{i+1} \quad (9.6)$$

Másrészt (9.1)-ből

$$d' \underline{\omega}'_{i+1} /dt = \underline{k}_i \ddot{q}_{i+1} \quad (9.7)$$

(9.1)-t, (9.6)-t és (9.7)-t (9.4)-be helyettesítve:

$$\underline{\dot{\omega}}_{i+1} = \underline{\dot{\omega}}_i + \underline{k}_i \ddot{q}_{i+1} + \underline{\omega}_i \times \underline{k}_i \dot{q}_{i+1} \quad (9.8)$$

Az (i+1)-ik koordinátarendszer sebessége:

$$\underline{v}_{i+1} = \underline{v}_i + d \underline{r}'_{i+1} /dt \quad (9.9)$$

A (9.5) tétel alkalmazásával

$$\underline{v}_{i+1} = \underline{v}_i + d' \underline{r}'_{i+1} / dt + \underline{\omega}_i \times \underline{r}'_{i+1} \quad (9.10)$$

A tisztán forgó csuklómozgás miatt

$$d' \underline{r}'_{i+1} / dt = \underline{\omega}'_{i+1} \times \underline{r}'_{i+1} \quad (9.11)$$

és (9.6) alkalmazásával

$$\begin{aligned} d'^2 \underline{r}'_{i+1} / dt^2 &= (d' \underline{\omega}'_{i+1} / dt \times \underline{r}'_{i+1}) + \underline{\omega}'_{i+1} \times (\underline{\omega}'_{i+1} \times \underline{r}'_{i+1}) = \\ &= \dot{\underline{\omega}}'_{i+1} \times \underline{r}'_{i+1} - (\underline{\omega}'_i \times \underline{\omega}'_{i+1}) \times \underline{r}'_{i+1} + \\ &+ \underline{\omega}'_{i+1} \times (\underline{\omega}'_{i+1} \times \underline{r}'_{i+1}) \end{aligned} \quad (9.12)$$

(9.2) és (9.11) figyelembevételével

$$\underline{v}_{i+1} = \underline{v}_i + \underline{\omega}_{i+1} \times \underline{r}'_{i+1} \quad (9.13)$$

Az (i+1)-ik tag lineáris gyorsulása:

$$\dot{\underline{v}}_{i+1} = \dot{\underline{v}}_i + \dot{\underline{\omega}}_{i+1} \times \underline{r}'_{i+1} + \underline{\omega}_{i+1} \times \dot{\underline{r}}'_{i+1}$$

A (9.5) tétel ismételt alkalmazásával a jobb oldal 3. tagja:

$$\underline{\omega}_{i+1} \times \dot{\underline{r}}'_{i+1} = \underline{\omega}_{i+1} \times (d' \underline{r}'_{i+1} / dt + \underline{\omega}_i \times \underline{r}'_{i+1}) =$$

(9.11) szerint

$$= \underline{\omega}_{i+1} \times [(\underline{\omega}'_{i+1} \times \underline{r}'_{i+1}) + \underline{\omega}_i \times \underline{r}'_{i+1}] =$$

(9.2)-t behelyettesítve

$$= \underline{\omega}_{i+1} \times (\underline{\omega}_{i+1} \times \underline{r}'_{i+1})$$

Tehát

$$\underline{\dot{v}}_{i+1} = \underline{\dot{v}}_i + \underline{\dot{\omega}}_{i+1} \times \underline{r}'_{i+1} + \underline{\omega}_{i+1} \times (\underline{\omega}_{i+1} \times \underline{r}'_{i+1}) \quad (9.14)$$

A (9.3), (9.8), (9.13) és (9.14) egyenletek a csukló változók pozíciójának, sebességének és gyorsulásának függvényében leírják a csak forgó csuklókból álló manipulátor kinematikáját. A 9.3. pontban ezeket az egyenleteket a csuklóokban ébredő erők és nyomatékok kiszámítására fogjuk felhasználni.

9.2. A ROBOTKÉZ KINEMATIKÁJA

A 9.1 pontban az (i+1)-ik kar-tag kinematikai egyenleteit határoztuk meg az i-ik kar-tag kinematikájának ismeretében. Ahhoz, hogy a manipulátort a kéz pozíciójának és orientációjának függvényében irányíthassuk, szükségünk van a kéz kinematikai egyenleteire a csukló változók (q_i , \dot{q}_i és \ddot{q}_i , $i = 1, \dots, 6$) függvényében. A számítás során a manipulátor alapját rögzítettnek tekintjük.

A(9.3) egyenlet sorozatos alkalmazásával

$$\omega_{i+1} = \sum_{j=1}^{i+1} k_j \dot{q}_{j+1} \quad (9.15)$$

Tehát

$$\omega_6 = \sum_{j=1}^6 k_{j-1} \dot{q}_j \quad (9.16)$$

A (9.13) egyenletből:

$$\underline{v}_6 = \sum_{i=0}^5 \underline{\omega}_{i+1} \times \underline{r}'_{i+1} \quad (9.17)$$

(9.15)-t (9.17)-be helyettesítve

$$\begin{aligned} \underline{v}_6 &= \sum_{i=0}^5 \left[\sum_{j=1}^{i+1} \underline{k}_{j-1} \dot{\underline{q}}_j \right] \times \underline{r}'_{i+1} = \sum_{j=1}^6 \sum_{i=j-1}^5 (\underline{k}_{j-1} \dot{\underline{q}}_j \times \underline{r}'_{i+1}) = \\ &= \sum_{j=1}^6 \underline{k}_{j-1} \dot{\underline{q}}_j \times \left[\sum_{i=j-1}^5 \underline{r}'_{i+1} \right] \end{aligned}$$

Tehát

$$\underline{v}_6 = \sum_{j=1}^6 \underline{k}_{j-1} \times (\underline{r}_6 - \underline{r}_{j-1}) \dot{\underline{q}}_j \quad (9.18)$$

\underline{v}_6 -ot és $\underline{\omega}_6$ -ot egyetlen, 6 x 1-es vektorba foglalva:

$$[\underline{v}_6 \quad \underline{\omega}_6]^T = \underline{J} \cdot \dot{\underline{q}} \quad (9.19)$$

ahol $[\dot{\underline{q}}]_i = \dot{\underline{q}}_i$, $i = 1, \dots, 6$ és

$$\underline{J} = \left[\begin{array}{c|c|c|c} \underline{k}_1 \times (\underline{r}_6 - \underline{r}_0) & \underline{k}_2 \times (\underline{r}_6 - \underline{r}_1) & \dots & \underline{k}_6 \times (\underline{r}_6 - \underline{r}_5) \\ \hline \underline{k}_1 & \underline{k}_2 & & \underline{k}_6 \end{array} \right]$$

(9.20)

Ez az eredmény megegyezik a (2.9) kifejezéssel, amit [Whitney, 1972] módszerével kaptunk. A továbbiakban a csuklószögek és a robotkéz gyorsulásának kapcsolatát vizsgáljuk. A kéz gyorsulását $\dot{\underline{v}}_6$ -tal, szöggyorsulását $\dot{\underline{\omega}}_6$ -tal jelöljük.

(9.19) idő szerinti deriválásával:

$$[\dot{\underline{v}}_6 \ \dot{\underline{\omega}}_6]^T = \underline{J} \ddot{\underline{q}} + (d \underline{J}/dt) \dot{\underline{q}} \quad (9.21)$$

A 9.21 egyenletben \underline{J} -t (9.20)-ból, $(d \underline{J}/dt)$ -t pedig a (9.8) és (9.14) egyenletekből, \ddot{q}_i -t tartalmazó tagok elhagyásával nyerjük.

9.3. MANIPULÁTOR-DINAMIKA

A manipulátor dinamikai vizsgálatánál a vonatkozó irodalomban kétféle megközelítést találunk. A probléma elméletileg előnyösen írható le, ha a Lagrange féle egyenletekből indulunk ki. Ezt a megközelítést a 9.3.1. pontban foglaljuk össze [Horn, 1977], [Paul, 1972] és [Takase, 1975] alapján. Mint látni fogjuk, ha a mozgásegyenleteket az impulzustételnek és az impulzusmomentum tételének a manipulátorra való alkalmazásával írjuk fel, számítástechnikailag előnyösebb megoldáshoz juthatunk, amit [Paul & al, 1978] alapján és a 9.1, 9.2 pont eredményeit felhasználva részletesen kidolgozunk. A manipulátor-dinamika átfogó elméleti tárgyalását adja [Bejczy, 1974], [Uicker, 1967], [Vukobratovic, 1977], ezek számítógépes implementációja azonban a valós idejű működést egyenlőre nem teszi lehetővé. [Takase, 1979]

9.3.1. A dinamikai feladat tárgyalása a Lagrange egyenletek alapján

A módszer lényege, hogy a gravitációs térben elhelyezkedő robotkarra felállítjuk a Lagrange-féle függvényt és ebből kiindulva meghatározzuk a gyorsulások és csuklónyomatékok kapcsolatát, ami a gravitáció legyőzéséhez szükséges nyomatékokat is magába foglalja.

A Lagrange-féle függvény definíciója:

$$L = T - V \quad (9.22)$$

vagyis a kinetikai és potenciális energia különbsége. T -t és V -t a q_i , $i = 1, \dots, 6$ csukló-változókkal fogjuk kifejezni. A Lagrange-féle függvény segítségével a rendszer dinamikáját a Lagrange féle egyenletekkel írjuk le:

$$Q_i = \frac{d}{dt} \left(\frac{\partial L}{\partial \dot{q}_i} \right) - \frac{\partial L}{\partial q_i}, \quad i = 1, \dots, 6 \quad (9.23)$$

ahol a q_i általánosított koordinátákként esetünkben a csuklószöveget választjuk, így a Q_i általánosított erők a csuklómotorok nyomatékai lesznek. Megállapíthatjuk továbbá, hogy a V potenciális energia csak a csuklószögektől függ, ezért a gravitációs erők legyőzésében szükséges μ_{gi} csuklónyomatékok számítását a

$$\mu_{gi} = -\frac{\partial P}{\partial q_i} \quad (9.24)$$

összefüggés alapján végezhetjük, és ettől elkülönítve számíthatjuk a μ_i nyomatékokat, amelyek a manipulátor mozgását

akkor biztosítanak, ha a gravitációs tér nem volna jelen.
Ez esetben

$$\mu_i = \frac{d}{dt} \left(\frac{\partial T}{\partial \dot{q}_i} \right) - \frac{\partial T}{\partial q_i} \quad (9.25)$$

μ_i kiszámítását megkönnyíti az a tény, hogy a manipulátor teljes kinetikai energiája egyenlő az egyes tagok kinetikai energiáinak összegével, így μ_i -t kar-tagonkénti komponensekre bontva számíthatjuk ki:

$$\mu_{ij} = \frac{d}{dt} \left(\frac{\partial T_j}{\partial \dot{q}_i} \right) - \frac{\partial T_j}{\partial q_i} \quad i, j = 1, \dots, 6 \quad (9.26)$$

ahol μ_{ij} az i -ik csuklómotor nyomatékának a j -ik tag mozgásában hatásos része, továbbá $\mu_i = \sum_{j=1}^6 \mu_{ij}$. E módszert

[Horn, 1977] egy három csuklós, három tagból álló karmechanizmuson mutatja be.

[Paul, 1972] a teljes, 6 csuklós manipulátor kinetikai és potenciális energiájára állít fel egyenleteket, majd szintén képezi a Lagrange függvényt és a (9.2) összefüggésbe helyettesítve kapja a csuklónyomatékokat. Mivel a módszer annyira számításigényes, hogy a csukló-nyomatékok valós időben történő kiszámítására nincs lehetőség, itt csupán a végeredményt érdemes megemlíteni a későbbi összehasonlítás végett. Ugyanehhez az eredményhez vezet [Takase, 1975] módszere is, aki az impulzusmomentum törvényéből indul ki és a dinamikai modellt egyetlen vektoregyenlet formájában adja meg:

$$\underline{\mu} = \underline{\theta} \ddot{\underline{q}} + \dot{\underline{q}}^T \underline{C} \dot{\underline{q}} + \underline{\tau}_g + \underline{\tau}_f + \underline{\tau}_\tau \quad (9.27)$$

ahol $\underline{\mu}$ a csuklómotor-nyomatékok, \underline{q} a csuklószőg-pozíciók vektora.

$$\underline{\theta} = [\theta_{i,k}], \quad i,k = 1, \dots, 6, \quad \underline{c} = [c_{j,k}],$$

$j,k = 1, \dots, 6$ mátrixok.

A $\underline{\mu}$ vektor egy eleme [Paul, 1972]-vel és [Horn, 1977]-tel megegyezően:

$$\mu_i = \sum_{k=1}^6 \theta_{ik} \ddot{q}_k + \sum_{k=1}^6 \sum_{j=1}^6 c_{ijk} \dot{q}_j \dot{q}_k + \tau_{gi} + \tau_{fi} + \tau_{\tau i}, \quad i = 1 \dots 6 \quad (9.28)$$

ahol θ_{ik} , c_{ijk} a kar-tagok tehetetlenségi nyomatékait tartalmazó, a csuklószőgektől is függő polinomok. A $\underline{\mu}$ -t összetevő tagok értelmezése:

- az első, \ddot{q} -t tartalmazó tag a rendszer tehetetlenségéből származó nyomaték: látható, hogy $\underline{\mu}$ és \ddot{q} között lineáris összefüggés van ;
- a második tag a Coriolis és centrifugális erők hatását fejezi ki, amelyek csupán nagy sebességeknél nem elhanyagolhatók ;
- τ_{gi} az i -ik kar-tagra ható gravitációból származó nyomaték ;
- τ_{fi} az i -ik kar-tagra a szomszédos tagok által gyakorolt erőkben származik ;
- $\tau_{\tau i}$ az i -ik kar-tagra ható külső nyomaték a szomszédos tagokból eredően.

A (9.28) egyenletben szereplő együttható-polinomok bonyolultsága miatt, számítástechnikai megfontolásokból az alábbi megfontolásokat szokás tenni:

1. A manipulátort a

$$\underline{u} = \underline{\theta} \ddot{\underline{q}} + \underline{\tau}_c$$

modellel közelítik [Horn, 1977]

2. Az együttható-polinomok számítására előre elkészített táblázatokba ("look-up" táblák) képezik le a manipulátor munkaterét. A táblázatban nem szereplő pontokra interpolációval számolják az együtthatókat. [Albus, 1975] Ez a módszer azonban rendkívül sok számítógép-memóriát igényel.

9.3.2. A dinamikai modell származtatása az impulzus és impulzusmomentum tételből

A manipulátor-dinamika vizsgálatánál most a merev testek mozgására vonatkozó klasszikus egyenletekből indulunk ki. Ezek segítségével meghatározzuk az egymást követő karokra ható erők és nyomatékok kapcsolatát.

A merev test impulzusa:

$$\underline{i} = m \underline{v} \quad (9.29)$$

A merev test impulzusmomentuma:

$$\underline{n} = \underline{\theta} \underline{\omega} \quad (9.30)$$

ahol m a merev test teljes tömege, \underline{v} a merev test súlypontjának sebessége, $\underline{\theta}$ és $\underline{\omega}$ a test tömegközéppontjára számított tehetetlenségi tenzor illetve szögsebesség. A merev test legáltalánosabb, 6 szabadsági foknak megfelelő mozgását a súlypont és impulzusmomentum tételek határozzák meg:

$$\underline{f} = d \underline{i} / dt \quad (9.31)$$

$$\underline{\tau} = d \underline{n} / dt \quad (9.32)$$

ahol \underline{f} a merev testre ható összes külső erők eredője és $\underline{\tau}$ a test súlypontjára számított forgatónyomatékok eredője.

(9.29)-t (9.31)-be és (9.30)-t (9.32)-be behelyettesítve:

$$\underline{f} = m \dot{\underline{v}} \quad (9.33)$$

$$\underline{\tau} = \underline{\theta} \dot{\underline{\omega}} + \underline{\omega} \times (\underline{\theta} \underline{\omega}) \quad (9.34)$$

9.34 -t a testhez kötött rendszerben irtuk fel, mivel \ominus csak ebben a rendszerben állandó.

A (9.34) egyenlet a merev testhez rögzített koordináta-rendszerre vonatkozik, ezt a rendszert az illető kar-tag súlypontjához (O_i) tartozó tehetetlenségi ellipszoid főten-gelyrendszerével egybeesőnek célszerű választanunk. Ebben az esetben a tehetetlenségi tenzornak csupán a főátlójában lesznek nullától különböző elemek és a (9.34) egyenlet így egyszerűsödik:

$$\tau_x = \theta_{xx} \dot{\omega}_x - (\theta_{yy} - \theta_{zz}) \omega_z \omega_y$$

$$\tau_Y = \theta_{YY} \dot{\omega}_Y - (\theta_{ZZ} - \theta_{XX}) \omega_X \omega_Z \quad (9.35)$$

$$\tau_Z = \theta_{ZZ} \dot{\omega}_Z - (\theta_{XX} - \theta_{YY}) \omega_X \omega_Y$$

ahol $\underline{\tau} = [\tau_X \tau_Y \tau_Z]^T$, $\underline{\omega} = [\omega_X \omega_Y \omega_Z]^T$, θ_{XX} , θ_{YY} és θ_{ZZ} a fő tehetetlenségi nyomatékok.

A (9.33) és (9.34) egyenleteket közvetlenül alkalmazhatjuk a tagokra:

$$\underline{f}_{i+1} = m_{i+1} \dot{\underline{v}}_{i+1}^S \quad (9.36)$$

$$\underline{\tau}_{i+1} = \theta_{i+1} \dot{\underline{\omega}}_{i+1} + \underline{\omega}_{i+1} \times (\theta_{i+1} \underline{\omega}_{i+1}) \quad (9.37)$$

ahol

m_{i+1} azi+l-ik kardarab tömege

$\dot{\underline{v}}_{i+1}^S$ azi+l-ik kardarab súlypontjának lineáris gyorsulása, amit a (9.14) egyenletből kapunk meg

\underline{f}_{i+1} azi+l-ik kardarabra ható összes külső erő

θ_{i+1} azi+l-ik kardarab súlypontjára vett tehetetlenségi tenzor

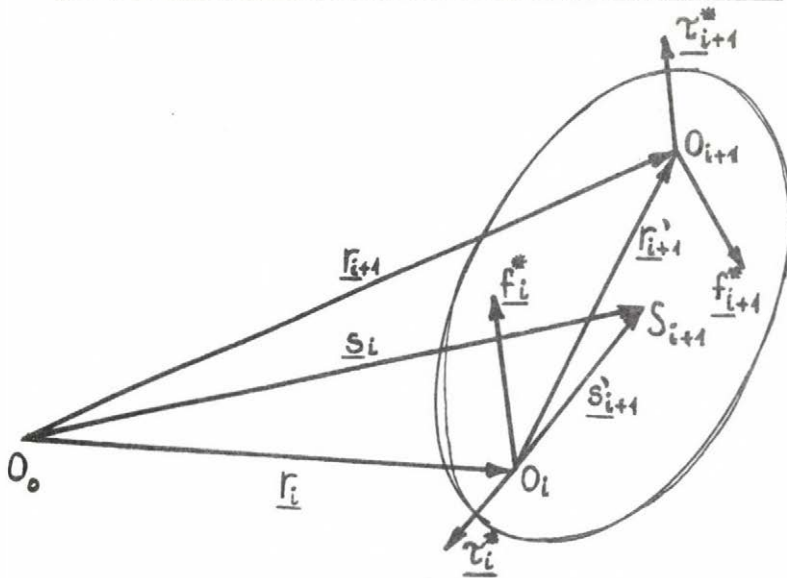
$\dot{\underline{\omega}}_{i+1}$ az i+l-ik kardarab szöggyorsulása, amit a (9.12) egyenlet ad meg

$\underline{\omega}_{i+1}$ i+l-ik kardarab szögsebessége, amit a (9.1) egyenlet ad meg

$\underline{\tau}_{i+1}$ azi+l-ik kardarabra ható összes külső nyomaték

Azi+1-ik kardarab lineáris gyorsulásának ($\dot{\underline{v}}_{i+1}$) kiszámításakor a (9.14) egyenletbe \underline{r}'_{i+1} helyébe \underline{s}'_{i+1} -t kell helyettesítenünk. \underline{s}'_{i+1} azi+1-ik kardarab súlypontjába mutató vektor. (9.2.ábra) Tehát

$$\underline{\dot{v}}_{i+1}^s = \underline{\dot{v}}_i + \underline{\omega}_i \times \underline{s}'_{i+1} + \underline{\omega}_i \times (\underline{\omega}_i \times \underline{s}'_{i+1}) \quad (9.38)$$



9.2.ábra

Az \underline{f}_{i+1} eredő erő és $\underline{\tau}_{i+1}$ eredő nyomaték az i -ik és $(i+1)$ -ik kardarabtól és a gravitációból származó erők és nyomatékok eredője. A (9.2) ábra jelöléseinek magyarázata:

- \underline{f}_i^* az i -ik kar-tag által azi+1-ik tagra gyakorolt erő
- $\underline{\tau}_i^*$ az i -ik kar-tag által azi+1-ik tagra gyakorolt nyomaték

Először hagyjuk figyelmen kívül a gravitáció hatását.
Ekkor

$$\underline{f}_{i+1} = \underline{f}_i^* - \underline{f}_{i+1}^* \quad (9.39)$$

$$\text{és } \tau_{i+1} = \tau_i^* - \tau_{i+1}^* + (\tau_i - s_{i+1}) \times f_i^* - (\tau_{i+1} - s_{i+1}') \times f_{i+1}^*$$

azaz

$$\tau_{i+1} = \tau_i^* - \tau_{i+1}^* - s_{i+1}' \times f_{i+1} - r'_{i+1} \times f_{i+1}^* \quad (9.40)$$

Az i -ik csukló által kifejtett erő és nyomaték:

$$f_i^* = f_{i+1} + f_{i+1}^* \quad (9.41)$$

$$\tau_i^* = \tau_{i+1} + s_{i+1}' \times f_{i+1} + \tau_{i+1}^* + r'_{i+1} \times f_{i+1}^* \quad (9.42)$$

ahol f_{i+1} és τ_{i+1} a (9.36) és (9.37) egyenletek által adott.

$i = 7$ esetén a manipulátor-kéz által egy *külső tárgyra* gyakorolt f_7^* erőt és τ_7^* nyomatékot kapjuk meg.

Mivel mindegyik csukló forgatást vált ki, a csuklómotorok által kifejtendő μ_{i+1} nyomaték nagysága megegyezik τ_{i+1} -nek az i -ik koordinátarendszer k_i tengelyére ($k = y$, ha a csukló billenő és $k = z$, ha a csukló csavaró típusu) vett vetületével:

$$\mu_{i+1} = k_i \tau_{i+1} \quad (9.43)$$

A manipulátor $i+1$ -ik tagjának mozgásegyenlet-rendszere tehát:

$$f_{i+1} = m_{i+1} \ddot{v}_{i+1} \quad (9.44)$$

$$\tau_{i+1} = \theta_{i+1} \dot{\omega}_{i+1} + \omega_{i+1} \times (\theta_{i+1} \omega_{i+1}) \quad (9.45)$$

$$\underline{f}_i^* = \underline{f}_{i+1} + \underline{f}_{i+1}^* \quad (9.46)$$

$$\underline{\tau}_i^* = \underline{\tau}_{i+1} + \underline{s}'_{i+1} \times \underline{f}_{i+1} + \underline{\tau}_{i+1}^* + \underline{r}'_{i+1} \times \underline{f}_{i+1}^* \quad (9.47)$$

$$\mu_{i+1} = \frac{k_i}{\underline{v}_{i+1}} \quad \underline{\tau}_{i+1} \quad (9.48)$$

ahol \underline{v}_{i+1}^s -t a (9.38), $\underline{\omega}_{i+1}$ -t a (9.3), $\underline{\dot{\omega}}_{i+1}$ -t a (9.8), $\underline{\dot{v}}_{i+1}$ -t a (9.14) egyenlet szerint kapjuk meg, $i = 1, \dots, 6$. \underline{s}'_{i+1} és \underline{r}'_{i+1} a manipulátor geometria által rögzített mennyiségek.

A (9.43) ... (9.48) egyenletekhez két kiegészítést kell tennünk:

1. A (9.39) és (9.40) egyenletekben a gravitáció hatását nem vettük figyelembe. Ezen úgy segíthetünk, ha

$$\underline{\dot{v}}_0 = \underline{g} \quad (9.49)$$

értékkel vesszük figyelembe a gravitációs gyorsulást.

A (9.14) és (9.38) egyenletekből látható, hogy a gravitáció hatása minden egyes kar-tag gyorsulásához hozzáadódik és így a (9.36) egyenleteknek megfelelően minden egyes \underline{f}_i erőben jelentkezik.

2. A (9.43) ... (9.48) egyenletek segítségével kiszámíthatjuk a szükséges csuklónyomatékokat bármely $q_i, \dot{q}_i, \ddot{q}_i$, $i = 1, \dots, 6$ esetében. Probléma azonban, hogy a (9.45) egyenletben a $\underline{\theta}_{i+1}$ inercia-tenzor $i+1$ -ik kar-tag térbeli helyzetének függvénye, vagyis a kar mozgása során változik. Ezt úgy oldjuk meg, hogy minden egyes tag

dinamikáját a saját koordinátarendszerében fejezzük ki. Az eljárás a következő:

A 3.-5. fejezetekben alkalmazott jelöléseknek megfelelően legyen $\underline{R}_{0,i}$ az alap és az i -ik csukló közötti transzformáció bal felső 3×3 -as partíciója, vagyis a forgatómátrix. Hasonlóan az $(i-1)$ -ik és i -ik csukló közötti forgatás mátrixa $\underline{R}_{i-1,i}$. Eszerint

$$\underline{R}_{0,i} = \underline{R}_{0,1} \underline{R}_{1,2} \cdots \underline{R}_{i-1,i} \quad (9.50)$$

és

$$\underline{R}_{0,i}^T = \underline{R}_{i-1,i}^T \cdots \underline{R}_{1,2}^T \underline{R}_{0,1}^T \quad (9.51)$$

a forgatómátrix transzponáltja.

A továbbiakban az \underline{f}_i , \underline{r}_i , \underline{f}_i^* , \underline{r}_i^* -ra vonatkozó (9.44)..., (9.48) egyenleteket, továbbá a $\dot{\underline{v}}_i^s$ (9.38), $\dot{\underline{\omega}}_i$ (9.3), $\underline{\omega}_i$ (9.8) és $\dot{\underline{v}}_i$ (9.14)-re vonatkozó egyenletekre az $\underline{R}_{0,1}^T$ transzformációt alkalmazzuk és az így transzformált mennyiségeket számítjuk ki:

$$\underline{R}_{0,i}^T \underline{f}_i = m_i \underline{R}_{0,i}^T \dot{\underline{v}}_i^s \quad (9.52)$$

$$\underline{R}_{0,i}^T \underline{r}_i = (\underline{R}_{0,i}^T \underline{\theta}_i \underline{R}_{0,i}) \underline{R}_{0,i}^T \dot{\underline{\omega}}_i + \underline{R}_{0,i}^T \underline{\omega}_i \times \left[(\underline{R}_{0,i}^T \underline{\theta}_i \underline{R}_{0,i}) \underline{R}_{0,i}^T \underline{\omega}_i \right] \quad (9.53)$$

$$\underline{R}_{0,i}^T \underline{f}_i^* = \underline{R}_{i,i+1} (\underline{R}_{0,i+1}^T \underline{f}_{i+1} + \underline{R}_{0,i+1}^T \underline{f}_{i+1}^*) \quad (9.54)$$

$$\underline{R}_{0,i}^T \underline{r}_i^* = \underline{R}_{i,i+1} \left[\underline{R}_{0,i+1}^T \underline{r}_{i+1} + \underline{R}_{0,i+1}^T \underline{s}'_{i+1} \times \underline{R}_{0,i+1}^T \underline{f}_{i+1} + \right. \\ \left. \underline{R}_{0,i+1}^T \underline{r}_{i+1}^* + \underline{R}_{0,i+1}^T \underline{r}'_{i+1} \times \underline{R}_{0,i+1}^T \underline{f}_{i+1}^* \right]$$

továbbá (9.38)-ből

$$\begin{aligned} \underline{R}_{0,i}^T \dot{\underline{v}}_{i+1}^s = \underline{R}_{i,i+1} \left[\underline{R}_{0,i}^T \underline{v}_i + \underline{R}_{0,i}^T \underline{\omega}_i \times \underline{R}_{0,i}^T \underline{s}'_{i+1} + \right. \\ \left. + \underline{R}_{0,i}^T \underline{\omega}_i \times (\underline{R}_{0,i}^T \underline{\omega}_i \times \underline{R}_{0,i}^T \underline{s}'_{i+1}) \right] \end{aligned} \quad (9.56)$$

(9.3)-ből

$$\begin{aligned} \underline{R}_{0,i+1}^T \dot{\underline{\omega}}_{i+1} = \underline{R}_{i,i+1} (\underline{R}_{0,i}^T \dot{\underline{\omega}}_i + \underline{R}_{0,i}^T \underline{k}_i \dot{\underline{q}}_{i+1}) = \\ = \underline{R}_{i,i+1} (\underline{R}_{0,i}^T \dot{\underline{\omega}}_i + \underline{k}_0 \dot{\underline{q}}_{i+1}) \end{aligned} \quad (9.57)$$

(9.8)-ből hasonló módon

$$\underline{R}_{0,i+1}^T \dot{\underline{\omega}}_{i+1} = \underline{R}_{i,i+1} (\underline{R}_{0,i}^T \dot{\underline{\omega}}_i + \underline{k}_0 \ddot{\underline{q}}_{i+1} + \underline{R}_{0,i}^T \underline{\omega}_i \times \underline{k}_0 \dot{\underline{q}}_{i+1}) \quad (9.58)$$

és (9.14)-ből

$$\begin{aligned} \underline{R}_{0,i+1}^T \dot{\underline{v}}_{i+1} = \underline{R}_{i,i+1} (\underline{R}_{0,i}^T \dot{\underline{v}}_i) + \underline{R}_{0,i+1}^T \dot{\underline{\omega}}_{i+1} \times \underline{R}_{0,i+1}^T \underline{r}'_{i+1} + \\ + \underline{R}_{0,i+1}^T \underline{\omega}_{i+1} \times (\underline{R}_{0,i+1}^T \underline{\omega}_{i+1} \times \underline{R}_{0,i+1}^T \underline{r}'_{i+1}) \end{aligned} \quad (9.59)$$

végül

$$\underline{\mu}_{i+1} = (\underline{R}_{0,i+1}^T \underline{k}_i) (\underline{R}_{0,i+1}^T \underline{r}'_{i+1}) \quad (9.60)$$

A (9.52), ... (9.60) egyenletekben

$\underline{R}_{O, i+1} \underline{s}'_{i+1}$ az $i+1$ -ik kar-tag súlypontjának helyvektora a saját koordinátarendszerében

$\underline{R}_{O, i+1}^T \underline{\theta}_{i+1} \underline{R}_{O, i+1}$ az $i+1$ -ik kar-tag tehetetlenségi tenzora az illető tag saját koordinátarendszerében

$$\underline{k}_O = \underline{z}_O = [0 \ 0 \ 1]^T \quad (9.61)$$

és a manipulátor geometriai paraméterei (3.7 ábra):

billenő típusu csukló esetén:

$$\underline{R}_{O, i+1}^T \underline{r}'_{i+1} = \begin{vmatrix} \sin q_{i+1} & b_{i+1} \\ \cos q_{i+1} & b_{i+1} \\ 0 & \end{vmatrix} \quad (9.62)$$

$$\underline{R}_{O, i+1}^T \underline{y}_i = \begin{vmatrix} \sin q_{i+1} \\ \cos q_{i+1} \\ 0 \end{vmatrix} \quad (9.63)$$

csavaró típusu csuklónál:

$$\underline{R}_{O, i+1}^T \underline{r}'_{i+1} = \begin{bmatrix} \sin q_{i+1} & b_{i+1} \\ 0 \\ \cos q_{i+1} & b_{i+1} \end{bmatrix} \quad (9.64)$$

$$\underline{R}_{O, i+1}^T \underline{z}_i = \begin{bmatrix} \sin q_{i+1} \\ 0 \\ \cos q_{i+1} \end{bmatrix} \quad (9.65)$$

Az i -ik csuklóban megkivánt μ_i nyomaték számításának menete tehát:

Bemenő adatok: $i, q_i, \dot{q}_i, \ddot{q}_i$ és az $(i-1)$ -ik csuklóra kiszámított $\underline{R}_{O,i-1}^T \underline{\omega}_{i-1}$, stb. értékek.

1. lépés: $\underline{R}_{O,i}^T \underline{\omega}_i, \underline{R}_{O,i}^T \dot{\underline{\omega}}_i, \underline{R}_{O,i}^T \dot{\underline{v}}_i$ kiszámítása (9.57),

(9.58) és (9.52) szerint

2. lépés: $\underline{R}_{O,i}^T \dot{\underline{v}}_i^S$ kiszámítása (9.56) szerint

3. lépés: $\underline{R}_{O,i}^T \underline{f}_i, \underline{R}_{O,i}^T \underline{\tau}_i$ kiszámítása (9.52), (9.53) szerint

4. lépés: $\underline{R}_{O,i}^T \underline{f}_i^*, \underline{R}_{O,i}^T \underline{\tau}_i^*$ kiszámítása (9.54), (9.55) szerint

5. lépés: az μ_i csuklónyomaték kiszámítása (9.60) szerint.

10. SZABÁLYOZÁS

10.1. A SZABÁLYOZÁS CÉLJA ÉS MÓDSZERE

A robot alkalmazás gazdaságosságának egyik döntő meghatározója az egységnyi idő alatt végzett műveletek száma, amit a manipulátor ciklusidejének is szokás nevezni. A ciklusidő csökkenését a manipulátor pályasebességének növelésével érhetjük el. A jelenlegi manipulátorok sebességét általában az alkalmazott szabályozók korlátozzák: a ma használatos ipari manipulátorokban minden egyes csuklót külön-külön, rögzített paraméterű, analóg szabályozóval látnak el. Az ilyen szabályozók független, állandó tehetetlenségű és csillapításu, másodrendű rendszerek szabályozására alkalmasak, esetünkben azonban erősen nemlineáris, időben változó paraméterekkel jellemezhető a szabályozandó berendezés. Így az említett egyszerű szabályozókkal csak akkor érhetünk el megfelelő eredményt, ha a csuklókat működtető motorok erősen túlméretezettek és a szabályozandó berendezés paraméterei a geometriai konfiguráció változása (a kar mozgása) során nem változnak túl hirtelen. Ez utóbbi feltétel csak a mozgástér bizonyos részein, az u.n. szinguláris helyzetektől távol tartható és csupán kis pályasebességeknél. Nagyobb sebességeknél azonban az alábbi problémák lépnek fel:

1. - változik a hatásos tehetetlenségi nyomaték;
2. - az egyes kar-tagok tehetetlenségi nyomatékai kölcsönhatásba kerülnek;
3. - a Coriolis féle erők hatása nem lesz elhanyagolható.

Ezekon kívül számos más, a sebességet befolyásoló tényező is van, mint a manipulátor szilárdsága, a motorok teljesítménye,

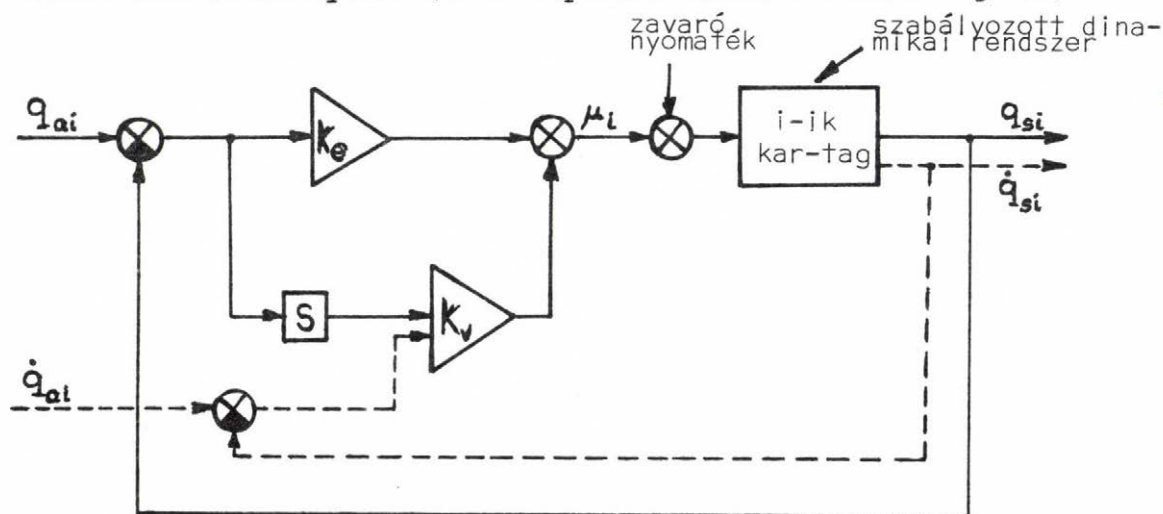
ezek azonban a fentiekhez képest nem korlátozó jellegűek.

Az 1., 2., 3. sebességkorlátozó tényezők hatásának csökkentése érdekében a továbbiakban olyan, a számítógépes (digitális) szabályozás adta lehetőségeket kihasználó szabályozó algoritmust ismertetünk, amely figyelembe veszi a szabályozott mechanikai rendszer időben változó tulajdonságait, ugyanakkor a ma rendelkezésre álló számítási eszközök lehetőségeit is.

A manipulátor-szabályozó feladata, hogy a kívánt kéz-pozíciók és a pillanatnyi csukló-pozíciók és sebességek ismeretében létrehozza a pozícióhiba megszüntetéséhez szükséges csuklómotor-nyomatékokat.

A szabályozási kör kialakítására többféle lehetőségünk adódik, amelyeket az alábbiakban diagramok formájában foglalunk össze.

1. Tengelyenként független, visszacsatolt, fix paraméterű szabályozási kör, amely egy állandó, másodrendű mechanikai rendszert szabályoz: (s a Laplace transzformáció jele)



10.1. ábra

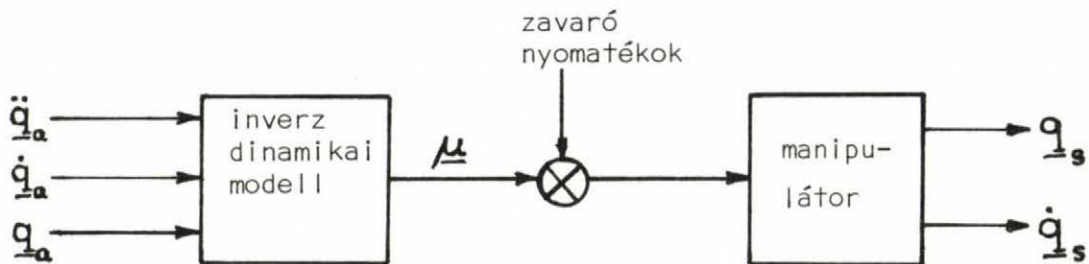
alapjel: q_{ai} előírt csuklósög-pozíció
szabályozott

jellemző: q_{si} tényleges csuklósög-pozíció

visszacsatolás: q_{si} , esetleg \dot{q}_{si} is, (szaggatott hurok) a rendelkezésre álló érzékelőktől függően

alkalmazás: analóg szabályozásu ipari robotok

2. Nyílt-hurku vezérlés a manipulátor előre (off-line) kiszámított modelljével. A modellt inverz rendszernek is szokás nevezni [Horn, 1977].



10.2. ábra

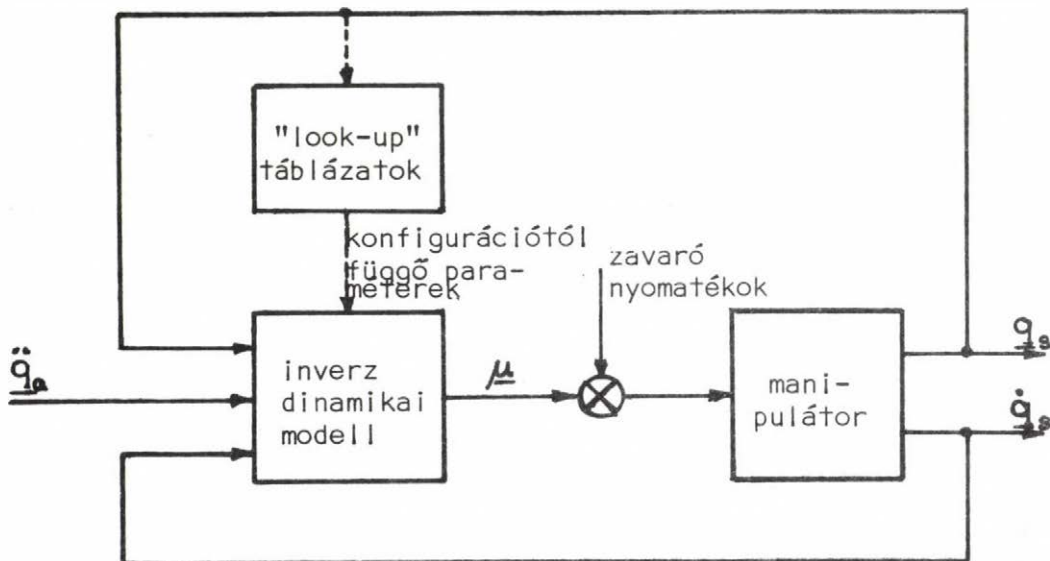
alapjel: $q_a, \dot{q}_a, \ddot{q}_a$

vezérelt

jellemző: q_s, \dot{q}_s

alkalmazás: ahol on-line modellszámítás nem lehetséges a modell bonyolultsága és/vagy a számítógép kis kapacitása miatt.

3. Nyílt hurku vezérlés, amely az aktuális csuklószögpozíciókból és sebességekből on-line számolja az inverz modellt. A dinamikai modell konfigurációtól függő paramétereinek meghatározását táblázatos módszerrel lehet gyorsítani:



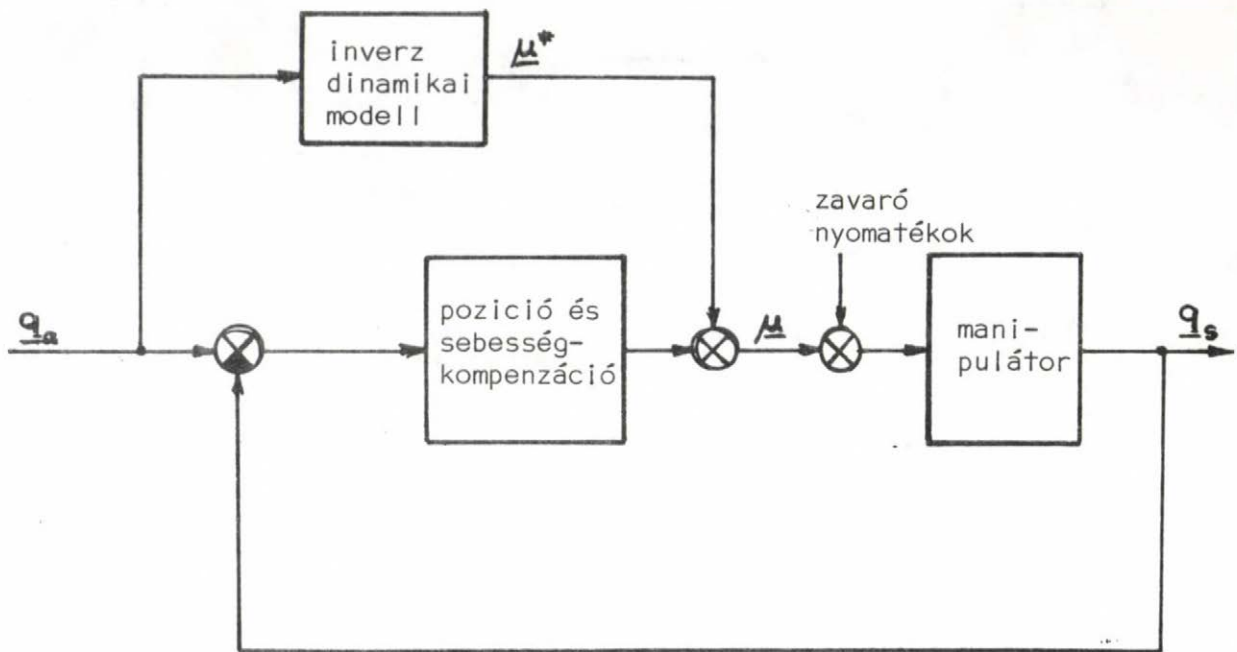
10.3. ábra

alapjel: \ddot{q}_a

vezérelt jellemző: q_s, \dot{q}_s

alkalmazás: [Albus, 1975] (táblázatos módszer)

4. Csuklószögpozíciók és sebességek on-line, visszacsatolt szabályozása. A csuklószögpozíciókban és sebességekben mutatkozó hibát kompenzáló visszacsatolással lehet csökkenteni.



10.4. ábra

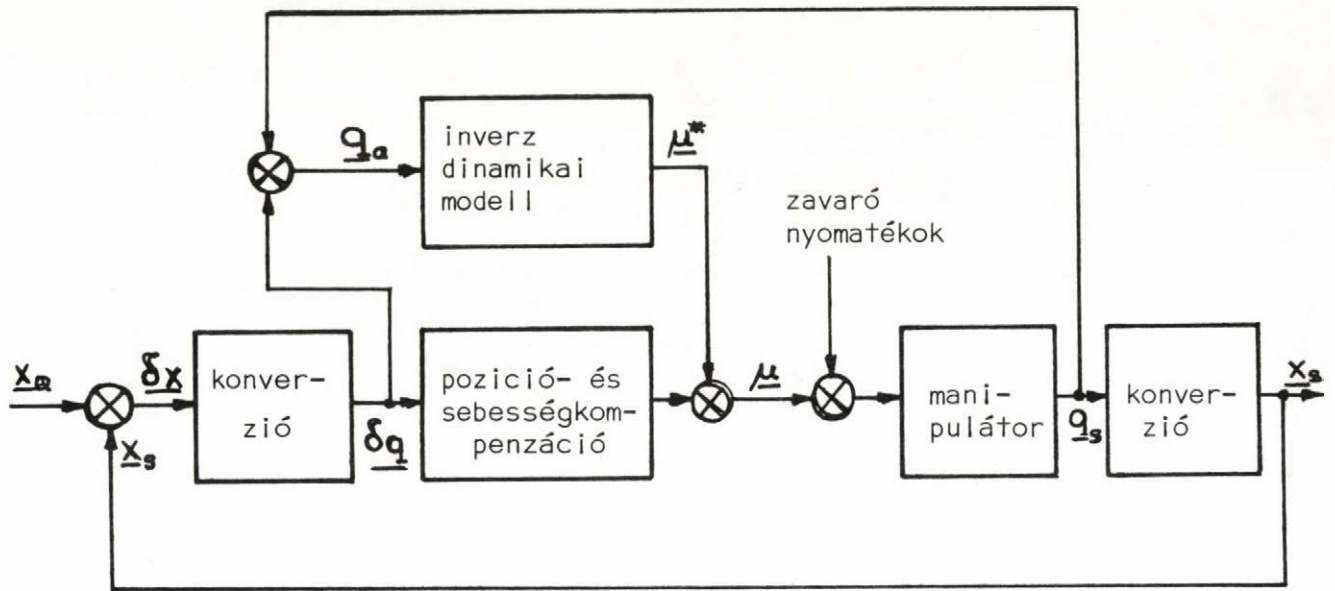
alapjel: q_a

szabályozott jellemző: q_s

visszacsatolás: q_s

alkalmazás: [Horn, 1977] (a modellszámítás részben táblázatos)

5. A kéz-koordináták (\underline{x}) on-line, visszacsatolt szabályozása. Az $\underline{x} \rightarrow \underline{q}$ konverziót, a dinamikai modell számítását és a $\underline{q} \rightarrow \underline{x}$ konverziót on-line, valós időben kell elvégezni. A szabályozás közvetlenül a kéz-koordinátákra irányul, ami a manipulációs feladat végrehajtása szempontjából előnyös.



10.5. ábra

alapjel: \underline{x}_a

szabályozott jellemző: \underline{x}_s

visszacsatolás: $\underline{x}_s, \underline{q}_s$

alkalmazás: [Takase, 1977], [Paul&al, 1979],
[Renaud, 1975]

10.2. CSUKLÓSZÖGEK SZABÁLYOZÁSA

A szabályozó algoritmusok egyik csoportjában a szabályozott jellemzők a $q_i, i=1, \dots, 6$ csuklósögek, illetve a \dot{q}_i csukló-szögsebességek. Ilyen például a 2.1.1. pontban ismertetett módszer [Whitney, 1972], az un. "resolved rate control", ahol a kézre előirt pozíciókat és sebességeket előbb csuklópozíciókká és sebességekké számítják át és ez utóbbiakat szabályozzák. Csuklónkénti pozíciószabályozást ismertet [Paul, 1972]: a megoldás egy ma már hagyományosnak

tekinthető számítógépes, mintavételes szabályozás, ahol azonban a hurokerősítést, a gravitációtól függő paramétereket és a csuklókra ható nyomatékokat a kar konfigurációtól függően változtatják az alábbi módon:

A leolvasott q_{si} és a pályaszámító programtól érkező q_{ai} szögpozíciók különbsége adja a pozícióhibát, amit pozícióvisszacsatolással lehet csökkenteni. A sebességvisszacsatolással pedig megfelelő csillapítást lehet elérni. Az adott kar-tagot $1/(\theta_i s^2)$ -tel jellemezhetjük, ahol s a Laplace transzformáció jele, θ_i az adott kar-tag effektív tehetetlenségi nyomatéka. $\tau_i(s)$ a külső (zavaró) nyomaték. A pozícióhiba $e_i(s) = q_{si} - q_{ai}$, a sebességhiba pedig $s \cdot e_{si}$. A pozíciónak és sebességnek megfelelően k_e és k_v a két visszacsatolási tényező.

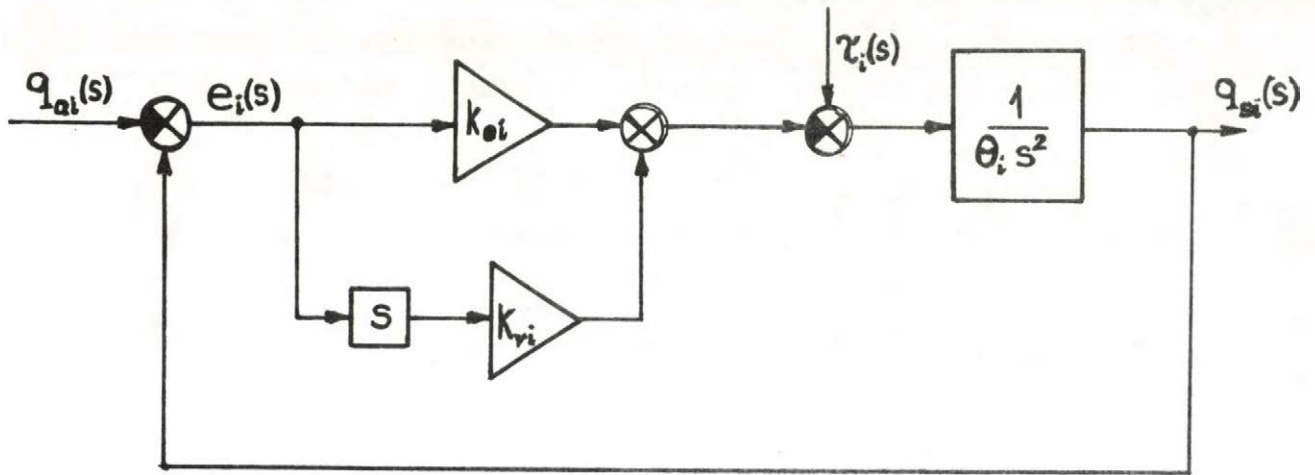
A hurokegyenlet:

$$e_i(s) = \frac{-s^2 \theta_i}{s^2 \theta_i + s k_v + k_e} q_a(s) + \frac{1}{s^2 \theta_i + s k_v + k_e} \tau_i(s) \quad (10.1)$$

és a kritikus csillapítás:

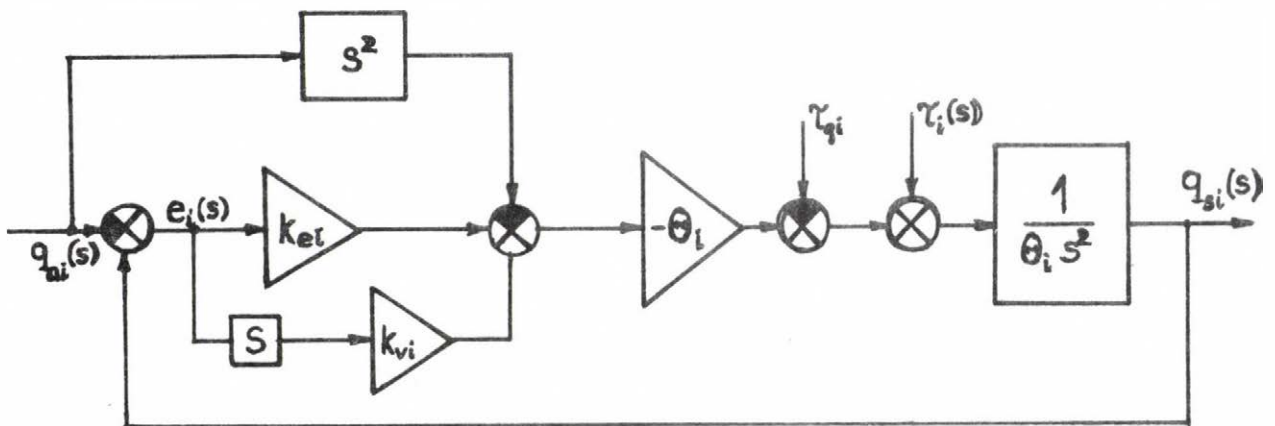
$$k_{vi} = 2 (\theta_i \cdot k_{ei})^{1/2} \quad (10.2)$$

A (10.1)-nek megfelelő szabályozási kör a 10.6. ábrán látható.



10.6. ábra

A 10.1 szerinti szabályozásban a nehézséget az okozza, hogy a rendszer válasza függ a kar-tag θ_i tehetetlenségi nyomatékától, a külső zavaró nyomatékoktól és a kar-tag gyorsulásától. E hatások kompenzálására alkalmas szabályozási kört mutat a 10.7. ábra. A kompenzált rendszer hurokegyenlete (10.3).



10.7. ábra

$$e_i(s) = \frac{1}{s^2 + sk_{vi} + k_{ei}} \cdot \frac{\tau_i - \tau_{gi}}{\theta_i} \quad (10.3)$$

A 10.2. ábrából látható, hogy a változó tehetetlenségi nyomaték hatását egy $(-\theta_i)$ erősítés bevezetésével kompenzáltuk, miáltal a kritikus csillapítás

$$k_v = 2 \cdot (k_e)^{1/2} \quad (10.4)$$

az időben változó paraméterektől függetlenné válik.

A zavaró külső nyomatékok közül a legfontosabb a gravitációból származó nyomaték, amit a $-\tau_g$ nyomaték hozzáadásával kompenzáltunk.

A gyorsulás hatását az $s^2 q_a(s)$ tag hozzáadásával kompenzáltuk. A kompenzált szabályozási kör megvalósításához szükségünk van a θ_i és τ_{gi} paraméterekre. Ehhez a manipulátort a Coriolis-erők és a gravitációs nyomatékokon kívül fellépő egyéb zavaró nyomatékok hatását elhanyagolva, a

$$\mu_i = \theta_i \ddot{q}_i + \tau_{gi} \quad (10.5)$$

modellel jellemezzük. [Paul, 1972] az alábbi összefüggéseket adja a keresett paraméterekre:

$$\theta_i = \sum_{j=1}^6 \text{Tr} (\underline{U}_{ji} \cdot \underline{H}_j \cdot \underline{U}_{ji}^T) \quad (10.6)$$

$$\tau_{gi} = - \sum_{j=1}^6 m_j \underline{g}^T \cdot \underline{U}_{ji} \cdot \underline{s}'_j \quad (10.7)$$

ahol \underline{H}_j a j -ik kar-tag u.n. pszeudo tehetetlenségi mátrixa,

$$\underline{U}_{ji} = \underline{A}_{0,1} \cdot \underline{A}_{1,2} \cdots \underline{A}_{i-2,i-1} \cdot \underline{Q} \cdot \underline{A}_{i-1,i} \cdots \underline{A}_{j-1,j}$$

$$\underline{Q} = \begin{bmatrix} 0 & -1 & 0 & 0 \\ 0 & 0 & 0 & 0 \\ 0 & 0 & 0 & 0 \\ 0 & 0 & 0 & 0 \end{bmatrix}$$

$$\underline{A}_{i-1,i} = (3.4) \text{ kifejezés}$$

$$\underline{g}^T = [0 \ 0 \ g \ 0]$$

m_j a j -ik tag tömege

\underline{s}'_j a j -ik tag súlypontjának pozícióvektora a j -ik tag saját koordinátarendszerében (9.2.ábra)

Látható, hogy θ_i és τ_{gi} kiszámítása még így is meglehetősen összetett feladat, ugyanakkor a sebességfüggő komponensek és a csuklók dinamikus kölcsönhatásának elhanyagolása sem feltétlenül jogos. Ezért a 10.3 pontban egy olyan szabályozási algoritmust tekintünk át, amely a 9.3.2. pontban felállított, a fenti elhanyagolásoktól mentes dinamikai modellre támaszkodik.

10.3. A KÉZ POZÍCIÓJÁNAK ÉS ORIENTÁCIÓJÁNAK DIREKT SZABÁLYOZÁSA

A manipulátorvezérlés elsődleges célja, hogy a robotkéz a kijelölt pályát kövesse. Ennek megfelelően célszerű, ha a

10.2. pontban ismertetett "hagyományos" módszerrel szemben nem a csuklósögeket, hanem közvetlenül a robotkéz pozícióját és orientációját szabályozzuk. [Renaud, 1979], [Takase, 1979], [Paul&al, 1979]

A szabályozási kör összeállításának érdekében mind a kéz pozíció, mind pedig a kéz orientáció hibáját definiálnunk kell. Elsőként a kéz pozícióhibáját definiáljuk.

Mivel a manipulátor előre megtervezett pályát követ, a trajektória minden pontjában rendelkezésünkre áll a kéz kívánt pozíciója (\underline{r}_a), sebessége (\underline{v}_a) és gyorsulása ($\dot{\underline{v}}_a$), amelyeket szabályozástechnikailag alapjeleknek tekintünk. A szabályozott kéz-gyorsulást ($\dot{\underline{v}}_6$) a következőképp írhatjuk fel:

$$\dot{\underline{v}}_6 = \dot{\underline{v}}_a + k_1 (\underline{v}_a - \underline{v}_6) + k_2 (\underline{r}_a - \underline{r}_6) \quad (10.8)$$

Igy a kéz pozícióhibájára ($\underline{r}_a - \underline{r}_6$) vonatkozó egyenlet:

$$d^2 (\underline{r}_a - \underline{r}_6) / dt^2 + k_1 [d(\underline{r}_a - \underline{r}_6) / dt] + k_2 (\underline{r}_a - \underline{r}_6) = 0 \quad (10.9)$$

Ha k_1 -t és k_2 -t úgy választjuk meg, hogy a (10.9) egyenlet karakterisztikus gyökei a komplex sík bal felére essenek, akkor a pozícióhiba aszimptotikusan nullához fog közelíteni.

A kéz orientációhibájának egy lehetséges definíciója:

$$\Delta \underline{n} = \underline{n} \sin \vartheta \quad (10.10)$$

ahol \underline{n} az az egységvektor, amely körül a kéz koordináta-rendszerét ϑ szöggel elforgatva az egybe fog esni az elő-irt kéz-koordinátairányokkal. Ha egy \underline{x}_1 vektort \underline{n} körül ϑ szöggel az \underline{x}_2 pozícióba forgatunk, akkor Euler tétele szerint:

$$\underline{x}_2 = \underline{x}_1 \underline{N} \quad (10.11)$$

ahol $\underline{N} = \exp(\underline{K}_{\underline{n}} \vartheta)$ (10.12)

$$\underline{K}_{\underline{n}} = \begin{bmatrix} 0 & -n_z & n_y \\ n_z & 0 & -n_x \\ -n_y & n_x & 0 \end{bmatrix} \quad (10.13)$$

n_x, n_y, n_z az \underline{n} vektor komponensei, továbbá

$$\exp(\underline{K}_{\underline{n}} \vartheta) = \underline{I} \cos \vartheta + \underline{n} \underline{n}^T (1 - \cos \vartheta) + \underline{K}_{\underline{n}} \sin \vartheta \quad (10.14)$$

\underline{I} az egységmátrix

\underline{n}^T az \underline{n} vektor transzponáltja

Legyenek az \underline{N} mátrix komponensei $[n_{i,j}]$, $i, j = 1, 2, 3$, ekkor (10.12)-ből és (10.14)-ből következik, hogy

$$\cos \vartheta = 1/2 (n_{11} + n_{22} + n_{33} - 1) \quad (10.15)$$

és

$$2 \underline{n} \sin\theta = \begin{bmatrix} n_{32} - n_{23} \\ n_{13} - n_{31} \\ n_{21} - n_{12} \end{bmatrix} = \underline{x}_1 \times \underline{x}_2 + \underline{y}_1 \times \underline{y}_2 + \underline{z}_1 \times \underline{z}_2 \quad (10.16)$$

A kéz előirt pozícióját az (1.1)-nek megfelelően egyetlen, homogén koordinátás transzformációs mátrixba tudjuk foglalni:

$$\underline{H} = \left[\begin{array}{c|c|c|c|c} \underline{n} & \underline{o} & \underline{k} & \underline{r} & \\ \hline 0 & 0 & 0 & 1 & \end{array} \right] \quad (10.17)$$

Az \underline{n} , \underline{o} , \underline{k} orientációvektorok a 3. fejezetben ismerttetett α , β , γ Euler szögek által vannak definiálva. (4.2)-t kibővítvé kapjuk:

$\underline{H} =$

$$\left[\begin{array}{c|c} \text{I} & \begin{array}{c} x \\ y \\ z \\ 1 \end{array} \\ \hline 0 & 0 & 0 & 1 \end{array} \right] \left[\begin{array}{ccc|c} c\alpha & -s\alpha & 0 & 0 \\ s\alpha & c\alpha & 0 & 0 \\ 0 & 0 & 1 & 0 \\ 0 & 0 & 0 & 1 \end{array} \right] \left[\begin{array}{ccc|c} c\beta & 0 & s\beta & 0 \\ 0 & 1 & 0 & 0 \\ -s\beta & 0 & c\beta & 0 \\ 0 & 0 & 0 & 1 \end{array} \right] \left[\begin{array}{ccc|c} c\gamma & -s\gamma & 0 & 0 \\ s\gamma & c\gamma & 0 & 0 \\ 0 & 0 & 1 & 0 \\ 0 & 0 & 0 & 1 \end{array} \right]$$

(10.18)

tehát x , y , z , α , β , γ ismeretében \underline{H} -t elő tudjuk állítani. A Δn orientáció hibát úgy számíthatjuk ki, hogy a \underline{H} mátrix \underline{n} , \underline{o} , \underline{k} vektorait megfeleltetjük az előirt \underline{x}_a , \underline{y}_a , \underline{z}_a orientációvektoroknak és felhasználva (10.10)-t és (10.16)-t:

$$\Delta \underline{n} = (\underline{x}_6 \times \underline{x}_a + \underline{y}_6 \times \underline{y}_a + \underline{z}_6 \times \underline{z}_a) / 2 \quad (10.19)$$

Az orientációhiba kiküszöböléséhez a (10.19) által definiált $\Delta \underline{n}$ vektor körül kell ϑ szöggel elfordítanunk a kezét. Ehhez a kéz $\underline{\omega}_6$ szögsebességvektorának $\Delta \underline{n}$ -nel egyező irányba kell mutatnia, ezért az $\dot{\underline{\omega}}_6$ kéz-szöggyorsulás célszerű megválasztása:

$$\dot{\underline{\omega}}_6 = \dot{\underline{\omega}}_a + k_1 (\underline{\omega}_a - \underline{\omega}_6) + k_2 \Delta \underline{n} \quad (10.20)$$

A kéz gyorsulást és szöggyorsulást egyetlen $\dot{\underline{w}}_s = [\dot{\underline{v}}_6, \dot{\underline{\omega}}_6]^T$ vektorba, a szabályozott jellemzők vektorába foglalva:

$$\begin{aligned} \dot{\underline{w}}_s &= \\ &= \begin{bmatrix} \dot{\underline{v}}_a + k_1 (\underline{v}_a - \underline{v}_6) + k_2 (\underline{r}_a - \underline{r}_6) \\ \dot{\underline{\omega}}_a + k_1 (\underline{\omega}_a - \underline{\omega}_6) + k_2 \Delta \underline{n} \end{bmatrix} = \dot{\underline{w}}_a + k_1 (\underline{w}_a - \underline{w}_s) + k_2 \underline{e} \end{aligned} \quad (10.21)$$

ahol

$$\underline{e} = \begin{bmatrix} \underline{r}_a - \underline{r}_6 \\ \Delta \underline{n} \end{bmatrix} \quad (10.22)$$

Másrészt (9.21) szerint:

$$\underline{w}_s = \underline{J} \ddot{\underline{q}} + (d\underline{J}/dt) \dot{\underline{q}} \quad (10.23)$$

(10.21)-t (10.23)-mal összevetve és (9.19)-t behelyettesítve kapjuk:

$$\ddot{\underline{q}} = -k_1 \dot{\underline{q}} + \underline{J}^{-1} [\dot{\underline{w}}_a + k_1 \underline{w}_a + k_2 \underline{e} - (d\underline{J}/dt) \dot{\underline{q}}] \quad (10.24)$$

$\ddot{\underline{q}} = [\ddot{q}_1, \dots, \ddot{q}_6]^T$ -at az előírt kéz-pozíciókból, sebességekből és gyorsulásokból (10.24) szerint kiszámítva és \underline{q} -t illetve $\dot{\underline{q}}$ -ot a csuklókba épített szögpozíció- és szögsebességérzékelőkkel (potenciométerek vagy optikai kódadók illetve tachométerek) megmérve a 9.3.2 pontban leírtak szerint számítjuk ki az egyes csuklókra adandó pillanatnyi nyomatékokat. Az algoritmus elvi vázlata a 10.8 ábrán látható.

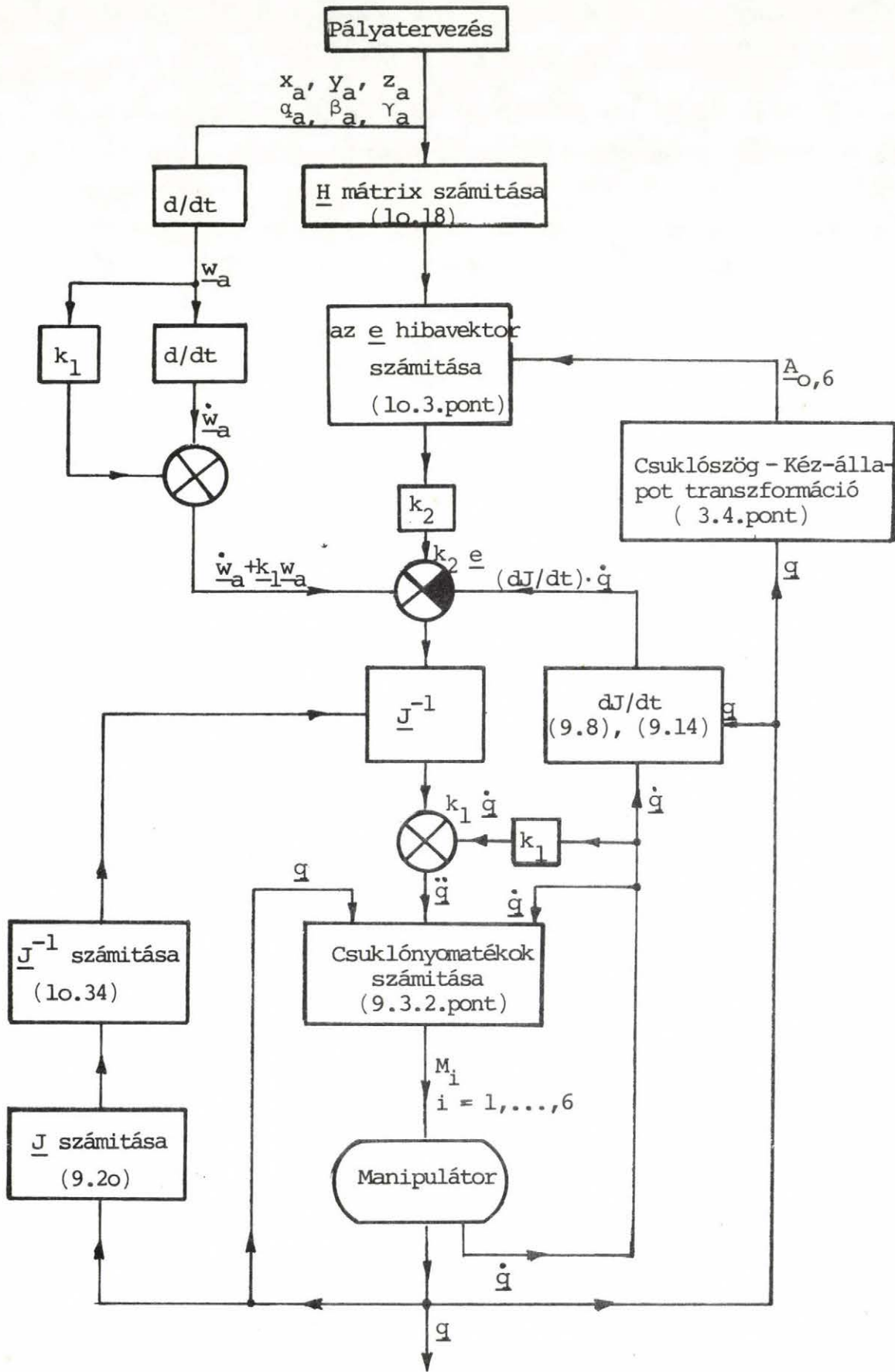
A (10.24) összefüggésben a \underline{J} mátrixot (9.20) szerint, a $(\underline{dJ}/\underline{dt})$ mátrixot pedig a (9.8) és (9.14) egyenletektől, a \ddot{q}_i -t tartalmazó tagok elhagyásával tudjuk kiszámítani.

A \underline{J} mátrix direkt invertálása nagy technikai nehézségekbe ütközik, mivel \underline{J} elemei a csuklőszögektől igen összetett módon függenek. [Paul al., 1979] alapján az alábbi megoldás gyorsan célhoz vezet. \underline{J} -t felírjuk a következő alakban:

$$\underline{J} = \begin{bmatrix} \underline{R}_{0,3} & | & \underline{0} \\ \hline \underline{0} & | & \underline{R}_{0,3} \end{bmatrix} * \begin{bmatrix} \underline{I} & | & -\underline{K}_n \\ \hline \underline{0} & | & \underline{I} \end{bmatrix} * \begin{bmatrix} \underline{0} & | & \underline{A} \\ \hline \underline{B} & | & \underline{C} \end{bmatrix} \quad (10.25)$$

ahol $\underline{0}$ a 3 x 3-as nullmátrix, \underline{I} a 3 x 3-as egységmátrix, \underline{K}_n ugyanaz, mint a (10.13)-ban,

$$\underline{n} = \begin{bmatrix} n_x \\ n_y \\ n_z \end{bmatrix} = \underline{R}_{0,3}^T (\underline{r}_6 - \underline{r}_3) \quad (10.26)$$



A kéz állapotát szabályozó algoritmus

és

$$\underline{A} = \begin{bmatrix} -b_3 s_2 & 0 & 0 \\ -b_2 c_2 & b_3 & 0 \\ -b_2 s_2 & 0 & 1 \end{bmatrix} \quad (10.27)$$

$$\underline{B} = \begin{bmatrix} 0 & -s_4 & c_4 s_5 \\ 0 & c_4 & s_4 s_5 \\ 1 & 0 & c_5 \end{bmatrix} \quad (10.28)$$

$$\underline{C} = \begin{bmatrix} 0 & -1 & 0 \\ -s_2 & 0 & 0 \\ c_2 & 0 & 0 \end{bmatrix} \quad (10.29)$$

és

$$\underline{N} = \left[\begin{array}{c|c} \underline{O} & \underline{A} \\ \hline \underline{B} & \underline{C} \end{array} \right] \quad (10.30)$$

ahol $s_j = \sin q_j$, $c_j = \cos q_j$, b_j -t lásd a 3.7 ábrán.

(9.81)-ből

$$\underline{N}^{-1} = \left[\begin{array}{c|c} -\underline{B}^{-1} \underline{C} \underline{A}^{-1} & \underline{B}^{-1} \\ \hline \underline{A}^{-1} & \underline{O} \end{array} \right] \quad (10.31)$$

ahol

$$\underline{A}^{-1} = - \frac{1}{s^2 b_3^2} \begin{bmatrix} b_3 & 0 & 0 \\ b_2 c_2 & -b_3 s^2 & 0 \\ b_2 b_3 s^2 & 0 & -s^2 b_3^2 \end{bmatrix} \quad (10.32)$$

$$\underline{B}^{-1} = \frac{1}{s^5} \begin{bmatrix} -c_4 c_5 & -s_4 c_5 & s_5 \\ -s_4 s_5 & c_4 s_5 & 0 \\ c_4 & s_4 & 0 \end{bmatrix} \quad (10.33)$$

és a \underline{J} mátrix inverze (9.62)-ből:

$$\underline{J}^{-1} = \left[\begin{array}{ccc|c} \underline{B}^{-1} \underline{C} \underline{A}^{-1} & & & \underline{B}^{-1} \\ \hline & \underline{A}^{-1} & & \underline{0} \end{array} \right] * \left[\begin{array}{c|c} \underline{I} & \underline{K}_n \\ \hline \underline{0} & \underline{I} \end{array} \right] * \left[\begin{array}{c|c} \underline{R}_{0,3}^T & \underline{0} \\ \hline \underline{0} & \underline{R}_{0,3}^T \end{array} \right] \quad (10.34)$$

11. ÖSSZEFOGLALÁS

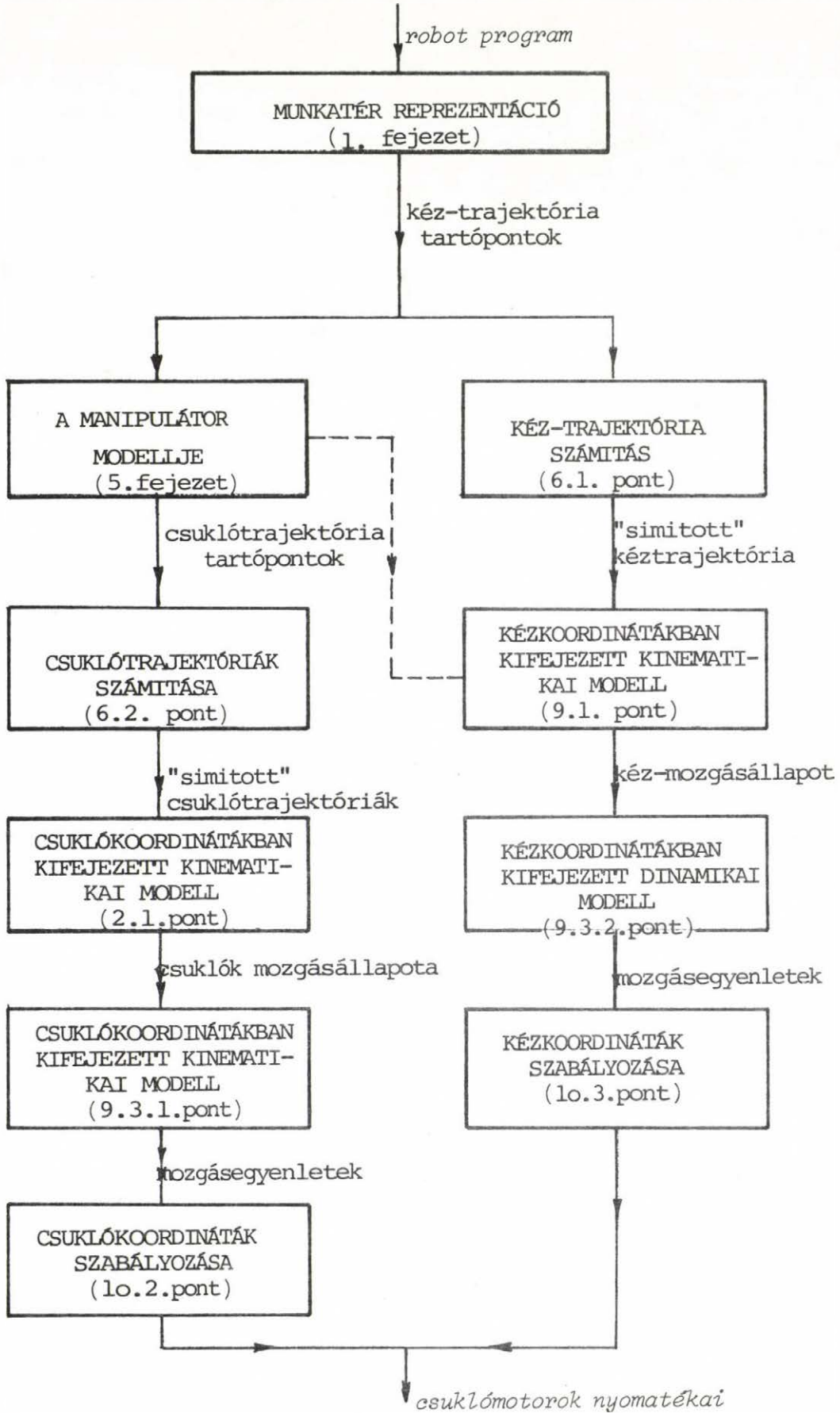
11.1. A TÁRGYALT MÓDSZEREK KAPCSOLATA

A dolgozatban tárgyalt számítási eljárások logikai kapcsolatát az 11.1. ábra szemlélteti. Látható, hogy a csuklónyomatékok meghatározásához kétféle uton juthatunk el, amelyeket a folyamatábra két ága szemléltet.

A csuklómotor nyomatékok meghatározásának egyik lehetséges módja az, amikor a kéz-koordinátákban definiált manipulátor-mozgáspályát először csuklókoordinátákban (q_1) kifejezett trajektóriákká transzformáljuk (5. fejezet), majd a 6.2. pontban ismertetett módon, a csuklótrajektóriákat polinomokkal közelítve meghatározzuk a kívánt csuklószögsebességeket és szöggyorsulásokat. A pozíciószabályozást a rendelkezésre álló real-time számítási kapacitástól és szabályozó elektronikától függően a 10.1...10.4. ábrán látható módszerek valamelyikével valósíthatjuk meg. A 10.2 pont ennek egy lehetséges megoldását mutatta be.

A 10.3. pontban egy olyan szabályozó algoritmust ismertettünk, amelynek segítségével a csukló-gyorsulásokat, s ezen keresztül a csuklómotoroktól megkívánt nyomatékokat közvetlenül a robotkéz kívánt pozíciójából és orientációjából lehet meghatározni egyetlen transzformációs műveletsorozattal, amit a (10.24) egyenlet fejez ki. A pozíciószabályozás a 10.5 ábrán bemutatott elven történik.

A csuklókoordinátákban végzett szabályozás előnye az, hogy jobban alkalmazkodhat a rendelkezésre álló szabályozó elektronikához, illetve a valós idejű számítások szempontjából ke-



11.1. ábra

véssé hatékony számítási eszközökhöz is, főképpen pedig lehetővé teszi a csuklószőgek elosztott, csuklónként dedikált eszközökkel történő szabályozását. Ez a módszer ugyanakkor igen sok közelítést feltételez (táblázatos modellszámítás, külső erők, nyomatékok, Coriolis erők elhanyagolása, stb.), továbbá a kéz pozícióját és orientációját csak közvetve szabályozza. A kéz-koordináták közvetlen szabályozására ("feladat-orientált szabályozás") javasolt algoritmus mentes a fenti közelítések okozta hibáktól és gyors számítási eszközök használata esetén jó minőségű, gyors manipulátormozgást biztosít.

11.2. A DOLGOZAT EREDMÉNYEI

1. A dolgozat *összefoglalja és rendszerezi* az automatizált manipulátor-irányításban alkalmazható *számítási módszereket*. Ismerteti és logikai kapcsolatba hozza az irányítás egyes részfeladatait megoldó módszereket. *Két, alternatív koncepció* algoritmusait tárgyalja a robot programozásától a csuklómotor-nyomatékok számításáig. Az irodalmi forrásokat e két koncepció ("feladat-orientált", illetve "manipulátor-orientált" irányítás) szempontjából értékeli, s ezzel a témakör újszerű megközelítését adja.
2. A dolgozat *egységes tárgyalásmódot* és formalizmust alkalmaz az egymásra épülő algoritmusok ismertetésében. Ez lényeges szempont, tekintve hogy a témakör irodalmában meglehetősen sokféle megközelítéssel találkozhatunk. A tárgyalásmódban lényeges szerepet kap a *Denavit-Hartenberg mátrixok*, illetve a homogén koordinátás leírások alkalmazása.

3. A dolgozat a tárgyalt manipulátorirányító módszereket egy 6 csuklós manipulátorra (COROHAND) *adaptálja* és ismerteti a részben irodalmi forrásokon alapuló, részben a szerző által kifejlesztett konkrét, egymásra épülő és egységes manipulátorirányító rendszert alkotó algoritmusokat, amelyek összességükben alapot adnak a számítógépes irányító software elkészítéséhez.
4. A szerző *eljárást* dolgozott ki a kéz-koordináták csuklósögekké történő transzformálására (5.fejezet) a COROHAND esetében. Ezt az algoritmust *számítógépen* (R10) és *mikroszámítógépen* is (M6800) *implementálta*. Az eredmény egy mozgásszimulációs programcsomag segítségével vizsgálható. (8.fejezet)
5. A dolgozat összefüggéseket ismertet a *csuklósögek időbeli változásának approximációjára*, ami lehetővé teszi a csukló-hajtómotorok okozta fizikai korlátozások figyelembevételét. (6.fejezet)
6. A dolgozat új problémaként veti fel a kéz-pozicionálásal kapcsolatos *hibaszámítást*. A szerző által kidolgozott összefüggések *leírják* a csuklópozicionálás bizonytalanságának hatását a robotkéz állapotára, valamint a kéz pályájára előirt pontosság által előirt korlátokat a csuklók pozicionálási hibáira. (7.fejezet)
7. A dolgozat egységes keretbe foglalja a manipulátor *kinetika, dinamika és szabályozás* kérdését. Rendszerezi az irodalomban található különféle szabályozási módszereket és bemutatja a korábban felállított modellek alkalmazását az egyes szabályozási megoldásokban. (10. fejezet)

Hangsúlyos szerepet kap a *csuklókra* illetve a *kézre orientált* modellek és szabályozás szétválasztása, mivel ezek a problémakör megközelítésének két, alternatív lehetőségét képezik. (10. fejezet)

I R O D A L O M

- Albus, J.S.: A New Approach to Manipulator Control: The Cerebellar Model Articulation Controller /CMAC/, Trans. ASME, Sept. 1975
- Ambler, A.P.; R.J. Popplestone: Inferring the Positions of Bodies from Specified Spatial Relationships, Artificial Intelligence 6 /1975/
- Báthor M.: MODBUIL - Kezelési utmutató, MTA-SzTAKI, 1978
- Báthor M., Siegler A.: Grafikus modellező és mozgásszimulációs rendszer gépipari alkalmazásokhoz, COMPCONTROL, Sopron, 1979
- Budó Á.: Mechanika, Tankönyvkiadó, 1965
- Denavit, J., R.S. Hartenberg: Kinematic Synthesis of Linkages, Chapt.12, McGraw-Hill, 1964
- Fock, K., Laczházi G., Antos G., Zilahi F.: Multicomponent force measurement for computer-aided control of intelligent robots, Proc. of the Int. Conf. on Artificial Intelligence and Information Control Systems of Robots, Smolenice, 1980
- Hewitt, J.R.: Decoupled Feedback Control of Robot and Manipulator Arms, 3rd CISM-IFTOMN International Symp. on the Theory and Practice of Robots and Manipulators, Udine, Sept. 1978
- Horn, B.K.P., H. Inoue: Kinematics of the MIT-AI-VICARM Manipulator, Working Paper 69, MIT-AI Laboratory, 1974
- Horn, B.K.P., M.H. Raibert: Configuration Space Control, MIT-AI Memo No. 458, Dec. 1977
- Konstantinov, M.S.: Inertia Forces of Robots and Manipulators, Mechanism and Machine Theory, 1977, pp.387-401
- McCallion, H., P.D. Truong: On measuring errors in a placement task, The Industrial Robot, June 1977
- Moe, M.L., J.T. Schwarz: Control of the Rancho Electric Arm - Proc. of the International Symp. on External Control of Human Extremities, Dubrovnik, Aug. 1972

- Nemes L., Siegler A.: Számítógéppel vezérelt kísérleti szerelőrobot, Automatizálás, 1978/2
- Nevins, J.L., D.E. Whitney: Computer Controlled Assembly, Scientific American, Feb. 1978
- Paul, R.: Modelling, trajectory calculation and servoing of a computer controlled arm, Stanford University Ph.D., 1972
- Paul, R.: WAVE - A model based language for manipulator control, The Industrial Robot, March, 1977
- Paul, R.: Cartesian Coordinate Control of Robots in Joint Coordinates, 3rd CISM-IFTOMM Int. Symp. on Theory and Practice of Robots and Manipulators, Udine, 1978
- Paul, R.: Manipulator Cartesian Path Control, IEEE Trans. on Systems, Man and Cybernetics, vol. SMC-9, No. 11, Nov. 1979
- Paul, R., J. Luh & al.: Advanced Industrial Robot Control Systems, First Report, Purdue University, TR-EE 78-25, May, 1978
- Paul, R., J. Luh & al.: Advanced Industrial Robot Control Systems, Second Report, Purdue University, TR-EE 79-35, July 1979
- Popplestone, R.J., A.P. Ambler, I. Bellos: RAPT - A Language for Describing Assemblies, The Industrial Robot, Sept. 1978
- Renaud, M.: Automatic Equation Generation of Articulated Mechanisms, I. Yugoslav Symposium on Industrial Robots, Belgrad, 1977
- Renaud, M., J. Zabala: Robot Manipulator Control, 9. ISIR, 1979
- Siegler, A.: Computer Controlled Object Manipulation, Proc. of the 2nd Hungarian Computer Science Conference, Budapest, 1977, pp. 724-737. /a/
- Siegler A.: Manipulátor vezérlése R10 számítógéppel, I. Ipari Robot Kollokvium Előadásai, Kecskemét, 1977 /b/

- Siegler, A.: Kinematics and microcomputer control of a 6 degree-of-freedom manipulator, Research Report, Cambridge University Engineering Department CUED-CMS 185/1979
- Takase, K.: Task-oriented Variable Control of Manipulator and its Software Servoing System, Proc. of Conf. on Information Control Problems in Manufacturing Technology, Tokyo, 1977
- Takase, K.: Skill of Intelligent Robot, IJCAI-79, Tokyo, 1979
- Taylor, R.H.: The Synthesis of Manipulator Control Programs from Task-Level Specifications, Stanford University Ph.D. thesis, 1976
- Udupa, S.M.: Collision Detection and Avoidance in Computer Controlled Manipulators, Ph.D. thesis, California Institute of Technology, Sept. 1976
- Vámos, T., M. Báthor, L. Mérő: A Knowledge Based Robot Vision System, Proc. of the 6th IJCAI, Tokyo, 1979, pp. 920-922
- Vukobratovic, M.: Dynamics of Active Articulated Mechanisms and Synthesis of Artificial Motion, Mechanism and Machine Theory, 1978, pp. 1-18
- Wingham, M.P.: Planning How to Grasp Objects in a Cluttered Environment, M.Sci. thesis, Edinburgh University, 1977
- Whitney, D.E.: The Mathematics of Coordinated Control of Prosthetic Arms and Manipulators, Journal of Dynamic Systems, Measurement and Control, Dec. 1972
- Zilahi F.: Egy intelligens robot szem-kar rendszer végrehajtó elemeinek mechanikai vizsgálata, Egyetemi doktori értekezés, BME, 1979
- I. Ipari Robot Kollokvium Előadásai, Kecskemét, 1977

F Ü G G E L É K

A q_1, q_2, q_3 csuklósögek megengedett hibáinak számítása a kéz-állapot koordinátákra megadott türésekből

A kéz-állapot koordinátái: $\underline{s} = \{x_H, y_H, z_H, \alpha, \beta, \gamma\}$

A CSUKLÓ pozíciója: $x_{CS} = x_H - D \cos \alpha \sin \beta$

$$y_{CS} = y_H - D \sin \alpha \sin \beta$$

$$z_{CS} = z_H - D \cos \beta \quad (\text{ld. 5.2. pont})$$

A továbbiakban kihasználjuk, hogy valamely u szögfüggvényre:

$$\frac{d \arctan u}{du} = \frac{1}{1+u^2}, \quad \frac{d \arccos u}{du} = \frac{1}{1-u^2}, \quad \frac{d \arcsin u}{du} = \frac{1}{1-u^2}$$

1. A q_1 szög hibáinak összetevői

(5.11.) felhasználásával:

$$\frac{\partial q_1}{\partial x_H} = - \frac{y_H - D \sin \alpha \sin \beta}{(x_H - D \cos \alpha \sin \beta)^2 + (y_H - D \sin \alpha \sin \beta)^2} = - \frac{y_{CS}}{x_{CS}^2 + y_{CS}^2}$$

$$\frac{\partial q_1}{\partial y_H} = \frac{x_H - D \cos \alpha \sin \beta}{(x_H - D \cos \alpha \sin \beta)^2 + (y_H - D \sin \alpha \sin \beta)^2} = \frac{x_{CS}}{x_{CS}^2 + y_{CS}^2}$$

$$\frac{\partial q_1}{\partial z_H} = \emptyset$$

$$\frac{\partial q_1}{\partial \alpha} = - \frac{x_{CS} \cos \alpha + y_{CS} \sin \alpha}{x_{CS}^2 + y_{CS}^2} D \sin \beta$$

$$\frac{\partial q_1}{\partial \beta} = \frac{y_{CS} \cos \alpha - x_{CS} \sin \alpha}{x_{CS}^2 + y_{CS}^2}$$

$$\frac{\partial q_1}{\partial \gamma} = \phi$$

2. A q_3 szög hibáinak összetevői:

Először q_3 hibáját számoljuk, mivel q_2 hibájának kiszámításához a kapott parciálisokat felhasználjuk.

(5.19)-ből indulunk ki, az 5.3. pontban bevezetett jelöléseket használjuk.

$$\frac{\partial q_3}{\partial x_H} = - \frac{1}{BC} \frac{x_H - D \cos \alpha \sin \beta}{\sin q_3} = \frac{1}{BC} \frac{x_{CS}}{\sin q_3}$$

$$\frac{\partial q_3}{\partial y_H} = - \frac{1}{BC} \frac{y_H - D \sin \alpha \sin \beta}{\sin q_3} = \frac{1}{BC} \frac{y_{CS}}{\sin q_3}$$

$$\frac{\partial q_3}{\partial z_H} = - \frac{1}{BC} \frac{z_H - A - D \cos \beta}{\sin q_3} = - \frac{1}{BC} \frac{z_{CS}}{\sin q_3}$$

$$\frac{\partial q_3}{\partial \alpha} = - \frac{D \sin \beta}{BC \sin q_3} (x_H \sin \alpha - y_H \cos \alpha)$$

$$\frac{\partial q_3}{\partial \beta} = \frac{D}{BC \sin q_3} [(x_H \cos \alpha + y_H \sin \alpha) \cos \beta - (z_H - A) \sin \beta]$$

$$\frac{\partial q_3}{\partial \gamma} = \phi$$

3. A q_2 szög hibáinak összetevői:

(5.28)-ből indulunk ki és először q_2 -nek egy tetszőleges \underline{s} kéz-állapot koordinátáival vett parciálisát határozzuk meg. A számítás eredménye:

$$\frac{\partial q_2}{\partial s_i} = k_1 \left\{ k_2 \frac{\partial K}{\partial s_i} + k_3 \frac{\partial q_3}{\partial s_i} + k_4 \frac{\partial L}{\partial s_i} \right\} \quad i = 1, \dots, 6$$

ahol

$$k_1 = \frac{1}{\cos q_2 (B^2 + C^2 + 2BC \cos q_3)}$$

$$k_2 = B + C \cos q_3$$

$$k_3 = (CK \sin q_3 - 2BC \sin q_2 \sin q_3 + CL \cos q_3)$$

$$k_4 = -C \sin q_3$$

ezek felhasználásával:

$$\frac{\partial q_2}{\partial x_H} = k_1 \left\{ k_2 \left(\frac{1}{K} + k_3 \frac{x_{cs}}{BC \sin q_3} \right) \right\}$$

$$\frac{\partial q_2}{\partial y_H} = k_1 \left\{ k_2 \left(\frac{1}{K} + k_3 \frac{y_{cs}}{BC \sin q_3} \right) \right\}$$

$$\frac{\partial q_2}{\partial z_H} = k_1 \left\{ k_3 \frac{z_{cs}}{BC \sin q_3} + k_4 \right\}$$

$$\frac{\partial q_2}{\partial \alpha} = k_1 \left\{ k_2 \frac{D \sin \beta}{K} (\sin \alpha - \cos \alpha) + k_3 \frac{D}{BC \sin q_3} (x_H \sin \alpha - y_H \cos \alpha) \sin \beta \right\}$$

$$\frac{\partial q_2}{\partial \beta} = k_1 \left\{ -k_2 \frac{D \cos \beta}{K} (\sin \alpha + \cos \alpha) - k_3 \frac{D}{BC \sin q_3} [(x_H \cos \alpha + y_H \sin \alpha) \cos \beta - (z_H - A) \sin \beta] + k_4 C \sin \beta \right\}$$

$$\frac{\partial q_2}{\partial \gamma} = \phi$$

A TANULMÁNYOK sorozatban 1979-ben megjelentek:

- 88/1979 Renner G. - Gaál B. - Hermann Gy. - Horváth L. - Várady T.: Szoborszerű felületek tervezése és megmunkálása
- 89/1979 Ruda Mihály: A SIS77 statisztikai információs rendszer /a felhasznált számítástechnikai eszközök, a rendszer szerkezete és programjai/
- 90/1979 Bányász Cs. - Keviczky L.: Optimum Insensitivity of the Linear-continuous Transformation
- 91/1979 Téli iskola /Szentendre/
- 92/1979 Bolla M. - Csáki P. - Fischer J. - Herodek S. - Hoffman Gy. - Kutas T. - Telegdi L. - Wittmann I.: A balatoni ökoszisztéma modellezése
- 93/1979 Andor László: Kisgépes adatbázis kezelő rendszer
- 94/1979 Gertler János: Egy statisztikus szűrési eljárás számítógépes folyamatirányításához
- 95/1979 Báthory M. - Galló V. - Kovács E. - Mérő L. - Siegler A. - Vajta L.: Festőrobot vezérlésére alkalmas alafelsimerési berendezés
- 96/1979 Mérő László: Konturkeresés zajos digitalizát képekben
- 97/1979 Pásztorné - Matavovszky T.: Boole-függvény kezelőrendszer
- 98/1979 Kecskés Zsuzsa: Három dimenziós tárgyak drótvázának ábrázolása vonalrajzoló grafikus berendezésekkel

99/1979 Ivics József: KGST Riga

100/1979 Téli iskola

1980-ban jelentek meg:

- 101/1980 Gerencsér László - Hangos Katalin:
Diszkrét lineáris sztochasztikus rendszerek
önhangoló szabályozása
- 102/1980 Pásztorné Varga Katalin: Rekurzív eljárás
- 103/1980 Gerencsér Piroska - Szép Endre - Zilahy Ferenc
Marton Zsolt: Robotmegfogók adaptivitása I.
- 104/1980 Knuth Előd - Radó Péter - Tóth Árpád:
Az SDLA előzetes ismertetése
- 105/1980 E. Knuth - P. Radó - Á. Tóth:
Preliminary description of SDLA
- 106/1980 Prékopa András: Sztochasztikus programozási
modellek és alkalmazásuk
- 107/1980 Kelle Péter: Megbízhatósági készletmodellek és
alkalmazásuk
- 108/1980 Almásy Gedeon: Mérlegegyenletek és mérési hibák
- 109/1980 Békéssy A. - Demetrovics J. - Gyepesi Gy.:
Relációs adatbázis logikai szintű vizsgálata
funkcionális függőségek szempontjából
- 110/1980 Gaál A. - Soltész J. - Ruda M. - Ratkó I.:
Tanulmányok a statisztikai adatfeldolgozásról
- 111/1980 Benedikt Szvetlána: Nem ismételheto döntéshozatal
analizise kockázattal járó esetekben
- 112/1980 Verebély Pál: Többprocesszoros, osztott intelligen-
ciájú grafikus rendszerek tervezési és megvalósítási
kérdései

- 113/1980 V. Visegrádi Téli Iskola
- 114/1980 Demetrovics János: Relációs adamodell logikai és strukturális vizsgálata
- 115/1980 Gergely józsef: Program package for sparse matrices

